

საქართველოს ტექნიკური უნივერსიტეტი

მ. შილაკაძე, დ. თავხელიძე

ტ რ ი ბ ო ტ ე ქ ნ ი კ ა



დამტკიცებულია სტუ-ს
სასწავლო-მეთოდური
საბჭოს მიერ

თბილისი
2005

მოცემულია მექანიკური მოწყობილობის ტრიბოლოგიური სისტემების საიმედოობის ფიზიკური საფუძვლები, კერძოდ, საყრდენი კვანძების დაპროექტებისა და ექსპლუატაციის ძირითადი ამოცანები.

განხილულია ტრიბოტექნიკის თეორიული საფუძვლები და მისი თანამედროვე პრაქტიკული პრობლემები. შემოთავაზებულია ტრიბოლოგიური სისტემების საინჟინრო გაანგარიშების მეთოდოლოგიები და მათვის საჭირო საცნობარე მასალები. მოცემულია საყრდენი კვანძების კონსტრუქციები და რეკომენდაციები მათ კონსტრუქციული გადაწყვეტის შესახებ, განხილულია გაუსვეთადი ხახუნის საფუძვლები - შერჩევითი გადატანის ეფექტი.

სახელმძღვანელო განკუთვნილია მექანიკის ყველა სპეციალობის სტუდენტებისა და მაგისტრანტებისათვის, ასევე, შეიძლება გამოადგეთ საწარმოთა საინჟინრო-ტექნიკურ მუშაკებსა და კონსტრუქტორებს.

რეცენზენტები: პროფ. ჯ. ბიჭიაშვილი
პროფ. ვ. ნათბილაძე

რედაქტორი თ. ცისკარიშვილი
ტექნიკური რედაქტორი ნ. ცირეკიძე
კორექტორი ო. ჭანკვეტაძე
კომპიუტერული უზრუნველყოფა დ. თავხელიძის

გადაეცა წარმოებას 02.03.2004. ხელმოწერილია დასაბეჭდად 06.06.2005.
ქალაქის ზომა 60X84 1/8. პირობითი ნაბეჭდი თაბახი 14. სააღრიცხვო-
საგამომცემლო თაბახი 12,75. ტირაჟი 100 ეგზ. შეკვეთა № 146

გამომცემლობა „ტექნიკური უნივერსიტეტი“, თბილისი, კოსტავას 77



სტუ-ს სტამბა, თბილისი, კოსტავას 75

ს ა რ ჩ ე ვ ი

წინასიტყვაობა	3
შესავალი	6
თავი 1. ტრიბოლოგია და ტრიბოტექნიკა	
1.1. განვითარების საწყისები	8
1.2. ძირითადი ცნებები და განმარტებანი	12
1.3. განვითარების ძირითადი მიმართულებანი	16
თავი 2. ტრიბოტექნიკის თეორიის საფუძვლები	
2.1. ძირითადი თეორიული ცნებები და პარამეტრები	21
2.2. ზედაპირული ფენის მექანიკური თვისებები და სტრუქტურა	26
2.3. ხახუნის თეორიები და მუშა ზედაპირების კონტაქტები	30
2.4. მოლეკულური ურთიერთქმედება ტრიბოლოგიურ პროცესში	32
2.5. მექანიკური ურთიერთქმედება ტრიბოლოგიურ პროცესში	34
2.6. მასალის მექანიკური თვისებების შეფასება დადებითი გრადიენტის წესით	36
თავი 3. შერჩევითი ბაღატანა ტრიბოლოგიაზე პროცესში	
3.1. ტრიბოტექნიკის განვითარების ახალი ამოცანა	39
3.2. შერჩევითი გადატანის არსი	40
3.3. სერვოვიტული აფსკის წარმოქმნის მექანიზმის შემთხვევები	45
3.4. შერჩევითი გადატანის ფიზიკური საფუძვლები	47
3.5. ანომალიური მცირე ხახუნის ეფექტი	52
თავი 4. ტრიბოლოგიაზე პროცესი შემზავითი მასალებით	
4.1. შემზავითი მასალის დანიშნულება და თვისებები	54
4.2. შემზავითი მასალების სახეები და კლასიფიკაცია	60
4.3. შეზღვევის სახეები	68
თავი 5. თხევადი შემზავი და მისი ჰიდროდინამიკური თეორია	
5.1. ჰიდროდინამიკური შეზღვევის (ხახუნის) საფუძვლები	74
5.2. გომეგრიული პარამეტრები	77
5.3. ზეთის ფენის ზიდვის უნარი	78
5.4. ხახუნის პარამეტრები	87
5.5. თბური გაანგარიშების საფუძვლები წნევით შეზღვევის დროს	90
თავი 6. შემზავის სისტემები და მეთოდები	101
6.1. ინდივიდუალური შეზღვევა	104
6.2. ცენტრალური შეზღვევა	110

6.3. სპეციფიკური მანქანა-მოწყობილობის შებენის სისტემები	113
თავი 7. სრიალის საკისრების გაანგარიშების მეთოდის სასაზღვრო და მშრალი ხახუნის დროს	
7.1. სრიალის საკისრების მუშაობის უნარის კრიტერიუმები	115
7.2. საკისრების მიღვის უნარი	117
7.3. სრიალის საკისრის მიღვის უნარის განსაზღვრის განგოლებები	118
7.4. კონტაქტური ამოცანების ინტეგრალური განგოლების ამოხსნის მეთოდი	123
7.5. სრიალის საკისარში მაქსიმალური კონტაქტური ძაბვების განსაზღვრის მეთოდიკა	127
7.6. დასაშვები ძაბვების შერჩევის მეთოდიკა (პლასტმასოვანი საღებებისათვის)	130
7.7. გრიბოსისგემების თბური გაანგარიშების საფუძვლები	135
7.8. სრიალის საკისრების კონსტრუქციული პარამეტრები	143
7.9. სრიალის საკისრების პირობითი გაანგარიშების მეთოდიკა	148
თავი 8. სრიალის საკისრების კონსტრუქციები	
8.1. სრიალის საკისრების გრადიციული კონსტრუქციები პოლიმერული საღებით	154
8.2. დიდგაბარიტიანი სრიალის საკისრები მოღულური ელემენტებით	158
თავი 9. მასალები ტრიბოლოგიური სისტემებისათვის	161
9.1. ფერადი ანტიფრიქციული შენადნობები	163
9.2. ანტიფრიქციული თუჯი	165
9.3. ლითონკერამიკული (ფხვნილოვანი) მასალები	166
9.4. სინთეტიკური პლასტმასები (პოლიმერები)	167
9.5. სხვა არალითონური მასალები	172
9.6. თვითმეთვადი ანტიფრიქციული თბომდეგი პოლიმერული კომპოზიციები	175
ლიტერატურა	177

წ ი ნ ა ს ი ტ ყ ვ ა ო ბ ა

გრიბოგექნიკა მეცნიერული დისციპლინაა, რომელიც უზრუნველყოფს გექნიკური ობიექტის, კერძოდ, სხვადასხვა დანიშნულების მანქანა-მოწყობილობის საიმედოობას და მის ეფექტურ მუშაობას. იგი შეისწავლის და განიხილავს გრიბოლოგიურ პროცესებთან დაკავშირებულ ფიზიკურ-ქიმიურ, მექანიკურ, გექნოლოგიურ და კონსტრუქციულ საკითხებს. გრიბოგექნიკა და მისი უფრო ფართო გაგება – გრიბოლოგია მექანიკური მოწყობილობის დაპროექტებისა და ექსპლუატაციის ერთ-ერთი ძირითადი მეცნიერული საფუძველია. შესაბამისად, გრიბოგექნიკა, როგორც დისციპლინა, არის საინჟინრო კადრების კომპლექსური მომზადების მნიშვნელოვანი შემადგენელი ნაწილი და, ბუნებრივია, რომ მას ყველა წამყვანი გექნიკური სასწავლებლის ინჟინერ-მექანიკოსების მომზადების სასწავლო გეგმაში კუთვნილი ადგილი უჭირავს მოგადასაინჟინრო დისციპლინებს შორის.

ნაშრომი განიხილავს მექანიკური მოწყობილობის საიმედოობის ფიზიკურ საფუძვლებს შორის უმთავრესს – გრიბოგექნიკას. ამასთან, უკანასკნელი სრულად შეესაბამება საქართველოს გექნიკურ უნივერსიტეტში გრიბოგექნიკის სასწავლო პროგრამას ინჟინერ-მექანიკოსებისათვის. საფიქრებელია, რომ უახლოეს პერიოდში გრიბოგექნიკის, როგორც სასწავლო დისციპლინის, შესწავლა დაიწყება აგრეთვე ქვეყნის სხვა უმაღლეს გექნიკურ სასწავლებლებში (მსოფლიო პრაქტიკის შესაბამისად, მოსალოდნელია სპეციალისტი გრიბოლოგების გამოშვების დაწყებაც).

მსოფლიოში დღეს არ არის საკამათო გრიბოლოგია-გრიბოგექნიკის საკითხებზე ყურადღების კონცენტრაციის მაღალი ეფექტურობა სახალხო მეურნეობაში. ბოლო ორ ათეულ წელიწადში ყველგან უზარმაზარი ნაბიჯები იქნა გადადგმული. განვითარებული ქვეყნების უმაღლეს, საშულო და სხვადასხვა ტიპის სასწავლებლებში ფართო მასშტაბით დაიწყო გრიბოლოგიის (გრიბოგექნიკის) შესწავლა. დასაბამი მიეცა სპეციალისტების გამოშვებას გრიბოლოგიაში. ამ, ერთის მხრივ, უძველეს და, მეორეს მხრივ, ახალ სამეცნიერო მიმართულებას 60-იან წლებში პირველი და უდიდესი იმპულსი მისცეს ინგლისის სამეცნიერო წრეების წარმომადგენლებმა. სამწუხაროდ, საქართველოში ამ მიმართულებით დღემდე ცოცხა რამ არის გაკეთებული. საკითხთა მრავალრგოლიანი ჯაჭვი ჩვენთვის თითქოს არც კი არსებობს, შედეგი კი უდიდესი მაგერიალური დანაკარგებია.

ყოველივე განპირობებულია ჩვენი საინჟინრო პერსონალის დაბალი კვალიფიკაციით ამ სფეროში. გრიბოგექნიკის საკითხები არ შეისწავლებოდა და ქვეყნის მექანიკოსი კონსტრუქტორები ვერ ფლობდნენ ხახუნის კვანძების გაანგარიშება-

კონსტრუირების სპეციფიკურ ხელოვნებას. მაღალი კვალიფიკაციის კონსტრუქტორებისთვისაც კი პრობლემურია ხახუნის კვანძებში კონტაქტური ძაბვების განსაზღვრის საკითხი ექსპერიმენტული კვლევის გარეშე; საკმაოდ რთულია დაადგინონ ოპტიმალური კონსტრუქციული პარამეტრები, ცვეთის ინტენსივობა, ოპტიმალური შემზეთი საშუალებები და მეთოდები, დაასაბუთონ გამოყენებული მასალები.

საინჟინრო-ტექნიკური პერსონალის შესაბამისი თეორიული და პრაქტიკული ჩვევების დეფიციტის აღმოფხვრის პრობლემამ ჩვენში დასახა უმნიშვნელოვანესი ამოცანა - უმოკლეს ვადაში ფართოდ დანერგილიყო ქვეყნის უმაღლეს სასწავლებლებში გრიბოლოგია-გრიბოტექნიკის შესწავლა, უზრუნველყოფილიყო იგი შესაბამისი სახელმძღვანელოებით.

მექანიკური მოწყობილობის საიმედოობის ისეთი კონკრეტული საკითხი, როგორცაა გრიბოტექნიკა, მომავალი ინჟინერ-მექანიკოსების მიერ მხოლოდ ნაწილობრივ, ცალკეულ ნაწილებად შეისწავლებოდა სხვადასხვა სასწავლო დისციპლინებში (მანქანებისა და მექანიზმების თეორიაში, მანქანათა ნაწილებში, მასალათა გამძლეობაში და ა. შ.). ეს ნაშრომი პირველი ცდაა, წარმოგვედგინა იგი მოცემული სახით (არა მარტო ქართულ ენაზე), სადაც დაწვრილებით განიხილება გრიბოტექნიკის თანამედროვე პრობლემები და პრაქტიკული რეკომენდაციები. წიგნი კარგ სამსახურს გაუწევს როგორც მომავალ ინჟინრებსა და ასპირანტებს, ასევე წარმოების მუშაკებსა და მეცნიერებს.

ნაშრომი დაწერილია ავტორთა საკუთარი გამოკვლევებისა და სხვადასხვა ავტორების მიერ მიღებული შედეგების განზოგადების საფუძველზე.

პირველი თავი ეძღვნება გრიბოლოგიისა და გრიბოტექნიკის ზოგად ამოცანებს; მოცემულია გრიბოტექნიკის განვითარების საწყისები და ძირითადი მიმართულებანი, გრიბოტექნიკის ძირითადი ცნებები და განმარტებანი.

მეორე თავში მოცემულია გრიბოტექნიკის თეორიის საფუძვლები, ბედაპირული ფენის მექანიკური თვისებები და სტრუქტურა, მოლეკულური და მექანიკური ურთიერთქმედებანი გრიბოლოგიურ პროცესში, ბედაპირული მექანიკური თვისებების შეფასების “დადებითი გრადიენტის წესის” არსი.

მესამე თავში შეისწავლის და განიხილავს შერჩევითი გადაგანის ეფექტს გრიბოლოგიურ პროცესში; შერჩევითი გადაგანის არსის ახსნასთან ერთად გახსნილია სერვოვიგული აფსკის წარმოქმნის მექანიზმის შემთხვევები და მისი ფიზიკური საფუძვლები; განხილულია ანომალური მცირე ხახუნის ეფექტი.

მეორესე მათში გრიბოლოგიური პროცესები კვალიფიცირებულია შემზეთი მასალების მიხედვით, დახასიათებულია შემზეთი საშუალებები დანიშნულებისა და თვისებების მიხედვით.

მესამე მათში ეძღვნება თხევად შემზეთვას და მისი ჰიდროდინამიკური თეორიის საფუძვლების შესწავლას, განსასაზღვრია ზეთის წნევითი ფენის ზიდვის უნარი და ხახუნის პარამეტრები თხევადი შემზეთვის პირობებში; მოცემულია გრიბოსისტემის თბური გაანგარიშების მეთოდიკა; მოგანილია გაანგარიშების რიცხვითი მაგალითი.

მეოთხე მათში შეისწავლის შემზეთვის სხვადასხვა სახის სისტემებსა და მეთოდებს; მოცემულია მათი განსხვავებული კონსტრუქციული გადაწყვეტები.

მეხუთე მათში ფუნდამენტურადაა განხილული გრიბოსისტემებისა და, კერძოდ, სრიალის საკისრების გაანგარიშების მეთოდიკა სასაზღვრო და მშრალი ხახუნის დროს; ჩამოთვლილი და დასაბუთებულია გრიბოსისტემების მუშაობის უნარის კრიტერიუმები; მოცემულ თავში განსაკუთრებული ადგილი ეთმობა პლასტმასის სრიალის საკისრებს; მოყვანილია კონტაქტური ამოცანის დასმის საფუძველზე მიღებული სრიალის საკისრების ზიდვის უნარის განსაზღვრის განტოლებები და მათი ამოხსნის მეთოდი; წარმოდგენილია სრიალის საკისრებში მაქსიმალური კონტაქტური ძაბვების განსაზღვრისათვის საჭირო გრაფიკულ-ანალიზური დამოკიდებულებები და საინჟინრო გაანგარიშების მეთოდიკა, საცნობარო მასალები დასაშვები ძაბვების შერჩევისათვის; შემოთავაზებულია გრიბოსისტემების თბური გაანგარიშების მეთოდები; მოცემულია რეკომენდაციები სრიალის საკისრების კონსტრუქციული პარამეტრების შესახებ; მოცემულია სრიალის საკისრების პირობითი გაანგარიშების მეთოდიკა და მოგანილია სრიალის საკისრების გაანგარიშების რიცხვითი მაგალითი მშრალი და სასაზღვრო ხახუნის დროს.

მეექვსე მათში აღწერილია სრიალის საკისრების კონსტრუქციები პოლიმერული სადებებით. მოცემულია დიდგაბარიტიანი სრიალის საკისრის პრინციპულად ახალი კონსტრუქციული გადაწყვეტა მოდულური ელემენტებით.

მეშვიდე მათში მოიცავს გრიბოლოგიური სისტემებისათვის საჭირო სასაკისრე მასალებს; იძლევა მათ დახასიათებას და სხვადასხვა სფეროში გამოყენების რეკომენდაციებს.

ავტორები დიდად მაღლობელნი დარჩებიან ყველა კრიტიკული შენიშვნისა და წინადადებისათვის, რომელსაც დაიმსახურებს ეს ნაშრომი – გრიბოტექნიკის ქართული სახელმძღვანელოს პირველი გამოცემა.

შენიშვნების გამოგზავნა შეიძლება მისამართზე: 380094, თბილისი, გამსახურდიას ქ. კ. 19, ბ. 58.

*ხახუნი ბუნების საოცარი
ფენომენია! კაცობრიობას მან აჩუქა
სითბო და ცეცხლი, შესაძლებლობა
მცირე ღროში გააჩეროს ჩქაროსნული
მატარებელი და აგტომობილი, ასი
ათასჯერ დააჩქაროს ქიმიური
რეაქცია, ფირზე ჩაწეროს ადამიანის
ხმა, მოუსმინოს ვიოლინოს...*

პროფ. დ. გარკუნოვი

შ ე ს ა მ ა ლ ი

ადამიანმა უხსოვარ ღროშივე ისწავლა ხახუნის დამორჩილების და დამარცხების მრავალი გზა. მაგრამ ხახუნის ბუნება დღეისათვის ერთ-ერთ იღუმალ პროცესად რჩება და სირთულეები, რომლებიც მასთანაა დაკავშირებული, კვლავაც ინჟინერთა წინაშე მდგომი ურთულესი პრობლემაა.

კაცობრიობის პროგრესის ხანგრძლივი გზის პირველივე საფეხურზე ადამიანმა აღმოაჩინა, რომ მყარ საგანთა გადაადგილება რაიმე ზედაპირზე ყოველთვის განიცდის გარეშე ძალების წინააღმდეგობას. შესაბამისად, იმთავითვე ცხადი გახდა, რომ სხეულთა ურთიერთგადაადგილებისათვის გარკვეული ენერგია უნდა დახარჯულიყო. ამ წინააღმდეგობის ბუნება კი ადამიანისათვის უცნობი იყო. შემდგომ ცნობილი გახდა, რომ მყარი სხეულების რაიმე ზედაპირზე მოძრაობის წინააღმდეგობის ბუნება ხახუნია, რომელიც სითბოდ გარდაიქმნება. ზოგადად ეს შეიძლება ასე იქნეს განმარტებული: ხახუნი ერთმანეთის მიმართ მოძრავი სხეულების ურთიერთქმედებაა, რომელიც ენერგიის დისიპაციით ხასიათდება.

ხახუნი უფრო ხშირად მაგნე მოვლენაა, რომლის გადასალახად კაცობრიობა ხარჯავდა, ხარჯავს და მომავალშიც დახარჯავს ენერგიის უზარმაზარ რესურსებს. ვინაიდან ეს ენერგია მთლიანად გარდაიქმნება სითბოდ, იგი ახურებს მანქანა-მექანიზმების ნაწილებსა და კვანძებს. უკანასკნელს, ბუნებრივია, ხშირად მივყავართ მანქანა-მოწყობილობის დაზიანებამდე, მტყუნებამდე. ასევე, ხახუნის მუდმივად თანამდევი პროცესია მანქანათა ნაწილების ცვეთა, რაც, თავის მხრივ, მექანიკური მოწყობილობის დაზიანებათა უმთავრესი მიზეზია.

ამასთან, როგორც უკვე აღვნიშნეთ, დიდია ხახუნის სასარგებლო როლიც. ხახუნის გარეშე წარმოუდგენელია კაცობრიობის ყოველდღიური ცხოვრება.

სხვადასხვა ქვეყნის მეცნიერთა გამოკვლევების საფუძველზე დადგენილია, რომ მანქანათა 70-80%-ის მწყობრიდან გამოსვლა გამოწვეულია ხახუნის კვანძების ცვეთის გამო. შესაბამისად, თითოეული ქვეყნის მასშტაბით მანქანათა რემონტსა და რეაბილიტაციაზე ყოველწლიურად იხარჯება უზარმაზარი თანხები და მაკერიალური რესურსები.

აღნიშნული მიზეზების გამო ხახუნზე დახარჯული ენერჯის შემცირება თანამედროვე მეცნიერებისა და ტექნიკის უმნიშვნელოვანესი პრობლემაა. ამასთან, ტრიბოტექნიკის შესწავლისა და კონკრეტულ პრობლემათა რიცხვს მიეკუთვნება ისეთი საკითხები, როგორცაა: გარე ხახუნის პროცესის არსი და თავისებურებანი; ხახუნის თანამედროვე თეორიები; ხახუნის კოეფიციენტის განსაზღვრის და შემცირების გზები; ახალი პროგრესული ანტიფრიქციული და შემზეთი მასალების შექმნა; საყრდენი კვანძების დაპროექტების საფუძვლები და ახალი კონსტრუქციები.

თ ა ვ ი 1. ტრიბოლოგია და ტრიბოტექნიკა

1.1. განვითარების საწყისები

თანამედროვე ტექნიკის შესაბამისი მანქანების და მოწყობილობის, საიმედოობა-ხანგრძლივობის მაჩვენებლები ძირითადად დამოკიდებულია მათი გრიბოლოგიური სისტემების (ხახუნის კვანძების) პრინციპული, კონსტრუქციულ-ექსპლუატაციური პარამეტრების, ცვეთისა და შემეთვის პირობების, მოხახუნე წყვილების მასალების შერჩევის ოპტიმიზაციაზე. მოყვანილ საკითხებს ფართო მასშტაბით შეისწავლის გრიბოლოგია და გრიბოტექნიკა.

ტრიბოლოგია ახალი მეცნიერული დისციპლინაა ხახუნისა და ცვეთის პროცესების შესახებ. სახელწოდება შედგენილია ბერძნული სიტყვებისაგან tribos – ხახუნი და logos – სიტყვა.

გრიბოლოგია მექანიკურ პროცესებთან ერთად შეისწავლის ხახუნთან დაკავშირებულ ელექტრულ, მაგნიტურ, სითბურ, ქიმიურ და, ასევე, ბიოლოგიურ პროცესებს.

გრიბოლოგიის კვლევის ძირითად ობიექტებს მიეკუთვნება ხახუნის, ცვეთის და შემეთვის პროცესები.

ტრიბოტექნიკა - გრიბოლოგიის ერთ-ერთი სფეროა, რომლის წინაშეც დგას კონკრეტული ამოცანები, დაკავშირებული მანქანათა საიმედოობა-ხანგრძლივობის უზრუნველყოფის დაგეგმვის პროცესთან.

მეორეს მხრივ, გრიბოლოგია შეისწავლის გარე და შიგა ხახუნის პროცესებს, შესაბამისად, მყარი და თხევადი მასალებისათვის, ხოლო გრიბოტექნიკა არის მეცნიერება გრიბოლოგიის პრაქტიკული გამოყენების შესახებ, ხახუნის კვანძების - გრიბოლოგიური სისტემების კონსტრუირების, დამზადებისა და ექსპლუატაციის შესახებ.

გრიბოლოგიის, როგორც მეცნიერების დარგის მიზანია იმ პრინციპების, მეთოდებისა და ტექნიკური საშუალებების შემუშავება, რომლებიც უზრუნველყოფენ მანქანა-მოწყობილობის საიმედოობა-ხანგრძლივობის ნორმატიულ მაჩვენებლებს.

გრიბოლოგია, როგორც დამოუკიდებელი მეცნიერება, ჩამოყალიბდა წინა საუკუნის 50-60-იან წლებში. ბოლო ათწლეულში შესრულებული სამუშაოების მიხედვით გრიბოლოგიის თეორიულ საფუძვლად მიჩნეულია ისეთი მეცნიერული დარგები, როგორცაა: ფიზიკა (მასზე დაფუძნებული თანამედროვე ხახუნის თეორია), ქიმია, მათემატიკა, ლითონ- და მასალათმცოდნეობა, რეოლოგია და თერმოდინამიკა.

ამასთან ერთად, გრიბოლოგია ძველი მეცნიერული მიმართულებაა. გრიბოლოგიის ზოგ კანონებს ადამიანი უხსოვარი დროიდან იცნობდა და იყენებდა. მაგალითად, ხახუნის შედეგად გაჩენილ სითბოს იყენებდა ცეცხლის მიღებისათვის, ხახუნის პროცესებს მძიმე გვირგვინისა და საგნების გასრიალების გზით გრანსპორტირებისათვის. ასეთ შემთხვევაში წვევის ძალას წარმოადგენდნენ ადამიანები და ცხოველები. ამასთან, საგნის გადატანისათვის საჭირო ძალა შეადგენდა საგნის სიმძიმის ძალის 30%-ზე ნაკლებ სიდიდეს. ხახუნის მოვლენების პრაქტიკული გამოყენების მაგალითების გარდა შეიქმნა მეცნიერული, თეორიული შრომებიც.

XV საუკუნის მეორე ნახევარში ლეონარდო და ვინჩის მეცნიერულმა ნააზრევმა მყარი სხეულების ხახუნის საკითხებზე გამოხატულება პოვა იმ დროისათვის საკმაოდ მაღალი დონის მეცნიერულ ნაშრომში, რომელშიც მრავალი მართებული გაანგარიშება და მტკიცებაა მოყვანილი, სადაც ერთ-ერთი უმნიშვნელოვანესი იყო მტკიცება სრიალის ხახუნის წინააღმდეგობისა და მოხახუნე გედაპირებზე მოსული ნორმალური დატვირთვის პროპორციულობის ცნება, რითაც ფაქტიურად დასტურდება, რომ ლეონარდო და ვინჩის მიერ ჯერ კიდევ XV საუკუნეში აღმოჩენილი კანონი, რომლის მიხედვითაც ხახუნის ძალა პირდაპირპროპორციულია მოხახუნე გედაპირებისადმი ნორმალურად მიმართული ძალისა. ეს დამოკიდებულება დღესაც ფართოდ გამოიყენება

$$F_j = f F_n , \quad (1.1)$$

სადაც F_j არის ხახუნის ძალა; F_n – ნორმალური ძალა; f – ხახუნის კოეფიციენტი.

ლეონარდო და ვინჩი ხახუნის კოეფიციენტის მნიშვნელობას მასალების სახის განურჩევლად მიიჩნევდა 0,25-ის გოლ სიდიდედ.

შემდგომ პერიოდში ლეონარდო და ვინჩის ნაშრომი დავიწყებას მიეცა და ახალი ინტერესი გამოიწვია მხოლოდ ორი საუკუნის შემდეგ.

XVII საუკუნის ბოლოს ისააკ ნიუტონმა შეისწავლა შიგა ხახუნის მოვლენები თხევადი შებეთვის დროს და ჩამოაყალიბა კანონი, რომელიც ამყარებს კავშირს თხევადი შებეთვის შიგა ხახუნის წინააღმდეგობასა და ამ წინააღმდეგობის დაძლევისათვის საჭირო ძალას შორის. ლამინირებული დინების ამ კანონით დღესაც სარგებლობენ.

1699 წელს გ. ამონტონმა ფრანგული სამეფო აკადემიის ყოველწლიურ ჟურნალში გამოაქვეყნა ორიგინალური შრომები ხახუნის თეორიის შესახებ. მან ხელახლა აღმოაჩინა ლეონარდო და ვინჩის კარგა ხნის წინათ მივიწყებული კანონი იმის შესახებ,

რომ ხახუნის ძალა არ არის დამოკიდებული მოხახუნე გედაპირის ფართობზე, ხოლო კოეფიციენტი მუდმივია და რიცხობრივად უდრის 0,3-ს.

ორივე ეს კანონი გარკვეული პირობებისათვის დღესაც ფართოდ გამოიყენება და საკმაოდ მუსგ შედეგებსაც იძლევა.

XVIII საუკუნის მეორე ნახევარში შ. კულონმა შეისწავლა ადჰეზიის საკითხები ხახუნის პროცესში და გ. ამონგონის საპირისპიროდ დაასკვნა, რომ საკონტაქტო გედაპირის გამრდა იწვევს ხახუნის წინააღმდეგობის გამრდას. ამასთან, 1778 წელს იგი პირველი გვთავაზობს ხახუნის ძალის ფორმულას ორი წვერის სახით, რომელთაგანაც პირველი A_0 დამოკიდებული არ არის ნორმალური მიმართულების დაგვირთვაზე, ხოლო მეორე $K F_h$ დამოკიდებულია უკანასკნელზე:

$$F_j = A_0 + KF_h, \quad (1.2)$$

სადაც A_0 შეჭიდულობის მახასიათებელია და იგი ისევე, როგორც ხახუნის ძალა, არის განგენციალური წინააღმდეგობა და, მისგან განსხვავებით, არ არის დამოკიდებული ნორმალური მიმართულების დაგვირთვაზე; * K შეჭიდულობის კოეფიციენტი, რომელიც დამოკიდებულია მხოლოდ მოხახუნე გედაპირების თვისებებზე.

სამწუხაროდ, ეს კანონიც მივიწყებული იქნა და საინჟინრო პრაქტიკაში XX საუკუნემდე გამოიყენებოდა მხოლოდ ლეონარდო და ვინჩი – ამონგონის კანონი (რომელიც მოგჯერ არამართებულად დღესაც კულონის კანონად იწოდება საინჟინრო პრაქტიკაში). თავად შ. კულონმა XVIII საუკუნის ბოლოს გამოაქვეყნა ცნობილი შრომა „უბრალო მანქანების თეორია“, სადაც ეფექტურად იყო ილუსტრირებული ავგორის წარმოდგენა კონტაქტის შედეგად რელიეფური გედაპირების შეჭიდულობის წინააღმდეგობაზე. ამ მეცნიერული გააზრების საფუძველზე შ. კულონმა გააკეთა დასკვნა ხახუნის პროცესში ენერგიის გაფანტვის შესახებ.

XIX საუკუნის მორე ნახევარში ბ. ტაუერმა შემთხვევით აღმოაჩინა, რომ გარკვეულ პირობებში, გარკვეული კონსტრუქციულ-ექსპლუატაციური პარამეტრების დროს ბეთის ფენების ფარდობითი გადაადგილების შედეგად აღმოცენდება ბეთის დინამიკური წნევა, რომელმაც შეიძლება ფრიალ დაღებითი როლი ითამაშოს ხახუნის პროცესში.

* შეჭიდულობის კოეფიციენტი არის ორი სხეულის უძრავობის უდიდესი ხახუნის ძალის ფარდობა იმ ერთმანეთზე მიჭერის ძალასთან, რომელიც მოხახუნე გედაპირების ნორმალური მიმართულებისაა.

რეინოლდსმა დაასაბუთა, რომ ბ. ტაუერის ცდების საფუძველზე შემჩნეული მოვლენა არის ჰიდროდინამიკური ხასიათისა და მნიშვნელოვნადაა დამოკიდებული გეთის სიბლანგეზე. მანვე 1886 წელს დაამუშავა შებეთვის ჰიდროდინამიკური თეორია.

ნ. პეგროვმა დაახლოებით იმავე პერიოდში რეინოლდსისგან დამოუკიდებლად ჩამოაყალიბა ჰიდროდინამიკის საკითხები ნაშრომში - „ხახუნი მანქანებში და შემბეთი სითხის გავლენა მასზე“.

XX საუკუნის დასაწყისისათვის ტექნიკის სფეროში მცენარეული და ცხოველური გეთები თანდათანობით გამოდევნილ იქნა მინერალური გეთებით, რომელიც ემყარებოდა ნავთობგადამამუშავებელი მრეწველობის შემდგომ აღმავლობას და, რაც მთავარია, განსაზღვრული შებეთვის დროს შემბეთი ფენის შენარჩუნების სხვადასხვაგვარ შესაძლებლობებს. 1936 წ. უ. ჰარდიმ („რჩეული შრომები“) შეისწავლა ეს საკითხი და განსაზღვრული შებეთვის თეორიის საფუძველებთან ერთად ჩამოაყალიბა სასაზღვრო ფენის სტრუქტურის კონცეფცია. სასაზღვრო ხახუნის და მყარი სხეულების ხახუნის პრობლემებს შეისწავლიდა აგრეთვე ფ. ბოუდენი.

ხახუნის და ცვეთის პროცესების კვლევა უფრო მაღალ საფეხურზე აიყვანეს საბჭოთა პერიოდის მეცნიერებმა: პ. რეზინდერმა, ვ. კუმბეცოვმა, ი. კრაგელსკიმ, დ. გარკუნოვმა, მ. ხრუშჩოვმა, ა. ბელიმ, ა. ჭიჭინაძემ. განსაკუთრებით უნდა აღინიშნოს ი. კრაგელსკის როლი, რომლის ფუნდამენტურმა შრომებმა ხახუნის თეორიაში მსოფლიო აღიარება მოიპოვა და რომელიც „კრაგელსკის თეორიითაა“ ცნობილი და თარგმნილია მსოფლიოს მრავალ ენაზე.

ფართო ინტერესი გამოიწვია ხახუნის თეორიაში დ. გარკუნოვის ორიგინალურმა შრომებმა, რომლებიც საბჭოთა კავშირის შესაბამისი კომიტეტის მიერ რეგისტრირებული იქნა, როგორც აღმოჩენები. და მაინც, უახლოეს პერიოდში ხახუნის დარგში ერთ-ერთი ყველაზე თვალსაჩინო როლი ითამაშეს ინგლისელმა მკვლევრებმა. მათი მეცადინეობით მსოფლიო მეცნიერული პროგრესის ახლანდელ პროცესში სხვაგვარად გამოიყო და შეფასდა გრიბოლოგიის (გრიბოტექნიკის) საკითხები.

თვით გერმინიც „გრიბოლოგია“ პირველად გამოყენებული იქნა ინგლისელი ექსპერტების მიერ, როდესაც მათ დიდი ბრიტანეთის პარლამენტს წარუდგინეს მოხსენებითი ბარათი ქვეყანაში შებეთვის პრობლემების შესახებ.

ფრიად მნიშვნელოვან წამოწყებათა ავტორად წარმოგვიდგინა თავი დიდი ბრიტანეთის განათლებისა და მეცნიერების მინისტრმა ლორდმა ფ. ბოუდენმა, როდესაც მან 1964 წელს აუცილებლად მიიჩნია გამოეკვლიათ და გაეანალიზებინათ მანქანათა შებეთვის პირობები და მასთან დამოკიდებული საკითხები, როგორც ქვეყნის სახალხო მეურნეობის წინსვლის ერთ-ერთი ყველაზე აქტუალური ამოცანა. აღნიშნულის შედეგად

პროფ. ნ. პ. ჯოსტის ხელმძღვანელობით შეიქმნა სპეციალისტების სამუშაო ჯგუფი, რომელმაც შეაჯამა შესრულებული სამუშაოს შედეგები და 1966 წელს გამოაქვეყნა იგი. გამოქვეყნებული ანგარიშის საფუძველზე დასახული ღონისძიებათა ფორმა და შინაარსი პირველად ისტორიაში ჯეროვნად აფასებდა მანქანათა შებეთვის როლს სახალხო მეურნეობაში. მაგალითად, ამ ჯგუფის დასკვნით დიდი ბრიგანეთის საბეთი მეურნეობის გაუმჯობესებამ შესაძლებელი გახადა ქვეყანას დაემოგა ნახევარი მილიარდი ფუნტი სტერლინგი. ამ ანგარიშში გამოვლენილი იქნა ფაქტორები, რომელთა შორისაც უმნიშვნელოვანესად მიიჩნეოდა როგორც მომსახურე პერსონალის, ასევე დამპროექტებლების ცოდნის დაბალი თეორიული და პრაქტიკული ღონე გრიბოგექნიკის სფეროში, გრიბოლოგიის სპეციალისტთა დეფიციტი.

ამასთან დაკავშირებით სამუშაო ჯგუფი წინადადებას იძლეოდა დაწყებულებით გრიბოლოგიის საფუძვლიანი შესწავლა ყველა ღონეზე, რისთვისაც უნდა შექმნილიყო სპეციალური დანიშნულების ინსტიტუტები, უნდა შეცვლილიყო გექნიკისა და ინჟინერ-მშეთავების სტატუსი, მომაგებულებით ხელფასი, შემოღებულიყო უფრო მაღალი საკვალიფიკაციო ჯგუფები და პროფესიული წოდება – გრიბოლოგი. ამავდროულად, ყოფილ საბჭოთა კავშირში ღონისძიებათა ნუსხა ვერ გასცდა რამდენიმე ფორმალური სახის საზოგადოებისა და ლიგერატურის უმნიშვნელო მასშტაბით გამოჩენას გრიბოლოგია-გრიბოგექნიკაში.

კიდევ უფრო სავალალო მდგომარეობაა ჩვენს ქვეყანაში, სადაც შებეთვის გლობალური და აქტუალური საკითხები მრავალი დარგისათვის ძალიან ხშირად ყველაზე დაბალი კვალიფიკაციის მუშის პრიმიტიულ საქმიანობადაა წარმოდგენილი. დღევანდლამდე რესპუბლიკის უმაღლესი და საშუალო განათლების სასწავლებლებიდან მხოლოდ სტუ-ს ზოგიერთ სპეციალობაზე, ისიც შემზღული მოცულობით შეისწავლება დისციპლინა გრიბოლოგია ან, როგორც უწოდებენ, გრიბოგექნიკა, მაშინ, როდესაც ამერიკის შეერთებული შტატების, გერმანიის, დიდი ბრიგანეთის უნივერსიტეტები დღეს ფართო პროფილით ამზადებენ სპეციალისტებს გრიბოლოგიაში.

12. ძირითადი ცნებები და განმარტებანი

მოვიყვანოთ გრიბოლოგიაში (გრიბოგექნიკაში) გამოყენებული ძირითადი ცნებები განმარტებით, რომელთა უმრავლესობაც დიდი ხანია არის ცნობილი და კლასიკურ ხასიათს აგარებს. გრიბოგექნიკის რიგი გერმინები, რომელთა საერთო

რიცხვია 97, ყოფილი საბჭოთა კავშირის ეკონომიურ სივრცეში კლასიფიცირებული და სტანდარტიზებული იყო სახელმწიფო სტანდარტით.

გარეგან ხახუნად, უფრო ხშირად - ხახუნად პირობითად იწოდება მექანიკური წინააღმდეგობის მოვლენა, რომელიც წარმოიშობა ორი სხეულის ერთმანეთზე მიჭერისა და შეხების სიბრტყეში ზედაპირების ტანგენციალური მიმართულებით ფარდობითი გადაადგილების დროს და რომელსაც თან ახლავს ენერჯის დისიპაცია (გაფანტვა). წინააღმდეგობის ამ ძალას ხახუნის ძალას უწოდებენ და იგი აღინიშნება F_f -ით, რომელიც მიმართულია სხეულის გადაადგილების საწინააღმდეგოდ.

ასევე არსებობს ხახუნის უფრო ზოგადი განმარტება – ხახუნი არის მოვლენათა კომპლექსი ორი ურთიერთგადაადგილებადი სხეულის ზედაპირების კონტაქტის ზონაში, რის შედეგადაც ამ ზონაში წარმოიშობა კონტაქტური ძალები [21].

მოხახუნე სხეულებს შორის ფარდობითი მოძრაობის არსებობის ან არარსებობის მიხედვით განასხვავებენ უძრაობის და მოძრაობის ხახუნს; სხეულების ურთიერთფარდობითი მოძრაობის ხასიათის მიხედვით - სრიალისა და გორვის ხახუნს.

უძრაობის ხახუნი ხშირად სტატიკურ ხახუნადაც იწოდება და იგი ორი სხეულის ხახუნია ერთმანეთის მიმართ მიკროგადაადგილების მომენტში, მოძრაობის დაწყებამდე.

მოძრაობის (კინეტიკური) ხახუნი იმ ორი სხეულის ხახუნია, რომლებიც ერთმანეთის მიმართ მოძრაობენ.

სრიალის ხახუნი ისეთი მოძრაობის ხახუნია, როდესაც სხეულების შეხების წერტილში მათი მოძრაობის სიჩქარე სხვადასხვაა სიდიდით და მიმართულებით, ან მარტო სიდიდით, ან მარტო მიმართულებით:

გორვის ხახუნი – მოძრაობის ხახუნია ისეთი მყარი სხეულებისათვის, როდესაც მათი სიჩქარეები თეორიული შეხების წერტილში ერთნაირია სიდიდით და მიმართულებით.

ხახუნის ძირითად რიცხობრივ მაჩვენებლად მიჩნეულია ხახუნის ძალა და ხახუნის კოეფიციენტი.

ხახუნის კოეფიციენტი წარმოადგენს ორი მოხახუნე სხეულის მოძრაობის შედეგად წარმოქმნილი ხახუნის ძალისა და ერთმანეთზე მიჭერის ნორმალური ძალის ფარდობას.

შესაბამისად, სრიალის ხახუნის ძალა დღესაც წარმატებით შეიძლება გამოისახოს ჩვენთვის უკვე ნაცნობი 1.1 დამოკიდებულებით ($F_f = f F_n$).

გრიბოტექნიკის კლასიკური კანონების ჩამოყალიბება შეუძლებელია სრიალის ხახუნის პირობებში შესაძლებელი იყო და ფაქტიურად ჩამოყალიბდა კიდევ ჯერ კიდევ XV საუკუნეში ლეონარდო და ვინჩის შრომების საფუძველზე შემდეგი სახით:

1. ხახუნის ძალა პროპორციულია მოხახუნე შედაპირებზე მოსული ნორმალური დატვირთვისა.

2. ხახუნის კოეფიციენტი არ არის დამოკიდებული მოხახუნე შედაპირების ნომინალურ საკონტაქტო ფართობზე.

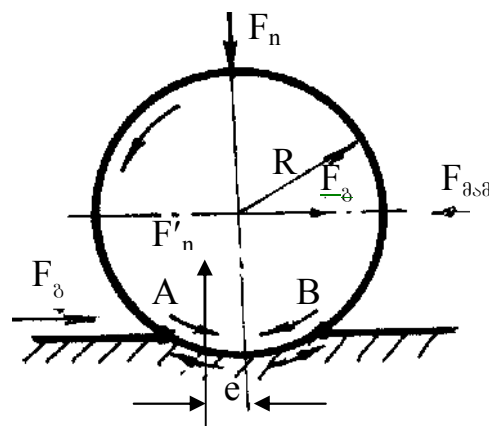
3. უძრაობის ხახუნის კოეფიციენტი აღემატება მოძრაობის ხახუნის კოეფიციენტს.

4. ხახუნის კოეფიციენტი არ არის სრიალის სიჩქარეზე დამოკიდებული.

მრავალმხრივმა კვლევამ თანამედროვე პირობებში გააანალიზა კლასიკური კანონების სასაზღვრო პირობები და გამოიგანა დასკვნა, რომ I, II და III კანონები სამართლიანია უმრავლეს საინჟინრო-სამანქანათმშენებლო პრაქტიკაში არსებული პირობებისათვის, გარდა იმ შემთხვევებისა, როცა ძალიან დიდი დატვირთვების დროს ფაქტიური საკონტაქტო ფართობი ნომინალურს უახლოვდება. IV კანონი ხშირად არ იძლევა ზუსტ შედეგებს ბლანგ-დრეკადი მასალებისათვის (პოლიმერები, ელასტომერები და მოგიერთი ფერადი ლითონი).

ახლა ჩამოვყალიბოთ გორვის ხახუნის ფიზიკური არსი. იგი შემდეგში გამოიხატება:

დეფორმირებადი ცილინდრისა და სიბრტყის ურთერთემოქმედების შედეგად წარმოქმნილი საკონტაქტო უბნის სასაზღვრო წერტილებია A და B. ცილინდრული სხეული ამ უბანზე იკუმშება, ხოლო სიბრტყე იმავე უბანზე იჭიმება. ეს იმას ნიშნავს, რომ სიბრტყეზე ცილინდრის თანაბარი სიჩქარით გადაგორების დროს მის A და B წერტილებს აქვთ ერთმანეთთან მიახლოების ტენდენცია, ხოლო სიბრტყის შესაბამის A და B წერტილებს – ერთმანეთთან დაშორების. ამ პირობებს მივყავართ იმ გარემოებასთან, რომ გვაქვს ცილინდრისა და სიბრტყის შედაპირების ფარდობით გადაადგილება, სრიალი.



ნახ. 1.1. გორვის ხახუნის წარმოდგენის სქემა

თვისობრივად ასეთი ხასიათის ხახუნია მანქანათა მთელ რიგ კვანძებში. მაგალითად, ბურთულებიან და გორგოლაჭებიან საკისრებში, კბილანებში, შეუღლებებში – ბორბალი-ლიანდაგი.

1.1 ნახ-ზე წარმოდგენილი სქემის მიხედვით, წონასწორობის პირობიდან გამომდინარე,

$$F_{\delta} = F_{\text{მამ}}, \quad (1.3)$$

სადაც F_{δ} გორვის ხახუნის ძალაა; $F_{\text{მამ}}$ – მამოდრავებელი ძალა.

მაშინ მამოდრავებელი მომენტი ტოლი იქნება

$$M = F_{\text{მამ}} \cdot R, \quad (1.4)$$

სადაც R საგორავის რადიუსია.

მოცემულ პირობებში მამოდრავებელი მომენტის გაწონასწორება ხდება გორვის ხახუნის ძალით

$$F_{\delta} = f_{\delta} \cdot F_n \quad (1.5)$$

შესაბამისად, გორვის ხახუნის კოეფიციენტი შეიძლება გამოისახოს როგორც მამოდრავებელი მომენტის (M) ფარდობა ნორმალურ ძალასთან (F_n)

$$f_{\delta} = \frac{M}{F_n} = \frac{F_{\text{მამ}} \cdot R}{F_n} = \frac{F_{\delta} \cdot R}{F_n}, \quad (1.6)$$

საიდანაც

$$F_{\delta} = \frac{f_{\delta} \cdot F_n}{R}. \quad (1.7)$$

მეორეს მხრივ, ნორმალური რეაქცია F_n ღერძიდან გადანაცვლებულია რაღაც e მანძილით, რის შესაბამისადაც რეაქციული მომენტი $M' = F_n' \cdot e$. ბუნებრივია, რომ როცა $M' = M$ და $F_n' = F_n$

$$F_n' \cdot e = F_{\delta} \cdot R \quad (1.8)$$

და

$$e = \frac{F_{\delta} \cdot R}{F_n}. \quad (1.9)$$

(1.7)-ის გათვალისწინებით

$$e = f_{\delta} \cdot R.$$

გორვის ხახუნის კოეფიციენტს აქვს საზოგადოებრივი განზომილება, გეომეტრიულად წარმოადგენს შეკუმშვის ზონის ნაწილის ნახევარქორდას და რიცხობრივად უდრის e -ს. გორვის ხახუნის კოეფიციენტის სიდიდე დამოკიდებულია დეტალის მასალის ღრეკად

თვისებებზე. კერძოდ, იმ შემთხვევაში, მასალას აქვს მაღალი მექანიკური თვისებები, მცირეა ქორდის სიდიდე, შესაბამისად, მცირეა გორვის ხახუნის კოეფიციენტი და ძალა.

შემგეთი მასალის გამოყენების მიხედვით განასხვავებენ შეუმეთავ და შეგეთით ხახუნს. ხახუნი შეგეთის გარეშე იწოდება და განიხილება, როგორც მშრალი ხახუნი. ხახუნი შემგეთი მასალის გამოყენების რაოდენობის მიხედვით შეიძლება განიხილებოდეს როგორც სასაზღვრო ხახუნი (როცა მოხახუნე გედაპირები ზეთის შეზღუდული რაოდენობის თხელი ფენითაა დაფარული), ან როგორც თხევადი ხახუნი (როცა მოხახუნე გედაპირებს შორის არსებობს ზეთის გარკვეული სისქის ფენა). ყველა სხვა ზემოთ განხილული გრიბოლოგიური პროცესი სხეულის ურთიერთმოქმედების გარე ხახუნის ვარიანტებია. ამავდროულად შიგა ხახუნის ყველაზე უფრო თვალსაჩინო მაგალითია გრიბოლოგიური სისტემა თხევადი შემგეთით. ასეთი სახის ხახუნი ჰიდროდინამიკური შემგეთის პირობები ითვალისწინებს შეუღლებული დეგალების განცალკევებას და, სათანადოდ, მათ უშუალო კონტაქტში არყოფნას. ამიგომ შესაბამის პირობებში ხახუნი წარმოადგენს ზეთის ფენებს შორის წინააღმდეგობას მათი ერთმანეთის მიმართ გადაადგილების დროს და, ბუნებრივია, ხახუნის კოეფიციენტი მნიშვნელოვნადაა დამოკიდებული ზეთის სიბლანტეზე.

მყარ სხეულებში ხახუნი სხეულის შიგნით შესაძლებელია გარე ხახუნთან ერთად. ამასთან, იგი ხასიათდება სითბოს გამოყოფით და განპირობებულია სხეულისადმი გარე მექანიკური ენერჯის მინიჭებით. საინჟინრო პრაქტიკაში მყარ სხეულებში შიგა ხახუნის არამრავალრიცხოვანი მაგალითებიდან ერთ-ერთია ის, რომ ლითონების და ზოგი სხვა მასალის ჭრით დამუშავების დროს გედაპირების ქვეშ, დეგალის სიღრმეში შეინიშნება მასალის გადახურება და შესაბამისი სტრუქტურული ცვლილებები.

1.3. განვითარების ძირითადი მიმართულებანი

გრიბოგექნიკის, როგორც მეცნიერული დარგის არსის სრული ახსნა მნიშვნელოვანწილადაა განპირობებული რიგ ერთმანეთისაგან განსხვავებული მეცნიერების მრავალმხრივი შესწავლით. ფიზიკა, მათემატიკა, ქიმია, ელექტრობა, ლითონ- და მასალათმცოდნეობა – ეს ის მეცნიერული დარგებია, რომლებიც, თავის მხრივ, წარმოადგენენ დამოუკიდებელი კვლევის ობიექტებს, ცალკეულ აქტუალურ პრობლემათა კომპლექსებს გრიბოგექნიკის საფუძვლების შესწავლის ფონზე.

ქვემოთ მოგვყავს გრიბოგექნიკის, როგორც მეცნიერული დარგის, ძირითადი შემადგენელი ნაწილები და განვითარების მიმართულებანი.

1. მყარი სხეულების კონტაქტების ფიზიკურ-ქიმიური მექანიკა მათი ურთიერთსრიალის და გორვის დროს.
2. მშრალი, სასაზღვრო და თხევადი ხახუნის კვლევა და მის საფუძველზე გაანგარიშების საინჟინრო მეთოდების შექმნა აღნიშნული ხახუნის სახეების შეფასებისათვის.
3. ცვეთის კვლევა და მანქანათა ნაწილების ცვეთაზე გაანგარიშების მეთოდების შექმნა.
4. ხახუნისა და ცვეთის სითბური დინამიკა.
5. ხახუნისა და ცვეთის სისტემური ანალიზი და მოდელირება.

ამასთან, საჭიროა ხაზი გაესვას ტრიბოტექნიკის მთავარ მეცნიერულ ამოცანებს, უმნიშვნელოვანეს პრობლემურ საკითხთა რიგს, რომელთა შორისაა:

- „უცვეთი“ ტრიბოლოგიური სისტემების (ხახუნის კვანძების) შექმნა;
- ახალი პროგრესული ცვეთამედეგი ანტიფრიქციული და ფრიქციული მასალების შექმნა;
- მანქანათა ნაწილების დაცვა წყალბადოვანი ცვეთისაგან;
- არააბრაზიული საფინიშო ოპერაციების შემუშავება;
- პრინციპულად ახალი, ავტომატიზებული შებეთვის სისტემის შექმნა;
- სპეციალისტების მომზადება ტრიბოტექნიკაში.

ტრიბოტექნიკის პრაქტიკულად აქტუალურ საინჟინრო საკითხებს განეკუთვნება:

- ტრიბოლოგიური სისტემების საიმედოობის, კერძოდ, ხანგამძლეობის მაჩვენებლების გაზრდა და პროგნოზირება;
- ტრიბოლოგიური სისტემების მუშაობის უნარის გაზრდა დიდ ტემპერატურულ დიაპაზონში;
- ტრიბოლოგიურ სისტემებზე მოსული ხვედრითი დატვირთვების გაზრდა, კონსტრუქციული პარამეტრების ოპტიმიზაცია;
- ტრიბოლოგიურ სისტემაში დასაშვები ფარდობითი სრიალის სიჩქარის გაზრდა;
- მინიმალური ხახუნის წინააღმდეგობის უზრუნველყოფა საკისრების შემთხვევაში და მაქსიმალურისა – მუხრუჭების შემთხვევაში;

ყველა ზემოთ ხსენებული მთავარი მეცნიერული ამოცანის გადაწყვეტა ითვალისწინებს ფუნდამენტური, თეორიული საფუძვლებისა და რთული ექსპერიმენტული მოწყობილობისა და გაანგარიშებათა მეთოდების დამუშავებას. ამ კომპლექსური თეორიული და ექსპერიმენტული კვლევების ობიექტებად იგულისხმება:

- მოხახუნე მუშა ზედაპირული ფენების თვისებათა საფუძვლიანი შესწავლა;
- „შერჩევითი გადატანის“ ეფექტის გამოყენების სფეროების გაფართოება;

- საზეთი მასალების თვისებათა მაჩვენებლების რეგულირება და მათი პოტენციური შესაძლებლობების რადიკალური შეცვლა ახალი მისართების გამოყენების მეშვეობით:
- მცირე სიბლანტის თხევადი შემზეთი მასალები;
- აიროვანი ნივთიერებების გამოყენება შემზეთ მასალად;
- მყარი და ფხვნილოვანი შემზეთი მასალები;
- ახალი ანტიფრიქციული და ფრიქციული მასალები სხვადასხვა გარემოში ექსპლუატაციის დროს.

აღნიშნულის შედეგად გრიბოტექნიკაში მეცნიერულ-ტექნიკური პროგრესის შემდგომ ეტაპად მიიჩნევა მანქანა-მოწყობილობის ხახუნისა და ცვეთის პროცესების მართვა ექსპლუატაციის სხვადასხვა პირობებში.

ზემოთ მოყვანილ ღონისძიებათა რეალიზაცია სახალხო მეურნეობაში მეცნიერებისა და ინჟინრებისაგან მოითხოვს გრიბოლოგიური სისტემის კონსტრუირების ახალი პრინციპების დანერგვას. საჭირო ხდება თითქმის ყველა დარგის მანქანათმშენებლობაში უარი ვთქვათ გრიბოლოგიური სისტემების გაანგარიშების გრადიციულ მეთოდებზე, როდესაც ხახუნის ძალებისა და მომენტების განსამღვრისას იგულისხმება ხახუნის კოეფიციენტისა და ცვეთის ინტენსივობის მუდმივი მნიშვნელობები; გაანგარიშებისას, როგორც წესი, გათვალისწინებული უნდა იქნეს ხახუნის კოეფიციენტის და ცვეთის ინტენსივობის დამოკიდებულება კვანძის მუშაობის რეჟიმის ისეთ პარამეტრებთან, როგორცაა: სრიალის სიჩქარე, რადიალური დატვირთვა, დაკონტაქტების გეომეტრია, გარემო პირობების გავლენა, თბოგადაცემის პირობები, კონსტრუქციული პარამეტრები, მუშა ტემპერატურა, ნარჩენი დეფორმაციები და სხვა ფაქტორები.

საანგარიშო მეთოდები უნდა იძლეოდნენ შესაძლებლობას, საკონტაქტო ზონებში გაანგარიშებულ იქნეს საკონტაქტო დაძაბულობის მაქსიმალური მნიშვნელობები (აღნიშნულ საკითხებს მეტი ყურადღება უნდა მიექცეს ხახუნის კვანძებში არალითონური სადებების გამოყენების დროს). ყოველივე უნდა შესრულდეს დინამიკური და ტემპერატურული რეჟიმების გათვალისწინებით. კონტაქტური ამოცანები გადაწყვეტილი უნდა იქნას სივრცეში.

პრაქტიკაში ხახუნის და ცვეთის საინჟინრო გაანგარიშებებს უნდა მოეთხოვებოდეს დიდი სიმუსტე და საიმედოობა. იგი უნდა აღემატებოდეს ჩვეულებრივი მანქანათა დეტალებისადმი მოთხოვნებს, სადაც მათი მარაგი სიმტკიცეზე აიღება 2...3 ბლვრებში. შედეგად უნდა შემუშავდეს საიმედო კონკრეტული საინჟინრო საანგარიშო მეთოდები, რომლებიც უზრუნველყოფენ გრიბოლოგიური სისტემის სამსახურის ვადის

განსაზღვრას საჭირო სიმუსტით მშრალი და სასაზღვრო ხახუნის დროს, აგრეთვე, შემუშავდეს თანამედროვე ტექნიკურ მიღწევათა გამოყენებით ჰიდროდინამიკური, ელასტიკურ-დინამიკური და აიროფანი შეზღვევის პირობებში მძიმედ დატვირთული სრიალის და გორვის საკისრების, კბილანური გადაცემის, სახსრების, ცილინდრ-დგუშოვანი წყვილების, მიმართულების და სხვა ხახუნის კვანძების გაანგარიშების მეთოდები.

განსაკუთრებული მნიშვნელობა უნდა მიექცეს ტრიბოლოგიურ პროცესებს კვანძებში, სადაც სადებ მასალად გამოყენებულია პოლიმერული მასალები და კომპოზიციები მათ საფუძველზე; ტრიბოლოგიური სისტემების გამოცდების იმ დაჩქარებული მეთოდების შემუშავებას, რომლებიც დაფუძნებულია მეცნიერების თანამედროვე მიღწევათა ღონებე პროცესების მათემატიკური, ფიზიკური, ანალოგიური მოდელირებით.

ტრიბოტექნიკის შემდგომი განვითარების პროცესში განსაკუთრებული როლი ენიჭება სამეცნიერო და საინჟინრო-ტექნიკური კადრების მომზადებას. ტრიბოტექნიკის საფუძვლების ცოდნა დღეს აუცილებელი პირობა ხდება ყველა პროფილის ინჟინერ-მექანიკოსის მომზადებისათვის, ვინაიდან მხოლოდ იგი აძლევს ინჟინერს საშუალებას, რომ:

- სწორად გაიანგარიშოს მოძრავი შეერთებები, შეარჩიოს კვანძის კონსტრუქციული პარამეტრები და შეზღვევის სისტემა, დანიშნოს კვანძისათვის მუშაობის ოპტიმალური რეჟიმი, განსაზღვროს საიმედოობის ძირითადი მაჩვენებლები და სხვა ამგვარი საკითხები მანქანის კონსტრუირების პროცესში;

- შეარჩიოს ეფექტური ტექნოლოგიური პროცესები მანქანების დამზადების პროცესში;
- უზრუნველყოს, არეგულიროს ან აღადგინოს ეკონომიკურად გამართლებული მუშა პროცესები შესასრულებელი სამუშაოს და შექმნილი პირობების მიხედვით მანქანათა ფუნქციონირება-ექსპლუატაციის დროს.

სამწუხაროდ, ამ მიმართულებით ჩვენს ქვეყანაში სამუშაოები ფაქტიურად ჯერ არ დაწყებულა და იგი სასწრაფოდ გადასაწყვეტი ამოცანაა.

დაბოლოს, საჭიროა მომავალი და მოქმედი სახალხო მეურნეობის სპეციალისტებისათვის ცნობად იქნას მიღებული, რომ დღეისათვის ჯერ კიდევ ფართოდ ცნობილი ტერმინების – „ხახუნის კვანძის“ და „ხახუნის პროცესის“ ნაცვლად უახლესი სამეცნიერო-ტექნიკური ლიტერატურა იწყებს ახალი, შედარებით უფრო ღრმა ცნებების, შესაბამისად, „ტრიბოლოგიური სისტემის“ და „ტრიბოლოგიური პროცესის“ ხმარებას.

ამასთან, ცრიბოლოგიურ სისტემად მიჩნეულია დეგალი ან დეგალების ერთობლიობა, რომელიც გამოყოფილია გარემოდან ფიზიკურად ან წარმოსახვით [21], ხოლო ცრიბოლოგიურ პროცესად – ცრიბოლოგიური სისტემის შემადგენელი დეგალების თვისებათა შეცვლის თანმიმდევრობა დროში.

მოცემულ ეტაპზე დასაშვებად მიგვაჩნია როგორც ძველი, ისე ახალი განსაზღვრებით სარგებლობა.

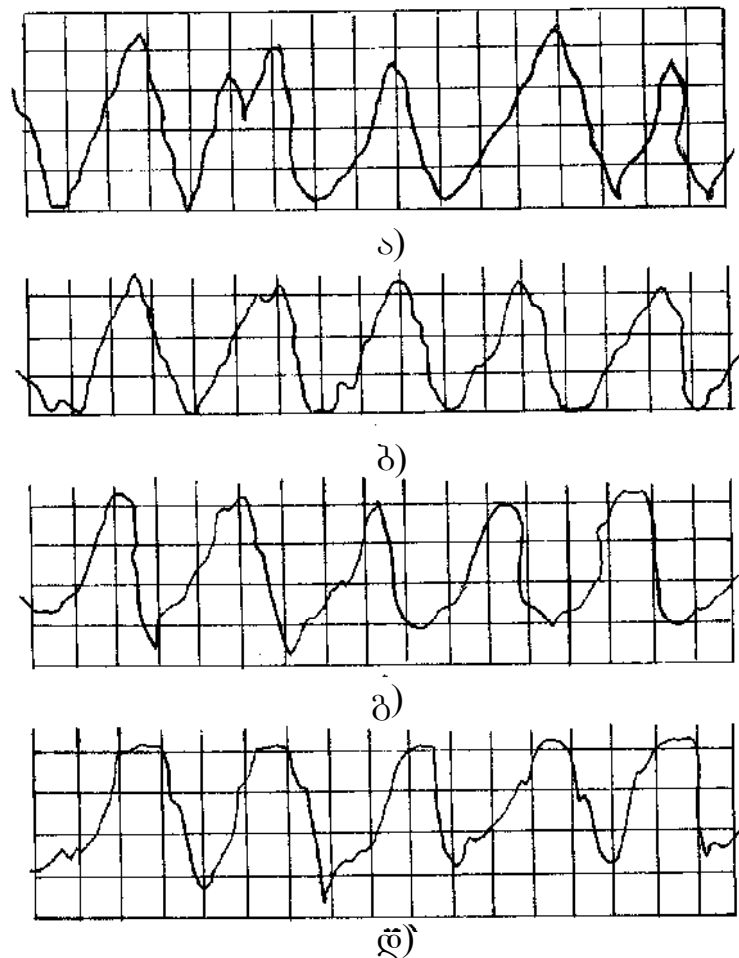
თავი 2. ტრიბოტექნიკის თეორიის საფუძვლები

2.1. ძირითადი თეორიული ცნებები და პარამეტრები

ტრიბოლოგიური პროცესის სრული შეფასებისათვის ერთ-ერთი მნიშვნელოვანი მომენგია ის, რომ რაოდენობრივად და თვისობრივად სწორად იქნეს შეფასებული ნორმალური ძალებით გამოწვეული დაწნევა მოხახუნე ზედაპირებზე, რისთვისაც აუცილებელია შეუღლებული დეგალების საკონტაქტო ფართობის განსაზღვრა.

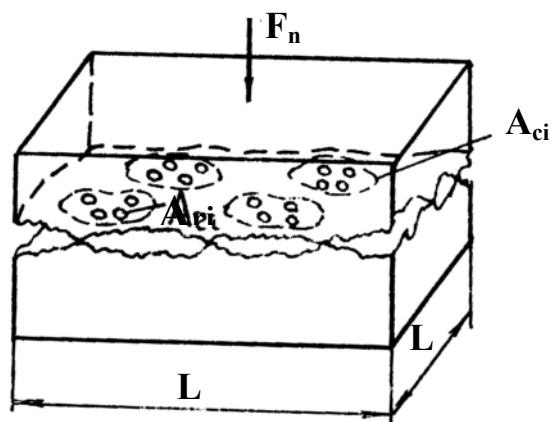
ორი ერთმანეთზე დადებული ბრტყელი მყარი სხეულის რეალური ზედაპირები, გარდა ლოკალური სიმქისისა, ხასიათდებიან გალღურობითაც, რომლებიც თავდაპირველად სამ წერტილში ეხებიან ერთმანეთს.

სახელმწიფო სტანდარტი GOCT 2789-73-ისა და ეკონომიკური ურთიერთდახმარების საბჭოს ქვეყნების სტანდარტი CT CЭB 638-77-ის შესაბამისად სიმქისედ იგულისხმება ის უსწორმასწორობანი, რომელთა ბიჯი არ აღემატება 800 მკმ-ს, სიმაღლე 0,03-დან 400 მკმ-მდეა, ხოლო გალღურობად მიიჩნევა ის უსწორმასწორობა, როცა ბიჯის ფარდობა სიმაღლესთან ≥ 40 .

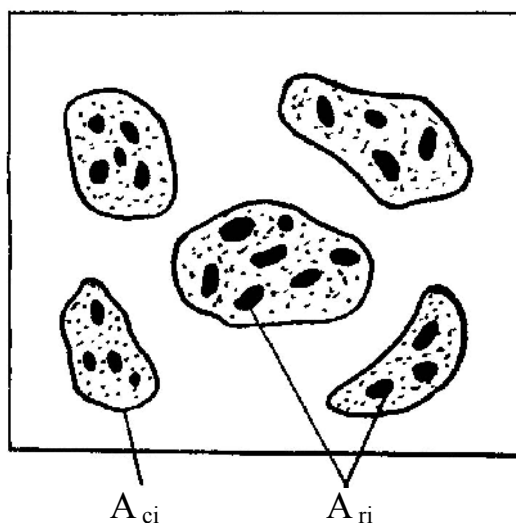


ნახ. 2.1. ფოლადის გაჩარხული ზედაპირის პროფილოგრამა იოჰანსონის ფილასთან შეხების შემდეგ. კონტურული წნევა, მპა: ა-0; ბ-50; გ-200; დ-350 [10]

დაგვირთვის თანდათანობითი მოდების შემდეგ შეუღლებული ზედაპირები ერთმანეთს უახლოვდებიან და კონტაქტში შედიან უფრო მეტი ცალკეული ბორცვებით, რის შედეგადაც ღიღება შვერების მოთელილი ფართობი. გასაგები მიზეზების გამო გალღის ის ნაწილი, რომელიც შეესაბამება დადაბლებულ ადგილებს, განიცდის დრეკადი სახის, ხოლო შვერები – პლასტიკურ დეფორმაციებს. დრეკად დეფორმაციებს განიცდის სხეულის ის ნაწილები, სადაც ძაბვა არ აღემატება მასალის დენადობის ზღვარს (ნახ 2.1). რეალური ზედაპირების მოთელილი შვერები გალღურ ბორცვებზე ქმნიან კონგურულ ფართობებს, რომლებიც, თავის მხრივ, წარმოადგენენ შვერების კონტაქტების ერთობლიობას. ექსპერიმენტულად ეს მოვლენა მკაფიოდ წარმოჩნდება ზედაპირების შეუღლების „სადებავის“ მეთოდით შეფასების დროს, როცა საკონტაქტო ადგილებს ლაქით გამოარჩევენ ხოლმე (ნახ.2.2, 2.3).



ნახ. 2.2. ზედაპირების დაკონტაქტების სქემა



ნახ. 2.3. საკონტაქტო ფართობის გრაფიკული მოდელი

გემოთ აღნიშნულის თანახმად, განასხვავებენ შემდეგი სახის საკონტაქტო ფართობებს:

1. ნომინალური საკონტაქტო ფართობი $A = l \times l$, სადაც l მუშა გედაპირის გაბარიტული ზომაა, გამოითვლება გალდურობის გაუთვალისწინებლად, როგორც გეომეტრიული ფართობი.

2. კონტურული შეხების ფართობი A_c , რომელიც წარმოიქმნება სხეულების მოცულობითი მოთვლით და რომელიც განპირობებულია რეალური გედაპირების გალდურობით. ამასთან, შეხების ფაქტიური წერტილები განლაგებულია კონტურულ ფართობზე. თავის მხრივ, კონტურული ფართობი დამოკიდებულია როგორც გედაპირის პროფილის გეომეტრიულ პარამეტრებზე, ასევე დაგვირთვის სიდიდეზე.

შეხების კონტურული ფართობი მთელი სხეულისათვის გამოითვლება შემდეგი გოლობით:

$$A_c = \sum_{i=1}^m A_{ci}, \quad (2.1)$$

სადაც m კონტურული ფართობების რიცხვია; A_{ci} – ცალკეული i -ური კონტურის ფართობი.

3. სხეულის შეხების ფაქტიური (ფიზიკური) საერთო ფართობი A_r წარმოადგენს სხეულის მცირე ფაქტობრივი კონტაქტების ფართობთა ჯამს. შეხების ფაქტობრივი ფართობი დამოკიდებულია სიმქისის გეომეტრიულ პარამეტრებზე.

სხეულების შეხების ფაქტობრივი ჯამური ფართობი

$$A_r = \sum_{i=1}^n A_{ri}, \quad (2.2)$$

სადაც n ფაქტიური კონტაქტების რიცხვია; A_{ri} – ცალკეული i -ური ფაქტობრივი შეხების ფართობი.

ფაქტობრივი კონტაქტის ადგილები, რომლებიც წარმოიქმნებიან მიკრობორცვების დეფორმაციის დროს, ძალიან მცირე სიდიდისაა და მათი ხაზობრივი ზომები არ აღემატება 3...50 მკმ-ს. ამიგომ ნომინალური ფართობის ფარდობა ფაქტობრივთან საკმაოდ დიდი სიდიდეა და შეადგენს $10^2 \dots 10^4$ -ს. ამ დასკვნას იყენებენ მანქანათა ნაწილების სიმტკიცეზე, ცვეთაზე და საიმედოობაზე გაანგარიშების დროს. მაგალითად, როცა p წნევას განსაზღვრავენ, როგორც F_n ნორმალური ძალის ფარდობას კონტაქტის ნომინალურ A ფართობთან, $p = \frac{F_n}{A}$, იგი შეიძლება ფაქტიურზე 100-ჯერ ან

10 000-ჯერ ნაკლები აღმოჩნდეს, ხოლო ფაქტობრივი, თავის მხრივ, შეიძლება მეტი იყოს დასაშვებ ძაბვაზე. აღნიშნულის გამო ფაქტობრივი კონტაქტის ფართობის განსაზღვრა ფრიად მნიშვნელოვანი ამოცანაა.

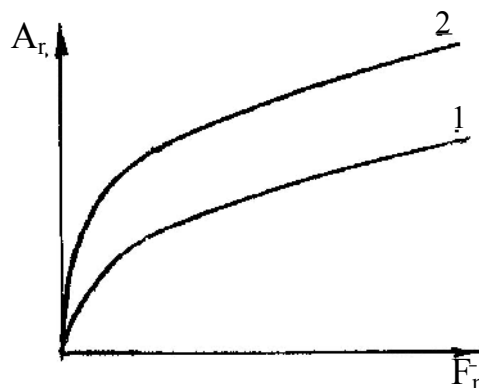
ფაქტობრივ წნევად მიხნეულია საკონტაქტო ზედაპირებისადმი ნორმალურად მიმართული დატვირთვის შეფარდება შეხების ფაქტობრივ ფართობთან

$$p_r = \frac{F_n}{A_r} = \frac{F_n}{\sum_{i=1}^n A_{ri}}, \quad (2.3)$$

სადაც p_r ფაქტობრივი წნევაა.

როგორც აღვნიშნეთ, ფაქტობრივი დაკონტაქტების ფართობი დამოკიდებულია ზედაპირის სიმქისის პარამეტრებზე, შეუღლებულ ზედაპირებზე მოღებულ ნორმალური ძალის სიდიდესა და ზედაპირის მასალის გვარობაზე. სათანადოდ, დაკონტაქტების ფართობის პროგნოზირება შესაძლებელია მოხახუნე ზედაპირების პროფილის მეშვეობით მათი სიმაღლეთა ღონის შესაბამისად.

შეხების კონტურული და ფაქტობრივი ფართობები და მათი ფარდობები კიდევ უფრო მეტად არიან დამოკიდებულნი ზედაპირებისადმი ნორმალურად მოქმედ F_n ძალაზე (ნახ. 2.4). F_n -ის გარკვეულ ზღვრამდე გაზრდით მნიშვნელოვნად იზრდება კონტაქტის ფართობი. ეს აიხსნება იმით, რომ დატვირთვის გამო მიკრობორცვების შვერები ზოგ შემთხვევაში, როცა ძაბვის სიდიდე აღემატება ღენალობის ზღვარს, განიცდიან არაუკუქცევად დეფორმაციებს. ამასთან, ბორცვების შვერების შეხების ფაქტობრივი წნევა პლასტიკური კონტაქტის დროს თავისი მნიშვნელობით შეესაბამება მასალის სიმტკიცის ზღვარს, ხოლო დრეკადობის ზღვრებში კონტაქტის დროს – მნიშვნელოვნად უფრო მცირეა უკანასკნელზე.



ნახ. 2.4. მოხახუნე ზედაპირების ფაქტობრივი საკონტაქტო ფართობის A_r

დამოკიდებულება ნორმალურ F_n დატვირთვაზე [9]:

1 – HB_1 სისალის დროს; 2 – HB_2 სისალის დროს. $HB_2 < HB_1$

აღსანიშნავია ის გარემოებაც, რომ შეხების ფაქტობრივი ფართობისა და ნორმალური მიმართულების დაგვირთვის დამოკიდებულება განსხვავებულია ხაზობრივისაგან.

შეხების ფაქტობრივი ფართობი, გარდა ზემოთ ჩამოთვლილი ფაქტორებისა, დამოკიდებულია მოხახუნე შეუღლებული გედაპირების მასალების მექანიკურ თვისებებზე – დენადობის ბლვარზე, სისაღესა და დრეკადობის მოდულზე. ამასთან, რაც უფრო მაღალია მასალის მექანიკური მახასიათებლები, მით უფრო ნაკლებია კონტაქტირების ფაქტობრივი ფართობი. სხეულების კონტაქტის ფაქტიური ფართობი და მათი ურთიერთქმედების ხასიათი დამოკიდებულია აგრეთვე მოხახუნე გედაპირების სისაღეთა მნიშვნელობების ფართობზე.

განასხვავებენ დაკონტაქტების შემდეგ პირობებს:

- მოხახუნე შეუღლებული გედაპირების სისაღეების მნიშვნელობები ერთი რიგისაა;
- მოხახუნე შეუღლებული ერთი გედაპირთაგანის სისაღე ბევრად ნაკლებია მეორეზე.

პირველ შემთხვევაში ნორმალური მიმართულების დაგვირთვის შედეგად ხდება გედაპირების თანდათანობითი დაახლოება, რომელსაც თან სდევს ახალ-ახალი საკონტაქტო ზომების წარმოქმნა. მოხახუნე მასალების სისაღეების ერთმანეთისაგან განსხვავებისას სხეულების დაახლოება ხდება შედარებით რბილი მასალის მიკრობორცვების შვერების მოთელვით და მეორე უფრო სალი გედაპირის შვერების პირველში ჩაღრმავებით.

მეორე შემთხვევაში, როცა ერთი გედაპირის სისაღე ბევრად ნაკლებია მასთან კონტაქტში მყოფ გედაპირთან შედარებით, მეორის მიკრობორცვები მთლიანად ეფლობიან პირველის გედაპირში. დაკონტაქტების ასეთი სქემა დამახასიათებელია ისეთი შეუღლებისათვის, როცა ერთი სხეული დამზადებულია არალითონური მასალისაგან, მაგ., პოლიმერისაგან და როცა მისი დრეკადობის მოდული 200-ჯერ და უფრო მეტად ნაკლებია კონტრსხეულის დრეკადობის მოდულზე.

მოხახუნე გედაპირების ფაქტობრივი და კონტურული ფართობების გასამომად საინჟინრო პრაქტიკაში რამდენიმე ეფექტური მეთოდი და გექნიკური საშუალებებია შემუშავებული, რომელთა შორის აღსანიშნავია ხელსაწყოები, რომელთა მოქმედების პრინციპი ეფუძნება კონტაქტის ადგილის ელექტრული გამტარობის ფიქსირებას, ნივთიერებათა ერთი გედაპირიდან მეორეზე გადაგანას, რადიაქტიულ იზოტოპებს და ოპტიკურ-ფიზიკურ მეთოდებს.

2.2. ზედაპირული ფენის მექანიკური თვისებები და სტრუქტურა

მანქანათა ნაწილების დამზადების პროცესში ზედაპირების დამუშავება გეჟნიკის განვითარების თანამედროვე ღონებზე კი წარმოქმნის მთელ რიგ პრობლემურ საკითხებს – დამზადების მეთოდის მიხედვით ხშირად მნიშვნელოვნად იცვლება ზედაპირული ფენის მიკროსტრუქტურა და ფიზიკურ-მექანიკური მაჩვენებლები.

მანქანათა ნაწილების ზედაპირების მექანიკური დამუშავება იწვევს ზედაპირული ფენის პლასტიკურ დეფორმაციას და გეჟნოლოგიური პარამეტრების შესაბამისად მის მეგ-ნაკლებ გამტკიცებას. ზედაპირული ფენის გამტკიცება, თავის მხრივ, განპირობებულია მასალის მექანიკური მაჩვენებლების (სიმტკიცისა და დენადობის მღვრების) გაზრდით და პლასტიკურობის მაჩვენებლების შემცირებით. უმრავლეს შემთხვევაში ეს მოვლენა მანქანათა ნაწილების ექსპლუატაციის პროცესში უარყოფით როლს თამაშობს. ზედაპირული ფენის განმტკიცება იწვევს მასალის სტრუქტურულ ანომალიებს, სტრუქტურულ მარცვლებში ნარჩენი ძაბვების წარმოშობას და მათ არათანაბარ განაწილებას. ყოველივე ეს კი – ლითონური მასალის სტრუქტურულ არამდგრად მდგომარეობას, რომელსაც დამზადების პროცესის დამთავრების შემდეგ ნორმალურ მდგომარეობაში დაბრუნების გენდენცია აქვს. ამ პროცესს „დასვენების“ პროცესს უწოდებენ და მისი ეფექტურობა დამოკიდებულია დასვენების ხანგრძლივობაზე და გემპერაგურულ რეჟიმზე (ეფექტურობა იზრდება გემპერაგურის მომატებით).

ზედაპირების მექანიკური დამუშავების დროს ზედაპირული ფენის ფიზიკურ თვისებებზე დიდ გავლენას ახდენს გემპერაგურული რეჟიმი, რომელიც განპირობებულია დეგალის გარემოსთან თბოგაცვლის პროცესის პარამეტრებით. დამზადების პროცესში წარმოშობილი სითბოს ხარჯზე ხდება დეგალის გაუთვალისწინებელი ზედაპირული წრთობა.

მანქანათა ნაწილების მექანიკური მეთოდით დამზადების დროს ზედაპირული ფენის მდგომარეობაზე დიდ გავლენას ახდენს ის გარემოება, რომ მასში მექანიკური და თერმული ბემოქმედების შედეგად აღმოცენდება ნარჩენი ძაბვები.

მანქანათა ნაწილებში ნარჩენი ძაბვის წარმოშობის მექანიზმი შემდეგნაირად შეიძლება იყოს წარმოდგენილი: მექანიკური დამუშავების პროცესში დეგალის პლასტიკურად დეფორმირებული (შეკუმშული) ზედა ფენები ცდილობენ ქვედა უცვლელი ფენების დეფორმირებას (გაჭიმვას), რომლებიც, თავის მხრივ, ეწინააღმდეგებიან პლასტიკური დეფორმაციების გავრცელებას, რის შედეგადაც ზედაპირულ ფენებში უმეტეს შემთხვევაში ფორმირდება კუმშვის, ხოლო გულაში, ზედაპირიდან 50.....200 მკმ სიღრმეზე – გამჭიმი ნარჩენი ძაბვები. ნარჩენი ძაბვების წარმოშობას ხელს უწყობს

აგრეთვე პროცესი, რომელიც დაკავშირებულია ლითონის ბურბუშელას აცლასთან. ინსტრუმენტის მეშვეობით ბურბუშელას აცლის დროს ხდება ზედაპირული ფენების ჭრის მიმართულებით გაჭიმვა, რაც, თავის მხრივ, ზედა ფენებში ამცირებს კუმშვის ნარჩენ დეფორმაციებს, ხოლო გულარში მრდის გაჭიმვის ნარჩენ დეფორმაციებს.

ნარჩენი ძაბვების წარმოშობის მნიშვნელოვანი წყაროა ტემპერატურული ცვლილებები, რომლის მექანიზმი ასეთია: ზედაპირული ფენის ამა თუ იმ მიზმით და ხარისხით გახურების დროს მისი მოცულობა იზრდება. ქვედა ფენები და გულარი, რომლებმაც არ განიცადეს ტემპერატურული გემოქმედება, წინააღმდეგობას უწევენ ზედაპირული ფენების გაფართოებას, ხოლო გაცივების პროცესში, როცა ზედაპირული ფენის მოცულობა მცირდება, დეგალის გულარი, ბუნებრივია, ხელს უშლის მასალის კუმშვას. ტემპერატურული გრადიენტის მოხსნის შემდეგ ზედაპირულ ფენებში რჩება გაჭიმვის, ხოლო დეგალის გულში – კუმშვის ნარჩენი ძაბვები.

ამრიგად, ლითონური მანქანათა ნაწილების მექანიკური დამუშავების დროს პლასტიკური დეფორმაციები ზედაპირულ ფენებში იწვევენ კუმშვის, ხოლო მასალის ჭრის შედეგად აღმოცენებული თბური ეფექტები – გამჭიმ ნარჩენ ძაბვებს. აქ ნარჩენი ძაბვების ჯამური ნიშანი დამოკიდებულია ფაქტორის უპირატესობაზე.

იმავედროულად, კონსტრუქციულ მასალებში მასალის პლასტიკურობის მაჩვენებელი მდგომარეობას მთლიანად ვერ ათანაბრებს, იგი მხოლოდ არბილებს ნარჩენი დეფორმაციების გავლენას.

მანქანათა ნაწილების მუშაობის უნარის ამგვარი შეფასების დროს მიზანშეწონილია ვისარგებლოთ რეკომენდაციებით, რომელიც ითვალისწინებს, რომ ტემპერატურის მიხედვით არჩევენ ლითონური სხეულების ორ მდგომარეობას – დრეკადს და პლასტიკურს (დრეკადისაგან განსხვავებით, პლასტიკურ მდგომარეობაში რეალურად ძაბვები არ გროვდება).

ნახშირბადოვანი ფოლადებისათვის კრიტიკულ ტემპერატურად, როცა ისინი პლასტიკურ მდგომარეობაში გადადიან, მიჩნეულია $450\text{ }^{\circ}\text{C}$, ხოლო ლეგირებული ფოლადებისათვის – $550\text{ }^{\circ}\text{C}$.

აღსანიშნავია აგრეთვე ის, რომ ზედაპირული ფენის საშუალო ტემპერატურა ხეხვის დროს $300 - 400\text{ }^{\circ}\text{C}$ -ია, ხოლო უკიდურესი ზედაპირული ფენისათვის – $800 - 850\text{ }^{\circ}\text{C}$. ამავე რიგისაა ზედაპირული ფენის ტემპერატურული რეჟიმი ჩქაროსნული ჩარხვის დროსაც.

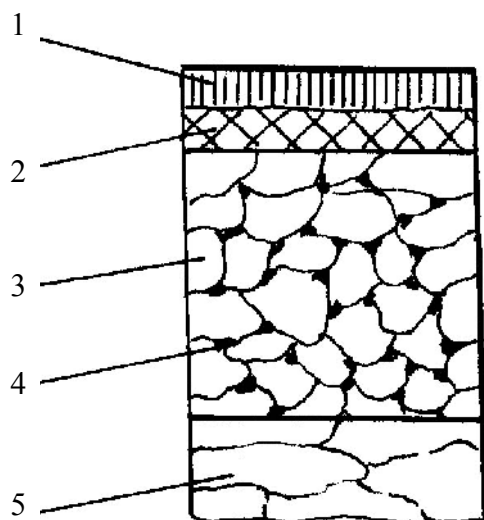
ზედაპირული ფენებისათვის თბური პროცესებით აღძრული და ნარჩენი დაძაბულობებით განპირობებული შიგა ძაბვა შეიძლება ასე გამოითვალოს:

$$\sigma = 0,5(t_2 - t_1)\alpha E,$$

სადაც t_1 და t_2 შესაბამისად, ზედაპირული ფენის საწყისი და მაქსიმალური ტემპერატურაა; α – მასალის ხაზობრივი გაფართოების ტემპერატურული კოეფიციენტი; E – მასალის დრეკადობის მოდელი მაქსიმალური ტემპერატურის დროს.

მანქანათა ნაწილებისა და, საერთოდ, ზედაპირული ფენების ერთ-ერთი თავისებურება ის გახლავთ, რომ გარემო პირობებთან ურთიერთქმედების შედეგად იცვლება მათი ფიზიკურ-ქიმიური თვისებები, კერძოდ, ლითონის ზედაპირზე წარმოიქმნება ქანგეულების თხელი აფსკი, რომელიც შესამჩნევად მოქმედებს გრიბოლოგიურ პროცესზე და მის პარამეტრებზე.

ზოგადად კი, მანქანათა ნაწილების ზედაპირების ხარისხი დამოკიდებულია მასალის მიკროსტრუქტურაზე, ზედაპირების მიკრო- და მაკროგეომეტრიაზე, გალღურობასა და ნარჩენი დეფორმაციების ხარისხზე. მეორეს მხრივ, ზედაპირების ხარისხი დამოკიდებულია მასალის გვარობაზე, მისი დამუშავების მეთოდზე, გამოყენებული ინსტრუმენტის პარამეტრებზე, დამუშავების რეჟიმზე, შებენის და გამაცივებელი საშუალებების სახეებსა და ინტენსივობაზე. ლითონური დეტალების ზედაპირული ფენები, რომლებიც მიღებულია ხეხვის საფინიშო ოპერაციით, გამოირჩევიან არაერთგვაროვნებით. ფენათა არაერთგვაროვნების გადანაწილება ფენების სიღრმის მიხედვით მოცემულია 2.5 ნახ-ზე.



ნახ. 2.5. ფენათა არაერთგვაროვნების გადანაწილება ფენების სიღრმის მიხედვით

ნახაზზე 1 არის სასაზღვრო ფენა, სადაც აღსორბირებულია სინესტე, გაზები, შემშენ-გამაცივებელი სითხეები, რომელთა მოცილებაც შესაძლებელია მხოლოდ ვაკუუმში, ისიც გაცხელების შედეგად. ამ ფენის სისქეა 0,0002...0,0008 მკმ; 2 – დეფორმირ-

ებული ფენა, რომელიც ფორმირდება ძლიერ დაქუცმაცებული ნაწილაკებით და დამახინჯებული კრისტალური მესრით. ამ ფენაში ხეხვის შედეგად წარმოქმნილი მაღალი გემპერაგურა იწვევს ნახშირბადის გამოწვას, რასაც მოსდევს ფენისათვის დამახასიათებელი ჟანგეულების, ნიგრიდების, საჰაერო ბუშგების, ნაპრალების გაჩენა. ამ ფენის სისქე იცვლება 0,0002...0,008 მკმ ზღვრებში. 3 – ფენა წარმოდგენილია ძლიერ დეფორმირებული სტრუქტურული მარცვლებით, რომელიც გამოწვეულია სახეხი წრის დაწნევით და ხეხვის განგენციალური ძალებით. ამ ფენისათვის დამახასიათებელი სპეციფიკაა ის, რომ მაღალი გემპერაგურის მოქმედებით მასში წარმოიქმნება სტრუქტურულად თავისუფალი ცემენტი და ფენის სისქე შეადგენს 0,8...5 მკმ. 4 – ფენა წარმოადგენს საწყის სტრუქტურას, რომელიც შეესაბამება სხეულის ძირითადი მასის სტრუქტურულ აგებულებას.

ზოგადად ზედაპირული ფენის შესახებ შესაძლებელია ითქვას შემდეგი: თუ მხედველობაში არ მივიღებთ აღსორბირებულ ზედაპირს, ზედაპირული ფენა, რომელიც მიიღება ინსტრუმენტის ზემოქმედების მეშვეობით, შედგება ორი ძირითადი ნაწილისაგან: 1) გარეთა მეგად თხელი ფენა საკმაოდ დამახინჯებული კრისტალური მესრით, რაც დარღვეული სტრუქტურული მარცვლებია, და 2) გამოკვერილი ფენა, რომელსაც გამოკვეთილი კრისტალური სტრუქტურა აქვს.

ზედაპირული ფენის განმტკიცება შეიძლება შეფასდეს მიკროსისალის (საწყისთან შედარებით) ცვალებადობის შესაბამისად. ცნობილია, რომ მიკროსისალის მაჩვენებელი მცირდება დეგალის ზედაპირიდან დაშორების შესაბამისად, ამასთან, დაცემის ხარისხი განსაკუთრებით მკვეთრია მეორე ფენაში, რომელიც ხასიათდება დამახინჯებული კრისტალური მესრით, ხოლო გამოკვერვით ზედაპირების განმტკიცების ეფექტი ნაკლებად შესამჩნევია მტკიცე და მყიფე მასალებისათვის, და პირიქით, ეფექტურია ნაკლებად მტკიცე და ბლანტი, მცირენახშირბადიანი მასალების შემთხვევაში.

დეგალების დამზადების ტექნოლოგიური პროცესების გავლენა ზედაპირულ ფენებზე ზოგადად შეიძლება საკმაოდ დიდ სიღრმეზე გავრცელდეს. მაგალითად, გაჩარხვის დროს ზემოთ ნახსენები ფაქტორების გავლენით ზედაპირული ფენა შეიძლება იცვლებოდეს 0,25...2,0 მმ ზღვრებში, ხოლო ხეხვის დროს – 2...25 მკმ და 0,2 მკმ-მდე – პოლირების დროს.

ზედაპირულ ფენებში ამა თუ იმ ფაქტორის მავნე გავლენის ძირითად მაჩვენებლად (რა თქმა უნდა, სტრუქტურულ ცვლილებებთან ერთად) მიჩნეულია დამზადების პროცესის დამთავრების შემდეგ დაძაბული მდგომარეობის შენარჩუნება.

ექსპერიმენტული კვლევებით დადასტურებულია, რომ ნარჩენი ძაბვების სიდიდემ ლითონურ დეგალებში შეიძლება შეადგინოს 500...1000 მპა. ამასთან, ისინი შეიძლება

იყოს როგორც გამჭიმვი, ისე მკუმშავი ხასიათის. ე.ი. ნარჩენი ძაბვების სიდიდე შესაძლებელია აღემატებოდეს მასალის მღვრულ სიმკვციეს, რაც, თავის მხრივ, იმას ნიშნავს, რომ დეგალმა შეიძლება დაგვიროთვის გარეშე განიცადოს რღვევა, დაკარგოს თავისი ფუნქციური დანიშნულება – გატყდეს, გაიბზაროს, შეიცვალოს გეომეტრიული ფორმა და ა. შ.

რიგი ავტორების მიერ დაფიქსირებულია მეგად საინტერესო მომენტებიც. მაგალითად, როცა ტექნოლოგიური რეჟიმების რაოდენობრივი ცვლილებები იწვევენ თვისობრივს – გამჭიმვი ძაბვა იცვლება მკუმშავით.

პროფ. ა. სუსლოპაროვის ექსპერიმენტული გამოკვლევის დროს დეგალის (ფოლადი 45) დამუშავება ხდებოდა წმინდა გაჩარხვით სალი შენადნობიანი საჭრისით გაცივების გარეშე; ხოლო გრძივი მიწოდება შეადგენდა 0,1 მმ-ს. ექსპერიმენტის შედეგი ასეთი აღმოჩნდა: 100მ/წმ ჭრის სიჩქარის დროს ნარჩენი ძაბვა გედაპირულ ფენაში იყო გამჭიმვი და შეადგენდა 70 მპა-ს, 200 მ/წთ ჭრის სიჩქარის დროს – 0-ს, ხოლო 400 მ/წთ ჭრის სიჩქარის დროს ნარჩენი ძაბვა იყო უკვე მკუმშავი – 166 მპა.

მიკროსკოპული არაერთგვაროვნება მეგ-ნაკლებად დამახასიათებელია ყველა მყარი სხეულისათვის, ხოლო ლითონებში არაერთგვაროვნება განპირობებულია ლითონთა კრისტალების გარკვეული ანიზოტროპიულობით. მექანიკური წესით დამუშავებული ლითონური დეგალებისათვის არაერთგვაროვნება კიდევ უფრო მეგადაა გამოკვეთილი, როგორც ქიმიური აქტივობის, ისე ფიზიკურ-მექანიკური თვისებების თავისებურებების მხრივ და ყველა მათგანი ძირითადად დამოკიდებულია დამზადების პროცესის ტექნოლოგიურ პარამეტრებზე.

ამრიგად, მანქანათა ნაწილების საიმედოობის მაჩვენებლები, კერძოდ, ხანგამძლეობა, დიდად არის დამოკიდებული დეგალის დამუშავების ტექნოლოგიურ რეჟიმზე (ჭრის სიჩქარის, მიწოდების სიდიდის, ტემპერატურული რეჟიმის, ინსტრუმენტის გეომეტრიის და ა.შ.) და მეთოდების (მექანიკური, ლაზერული, ქიმიურ-თერმული და ა.შ.) სწორ შერჩევაზე, რის შესაბამისადაც, ოპტიმალური არჩევანი ზოგ შემთხვევაში შესაძლებლობას იძლევა, რამდენიმეჯერ გავადილოთ დეგალის მუშაობის რესურსი.

2.3. ხახუნის თეორიები და მუშა გედაპირების კონტაქტები

მეცნიერული წარმოდგენა ხახუნის ბუნებაზე კაცობრიობის განვითარების ისტორიაში იცვლებოდა იმის მიხედვით, თუ რა წარმოდგენა ჰქონდათ და როგორი იყო მეცნიერების ცოდნის დონე მყარი სხეულების ბუნებაზე იმ პერიოდისათვის. როგორც

უკვე აღვნიშნეთ, ორ სხეულს შორის ხახუნი წარმოიშობა, როცა ისინი ერთმანეთის მიმართ გადაადგილდებიან (კინეტიკური ხახუნი) ან მათი ურთიერთგადაადგილების მცდელობისას (უძრაობის, სტატიკური ხახუნი). ამასთან, ხახუნის მოვლენა განპირობებულია მყარი სხეულების ზედაპირების ურთიერთქმედებით (გარე ხახუნი) ან თვით სხეულში სტრუქტურული ელემენტების ერთმანეთის მიმართ გადაადგილებით (შიგა ხახუნი). უკანასკნელი შეიძლება ხდებოდეს როგორც თხევად და აიროვან ნივთიერებებში, ისე მყარ სხეულებში.

ბოლო ათწლეულების მეცნიერულმა გამოკვლევებმა დაამტკიცეს, რომ გრიბოლოგიურ პროცესში მექანიკურის პარალელურად არსებობს ელექტრული, მაგნიტური, თბური და სხვა მოვლენები. ამ მოვლენათა კომპლექსი კონტაქტის ზონაში წარმოშობს სხეულთა ურთიერთგადაადგილების წინააღმდეგობას, რომლის გოლქმედი პირობითად მიჩნეულია ხახუნის ძალად.

გრიბოგექნიკის განვითარების ადრეულ ეტაპზე (XVII-XVIII სს.) ხახუნის ბუნების ახსნას ცდილობდნენ მექანიკური თეორიით, რომელსაც პირობითად „გეომეტრიულსაც“ უწოდებენ. ამ თეორიის თანახმად ხახუნის არსის ახსნა ხდებოდა მხოლოდ გეომეტრიული მოსაზრებებით, კერძოდ, მიკრობორცვების გადალახვის წინააღმდეგობით, რაც შეესაბამებოდა მყარი სხეულების მექანიკის განვითარების იმ პერიოდს, როცა მყარი სხეულები აბსოლუტურად ხისგად იყო მიჩნეული. აღნიშნულის შესაბამისად, ხახუნის კოეფიციენტი მიიღებოდა ერთეულოვანი მიკრობორცვის დახრის კუთხის ტანგენსის ტოლად (პარანი, ეილერი). ამავდროულად, ეფუძნებოდა რა გრიბოლოგიური პროცესის არსზე პირვანდელ წარმოდგენებს, მექანიკური თეორია ვერ ხსნიდა რიგ მოვლენებს. მაგალითად, ამ თეორიის თანახმად, ყოველგვარ ლოგიკას ეწინააღმდეგება ცვეთის ინტენსივობის გაზრდა ძლიერ მცირე სიმჭისის ზედაპირების შემთხვევაში, რაც ასე მარტივად დასტურდებოდა ექსპერიმენტებით (როცა სიმჭისის პარამეტრები $R_a \leq 0,32 \dots 0,04$ მკმ, მიკრობორცვზე ასვლის წინააღმდეგობა პრაქტიკულად არ არსებობს, ვინაიდან კუთხე ბორცვის ძირთან გაგარებული პროფილის და ჰორიზონტს შორის $1..2^\circ$ -ზე ნაკლებია).

გრიბოლოგიურ პროცესის თანამედროვე წარმოდგენას საფუძვლად უდევს საბჭოთა მეცნიერ ი. კრაგელსკის თეორია (1939 წ.), რომელიც იწოდება მოლეკულურ-მექანიკურად და რომელიც ეფუძნება ფარდობით გადანაცვლების დროს სხეულთა ურთიერთქმედების ორ სახეს:

ა) მოლეკულურს, რომელიც განპირობებულია ორ სხეულს შორის ატომურ-მოლეკულური ურთიერთქმედებით;

ბ) მექანიკურს, რომელიც განპირობებულია იმ მუშაობით, რომელიც ხმარდება სხეულის გარკვეული მოცულობის დეფორმაციას ერთი სხეულის შვერის მეორეში ჩაღრმავების დროს.

ი. კრაგელსკის თეორიის თანახმად, წინააღმდეგობის ორივე ფაქტორი ერთად შეადგენს ხახუნის ძალის წინააღმდეგობას.

2.4. მოლეკულური ურთიერთქმედება გრიბოლოგიურ პროცესში

მოლეკულური ურთიერთქმედება სხეულებს შორის სამეცნიერო-გექნიკურ ლიგერაგურაში ხახუნის შესახებ უმეტესად ადჰეზიურ შემდგენად იწოდება. შესაბამისად, ხახუნის ძალის ამ შემდგენისათვის შემოვიღოთ აღნიშვნა $-F_s$.

პირველად გრიბოლოგიური პროცესის მოლეკულური თეორია წარმოადგინა ინგლისელმა ფიზიკოსმა ი. დემარგიულემ (1704 წ.). შემდგომ ეს მიმართულება განავითარეს ასევე ინგლისელმა მეცნიერებმა – უ. ჰარდიმ (1919 წ.), გ. გომილინსონმა (1929 წ.) და საბჭოთა მეცნიერმა ბ. დერიაგინმა (1934 წ.). აქვე შეიძლება ვახსენოთ ცნობილი ინგლისელი მეცნიერის – ფ. ბოუდენის შრომები, სადაც მყარ სხეულებს შორის შედუღების კავშირების საფუძვლად იგულისხმება მოლეკულური ურთიერთქმედება.

როგორც აღრე აღვნიშნეთ, ორი მყარი სხეულის მოლეკულური ურთიერთქმედების შედეგად წარმოქმნილ წინააღმდეგობას მათი ფარდობითი სრიალის დროს F_s ადჰეზიურ შემდგენს განაპირობებს მოხახუნე ბედაპირების შეჭვიდულება და მათი ადჰეზიური თვისებები. უკანასკნელი, თავის მხრივ, შედეგია იმ ძალთა ველის მოქმედებისა, რომელიც წარმოიქმნება იმ მოლეკულების (ატომების, იონების) მუხტით, რომლებიც შეადგენენ საკონტაქტო ბედაპირის ბედა ფენას. ამ ველის მოქმედება ექსპონენციური კანონის მიხედვით მცირდება ბედაპირიდან მანძილის გამრდის შესაბამისად და ბედაპირული ფენიდან 0,001-0,002 მკმ მანძილზე ვან-დერ-ვაალსის ძალების* მნიშვნელობა პრაქტიკულად უტოლდება ნულს.

* ვან-დერ-ვაალსის ძალები მოლეკულების სპეციფიკური ურთიერთქმედებაა. მისი მეშვეობით შესაძლებელი ხდება დიდი მაკრომოლეკულის შექმნა და იგი მოლეკულათშორის ძალად იწოდება. ამის გამო აღნიშნული ძალები მკვეთრადაა გამოხატული მყარ ნივთიერებებში და ნაკლებად – აირთვანსა და თხევადში, ე.ი. ნაკლებად იქ, სადაც მოლეკულებს შორის მანძილი დიდია. ვან-დერ-ვაალსის ძალები მოლეკულების ელექტრული ველების ურთიერთქმედებაა ელექტრონების ერთმანეთში გადასვლის გარეშე.

დღეს აღიარებული ხახუნის თეორიის მიხედვით მიჩნეულია, რომ ადჰეზიური შემდგენი ვან-დერ-ვაალსის ძალებითაა განპირობებული. ნათქვამი დასტურდება იმით, რომ გრიბოლოგიურ პროცესში სხეულის რღვევის პროდუქტები არის მოლეკულები ან მოლეკულების ჯგუფი დიდი მაკრომოლეკულების სახით, ხოლო სხეულის ნაწილებს შორის გადანაცვლება-დეფორმაციათა მასშტაბები მოლეკულურია. ამიტომ ხახუნის პროცესის შესწავლის დროს შიგა მოლეკულური, ატომური კავშირები არ განიხილება. გამონაკლისია წყალბადოვანი (პროტონული) კავშირები, რომლებიც ერთდროულად შიგამოლეკულური და მოლეკულათშორისი კავშირებია. ასევე დამტკიცებულია, რომ ვან-დერ-ვაალსის ძალები მაქსიმალურ სიდიდეს აღწევენ, როცა მაღალია სხეულების გედაპირების დამუშავების ხარისხი, კერძოდ, მაღალია სიმქისის მაჩვენებლები, გედაპირები სუფთაა ქიმიურად და ფიზიკურად და, ამასთან, მანძილი საკონტაქტო გედაპირების ელემენტებს შორის არ აღემატება (3-5) 10^{-4} მკმ-ს. დაწინევა, რომელიც წარმოიქმნება ატომურ-მოლეკულური მიზიდულობის შედეგად ურთიერთკონტაქტში მყოფ გედაპირებს შორის, ბუნებრივია, დამოკიდებულია მასალების გვარობასა და გედაპირების მდგომარეობაზე (მაგ., პროფილის პარამეტრებზე), ჟანგის აფსკის არსებობაზე, აღსორცის ხარისხზე და ა. შ. გამოკვლევების შედეგად დადგენილია, რომ ფოლადის გედაპირისათვის, როდესაც მანძილი მათ შორის 0,005-0,01 მკმ-ია, სხეულთა ადჰეზიის შედეგად წარმოქმნილმა წნევამ შეიძლება 10^5 პა-ს მიაღწიოს.

არსებული მწყობრი თეორიის მიუხედავად, ხახუნის ძალას ადჰეზიური შემდგენის განსაზღვრა თანამედროვე მეცნიერების დონეზეც პრაქტიკულად შეუძლებელია ადჰეზიური კავშირების რთული ბუნებისა და მრავალი ცვლადი ფაქტორების გამო, რომლებიც საბოლოო ჯამში განაპირობებენ ელემენტების ურთიერთქმედების პროცესს. აღნიშნულის გამო ხახუნის კოეფიციენტის ადჰეზიურ შემდგენს უმეტესწილად განსაზღვრავენ ემპირიული დამოკიდებულებიდან, როდესაც ძირითად არგუმენტად მიჩნეულია კონტაქტში მყოფი სხეულების ერთმანეთზე მიჭერის, ნორმალური წნევის საშუალო მნიშვნელობა.

2.5. მექანიკური ურთიერთქმედება გრიბოლოგიურ პროცესში

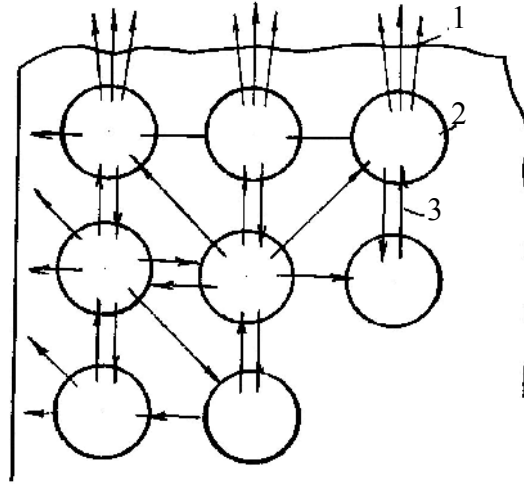
ხახუნის ძალის მეორე შემდგენი, რომელიც ასახავს სხეულთა მექანიკურ ურთიერთქმედებას სხეულთა ფარდობითი სრიალის დროს, როცა ერთის შვერი კონტაქტში არის მეორესთან და იწვევს მის მორღვევას ან დეფორმაციას, თანამედროვე ლიგერაგურაში მოიხსენიება, როგორც კოჰეზიური შემდგენი და აღინიშნება F_3 -თი.

იმის გამო, რომ ზემოხსენებულ მექანიკური ურთიერთქმედებით შვერების მოჭრასთან ერთად ხდება მათი დრეკადი და პლასტიკური დეფორმაციები, სხეულთა ურთიერთგადაადგილების წინააღმდეგობის ამ შემდგენს მადეფორმირებელსაც უწოდებენ. ხახუნის დარგში პირველი თეორია ამ შეხედულების გათვალისწინებით წარმოადგინა (1801 წ.) ინგლისელმა ფიზიკოსმა დ. ლესლიმ, რომელიც თვლიდა, რომ ხახუნი განპირობებულია დეფორმაციის გაღლით, რომელიც წინ მიუძღვის მეორე სხეულში ჩაღრმავებულ პირველი სხეულის შვერს. 1921 წელს გერმანელმა მეცნიერმა ლ. ჰუმბელმა კი ჩამოაყალიბა თეორია, რომელიც ხახუნის ძალის წინააღმდეგობად მიიჩნევა ერთი სხეულის შვერით მეორის მასალის გამოდევნის ფაქტს. თავის დროზე მასალის პლასტიკური გამოდევნის ეს თეორია საკმაოდ დამაჯერებლად გამოიყურებოდა, მაგრამ საბოლოოდ მაინც ვერ გაუძლო ექსპერიმენტული შემოწმების რიგ სირთულეებს და საჭირო აღიარება ვერ მოიპოვა. ხახუნის ძალის კოჰეზიური შემდგენი შეიძლება ასე წარმოვიდგინოთ:

$$F_3 = \sum_{i=1}^m F_{3i},$$

სადაც m შვერების რაოდენობაა საკონტაქტო ზედაპირზე; F_{3i} – ხახუნის ძალის კოჰეზიური შემდგენი i -ური შვერისათვის.

კოჰეზიური ძალები თავისი არსით მცირედ განსხვავდებიან ადჰეზიური ძალებისაგან. მეტიც, ისინი ერთი ბუნებისანი არიან და ემყარებიან ატომურ-მოლეკულურ ურთიერთქმედებას. განსხვავება მხოლოდ მათი მოქმედების სფეროებია. კოჰეზიური ძალები ადჰეზიურისაგან განსხვავებით, რომლებიც სხეულის ზედაპირზეა მოდებული, მოქმედებენ სხეულის შიგნით და წინააღმდეგობას უწევენ ყოველი სახის დეფორმაციებს. ე.ი. თუ ძალები მოქმედებენ სხეულის ზედაპირზე, ისინი იწვევენ ადჰეზიურ მოვლენებს და თუ სხეულის შიგნით მოქმედებენ, კოჰეზიურს. ყოველი ზემოქმედება სხეულზე, რომელიც იწვევს მისგან მისი ელემენტების აგლეჯას, კოჰეზიური ძალების წინააღმდეგობის შედეგია. ადჰეზიური და კოჰეზიური ძალების თვალსაჩინო ილუსტრაცია მოცემულია 2.6 ნახ-ზე.



ნახ. 2.6. აღჭებიური და კოჭებიური ძალების მოქმედების პირობითი სქემა:

1 – აღჭებიური ძალები; 2 – სხეულის ელემენტები; 3 – კოჭებიური ძალები

აღჭებიური და კოჭებიური ძალების ნათლად წარმოდგენისათვის გავაკეთოთ შემდეგი სახის დაშვებები შესაბამისი შეფასებებით:

- 1) ორი ერთმანეთის მიმართ მოძრავი სხეულის მუშა ზედაპირები აბსოლუტურად გლუვია, რაც შეესაბამება წინააღმდეგობის ძალების აღჭებიურ ხასიათს;
- 2) ორ ერთმანეთის მიმართ მოძრავ სხეულს აქვს რეალური, მქისე ზედაპირები – მაშინ წინააღმდეგობის ძალებს აქვს როგორც აღჭებიური, ასევე კოჭებიური ხასიათი.

ამრიგად, რეალური გარე ხახუნის ბუნებაში აღჭებიური და კოჭებიური ძალების მოქმედების შედეგია და იგი შეიძლება წარმოდგენილ იქნეს, როგორც აღჭებიური F_s და კოჭებიური F_k შემდგენლების ჯამი:

$$F_f = F_s + F_k,$$

სადაც F_f ჯამური გარე ხახუნის ძალაა.

ხახუნის თეორიის განვითარების დღევანდელ ეტაპზე საპრობლემო საკითხია ხახუნის ძალის შემდგენლების თანაფარდობის დადგენა. საქმე იმაშია, რომ ხახუნის პროცესში შეიძლება გამოყოფილ იქნეს სხეულთა ურთიერთქმედების შემდეგი სახეები:

- მასალათა დრეკადი დეფორმაცია;
- მასალათა პლასტიკური დეფორმაცია;
- მოხახუნე ზედაპირებში შეჭრილი შვერების ჭრა;

- ქანგის აფსკების შეჭიდულობა და მათი რღვევა;
- გედაპირების მოლეკულური შეჭიდულობა, რომელსაც თან სდევს სიღრმითი ამოგლეჯები.

ურთიერთქმედების გემოთ მოყვანილი სახეების მნიშვნელობის რაოდენობრივი მაჩვენებლები განაპირობებენ F_s და F_k შემდგენების თანაფარდობას გრიბოლოგიურ პროცესში, რაც, თავის მხრივ, განსაზღვრავს გედაპირების დაშლის ხასიათსა და ინტენსივობას, შესაბამისად, მანქანათა ნაწილების საიმედოობას და, კერძოდ, ხანგამძლეობას.

2.6. მასალის მექანიკური თვისებების შეფასება დადებითი გრადიენტის წესით

როგორც უკვე აღვნიშნეთ, გრიბოლოგიური სისტემის კონსტრუირების დროს მნიშვნელოვანი მომენტია მოხახუნე წყვილებისათვის მასალებისა და მათი გედაპირების დამუშავების მეთოდის შერჩევა. ორივე ფაქტორი ერთად მნიშვნელოვანწილად განსაზღვრავს მოხახუნე გედაპირული ფენის საერთო მდგომარეობას. აღნიშნულის გამო თანამედროვე საინჟინრო და მეცნიერულ პრაქტიკაში გრიბოლოგიური სისტემების შრომისუნარიანობის ერთ-ერთ ყველაზე ეფექტურ კრიტერიუმად შეიძლება იქნეს მიჩნეული „გრადიენტის წესის“ გამოყენება.

გრადიენტის წესი ითვალისწინებს განისაზღვროს მასალის მექანიკური მაჩვენებლის ცვლილების სურათი – გრადიენტი გედაპირის ნორმალის მიმართულებით (თვალსაჩინოებისათვის მექანიკურ მაჩვენებელს ზოგჯერ გამოსახავენ ვექტორის სახით). თუ მასალის მექანიკური მაჩვენებელი, მაგ., სიმტკიცის ზღვარი σ_b იზრდება

გედაპირის სიღრმის მიმართულებით, გრადიენტი დადებითია $\frac{d\sigma_b}{dz} > 0$ (ნახ. 2.7ა), სადაც

σ_b მასალის მექანიკური მაჩვენებელია, ხოლო z – მიმდინარე კოორდინატი გედაპირის ნორმალის მიმართულებით, მაშინ მოხახუნე წყვილის სახუნის პროცესისათვის შექმნილია მიზანშეწონილი, ოპტიმალური პირობები. გემოხსენებული მიიღწევა იმით, რომ გრიბოლოგიურ პროცესში დეფორმაციის ზონა არ ვრცელდება დიდ სიღრმეზე და დეფორმირდება მხოლოდ გედაპირული თხელი ფენა, რაც მნიშვნელოვანი პირობაა იმისა, რომ არ მოხდეს დეგალის სიღრმისეული რღვევა, ე. ი. დეგალის ინტენსიური ცვეთა.

თუ დეგალის მოხახუნე ზედა ფენას აქვს უფრო მაღალი სიმკვრივის მაჩვენებელი ვიდრე ძირითად მასას (ნახ. 2.7ბ), გრადიენტი უარყოფითია ($\frac{d\sigma_b}{dz} < 0$) და მოხახუნე წყვილისათვის შექმნილია ყველა წინა პირობა ინგესიური ცვეთისათვის. ეს კი გამოწვეული იქნება დეგალის ზედაპირული რღვევით მოხახუნე ფენების ერთმანეთთან შეჭიდულობისა და სიღრმისეული ფენების ნაკლები სიმკვრივის გამო. პროცესის ფიზიკური არსი მდგომარეობს იმაში, რომ მოხახუნე ზედაპირიდან ხდება მასალის პაგარა გუნდების სიღრმისეული ამოგლეჯები, რაც, თავის მხრივ, ფრიალ უარყოფით მოვლენად ითვლება.

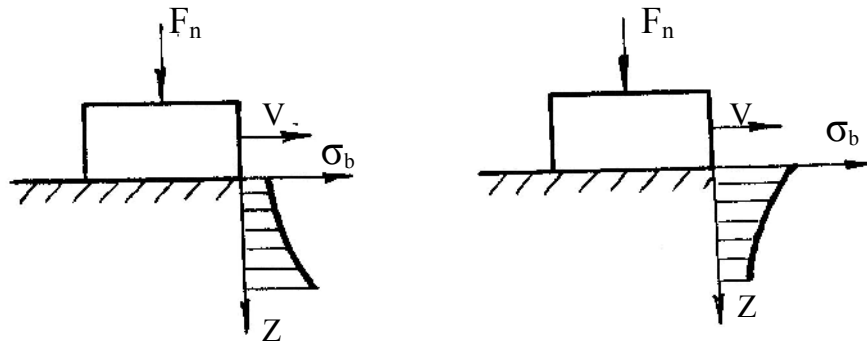
ზემოთ ნათქვამის გათვალისწინებით შეიძლება დამატებით დავასკვნათ, რომ გრიბოლოგიურ პროცესში მნიშვნელოვანი ფაქტორია ის, რომ სხეულების ალჰემიური კავშირების სიმკვრივე უნდა განსხვავდებოდეს სიღრმისეული ფენების სიმკვრივისაგან. ამასთან, ჭეშმარიტი გარე ხახუნის პროცესის დამყარებისათვის საჭიროა, რომ სიღრმისეული ფენების სიმკვრივე მეტი იყოს ალჰემიური კავშირების სიმკვრივეზე (დადებითი გრადიენტი), აღნიშნულ შემთხვევაში დეფორმაციები ვრცელდება მხოლოდ თხელ ზედაპირულ ფენებში და ცვეთა ნაკლებად ინგენსიურია. თუ ალჰემიური კავშირების სიმკვრივე მეტია სიღრმისეული ფენების სიმკვრივეზე (უარყოფითი გრადიენტი), დეფორმაციები მოცულობითია და, შესაბამისად, ცვეთა ინგენსიური იქნება. ე. ი. გრიბოლოგიური პროცესის ხელსაყრელად წარმართვისათვის უნდა ხორციელდებოდეს დადებითი გრადიენტის წესი. ამასთან, საჭიროა გავითვალისწინოთ ის, რომ როგორც კი ირღვევა დადებითი გრადიენტის წესი, გარე ხახუნის პროცესთან ერთად იწყება შიგა ხახუნი, და რომ ამ მოვლენას დიდად უწყობს ხელს კონტაქტის ზონაში წარმოშობილი მაღალი ტემპერატურა. უკანასკნელი განპირობებულია იმით, რომ ტემპერატურის მომატება ძლიერ მოქმედებს ზედაპირის დამცველი აფსკების სიცოცხლის უნარზე.

საკუთარი და სხვა მკვლევრების დაკვირვებათა საფუძველზე ჩვენს მიერ გაკეთებული იქნა დასკვნები იმის შესახებ, რომ გრიბოლოგიური სისტემების მუშაობის რადიკალური გაუმჯობესება დადებითი გრადიენტის განხორციელების გზით შესაძლებელი იქნება თუ მოხერხდება:

1) ისეთი „ქერცლიანი“ მოხახუნე ზედაპირის (ერთ-ერთის) ფორმირება, რომლისთვისაც ნიშანდობლივია რბილი, დანაწევრებული, დეფორმირებადი სასაზღვრო ფენები;

2) 1-ლ პუნქტში აღწერილ ზედაპირზე დანაწევრებულ ფენებში თხევადი ან აიროვანი პროლუქტების შეყვანა.

ამ მიმართულებით საინჟინერო დაკვირვება აქვს დ. გარკუნოვს, რომელმაც დააფიქსირა, რომ თევზებს, ფრინველებს, თაგვებს, თხუნელებს უმცირესი წინააღმდეგობა აქვთ შესაბამის გარემოში მათი მოძრაობისას.



ნახ. 2.7. მასალის მექანიკური მახასიათებლების გრადიენტის განსაზღვრის წესი:

ა – დადებითი გრადიენტი; ბ – უარყოფითი გრადიენტი.

შესაბამისად უნდა ვიფიქროთ, რომ აღნიშნული მოვლენა შეიძლება აიხსნას სწორედ მათი სხეულის გედაპირების „ქერცლიანობით“ და დანაწევრებულ მოხახუნე ფენებს შორის თხევადი ან აიროვანი „ბალიშების“ არსებობით.

ბუნების გემოთ ნახსენებ ანალოგებზე დაკვირვებების და რეკომენდაციების თეორიული დასაბუთება ჯერჯერობით პრობლემურად გამოიყურება და გადაწყვეტას მოითხოვს.

დღეს კი საინჟინრო პრაქტიკაში დადებითი გრადიენტის განხორციელების მიღწევა შეიძლება ისეთი კონკრეტული, კონსტრუქციული გადაწყვეტილებებით, როგორცაა:

- საკონტაქტო ზონაში ისეთი შემზეთი მასალების გამოყენება, რომლებიც ამცირებენ გედაპირული ფენების სიმტკიცეს ფენის აღსორბირების საფუძველზე (რეზინდერის ეფექტი) ან ქიმიური გემოქმედების შედეგად;
- მცირე სიმტკიცის მქონე თხელი ლითონური ან სხვა მასალების გამოყენება გედაპირების დაფარვის მიზნით;

ზოგადი დასკვნით გრიბოლოგიური სისტემების ეფექტური მუშაობა მნიშვნელოვანწილად არის განპირობებული შერჩევითი გადაგანის განხორციელებისათვის საჭირო წინაპირობების შექმნით. ერთ-ერთ ასეთად შეიძლება მივიჩნიოთ გრიბოლოგიურ სისტემებში გამოყენებული მასალების გედაპირული ფენების სიღრმითი მიმართულებით დადებითი გრადიენტის მიღების პირობა.

თავი 3. შერჩევითი ბალანა ტრიბოლოგიურ პროცესში

3.1. გრიბოგეჟნიკის განვითარების ახალი ამოცანა

მოხახუნე გელაპირების რღვევა მათი ურთიერთხახუნის დროს უშუალოდ უკავშირდება საკონტაქტო ზონებში მიმდინარე უკვე აღნიშნულ ფიზიკურ-ქიმიურ პროცესებს. ამ პროცესების ინტენსივობა დიდად არის დამოკიდებული ხახუნის მოვლენის ისეთ არგუმენტებზე, როგორცაა: მუშა გელაპირზე წარმოქმნილი წნევა, გელაპირების ფარდობითი სრიალის სიჩქარე, გემპერაგურა საკონტაქტო ზონაში, გარემო და შეშვების პირობები და საშუალებები, ხახუნის კვანძის კონსტრუქციული პარამეტრები, გამოყენებული მასალები, მოხახუნე გელაპირების მდგრადობა და სხვ.

აღნიშნული არგუმენტების კომპლექსური გავლენა გრიბოლოგიურ პროცესებზე, რომლებიც ფაქტიურად განსაზღვრავენ ცვეთის ხარისხს, პრაქტიკაში შემდეგი სახით ვლინდება:

- პლასტიკური დეფორმაციები, რომლებიც იწვევენ მოხახუნე გელაპირების ცივჭედვას და მიკრობორცვების რღვევას;
- ჟანგვითი პროცესები, რომლებიც წარმოქმნიან ჟანგულების აფსკებს (მართალია, ისინი დადებითი გრადიენტის წინაპირობას წარმოადგენენ, მაგრამ იმის გამო, რომ ნაკლებად მტკიცენი არიან, ადვილად ირღვევიან);
- ერთი მოხახუნე გელაპირთაგანის შევრების მეორეში ჩაღრმავება მათი ფარდობითი სრიალის დროს უკანასკნელში იწვევს ღრმულების გაჩენას და საბოლოოდ, პროცესის მრავალჯერადი გამეორების დროს, გელაპირის რღვევას;
- ალჰემიური შეჭიდულობა, რომელიც იწვევს ერთი მასალის მეორეზე შეჭიდებას, რაც, თავის მხრივ, განაპირობებს მასალის პაგარა გუნდების ამოგლეჯას;
- მოხახუნე გელაპირზე წყალბადის კონცენტრაციის გაზრდა, რაც გრიბოლოგიური სისგემის მუშაობის პირობების მიხედვით მკვეთრად ზრდის ცვეთის ინტენსივობას.

ბოლო დრომდე ხახუნის ძალების და, შესაბამისად, ცვეთის შემცირების ძირითად და თითქმის ერთადერთ მიმართულებად რჩებოდა მოხახუნე სხეულების გელაპირების სისაღის გადიდება. აღნიშნული განპირობებულია იმით, რომ გელაპირული სისაღის გადიდება ამცირებს სხეულთა მიკრო- და მაკრობორცვების ურთიერთჩაღრმავებას, ე.ი. ამცირებს პლასტიკური დეფორმაციების მნიშვნელობას და, მამასადამე, მადეფორმირებელ, კოჰემიურ მდგენელს. გარდა ამისა, სხენებული ფაქტორი ამცირებს

გრიბოლოგიურ სისტემაზე აბრაზიულ ზემოქმედებას და ქანგვითი პროცესების ინგენსივობას.

მექანიკური სისტემების ხახუნის კვანძების ნაწილების მედაპირული სისალის გადიდების მრავალი მეთოდი არსებობს. მათი დიდი უმრავლესობა ღვასაც ფართოდ გამოიყენებოდა სამანქანათმშენებლო პრაქტიკაში. მაგ.: მედაპირული წროთობა, ცემენგაცია, ამოტიზაცია, ციანიზაცია, ქრომირება, სალი შენადნობების თხელი ფენის დადულება და სხვ. ჩამოთვლილი მეთოდები ტრადიციულია და მნიშვნელოვნად ზრდის გრიბოლოგიური სისტემის ხანგამძლეობას. მაგალითად, ცილინდრების ელექტროლიტური ქრომირების შემდეგ შიგაწვის ძრავას წყვილის „ცილინდრი–ღვუმი“ რგოლის ცვეთამედეგობა თუჯის ცილინდრებთან შედარებით 4...5-ჯერ იზრდება [4].

უკანასკნელ დროს, რომელსაც ახასიათებს გრიბოლოგიურ სისტემებში დაგვირთვების გაზრდა და მანქანათა ნაწილებისადმი ახალი მოთხოვნების წაყენება, ადრე აღიარებული მიმართულება (მედაპირების სისალის გაზრდა) აღარ ამართლებს. კერძოდ, დიდი სისალის შემთხვევაში გარდაუვალი გადაცერებების გამო ხშირად მნიშვნელოვნად მცირდება ფაქტიური საკონტაქტო ფართობი, რაც, ბუნებრივია, ფრიად უარყოფითი მოვლენაა მოძრავი შეუღლებებისათვის.

აღნიშნული მიზეზების გამო საჭირო გახდა ახალი მაგისტრალური გზების ძიება.

3.2. შერჩევითი გადაგანის არსი

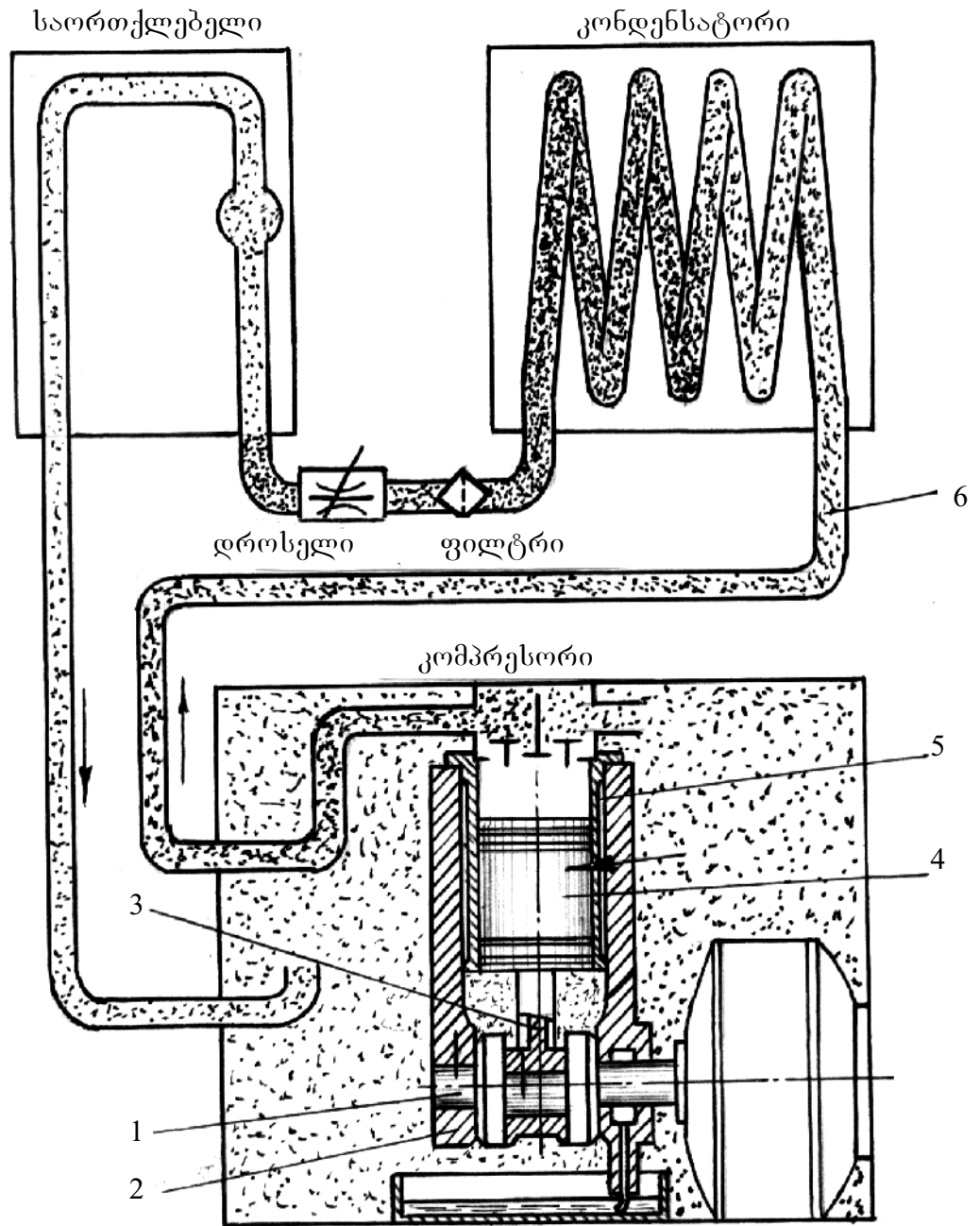
ჩვენი საუკუნის 50-იან წლებში მკვლევართა მიერ შენიშნულ იქნა, რომ მანქანათა ნაწილების გრიბოლოგიურ პროცესში ერთ-ერთი მოხახუნე ლითონის თხელი ფენა გადაიტანებოდა მეორეზე. ეს მოვლენა განსაკუთრებით თვალსაჩინო იყო ფოლადი-ბრინჯაოს მოხახუნე წყვილებისათვის სპირგ-გლიცერინის ნარევის შეზეთვის პირობებში. ლითონის აფსკი, რომელიც წარმოიქმნებოდა როგორც ერთ, ისე მეორე მედაპირზე, წარმოადგენდა სპილენძის თხელ დანაფარს, სისქით 1...2 მკმ (მოგვიანებით გრიბოლოგიურ სისტემებში ლითონის ასეთი გადაგანა დადასტურდა ტექნიკური საშუალებებით).

დ. გარკუნოვის მიერ დამტკიცდა, რომ ზემოთ აღნიშნული პირობებისათვის სპილენძის ფოლადზე გადაგანის ფაქტობრივი მოვლენა დიდად, ხშირად 10-ჯერ ამცირებს ხახუნის ძალას და, შესაბამისად, ცვეთის ინგენსივობას. ანალოგიური მოვლენა შენიშნა აგრეთვე ხახუნის ფოლადი-ბრინჯაოს წყვილის ЦИАТИМ– 201-ით შეზეთვისა

და ფოლადი-ფოლადის წყვილის ბეთისა და ფრეონის ნარევით შებეთვის დროს (საყოფაცხოვრებო მაცივრის კომპრესორის ხახუნის კვანძი).

რბილი ლითონის ერთი სხეულიდან კონგრესხეულზე გადაგანის მოვლენა მკვლევრებისათვის იმთავითვე უღავო ფაქტი გახდა. პრობლემურად მხოლოდ გადაგანის მექანიზმის მოდელის შემუშავება გამოიყურებოდა. თუმცა ამ პერიოდისათვის სავსებით ნათელი იყო ის გარემოება, რომ რბილი ლითონისაგან წარმოქმნილი აფსკი მოხახუნე ბელაპირებზე წარმოქმნის დადებით გრადიენტს, რომელიც, როგორც ზემოთ იყო აღნიშნული, აუცილებელი პირობაა გრიბოლოგიური პროცესის ოპტიმალურად წარმართვისათვის.

დ. გარკუნოვის და ი. კრაგელსკის გამოკვლევები ამ სფეროში, 1966 წ. საბჭოთა კავშირის აღმოჩენებისა და გამოგონების სახელმწიფო კომიტეტის მიერ იქნა აღიარებული, როგორც მეცნიერული აღმოჩენა. ამ მოვლენის ძირითადი არსი ისაა, რომ ფოლადი-ბრინჯაოს მოხახუნე წყვილის ბელაპირებზე სპილენძის აფსკი წარმოიქმნება ბრინჯაოს ანოდური გახსნის შედეგად. აღნიშნული შეესაბამება იმ ვითარებას, როცა ბრინჯაოს ან თითბრის მალეგირებული ელემენტები – კალა, თუთია, ალუმინი, რკინა გადადიან შემზეთ მასალებში, ხდება მოხახუნე ბელაპირის სპილენძით გამდიდრება. გრიბოლოგიურ სისტემებში ძირითად მასალად გამოყენებული შენადნობი – ბრინჯაო, ბელაპირის გამდიდრების გამო სპილენძით რომ დაიფარება, აღარ იხსნება შემზეთ მასალაში და მყარდება შერჩევითი გადაგანის რეჟიმი. საყოფაცხოვრებო მაცივრის კომპრესორის ხახუნის კვანძებში (ნახ.3.1) წარმოქმნილი სპილენძის აფსკის წარმოშობის ტექნოლოგიური პროცესი კი რამდენადმე განსხვავებულია ხსენებულისაგან. აქ ფოლადი-ფოლადი მოხახუნე წყვილის ბელაპირზე სპილენძის აფსკის წარმოშობა განპირობებულია კომპრესორის გამაცივებელი სისტემის ბეთი-ფრეონის ნარევი სპილენძის მილაკების ბელაპირული ფენების გახსნით. ამ სახით სპილენძის იონები შედიან გრიბოლოგიური სისტემის საკონტაქტო ზონაში და წარმოქმნიან სპილენძის აფსკს. სწორედ ეს მოვლენა უდევს საფუძვლად მაცივრის კომპრესორების ბეხანგამძლეობას, რომელიც კვანძის უმცყუნებო მუშაობის ათწლეულებით განისაზღვრება.



-  მაღალი წნევის ფრეონის ორთქლი
-  დაბალი წნევის ფრეონის ორთქლი
-  თხევადი ფრეონი
-  ზეთი

ნახ. 3.1. საყოფაცხოვრებო მაცივრის კომპრესორის შებენვის სქემა

(ხახუნის ზონების სპილენძით დანაფარი ნაჩვენებია ისრებით):

- 1 – მუხლა ლილვი; 2 – მუხლა ლილვის საკისარი; 3 – ბარბაცა; 4 – დგუმი;
- 5 – ცილინდრი; 6 – სპილენძის მილაკების კლავნილა

ამ შესანიშნავი აღმოჩენის ფორმირებაში გარკვეული როლი ითამაშა ბუნების ფენომენის სწორმა გაანალიზებამაც. ავტორების მიერ შესაძლებელი გახდა ისეთი საინგერესო ანალოგების მოძებნა ბუნებაში, როცა ხახუნის უმცირესი მნიშვნელობები დაფიქსირებულია არა სალი და გლუვი ზედაპირებისათვის, როგორც ეს ადრე იყო მიჩნეული მეცნიერებაში, არამედ რბილი ზედაპირებისათვის – თევზების, ფრინველების და თაგვების მაგალითზე.

დაწვრილებით განვიხილოთ შერჩევითი გადაგანის მექანიზმი საყოფაცხოვრებო მაცივრის მაგალითზე. მაცივრის კომპრესორი, როგორც უკვე ნახსენები იყო, მძიმე ექსპლუატაციის პირობებში (დიდია ჩართვათა რაოდენობა დროის ერთეულში) უმცირესობად მუშაობს ათეული წლების მანძილზე. ამასთან, პრაქტიკულად არ ხდება ცვეთა. გრიბოლოგიური სისტემის დეტალები დამზადებულია ფოლადისაგან; გამაცივებელი საშუალება - 50% ფრეონი პლუს 50% ბეთი (ნარევის შემგვითი ფუნქციას აქვს). მუშაობის პროცესში გრიბოლოგიური სისტემის ზედაპირებზე – მუხლა ლილვის ძირეულ და ბარბაცას ყელებზე წარმოიქმნება 1...2 მკმ სისქის სპილენძის აფსკი. აფსკი, როგორც უკვე აღვნიშნეთ, ფორმირდება სპილენძის იონებით, რომლებიც, თავის მხრივ, წარმოიქმნება სპილენძის გამაცივებელი მილების უმნიშვნელო, ზედაპირული კოროზიის შედეგად. სპილენძის იონები საკონტაქტო ზონაში გადაიგანება გამაცივებელი ფრეონ-ბეთის ნარევით.

გამაცივებელი ნარევის აქტივობა სპილენძის მილაკების მიმართ იზრდება საკონტაქტო ზონაში კომპრესორის მუშაობის დროს წარმოქმნილი სუსტი მქაფას მოქმედების გამო. მქაფას წარმოქმნის წყაროა ბეთის დაჟანგვის პროცესი, რომელიც გრიბოლოგიური სისტემების მუდმივად თანამდევია პროცესია.

პროცესის შემდგომ ეტაპზე, მას შემდეგ, რაც მოხახუნე ზედაპირებზე უკვე წარმოიქმნება სპილენძის გარკვეული სისქის აფსკები, მნიშვნელოვნად იცვლება გრიბოლოგიური პროცესის პარამეტრები: მცირდება ხახუნის ძალა, საკონტაქტო ზონაში წარმოქმნილი გემპერაგურა და ფაქტობრივი კონტაქტური წნევა, რის შედეგადაც წყდება სპილენძის აფსკის წარმოქმნის ხელშემწყობი პროცესი - ბეთის დაჟანგვა და მილაკების ზედაპირებზე სპილენძის გახსნა. აღნიშნულ პირობებში არ ხდება სპილენძის აფსკის დაზიანება და იგი იცავს მოხახუნე ზედაპირებს ცვეთისაგან, რაც მნიშვნელოვნად ამცირებს ხახუნის ძალას და ბრდის კვანძის ხანგამძლეობას.

ამრიგად, გემოხსენებულ კომპრესორის გრიბოლოგიურ სისტემებში ჯაჭვი ურთიერთგამომწვევ მოვლენებისა, რომლებიც მიმდინარეობს მოხახუნე ზედაპირებზე, ასე შეიძლება იქნას წარმოდგენილი:

საწყისი პერიოდი: კომპრესორის გამაცივებელი ნარევის აქტივობა სპილენძის მილაკების მიმართ იზრდება; გრიბოლოგიური სისტემის შეზღუდვის დროს შემზღუდოთი მასალა იქანგება; წარმოქმნილი სუსტი მქავები ხსნიან სპილენძის მილაკების ზელაპირულ ფენებს და შემზღუდოთ სისტემას ამარაგებენ სპილენძის იონებით.

გარდამავალი პერიოდი: შემზღუდოთ სისტემაში ცირკულირებენ სპილენძის იონები; სპილენძის იონები ეფინებიან მხოლოდ საკონტაქტო ზონებს, რომლებიც ანოლურ უბნებს წარმოადგენენ; მოხახუნე ზელაპირზე იქმნება სპილენძის აფსკები.

დამყარებული პერიოდი: მოხახუნე ზელაპირზე წარმოიქმნება სპილენძის აფსკები, ფოლადი-ფოლადი მოხახუნე წყვილი იცვლება სპილენძი-სპილენძი წყვილით; მცირდება გამაცივებელი ნარევის დაქანგვის ინტენსივობა; წყდება სპილენძის მილაკების გახსნის პროცესი.

სპილენძის აფსკის შემთხვევითი დარღვევის დროს პროცესი თავიდან იწყება და ხდება დამიანების „შეკეთება“.

ხახუნის დამყარებულ რეჟიმში სპილენძის აფსკები, ჩვეულებრივ, აღარ ირღვევა. სპილენძის ნაწილაკებს შეუძლიათ ერთი ზელაპირიდან მეორეზე გადასვლა. ცვეთის პროდუქტები კი ღრეჩობებში ელექტრული ძალებით არის შეკავებული.

განხილული მაგალითის შესაბამისად დ. გარკუნოვის მიერ გაკეთდა დასკვნა, რომ გრიბოლოგიური პროცესი გარკვეულ პირობებში შეიძლება გახდეს ევოლუციური და რომ იგი შეიძლება არ იყოს მრღვევი პროცესი და პირიქით, მან შეიძლება შექმნას მოხახუნე ზელაპირის დამცავი ფენა სპილენძის აფსკის სახით.

ამრიგად, დღეს დადასტურებულია, რომ ხახუნმა შეიძლება არა მარტო მოარღვიოს ზელაპირული ფენა, არამედ შესაფერისი პირობების შემთხვევაში მოახდინოს ამ ფენის ფორმირება.

გრიბოლოგიური პროცესის ამგვარი შეფასება სულ ცოტა ხნის წინათ მეცნიერებაში ახალი, რევოლუციური სიგყვა იყო.

3.3. სერვოვიგული აფსკის წარმოქმნის მექანიზმის შემთხვევები

გრიბოლოგიურ პროცესში ზემოთ აღწერილი გზით წარმოქმნილ დამცავ აფსკს სამეცნიერო-ტექნიკურ ლიტერატურაში ეწოდება „სერვოვიგული“ (ლათინური სიტყვიდან servo-witte – სიცოცხლის გადარჩენა).

ზოგ შემთხვევაში სერვოვიგული აფსკის წარმოქმნის პროცესი მოხახუნე გელაპირების, შემზეთი მასალების და ხახუნის სხვა პარამეტრების მიხედვით შეიძლება სხვადასხვაგვარ პირობებში მოხდეს. განვიხილოთ ზოგიერთი მათგანი.

1. სერვოვიგული აფსკის ფორმირება საინჟინრო პრაქტიკაში ყველაზე ხელმისაწვდომია ბრინჯაო-ფოლადის ხახუნის წყვილისათვის, როცა მისი შეზღუდვა ხდება გლიცერინით, რაც აღვილად უზრუნველყოფს შერჩევითი გადატანის რეჟიმს ნახსენები წყვილისათვის. ამ პირობებში სერვოვიგული აფსკის გამომწვევი მოვლენათა ჯაჭვი შემდეგია:

საწყისი პერიოდი: მოხახუნე ბრინჯაოს გელაპირი იხსნება გლიცერინში. ამასთან, საკონტაქტო ზონაში გლიცერინი მოქმედებს, როგორც სუსტი მჟავა, რის შედეგადაც მალეგირებელი ელემენტები – კალა, ალუმინი და სხვა გადადიან შემზეთ მასალაში და ხდება ბრინჯაოს გელაპირის სპილენძის ატომებით გამდიდრება, ხოლო მოხახუნე გელაპირების დეფორმაცია იწვევს მალეგირებელი ელემენტების ატომების ახალი დიფუზიური ნაკადის წარმოქმნას საკონტაქტო ზონაში, რომელიც ასევე გადადის შემზეთ მასალაში. ამგვარად, ბრინჯაოს გელაპირული ფენა, რომელიც ხახუნის პროცესში განიცდის დეფორმირებას, თანდათანობით თავისუფლდება მალეგირებელი ელემენტებისაგან და ძირითადად სპილენძად გადაიქცევა. ამასთან, მასში წარმოიქმნება დიდი რაოდენობით ვაკანსიები, რომლებიც წარმოქმნიან ფორებს გლიცერინის მოლეკულებით.

გარდამავალი პერიოდი: გლიცერინი მოხახუნე გელაპირის სპილენძის თხელ ფენას ათავისუფლებს ქანგეულების აფსკებისაგან (გლიცერინი არის სპილენძის ქანგისა და ქვექანგის აღმდგენი). ქანგეულების აფსკებისაგან თავისუფალი მოხახუნე სპილენძის ფენა მეტად აქტიურია და რადგანაც აქვს თავისუფალი კავშირები, მას შეუძლია ფოლადის გელაპირებთან კარგი შეჭიდულობის უზრუნველყოფა. შედეგად ფოლადის გელაპირი თანდათანობით იფარება სპილენძის თხელი ფენით. ვინაიდან ამ დროს ბრინჯაოს გელაპირზე სპილენძის თხელი ფენა უფრო თხელდება, ხდება ბრინჯაოს ფენის შემდგომი გარდაქმნა სპილენძად. ეს პროცესი გრძელდება მანამ, სანამ ორივე გელაპირზე არ წარმოიქმნება დაახლოებით ერთნაირი სისქის ფენა.

დამყარებული პერიოდი: ორივე, როგორც ბრინჯაოს, ასევე ფოლადის მედაპირი დაფარულია სპილენძის სისქის 1...2 მკმ აფსკით. ბრინჯაოს გახსნის პროცესი წყდება, ვინაიდან გლიცერინის მოლეკულები უკვე ვეღარ აღადგენენ ლითონს მედაპირულ ფენებში, რის შედეგადაც შერჩევითი გადატანის პროცესი გადადის დამყარებულ რეჟიმში.

ამრიგად, პროცესი მოკლედ ასე შეიძლება წარმოვსახოთ: რადგან გლიცერინი კარგი აღმდგენია, ათავისუფლებს ლითონს ქანგეულებისაგან და უზრუნველყოფს სპილენძისა და ფოლადის საიმედო შეჭიდებას. შედეგად ფოლადის მედაპირი იფარება სპილენძის აფსკით და მოხახუნე წყვილი ბრინჯაო-ფოლადი გადაიქცევა წყვილად სპილენძი-სპილენძი.

2. სერვოვიტული აფსკი შეიძლება წარმოიქმნას ხახუნის კვანძში ისეთი შემზეთი მასალების გამოყენების დროს, რომლებსაც ლითონმიმტკეცი (ლითონის დაფარვის) თვისებები აქვთ და შეიცავენ ბრინჯაოს, სპილენძის, კალას, ვერცხლის და სხვა ლითონური მასალების მცირე ნაწილაკებს. მაგალითად, მოხახუნე წყვილი – ფოლადი-ფოლადი ЦИАМИТ -201-ზე სპილენძის, ბრინჯაოს, თითბრის ან ტყვიის დამატებით შემეთვის დროს გამოყენებული ლითონების ფხვნილის თხელი აფსკით იფარება. ხახუნის პროცესში ლითონური ფხვნილები იხსნება შემზეთ მასალაში და ქანგეულების აფსკებიდან განთავისუფლების შემდეგ მჭიდროდ უკავშირდება ფოლადის მედაპირს, რითაც წარმოქმნის სერვოვიტულ აფსკს. ასეთი გზით წარმოქმნილი აფსკი ფოროვანია, ხოლო ფორები შეიცავენ შემზეთ მასალას. შედეგად მკვეთრად უმჯობესდება ხახუნის პარამეტრები – მცირდება ხახუნის კოეფიციენტი, ფოლადის მედაპირი პრაქტიკულად არ ცვლება.

თუ შემზეთი მასალა ხასიათდება კარგი აღმდგენი თვისებებით, შერჩევითი გადატანის რეალიზებისათვის საკონტაქტო ზონაში შეიძლება აგრეთვე სპილენძის ქვექანგის ან ქანგის შეტანა.

3. სერვოვიტული აფსკი შეიძლება ფორმირებულ იქნეს მაშინაც, თუ ერთ-ერთ მოხახუნე სხეულად გამოყენებულია სპილენძის ქვექანგით შევსებული ფოროპლასტ-4 (პოლიტეტრაფთორეთილენი) გლიცერინის შემეთვის პირობებში. სერვოვიტული აფსკი წარმოიქმნება სპილენძის ქვექანგის აღდგენით, რომელიც გლიცერინის ხელშეწყობით ხდება. შედეგად ფოლადის მედაპირი სპილენძის ფენით იფარება.

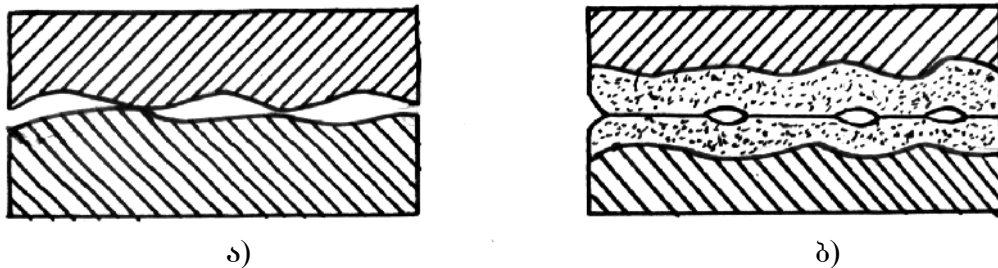
არსებობს ხახუნის პროცესში სერვოვიტული აფსკის წარმოქმნის სხვა პირობებიც.

3.4. შერჩევითი გადაგანის ფიზიკური საფუძვლები

გავარკვეოთ და შევისწავლოთ შერჩევითი გადაგანის ის ფაქტორები, რომლებიც უზრუნველყოფენ ესოდენ დიდ ეფექტს – გრიბოლოგიურ სისტემაში უმცირეს ხახუნის ძალას და პრაქტიკულად ცვეთის გარეშე პროცესს.

1. შებეთვის გარეშე, ან სასაზღვრო შებეთვის პირობებში ჩვეულებრივი გრიბოლოგიური პროცესის დროს კონტაქტი ვრცელდება მცირე ფართობზე და, როგორც უკვე აღვნიშნეთ, იგი შეადგენს ნომინალური ფართობის მხოლოდ 0,01...0,0001 ნაწილს. შესაბამისად, დიდია ლოკალური კონტაქტური ძაბვების მნიშვნელობები. უკანასკნელი იწვევს პლასტიკურ და სხვა სახის დიდ დეფორმაციებს. ყოველივე ეს კი წინაპირობაა გრიბოლოგიური სისტემის ინტენსიური ცვეთისა.

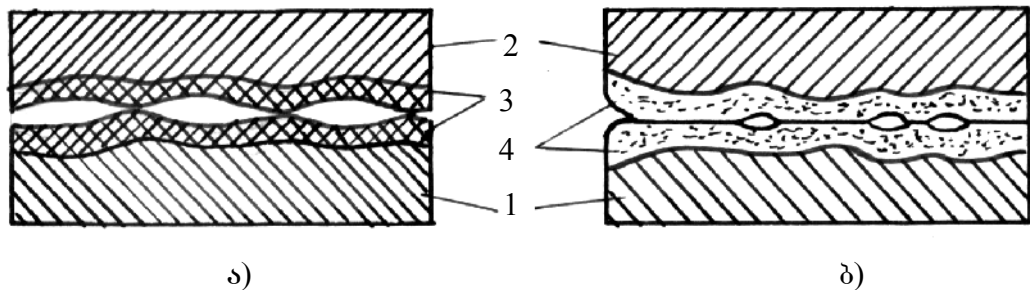
ბევრთ ნათქვამი სქემატურად ილუსტრირებულია 3.2ა ნახ-ზე, საიდანაც თვალნათლივ ჩანს, რომ ჩვეულებრივი ხახუნი წერტილოვანი შეხებით ხორციელდება. შერჩევითი გადაგანის დროს კი კონტაქტი ხდება პლასტიკურად დეფორმირებული სპილენძის ფენების ურთიერთშეხების მეშვეობით (ნახ. 3.2ბ), ე.ი რამდენიმე ათეულჯერ უფრო დიდ ფართობზე, რაც ნიშნავს იმას, რომ დეფორმაცია ბევრად უფრო მცირეა და უმრავლეს შემთხვევაში მდებარეობს დრეკადობის ზღვრებში.



ნახ. 3.2. მოხახუნე დეგალების კონტაქტის სქემა სასაზღვრო შებეთვისა (ა) და შერჩევითი გადაგანის (ბ) დროს

როგორც ბევრთ იყო აღნიშნული, სერვოვიტული აფსკის სისქე 1...2 მკმ-ია, რაც დაახლოებით შეესაბამება მანქანათმშენებლობაში გამოყენებული დეგალების სიმქისის პარამეტრებს, რის გამოც შერჩევითი გადაგანისას ხახუნის კონტაქტი ხორციელდება ბრტყელ, შედარებით დიდ ზედაპირებზე.

2. სასაზღვრო შეზღვევისა და საერთოდ, შეზღვევის გარეშე მოხაზუნე გელაპირები ხახუნის პროცესში იფარებიან ქანგის აფსკით (ნახ. 3.3), რომელიც, როგორც ცნობილია, იცავს ლითონურ გელაპირებს ერთმანეთთან შეჭიდებისაგან. მაგრამ იმის გამო, რომ აფსკი მეტად მყიფეა, მუშაობის გარკვეული პერიოდის შემდეგ დეფორმაციების შედეგად ირღვევა მისი მთლიანობა. აფსკის რღვევის პროცესი არის წინააღმდეგობის რაღაც მნიშვნელობა და იგი გარკვეულწილად განსაზღვრავს ხახუნის ძალას მოცემულ კვანძში.



ნახ. 3.3. წარმონაქმნები მოხაზუნე დეტალების საკონტაქტო გელაპირზე

სასაზღვრო შეზღვევისა (ა) და შერჩევითი გადაგანის (ბ) დროს:

1 – ფოლადი; 2 – ბრინჯაო; 3 – ნაქანგი აფსკი; 4 – სერვოვიტული აფსკი

გრიბოლოგიური პროცესებისათვის დამახასიათებელი მაღალი ტემპერატურული მნიშვნელობები იწვევენ აფსკის სისქის გადიდებას, რაც, თავის მხრივ, ზრდის წინააღმდეგობის სიდიდეს ანუ ხახუნის ძალას.

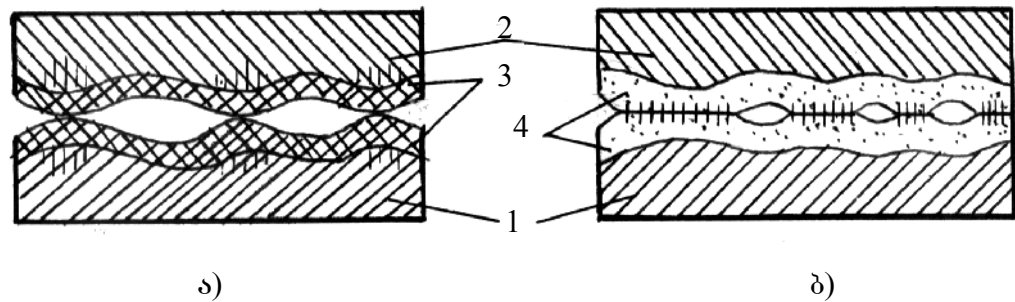
შერჩევითი გადაგანის რეჟიმში მოხაზუნე გელაპირები დაცულია დაქანგვისაგან დადებითად დამუხტული ადსორბირებული გელაპირულაქტიური ნივთიერებების სქელი ფენით, რომელიც წარმოიქმნება გარემო პირობებისა და შემზღვითი საშუალებების ხახუნის პროცესში მონაწილეობის შედეგად და რომლებიც იცავენ სერვოვიტულ აფსკს ქანგბადისაგან. შედეგად ხელი ეწყობა ჰემოსორბციულ პროცესებს, რაც, თავის მხრივ, დამცავი საშუალებაა ცივნაჭელობის წარმოქმნის საწინააღმდეგოდ და, შესაბამისად, იცავს გელაპირს ინგენსიური ცვეთისაგან (ჰემოსორბცია ისეთი პროცესია, როდესაც მყარი სხეულის გელაპირზე კონცენგრირდება რაიმე ნივთიერება გაზის ან სითხის სახით და, განსხვავებით ადსორბციისაგან, წარმოიქმნება ქიმიური შენაერთი).

აღნიშნულის გამო, თუ ჩვეულებრივი ხახუნის დროს მოხაზუნე გელაპირებზე წარმოიქმნება ცივნაჭელობის კერები, რომლებიც ხახუნის პროცესში იწვევენ გელაპირის

რღვევას, სერვოვიტულ აფსკზე ცივინაჭელობის კერები არ წარმოიქმნება და შესაბამისად შესაძლებელია მისი მრავალჯერადი დეფორმირება ზედაპირის რღვევის გარეშე.

3. შერჩევითი გადაგანის პროცესის რეალიზაციისათვის აუცილებელია შემზოთ გარემოში ზედაპირულაქტიური ნივთიერებების არსებობა, რომელსაც უმრავლეს შემთხვევაში შემზოთი საშუალებები შეიცავენ, წინააღმდეგ შემთხვევაში მათი მისართის სახით გათვალისწინება რთული არ არის. ზედაპირულაქტიური ნივთიერებები თავისი ფიზიკურ-ქიმიური ზემოქმედებით იწვევენ ლითონის, ამ შემთხვევაში, სპილენძის ზედაპირული ფენის პლასტიფიცირებას (დენალობასა და ელასტიკურობის მაჩვენებლების მრღას), შესაბამისად, ხახუნის ძალის შემცირებას მოხახუნე ზედაპირებს შორის. სამეცნიერო პრაქტიკაში ეს მოვლენა პირველად კ. რებინდერმა შენიშნა, ამიგომ სამეცნიერო ლიგერატურაში, სათანადოდ, „რებინდერის ეფექტი“ ეწოდა. ამ ეფექტის არსი ასეთია: საჭიროა მოხახუნე ზედაპირებზე დადებითი გრადიენტის უზრუნველყოფა ზედაპირული ფენის სიმკციის შემცირებისა და გაფხვიერების გზით, რომელიც, თავის მხრივ, განპირობებულია ზედაპირულაქტიური კომპონენტების მოქმედების შედეგად გამოწვეული აღსორბციით.

ჩვეულებრივი ხახუნის ღროს ნაჟანგი აფსკის არსებობის გამო ზედაპირულაქტიური ნივთიერება ვეღარ აღწევს ლითონის ზედაპირამდე და მცირდება რებინდერის ეფექტი, ე.ი. იზრდება პლასტიკური დეფორმაციების მასშტაბები (სიღრმე) და მასთან ერთად ცვეთის ინტენსივობა (ნახ. 3.4ა).



ნახ. 3.4. დეფორმაციების განაწილების სქემა საკონტაქტო ადგილებში

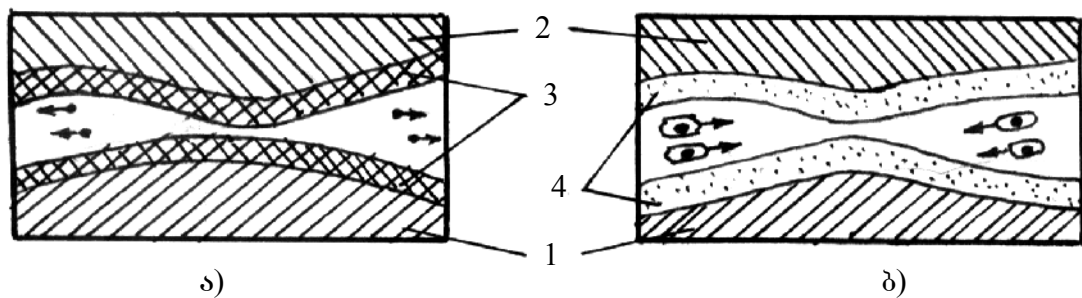
სასაზღვრო შემთოვისა (ა) და შერჩევითი გადაგანის (ბ) ღროს:

1 – ფოლადი; 2 – ბრინჯაო; 3 – ნაჟანგი აფსკი; 4 – სერვოვიტული აფსკი;

5 – პლასტიკური დეფორმაციის ზონა

შერჩევითი გადაგანის შემთხვევაში, იმის გამო, რომ არ არსებობს ნაქანგის აფსკი, რეზინდერის ეფექტი რეალიზებულია მთელი თავისი შესაძლებლობით და დეფორმირდება მხოლოდ სერვოვიგული აფსკი. შედეგად მნიშვნელოვნად მცირდება ხახუნის წინააღმდეგობა და ცვეთა (ნახ. 3. 4ბ)

4. ჩვეულებრივი ხახუნის დროს სასაზღვრო შეზღვევის პირობებში ცვეთის პროდუქტი ძირითადად ქანგეულებია, რომელთაც ელექტრული მუხტი არა აქვთ. ცვეთის პროდუქტების უმცირესი ნაწილაკები თავისუფლად გადაადგილდებიან საკონტაქტო ზონაში მოხახუნე გედაპირებს შორის და გემოქმედებენ გედაპირებზე, როგორც აბრაზიული ელემენტები. ამის გამო პრაქტიკაში გრიბოლოგიური სისტემების მუშაობის ხელსაყრელი გარემოების შექმნის ერთ-ერთი პირობაა ხახუნის ბონიდან და შემდეგ შემზეთი სისტემიდან მათი გაგანა (ნახ. 3.5).



ნახ. 3.5. ცვეთის პროდუქტების მოძრაობის სქემა საკონტაქტო ზონაში

სასაზღვრო შეზღვევისა (ა) და შერჩევითი გადაგანის (ბ) დროს:

1 – ფოლადი; 2 – ბრინჯაო; 3 – ნაქანგი აფსკი; 4 – სერვოვიგული აფსკი

შერჩევითი გადაგანის დროს სერვოვიგული აფსკის არსებობის პირობებში ცვეთის პროდუქტია სპილენძის ნაწილაკები, რომელთა გედაპირები დიდი აქტიურობის გამო სწრაფად აღსორბირდება გედაპირულაქტიური ნივთიერებების მეშვეობით. იმის გამო, რომ ასეთი ნაწილაკები (მათ მიცელებს უწოდებენ) ელექტრულად დამუხტულია, ზოგი თავს იყრის ღრეჩოებში (ნახ. 3.5 ბ), ხოლო ზოგი ერთი გედაპირიდან მეორეზე გადადის. ამასთან, სპილენძის ნაწილაკების შეჭიდება ძირითადად ლითონთან წარმოქმნის სერვოვიგულ აფსკს.

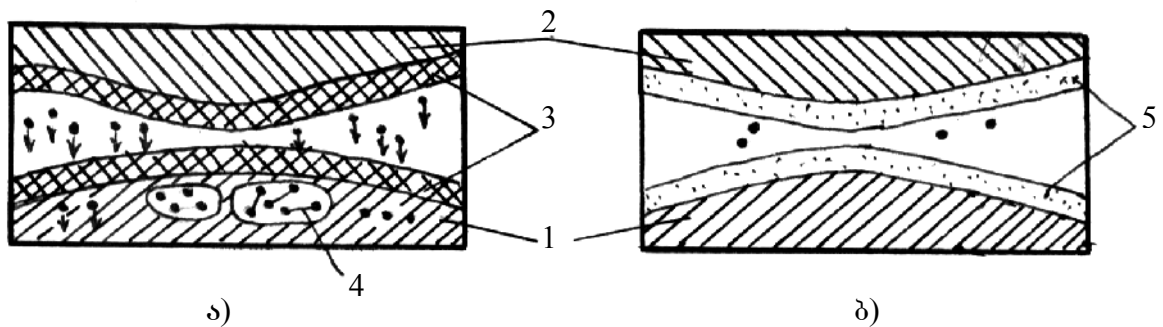
5. ცვეთის გამომწვევი ცნობილი ფაქტორებიდან თავისი ხვედრითი წილით ერთ-ერთი მთავარია წყალბალოვანი ცვეთა (ეს მოვლენა აღმოჩენის ღონებზე დაამუშავა დ.

გარკუნოვმა ო. პოლიაკოვთან ერთად). ხახუნის კვანძების ზონაში წყალბადის წარმოშობის წყაროა საწვავის შემზეთი საშუალებების, შემზეთ-გამაცივებელი სითხეების, წყლის ორთქლის დაშლის პროცესი. წყალბადის წარმოშობის მიზეზი შეიძლება იყოს აგრეთვე პოლიმერული მასალების დესტრუქციის მოვლენა.

ამასთან, წყალბადი ადვილად აღწევს ლითონის სიღრმეში და წარმოქმნის ბზარების კერებს (ნახ. 3.6). უკანასკნელი იწვევს დეგალის ზედაპირული ფენის ინგენსიურ ცვეთას. წყალბადოვანი ცვეთის პროცესი თან სდევს კოროზიულ-მექანიკურ და აბრაზიულ ცვეთას.

წყალბადოვანი ცვეთის პროცესი ჯერჯერობით არ არის სრულად შესწავლილი და მრავალ პრობლემურ საკითხს შეიცავს. დღეისათვის დაცვის ეფექტურ საშუალებად მხოლოდ შერჩევითი გადაგანა შეიძლება ჩაითვალოს. უკანასკნელი განპირობებულია შემდეგი გარემოებებით: სერვოვიგული სპილენძის აფსკი ამცირებს ხვედრით რეალურ დაგვირთვებს, რაც ხელს უშლის წყალბადის წარმოქმნის პირობებს. ამას გარდა, სპილენძის აფსკი არის საკმაოდ კარგი დამცავი საშუალება წყალბადის მოხახუნე სხეულში შეღწევისაგან.

ზემოთ ჩამოთვლილი ფაქტორების სია სრული არ არის და შესაძლებელია მეცნიერებისა და ტექნიკის განვითარების შემდგომ ეტაპებზე გაიზარდოს.



ნახ. 3.6. წყალბადის მოძრაობის სქემა საკონტაქტო ზონაში სასაზღვრო შემზეთის დროს (ა) და შერჩევითი გადაგანის (ბ) დროს:

1 – ფოლადი; 2 – ბრინჯაო; 3 – ნაქანგი აფსკი; 4 – წყალბადის იონების შეგროვების ადგილები; 5 – სერვოვიგული აფსკი

3.5. ანომალიური მცირე ხახუნის ეფექტი

მე-20 საუკუნის 60-იანი წლების ბოლოს რუსი მეცნიერების – ა.სილინისა და ე.დუსოვსკის მიერ აღმოჩენილ იქნა ბემცირე ხახუნის მოვლენის ეფექტი, რომლის არსი ასე შეიძლება ჩამოყალიბდეს:

პოლიეთილენისა და პოლიპროპილენის (კლასიკურ ანტიფრიქციულ მასალად არც ერთი არ ითვლება) ხახუნის კოეფიციენტი ვაკუუმის პირობებში მათზე ჰელიუმის ატომების ნაკადით ბემოქმედების შედეგად შესაძლებელია ორი რიგით შემცირდეს. მაგ., თუ ნომინალურ პირობებში მათი ხახუნის კოეფიციენტი იცვლება $0,10...0,13$ ზღვრებში, ატომური ნაკადის (სიმკვრივით 10^3 ატომი ერთ $სმ^2$ -ზე და ენერგიით 2 კილოელექტრონვოლტი) ბემოქმედების შედეგად ხახუნის კოეფიციენტი მცირდება $0,0015$ -მდე. ასეთი შედეგები მიღებულ იქნა შემდეგი საექსპლუატაციო პარამეტრების პირობებში: სრიალის სიჩქარე – $0,2$ მ/წმ; წნევა – $20...60$ კპა, გარემოს გაიშვიათება $665 \cdot 10^{-6}...665 \cdot 10^{-4}$ კა. გამოსხივების შეწყვეტისთანავე ხახუნის ბემცირე ეფექტის მოვლენა ქრება.

აღნიშნული მოვლენა ჯერ ყველა მასალისათვის არ არის შესწავლილი, მაგრამ ცნობილია, რომ იგი ფთოროპლასტ 4-სა და პოლისტიროლზე არ შეინიშნება.

ანომალიური ბემცირე ხახუნი და, შესაბამისად, მცირე ცვეთა ოპტიკურ-ფიზიკურ გამოძვათა საკავშირო სამეცნიერო-საკვლევო ინსტიტუტის გამოკვლევების საფუძველზე იმით აიხსნა, რომ მოხახუნე დეტალის ბედაპირის თხელი ფენა დასხივების შედეგად განიცდის სტრუქტურულ მოწესრიგებას, ორიენტაციას. უკანასკნელისათვის კი დამახასიათებელია მცირე ბედაპირული ენერგია, რომელიც, თავის მხრივ, უზრუნველყოფს ხახუნის ძალების მინიმიზაციას. ამასთან, ბედაპირის ასეთი მდგომარეობა მდგრადია გრიბოლოგიური პროცესებისათვის დამახასიათებელ მაღალ ტემპერატურაზე.

აღწერილი ეფექტი დასხივების გარეშე შეინიშნება ისეთი სტრუქტურული აგებულების ნივთიერებებზე, რომლებსაც ფენოვანი კრისტალური სტრუქტურა აქვთ (მაგ., მოლიბდენი). ამ შემთხვევაში ბედაპირული ფენის მოწესრიგება - გრიბოლოგიური პროცესის სტრუქტურული ორიენტაცია ვაკუუმში მიმდინარეობის დროს ხორციელდება სითბური ენერგიის ხარჯზე, მაგრამ აჩქარებული ნაწილაკებით მოხახუნე ბედაპირის დაბობვდა პროცესს მაინც უფრო ინტენსიურს ხდის.

აღწერილი მოვლენის საფუძველზე ეფექტის ავტორებმა შეძლეს შეექმნათ ახალი თვითმეთვადი მასალა, რომელიც წარმატებით მუშაობს ჩვეულებრივ და მძიმე

პირობებში, კერძოდ, ვაკუუმის პირობებში. დაბალ და მაღალ ტემპერატურაზე მასალა ინარჩუნებს შრომის უნარს და უზრუნველყოფს ზემცირე ხახუნის კოეფიციენტს. იგი გამოცდილი იქნა სხვადასხვა დარგის რეალურ საწარმოო პირობებში.

გამოსხივების წყარო შესაძლებელია პორტატული ხელსაწყოთა სახით დამზადდეს. ამასთან, მცირე ენერჯის ხარჯი გამოსხივებაზე.

ბემოაღწერილის საფუძველზე ეფექტი მომავალში პერსპექტიულ მოვლენად წარმოგვიდგება.

თავი 4. ტრიბოლოგიური პროცესი შემზეთი მასალებით

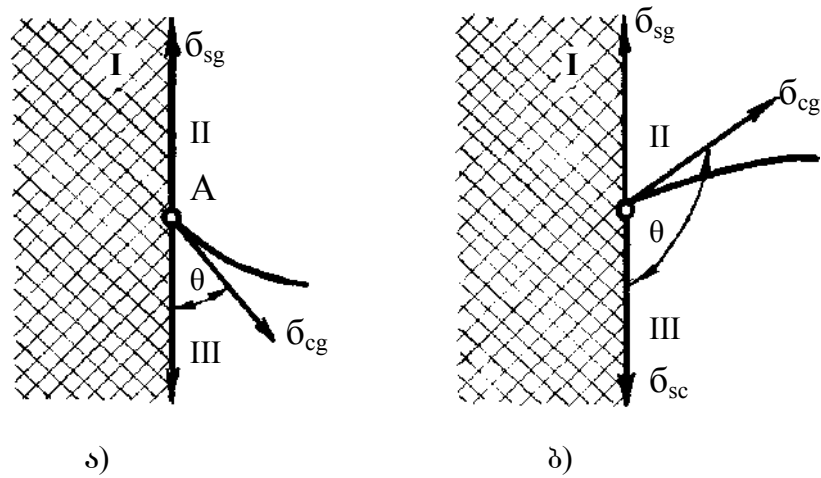
4.1. შემზეთი მასალის დანიშნულება და თვისებები

შემზეთი მასალის დანიშნულებაა გრიბოლოგიურ სისტემაში შეამციროს ხახუნის ძალები და ცვეთის ინტენსივობა. გარდა ამისა, შემზეთი მასალის გამოყენება ხელს უწყობს გემპერაგურისა და დაწნევის მნიშვნელობათა გათანაბრებას ხახუნის ზონებში, სითბოს არინებას მაქსიმალური გემპერაგურის ზონიდან, დარტყმითი დატვირთვების და რხევების შემცირებას, კოროზიისაგან მასალების დაცვას, ცვეთამედეგი ქანგეულებისა და სერვოვიტული აფსკების წარმოქმნას და ა. შ.

ყოველივე ეს მიიღწევა იმის მეშვეობით, რომ შემზეთი მასალა ერთმანეთისაგან აცალკევებს მოხახუნე ზედაპირებს და, შესაბამისად, ამცირებს ურთიერთადაჰემიურ და მექანიკურ ზემოქმედებას.

შემზეთი მასალების დამახასიათებელ თვისებად ითვლება მასალის სტრუქტურულ ელემენტებს (ფენებს, მოლეკულებს, ატომებს, იონებს) შორის სუსტი ურთიერთმიზიდულობა. უკანასკნელი განაპირობებს იმას, რომ სტრუქტურული ელემენტების ფარლობით გადაადგილებაზე იხარჯება ენერჯის მცირე ნაწილი, რაც, თავის მხრივ, ხსნის მცირე წინააღმდეგობის ეფექტს ხახუნის პროცესში. სხვა სიტყვებით, ხახუნის მცირე წინააღმდეგობა მოხახუნე ზედაპირების ურთიერთმოძრაობის დროს ძირითადად აიხსნება შემზეთი მასალის შიგა ხახუნის მცირე მნიშვნელობით.

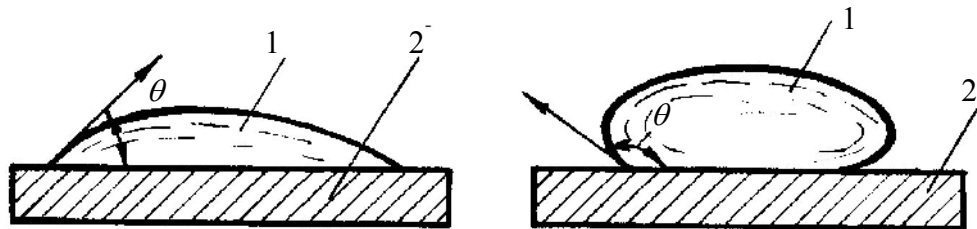
შემზეთი მასალის აუცილებელი თვისებებია, რომ მას ჰქონდეს მოხახუნე ზედაპირის შემეთვის უნარი. ამისათვის იგი უნდა ასველებდეს მას. კარგი დასველების უნარი ოპტიმალური შემეთვის ძირითადი პირობაა. განვიხილოთ ამ მოვლენის ზოგიერთი პარამეტრი: კუთხე θ იწოდება დასველების კუთხედ და იგი განსაზღვრავს შემზეთი სითხის მყარი სხეულის დასველების ხარისხს. დასველების კუთხე θ , რომელიც ზოგჯერ სასაზღვროდაც იწოდება, არის კუთხე დასველებულ ზედაპირსა და სითხის მენისკის მყარ სხეულთან შეხების წერტილში გავლებულ მხებს შორის (ნახ. 4.1, 4.2, 4.3). თუ $\theta < \frac{\pi}{2}$, მაშინ შემზეთი სითხე ასველებს მოხახუნე ზედაპირს და თუ $\theta > \frac{\pi}{2}$, სითხე ზედაპირს არ ასველებს.



ნახ. 4.1. სითხის მენისკის სხვადასხვა ფორმები ვერტიკალურ ზედაპირზე:

ა – შეზღუდული მენისკი; ბ – ამობურცული მენისკი;

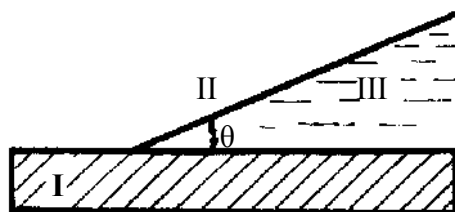
I – მყარი სხეული; II – ჰაერი (გაზი); III – სითხე



ნახ. 4.2. მყარი სხეულის დასველების კუთხის სხვადასხვა

მნიშვნელობა ჰორიზონტალურ ზედაპირზე:

1 – სითხე; 2 – მყარი სხეული



ნახ. 4.3. მაღალი დასველების თვისების მქონე მყარი სხეულის

დასველების პარამეტრი:

I – მყარი სხეული; II – ჰაერი (გაზი); III – სითხე

თუ დასველების კუთხე $\theta = 0$, ხდება შემზეითი სითხის მიერ გელაპირის აბსოლუტური დასველება და როცა $\theta = \pi$, გვაქვს აბსოლუტური არდასველება.

დასველების (სასაზღვროს) კუთხის სიდიდე სითხის წვეთისათვის, რომელიც მდებარეობს მყარ სხეულზე, განპირობებულია შემდეგი ძალების წონასწორობის პირობებიდან:

- სითხის მოლეკულებს შორის არსებული კოჰეზიური ძალები;
- მყარი სხეულის ნაწილაკებსა (იონების, მოლეკულების, ატომების) და სითხის მოლეკულებს შორის მიზიდულობის ძალები;
- მიზიდულობის ძალები სითხის იმ მოლეკულებს შორის, რომლებიც უშუალოდ არ ეხებიან მყარ სხეულს, მაგრამ დაშორებულია მისი გელაპირიდან არაუმეტეს მოლეკულური მიზიდულობის მანძილისა;
- გრავიტაციული ძალები.

მოქმედი ძალების გაანალიზების საფუძველზე შეიძლება დავასკვნათ, რომ კოჰეზიური ძალები უზრუნველყოფენ დასველების კუთხის ბრძას, ხოლო სხვა დანარჩენი ძალები კი ამცირებენ დასველების კუთხეს. ამასთან, წონასწორობის პირობიდან შესაძლებელია დასველების კუთხის განსაზღვრა ანალიზურად.

სითხეების შიგა ხახუნის წინააღმდეგობის ძირითად განმსაზღვრელ ფაქტორად ითვლება სითხის სიბლანგე. ზეთების სიბლანგე ანუ სითხეების შიგა ხახუნის წინააღმდეგობა შეიძლება განიმარტოს, როგორც ზეთის ერთი ფენის მეორის მიმართ ძვრისადმი წინააღმდეგობის თვისება ანუ წინააღმდეგობა იმ ძალებისადმი, რომლებიც იწვევენ სითხის მოძრაობას. ამასთან, ერთის მხრივ დიდი სიბლანგე აძნელებს ხახუნის მონიდან ზეთის გამოდევნას და, შესაბამისად, უზრუნველყოფილია ხახუნის პროცესში მოხახუნე გელაპირებს შორის ზეთის არსებობა. მეორეს მხრივ, დიდი სიბლანგე მომეგებული წინააღმდეგობაა დიდი შიგა ხახუნის გამო. ამიტომ ზეთის შერჩევა ოპტიმალური სიბლანგით გრიბოლოგიური სისტემის კონსტრუირების დროს საპასუხისმგებლო ამოცანაა.

განასხვავებენ სიბლანგის ორ მახასიათებელს: დინამიკურს და კინემატიკურს.

დინამიკური სიბლანგის მახასიათებელი გამოიყენება შემზეთვის ჰიდროდინამიკური გაანგარიშების დროს. დინამიკური სიბლანგის ერთეულად მიღებულია ძალა, რომელიც საჭიროა რომელიმე გელაპირიდან ერთეული მანძილით დაშორებული ერთეულოვანი ფართობის მქონე გელაპირის ერთეულოვანი სიჩქარით გადაადგილებისათვის.

უკანასკნელ პერიოდამდე ფართოდ გამოყენებულ ფიზიკურ ერთეულთა სისტემაში თუ ძალის ერთეულად მივიჩნევთ 1 დინს, სიჩქარის ერთეულად – 1 სმ/წმ-ს და ფართობს – 1 სმ²-ს, მაშინ დინამიკური სიბლანგის ერთეულია 1 ჰუაზი. SI სისტემაში დინამიკური სიბლანგის მაჩვენებლად მიღებულია პა.წმ (1ჰუაზი= 10⁻¹ პა. წმ) და აღინიშნება ასოთი „η“. პრაქტიკაში ხშირად სარგებლობენ 100-ჯერ ნაკლებ ერთეულს - სანტიჰუაზს (1 სანტიჰუაზი=10⁻³ პა.წმ).

ზეთების წარმოების დროს მოსახერხებელია ისარგებლონ სიბლანგის კინემატიკური მაჩვენებლით, რომელიც აღინიშნება ν -თი და განისაზღვრება დროის იმ მონაკვეთით, რომელიც საჭიროა მოცემული რაოდენობის ზეთის გადინებისათვის კაპილარულ მილში საკუთარი სიმძიმის ძალის მეშვეობით. ამიგომ მასალის კინემატიკური სიბლანგე დამოკიდებულია მის სიმკვრივეზე და წარმოადგენს დინამიკური სიბლანგის ფარდობას სიმკვრივესთან. კინემატიკური სიბლანგის ერთეულად ფიზიკურ ერთეულთა სისტემაში მიჩნეული იყო სმ²/წმ ანუ 1 სტოქსი. SI სისტემაში შესაბამისი ერთეულია 1 მ²/წმ (1სტოქსი=10⁻⁴ მ²/წმ). პრაქტიკაში კინემატიკური სიბლანგის ერთეულად ხშირად იყენებენ 100-ჯერ ნაკლებ სიდიდეს – სანტისტოქსს (1სანტისტოქსი=10⁻⁶ მ²/წმ).

კინემატიკური სიბლანგის გადაანგარიშებისათვის დინამიკურის გათვალისწინებით პრაქტიკულად შეიძლება ვისარგებლოთ შემდეგი დამოკიდებულებით:

$$\eta = \rho \cdot \nu, \quad (4.1)$$

სადაც ρ არის ზეთის სიმკვრივე გ/სმ³ ან კგ/ლ მოცემულ ტემპერატურაზე (SI სისტემაში – კგ/მ³); η – დინამიკური სიბლანგე, სანტიჰუაზი (SI სისტემაში – პა.წმ); ν – კინემატიკური სიბლანგე, სანტისტოქსი (SI სისტემაში – მ²/წმ).

ზეთის სიბლანგის მაჩვენებლები შესაბამის ცნობარებში მოცემულია 50 ან 100 °C-ზე.

ნავთობისაგან მიღებული თხევადი შემზეთი მასალები ნაკლებად შეიცავენ დიდი სიბლანგის მქონე ზეთოვან ფრაქციებს. ამ ნაკლის აღმოსაფხვრელად შემზეთ მასალაში შეჰყავთ თხევადი პოლიმერები დიდი ფარდობითი მოლეკულური მასით.

პოლიმერების დიდი და გრძელი მოლეკულები აბნელებენ ზეთის მცირე მოლეკულების ერთმანეთში გადარევას და, ე. ი. ბრდიან სიბლანგეს. შესაბამისად, რაც უფრო დიდია პოლიმერების კონცენტრაცია შემზეთი მასალის მასაში, მით უფრო დიდია ზეთის სიბლანგე. ამასთან, უნდა აღინიშნოს, რომ შემზეთი მასალის სიბლანგის გაზრდა ამ გზით არ არის უნაკლო. საქმე ისაა, რომ ზეთებში არსებული პოლიმერების

მოლეკულები განიცდიან დეგრადირებას დესტრუქციით. პოლიმერების დესტრუქცია კი, თავის მხრივ, იწვევს სიბლანტის შემცირებას, რაც ზეთის უვარგისად მიჩნევის მიზეზი ხდება.

ზეთი, როგორც აღნიშნეთ, ხახუნის კოფეციენცის შემცირებასთან ერთად მუშა მონიდან წარიგაცებს ხახუნის შედეგად გაჩენილ სითბოს. მაგრამ, იმის გამო, რომ ზეთების სითბოგევალობა მცირეა (იგი დაახლოებით 4-ჯერ ნაკლებია წყლისაზე), საჭირო ხდება იგი ხახუნის მონაში დიდი რაოდენობით შევიგანოთ.

განსხვავებულ სურათს იძლევა შემზეთი მასალები გრიბოლოგიურ სისტემებში პოლიმერული მასალების გამოყენებისას. ხახუნის კვანძებში პოლიმერული მასალების გამოყენების სპეციფიკური სურათი საფუძველს აძლევს ზოგ ავტორს, დასვას საკითხი აღნიშნულ ვითარებაში ზეთების გამოყენების მიზანშეუწონლობის შესახებ. ასეთი მოსაზრება ეფუძნება შემდეგ ფაქტორებს:

- ჩვეულებრივ, იმის გამო, რომ პოლიმერულ ზედაპირებს მცირე ზედაპირული ენერჯია აქვთ და გაძნელებულია ზეთის სასაზღვრო აფსკის წარმოშობა, მანქანათმშენებლობის პრაქტიკაში გამოყენებული ზეთები ცუდად ასველებენ პოლიმერულ მასალებს;
- შემზეთი მასალები ზოგ შემთხვევაში იწვევენ მოხახუნე პოლიმერული ზედაპირების პლასტიფიკაციას, ე. ი. მექანიკური თვისებების გაუარესებას.

აღნიშნული მოვლენები მართლაც ხდება იქ, სადაც პოლიმერული მასალებია გამოყენებული გრიბოსისტემის თხევადი მასალებით შემზეთვის დროს. ზოგადად კი ხახუნის კვანძების ექსპლუატაციის დროს, როცა გამოყენებულია მანქანათმშენებლობაში მიღებული პოლიმერული მასალები, შემზეთი მასალები მაინც დადებით როლს თამაშობენ. მსჯელობა მართებულია მხოლოდ იმის თაობაზე, თუ რამდენად უფრო ეფექტურია მოცემულ ვითარებაში მოცემული ზეთების გამოყენება. უკანასკნელი დასტურდება მრავალმხრივი ექსპერიმენტით.

თხევადი შემზეთი მასალები ხასიათდებიან ორი ფრიად ყურადსაღები თვისებით: გრიბოლოგიური სისტემების ექსპლუატაციის პროცესში ზეთები „ბერდებიან“ (ძველდებიან) და რეალურ პირობებში მინარევებით ნაგვიანდებიან.

პირველი განპირობებულია გრიბოლოგიური სისტემებისათვის დამახასიათებელი თბური და ჰაერის ქანგბადის ზემოქმედებით;

მეორე – გარემო პირობებში არსებული და ცვეთის პროდუქტების ნაწილაკების ზეთში შერევით.

აღნიშნული გარემოებების მოქმედების შედეგად ჟანგვა, გარეშე მინარევები და თერმოქიმიური ცვლილებები ხახუნის პროცესში იწვევენ ბეთების ქიმიური შედგენილობის შეცვლას, რაც, თავის მხრივ, იწვევს მისი თვისებების შეცვლას.

ჰანბნის პროცესში ხდება ჰაერში არსებული ჟანგბადის შეერთება ბეთის ყველაზე ნაკლებად მედეგ კომპონენტებთან და წარმოიქმნება მკაფას პროდუქტები. იქნეს რა მკაფურ თვისებებს, ბეთი იწვევს გრიბოლოგიური სისტემის ლითონური დეტალების კოროზიას. გარდა ამისა, ჟანგვის პროცესს შეიძლება ჰქონდეს დეჰიდრირების თვისება (ჰიდრირება ანუ ჰიდროგენიზაცია – ლათინური სიტყვიდან hydrogenium – წყალბადი, რომელიც აღნიშნავს პროცესს, როდესაც მიმდინარეობს წყალბადის შეერთება შემზეთი მასალის შემადგენელ ქიმიურ ელემენტებთან ან შენაერთებთან. ამავდროულად, უკურეაქციას, როდესაც წარმოებს წყალბადის მოხლეჩა ქიმიური შენაერთებიდან, ეწოდება დეჰიდრირება ანუ დეჰიდროგენიზაცია. ამ დროს ჟანგბადი ნახშირწყალბადოვან მოლეკულებს ართმევს წყალბადის ატომებს და მასთან წარმოქმნის წყალს, ხოლო ბეთის დეჰიდრირებული მოლეკულები ღიად დარჩენილი თავისუფალი კავშირების გამო იქნენ ერთმანეთთან გაერთიანების მიდრეკილებას და წარმოიქმნიან შენაერთების დიდი მოლეკულური მასით. ასეთი გზით შენაერთების წარმოქმნა მიჩნეულია ფისების წარმოქმნის გიპურ რეაქციად, რომელთაც, ბუნებრივია, არ გააჩნიათ ბეთის საწყისი თვისებები და გრიბოლოგიურ პროცესში უარყოფით როლს თამაშობენ. ფისებს აქვთ შავი ფერი და მათი კონცენტრაციის გაზრდა, რა თქმა უნდა, იწვევს ბეთის გამუქებას, რის გამოც აღნიშნულ მოვლენას იყენებენ ბეთის დაძველების შეფასების ერთ-ერთ კრიტერიუმად.

ბარეშე მინარეშეში შემზეთ მასალაში სხვადასხვა სახისაა და სხვადასხვაა მათი წარმოქმნის წყაროც. გარეშე მინარევები შემზეთ მასალაში შემდეგი სახით გვხვდება:

- გარეშე ჰაერის მტვერი;
- ხახუნის კვანძის ცვეთის პროდუქტები (ლითონური აბრაზივი);
- ბეთის მოცულობებისა და მილგაყვანილობის კოროზიის პროდუქტები;
- არასრული წვის შედეგად დარჩენილი პროდუქტები (სათბობი, წყალი).

თერმოქიმიური პროცესები ამცირებენ ბეთში მსუბუქი ფრაქციების რაოდენობას, იწვევენ ბეთის მოლეკულების თბურ დაშლას და ინტენსიურს ხდიან დეჰიდრირებას, ე. ი. ნახშირწყალბადიანი ნაერთებისაგან ფისწარმოქმნას, რაც, თავის მხრივ, იწვევს მოლეკულური წონის გაზრდას, მამასადამე, სიბლანტისა და სიმკვრივის გაზრდას.

ხახუნის პროცესში ბეთების დაძველების პროლუქტები ურთიერთქმედებენ და წარმოქმნიან რთულ ნაერთებს, რომლებიც იწვევენ ბეთის ე. წ. გაჭუჭყიანებას. ამასთან, მყარი მინერალური ნაწილაკები გადაიქცევიან იმ ცენტრებად, რომლებზეც აღსორბირდება ჟანგვის პროცესის ფისოვანი პროლუქტები. უკანასკნელი წინაპირობაა ბეთში შლამის წარმოქმნისა, ე. ი. დაძველების შედეგად იცვლება მომუშავე ბეთის ქიმიური და ფიზიკური შედგენილობა. ახალი ბეთის დამატება ამცირებს მომუშავე ბეთის დაძველების ინტენსივობას, რაც იმითაა განპირობებული, რომ ბეთში მცირდება დაძველების პროლუქტების კონცენტრაცია. რეალურ პირობებში მანქანაში მიმდინარეობს ბეთის მუდმივად განახლების პროცესი, რომელიც ბეთის ფილტრაციაში გამოიხატება და რომლის დანიშნულებაა ბეთიდან დაძველების პროლუქტების მოცილება. გარდა ამისა, ხდება ბეთის პერიოდული განახლება შებეთვის სისტემაში ახალი ბეთის დამატების გზით.

ამგვარად, მანქანების შემზეთ სისტემაში ბეთის დაძველებასთან ერთად ხდება მისი განახლებაც. ეს პროცესი მუდმივია მანქანის ექსპლუატაციის დროს და ამიგომ ბეთის მუშაობის ხანგრძლივობის ვადა განისაზღვრება ამ ორი ფაქტორის განმსაზღვრელ სიდიდეთა თანაფარდობით.

ზოგადად, ბეთის დაძველება მნიშვნელოვანწილადაა დამოკიდებული ექსპლუატაციის დროის ხანგრძლივობაზე, ქიმიური პროცესის, მაგალითად, კოროზიის, პოლიმერიზაციის, ლაქანგვის ინჰიბიტორების (ლათინური სიტყვიდან *inhibeo* – ვიჭერ) არსებობაზე და, ასევე, ლითონების კატალიზატორულ თვისებებზე.

4.2. შემზეთი მასალების სახეები და კლასიფიკაცია

ფიზიკური მდგომარეობის მიხედვით განასხვავებენ: აიროვან, თხევად, პლასტიკურ (კონსისტენციურ) და მყარ შემზეთ მასალებს.

ძირითადი სახის შემზეთი მასალებისათვის, თხევადი ბეთებისათვის დამახასიათებელია ის გარემოება, რომ ისინი დადებით ტემპერატურაზე იმყოფებიან თხევად მდგომარეობაში.

თხევადი ბეთები მათი დანიშნულების მიხედვით შეიძლება დაიყოს შემდეგ ძირითად ჯგუფებად:

- საერთო დანიშნულების ინდუსტრიული ზეთები, რომლებიც გამოიყენება უმრავლესი სამრეწველო მოწყობილობის (ჩარხების და ა.შ.) დასაბეთად და ჰიდროამპრავის მუშა სითხედ (ზეთები ინდექსით – H);
- ავტომობილების, ტრაქტორების, თბომავლების, საგზაო და სასოფლო-სამეურნეო მანქანების საგრანსმისიო ელემენტების დასაბეთად – საგრანსმისიო ზეთები (ინდექსით – TM);
- ტურბინების, ელექტროგენერატორების და სხვა მანქანებისათვის საჭირო სატურბინე ზეთები;
- საძრავო, სხვადასხვა დანიშნულების (საავტომობილო, სატრაქტორო, საავიაციო და სხვ.) მანქანების შიგაწვის ძრავებისათვის.

4.1 ცხრილში მოცემულია საერთო მანქანათმშენებლობაში ძირითადად გამოყენებული ზეთები და მახასიათებლები. ცხრილში მოყვანილი მსუბუქი ინდუსტრიული ზეთები, რომელთა კინემატიკური სიბლანგე არ აღემატება 10 სანტისტოქსს 50°C ტემპერატურაზე, გამოიყენება მაღალი სიჩქარის მქონე მექანიზმებისათვის. მაგალითად, ველოსიტი გამოიყენება ისეთი მექანიზმებისათვის, რომელთა ბრუნვის სიხშირე აღემატება 8000 ბრ/წთ, ხოლო ვაბელინის ზეთი-მექანიზმებისათვის ბრუნთა სიხშირით 5000....8000 ბრ/წთ და სეპარატორული ზეთი – მექანიზმებისათვის – 5000 ბრ/წთ-მდე.

საშუალო ინდუსტრიული ზეთები ხასიათდებიან 10....60 სანტისტოქსი კინემატიკური სიბლანგით. ინდუსტრიული ზეთები 12, 20 და სეპარატორული T გამოიყენება სწრაფმავალი მექანიზმებისათვის, ხოლო ინდუსტრიული ზეთები 30, 45 და 50 საშუალო მანქანათმშენებლობის ძირითადი შემზეთი მასალაა.

მძიმე ინდუსტრიული ზეთების კინემატიკური სიბლანგე 100°C ტემპერატურაზე 10-30 სანტისტოქსია. ისინი ფართოდ გამოიყენებიან მძიმედ დატვირთულ კბილანურ და ჭიაკბილანურ გადაცემებში. საცილინდრე ზეთები ასევე ფართოდ გამოიყენება ცილინდრებისა და ორთქლის მანქანების სხვადასხვა კვანძების შესაბეთად.

ცხრილებში მოყვანილი ზეთების დასახელებებით წლების მანძილზე სარგებლობდნენ და გარკვეულწილად დღესაც სარგებლობენ ყოფილი საბჭოთა კავშირის ტერიტორიაზე. მაგრამ, უკანასკნელ წლებში ჩვენში შემუშავდა მინერალური ინდუსტრიული და საგრანსმისიო ზეთების ინდექსაციის ახალი სისტემები.

საერთო მანქანათმშენებლობაში გამოყენებული ძირითადი
ზეთები და მახასიათებლები

	ზეთის მარკა	კინემატიკური სიბლანტე 50 °C-ზე, სანტისტოქსი		ზეთის მარკა	სიბლანტე კინემატიკური 50 °C-ზე, სანტისტოქსი
	მსუბუქი ინდუსტრიული			საგურბინე	
1	მაღალსიჩქარიანი მექანიზმებისათვის (ველოსიტი)	4,5-5,1	1	საგურბინე 20	20-23
			2	საგურბინე 30	28-32
			3	საგურბინე 46	44-48
			4	საგურბინე 57	55-59
2	მაღალსიჩქარიანი მექანი- ზმებისათვის (ვაზელინის)	5,1 -8,5		მძიმე ინდუსტრიული	სიბლანტე 100 °C-ზე
3	სეპარატორული II	6,1-10,0	1	საცილინდრე 11	9-13
			2	საცილინდრე 24	20-28
			3	წნეხებისათვის საავტოტრანსპორტო	10
	საშუალო ინდუსტრიული				
1	ინდუსტრიული 12	10-14			
2	სეპარატორული T	14-17	1	AK-10	10
3	ინდუსტრიული 20	17-23	2	AK-15	15
4	ინდუსტრიული 30	27-33			
5	ინდუსტრიული 45	38-52		საავიაციო	
6	ინდუსტრიული 50	42-58	1	MC-20	20

მექანიკურ მოწყობილობებში უმთავრესად გამოყენებული მინერალური ინდუსტრიული ზეთები აღინიშნება ასოთი „II“ ხოლო ინდექსაციის სქემა შემდეგი სახისაა:

II - II - III - IV .

სადაც სქემაში მეორე ადგილზეა ზეთის დანიშნულების აღმნიშვნელი ასო:

II – შეესაბამება ზეთებს მსუბუქად დაგვირთული საკისრებისათვის;

Г – ზეთებს ჰიდროსისგემებისათვის;

Н – ზეთებს მიმმართველებისათვის;

Т – ზეთებს მძიმედ დატვირთული კვანძებისათვის (კბილანური გადაცემებისათვის).

სქემის მესამე ადგილი ითვალისწინებს საექსპლუატაციო თვისებებისა და შედგენილობის დამახასიათებელ აღნიშვნებს:

А – შეესაბამება ზეთებს მისართის გარეშე;

В – ზეთებს დაქანგვისა და კოროზიის საწინააღმდეგო მისართებით;

С – ზეთებს ცვეთის საწინააღმდეგო მისართებით;

Д – ზეთებს ამოგლეჯვის საწინააღმდეგო მისართებით;

Е – ზეთებს ნახკომსწინააღმდეგო მისართებით.

მეოთხე ადგილზე იწერება ზეთის კინემატიკური სიბლანტის კლასი, რომელიც წარმოადგენს საშუალო სიბლანტის მაჩვენებელს ($\text{მმ}^2/\text{წმ-ში}^*$) $t=40^\circ\text{C}$ ტემპერატურაზე და აქვს შემდეგი საფეხურები: 2; 3; 5; 7; 10; 15; 22; 32; 46; 68; 100; 150; 220; 320; 460; 680; 1000; 1500.

ინდექსაციის ახალი სისგემების გათვალისწინებით ინდუსტრიული 12-ის შესაბამისი ზეთის მარკაა И-П-А22; ინდუსტრიული 20-ის – И-Г-А32; ინდუსტრიული 30-ის – И-Г-А46; ინდუსტრიული 45 და 50-ის – И-Г-А68.

საგრანსმისო ზეთების ინდექსაცია შეიცავს: ასოით აღნიშვნას (ТМ), ჯგუფის ნომერს და სიბლანტის კლასებს.

საგრანსმისო ზეთების ჯგუფის ნომერი ითვალისწინებს შედგენლობისა და გამოყენების სფეროს, კერძოდ:

1 – შეესაბამება ზეთებს მისართის გარეშე;

2 – ზეთებს ცვეთის საწინააღმდეგო მისართებით;

3, 4 – ზეთებს საშუალო და მაღალი ინტენსივობის ამოგლეჯის საწინააღმდეგო მისართებით;

5 – ზეთებს მაღალი ინტენსივობის ამოგლეჯის საწინააღმდეგო და მრავალფუნქციური მისართებით.

* პრაქტიკაში გამოიყენება კინემატიკური სიბლანტის განზომილებად. იგი SI სისგემაში კინემატიკური სიბლანტის ერთეულის – $\text{მ}^2/\text{წმ-ის}$ 10^6 ნაწილს შეადგენს. ამასთან, $1 \text{მმ}^2/\text{წმ}$ რიცხობრივად 1 სანტისგოქსის გოლია.

შესაბამისად, საკლასიფიკაციო ჯგუფები ყოფილ საბჭოთა კავშირში გამოშვებული მეთებისათვის არის: TM -1, TM - 2, TM - 3, TM - 4 და TM - 5. ხოლო, აშშ – სათვის შესაბამისი ჯგუფებია – GL - 1, GL - 2, GL - 3, GL - 4 და GL - 5.

ზეთის კინემატიკური სიბლანტის კლასი ამ შემთხვევაშიც წარმოადგენს საშუალო სიბლანტეს ($\text{მმ}^2/\text{წმ-ში}$), მაგრამ აქვს განსხვავებული საფეხურები, კერძოდ: 6; 9; 12; 18; 34; 43.

ცხრილი 4.2

ყოფილ საბჭოთა კავშირში მიღებული სატრანსპორტო მეთების კლასიფიკაცია

სიბლანტის კლასი	ზეთის ჯგუფები საექსპლუატაციო თვისებებით					გამოყენების ტემპერატურული დიაპაზონი °C
	TM-1	TM-2	TM-3	TM-4	TM-5	
6	-	-	TM-3-6	TM-4-6	TM-5-6	-65..+15
9	-	TM-2-9	TM-3-9	TM-4-9	TM-5-9	-60..+25
12	-	TM-2-12	TM-3-12	TM-4-12	TM-5-12	-50..+30
18	TM-1-18	TM-2-18	TM-3-18	TM-4-18	TM-5-18	-35..+35
34	TM-1-34	TM-2-34	TM-3-34	TM-4-34	TM-5-34	-20..+45
43	TM-1-43	TM-2-43	TM-3-43	TM-4-43	TM-5-43	-5..+55

საგურბინე მეთები კინემატიკური სიბლანტით 20...60 სანტისგოქსი 50° C ტემპერატურაზე, გამოიყენება ორთქლისა და ჰიდრაულიკური ტურბინების, ელექტრული გენერატორების და სხვა ისეთი მანქანებისათვის, სადაც საჭიროა ხანგრძლივი მუშაობა მეთის შეუცვლელად. საგურბინე მეთები ხასიათდებიან მაღალი მედეგობით დაჟანგვისადმი, დაბალი საწყისი მქაფიანობით, მექანიკური მინარევების უმნიშვნელო სიდიდით.

თხევადი მეთების განსაკუთრებულ, სპეციფიკურ ჯგუფს შეადგენს ძრავას მეთები, რომელთა რიცხვს მიეკუთვნება საავიაციო, საავტომობილო (ავტოლები) და საღებლო. ამ მეთებს წარედგინება დამატებითი მოთხოვნები, რომლებიც დაკავშირებულია ძრავების მუშა ცილინდრების მუშაობის სპეციფიკურ პირობებთან და გარემო პირობების ფართო ტემპერატურულ დიაპაზონთან (თვითმფრინავები, ავტომობილები)

შემგეთი მასალები მათი მიღების და შექმნის საფუძვლის მიხედვით შეიძლება იყოს მინერალური, ნავთობის, სინთეტიკური, მცენარეული და ცხოველური წარმოშობის.

მინერალური ზეთების მისაღებად გამოიყენება ისეთი ბუნებრივი მინერალები, როგორცაა: ქვანახშირი, გორფი, ფიქლები. მათგან მინერალური შემზეთი მასალების მიღების ძირითადი გზაა მინერალური პროდუქტების დამუშავება. მინერალური ზეთების ერთ-ერთ ძირითად ნელლეულად გამოიყენება ნავთობი, რომლისგანაც ზეთის მიღება რამდენიმე მეთოდითაა შესაძლებელი.

ნავთობის თხევადი შემზეთი მასალები წარმოადგენენ ბუნებრივი ნავთობის ნელლეულისაგან გაწმენდის წესით მიღებულ ზეთებს, ხოლო სინთეტიკური შემზეთი მასალები ორგანული ნაერთების სინთეზის პროდუქტია.

მცენარეული და ცხოველური ზეთები მიიღება, შესაბამისად, მცენარეული და ცხოველური პროდუქტების გადამუშავების შედეგად. პრაქტიკაში ამ ჯგუფის ზეთების განსამღვრული მასშტაბებით გამოიყენება განპირობებულია მხოლოდ მათი მაღალი თვითღირებულებით და არავითარ შემთხვევაში – ხარისხობრივი თვისებებით.

პლასტიკური (კოსისტენტური) შემზეთი მასალები წარმოადგენენ შესქელებულ საცხისმაგვარ პროდუქტებს, რომლებიც მზადდება თხევად ზეთებზე – მინერალურ ნავთობსა თუ სინთეტიკურ შემზეთ მასალებში სხვადასხვა სახისა და დანიშნულების შემსქელებლის შეტანით. წარმოქმნის რა სტრუქტურულ ჩონჩხს, შემსქელებელი შემზეთ მასალას ანიჭებს მყარი სხეულის თვისებას მცირე სიმკვცის ზღვრით (არაუმეტეს 0,005 მპა). ტემპერატურის მომატებისას 200-300° C-ზე პლასტიკური მასალა გადადის თხევად მდგომარეობაში.

თხევადი კომპონენტი, რომელიც მთელი შემზეთი მასის 75...90%-ია, უმეტესად არის ნავთობის ზეთი, სადაც შემსქელებლად გამოიყენება კალციუმიანი და ნატრიუმიანი საპნები; აგრეთვე ნახშირწყალბადები (პარაფინი, ცერეზინი). პლასტიკური კალციუმიანი შემზეთი მასალები იწოდება სოლიდოლებად, ხოლო ნატრიუმიანი – კონსტალინებად.

პლასტიკური შემზეთი მასალებისათვის უმთავრესი მახასიათებლებია:

1) **პენეტრაცია** (ინგლისური სიტყვიდან penetrate – შეღწევა) არის პლასტიკური შემზეთი მასალების შესქელების (სირბილის) მაჩვენებელი და იგი განისაზღვრება ხელსაწყოთი, რომელსაც პენეტრომეტრი ეწოდება. მისი მოქმედების პრინციპი ლითონური მასალების სიმჭისის საზომი ხელსაწყოს ანალოგიურია, უკანასკნელის მოქმედების პრინციპი ასეთია: სპეციალური კონუსი თავისი სიმძიმის ძალით 5 წმ-ის განმავლობაში გარკვეული სიღრმით ეფლობა შემზეთ მასალაში. კონუსის ჩაფლობის სიღრმის მიხედვით ფასდება შემზეთი მასალის კონსისტენტურობა. შეფასება ხდება პენეტრაციის რიცხვით, რომელიც არის კონუსის პროდუქტში ჩაღრმავება გამოსახული

მილიმეტრის მეათედებით. მაგალითად, თუ პენეტრაციის რიცხვია 200, ეს იმას ნიშნავს, რომ კონუსი 5 წმ-ის განმავლობაში 20 მმ-ით ჩაღრმავდება შემზეთ მასალაში.

2) წვეთას ტემპერატურა პირველი წვეთის დაცემის შესაბამისი ტემპერატურა და განისაზღვრება უბელოდეს ხელსაწყოს მეშვეობით. უკანასკნელი შეიცავს თერმომეტრს ლითონურ ჰილზში, რომლის ბოლოშიც ჩასმულია მინის ფიალა 3 მმ-იანი ნახვრეტით. წვეთას ტემპერატურა განსაზღვრავს შემზეთი მასალის მუშაობის უნარის ტემპერატურულ ზღვარს. მიღებულია, მუშაობის უნარის ზღვრად მიჩნეულ იქნეს წვეთას ტემპერატურაზე 10-20° C-ით ნაკლები ტემპერატურული ღონე.

3) გენმედეგობა ე. ი. საწყისი მახასიათებლების შენარჩუნება წყალთან კონტაქტის შემთხვევაში (პლასტიკური შემზეთი მასალების უმრავლესობა ხასიათდებიან გენმედეგობის მაღალი მაჩვენებლით, გამონაკლისია მხოლოდ კონსტალინები).

პლასტიკურ შემზეთ მასალებს ახასიათებთ დადებითი თვისებების მთელი კომპლექსი. ძირითადად ანტიფრიქციულ თვისებებთან ერთად პლასტიკური შემზეთი მასალები ხასიათდებიან კარგი მამჭიდროებელი თვისებებით - მათი მეშვეობით ხდება ხახუნის კვანძში ღრეჩობის ამოვსება, მათ აქვთ ვერტიკალურ კედელზე თავის შეკავების უნარი, მაშინაც კი, როცა ფენის სისქე საკმაოდ დიდია; ადვილად ეფარებიან და იწმინდებიან ზედაპირებიდან. ამ თვისების გამო ფრიალ მოხერხებულია მათი გამოყენება მანქანათა ხანგრძლივი კონსერვაციისათვის. პლასტიკური შემზეთი მასალების სიბლანტე მცირედ არის დამოკიდებული მათი გათბობა-გახურების ტემპერატურაზე. ფრიალ მნიშვნელოვან თვისებად ითვლება ის, რომ სრიალის წინააღმდეგობა მცირედ არის დამოკიდებული სრიალის სიჩქარეზე (ამ თვისებით პლასტიკური შემზეთი მასალები მკვეთრად განსხვავდება თხევადი ზეთებისაგან).

რეკომენდებულია, რომ პლასტიკური შემზეთი მასალები გამოყენებული იყოს იქ, სადაც ხახუნის პროცესში დიდი რაოდენობით სითბო არ გამოიყოფა და სადაც მისი გაგანა ხახუნის მონიდან არ არის გათვალისწინებული შემზეთი მასალების მეშვეობით. ასეთ კვანძებს მიეკუთვნება ნელმავალი სრიალის საკისრები, გორვის საკისრები და სხვა მსგავსი კვანძები.

ამრიგად, პლასტიკური შემზეთი მასალები, ხასიათდებიან რა კარგი ანტიფრიქციული, საკონსერვაციო თუ საჭერმეტიზაციო თვისებებით, დანიშნულების მიხედვით შეიძლება გამოყენებულ იქნეს:

- ღია გრიბოლოგიურ სისტემებში;
- ძნელად საჭერმეტიზაციო ხახუნის კვანძებში;

- ტრიბოლოგიურ სისტემებში, სადაც განსაკუთრებული მოთხოვნებია საიმედო ჰერმეტიზაციისადმი (მაგალითად, საქსოვ დაზგებში – ქსოვილის გაფუჭების თავიდან აცილებისათვის, მშრალ ფრიქციულ გადაცემებში, როცა გადაცემაში ხახუნის კოეფიციენტის შემცირება დაუშვებელია და ა. შ.);
- ძნელად მისადგომ ტრიბოლოგიურ სისტემებში, სადაც გათვალისწინებულია მისი ხანგრძლივი მუშაობა ბეთის შეცვლის გარეშე (ერთჯერადი შეზღვევის კვანძები);
- მექანიზმებში, რომლებიც მუშაობენ ფართო ტემპერატურულ და საექსპლუატაციო რეჟიმებში;
- მექანიზმებსა და კვანძებში, სადაც საჭიროა დეტალების ხანგრძლივი კონსერვაცია.

პლასტიკური შემზეთი მასალებიდან ყველაზე უფრო გავრცელებული ჯგუფია სოლიდოლები. მათი გამოყენების რაციონალური ზღვარია $60-80^{\circ}\text{C}$. სოლიდოლების ერთ-ერთი უმთავრესი უპირატესობა მათი გენმედეგობაა. კონსტალინები მიეკუთვნება ძნელდნობად შემზეთ მასალებს და გამოიყენება კვანძებში, სადაც ტემპერატურა $100-150^{\circ}\text{C}$ -მდეა, ზოგ შემთხვევაში კი 200°C -მდე. ნაკლია – კონსტალინები წყალში იხსნებიან, რის გამოც დაუშვებელია მათი წყალთან კონტაქტი.

ბემოთ მოყვანილი შემზეთი მასალების თვისებათა კომპლექსს შეიცავენ ნაგრიუმ-კალიუმიანი შემზეთები, რომლებიც ხასიათდებიან სოლიდოლებზე უფრო მაღალი ტემპერატურული მედეგობით (100°C -მდე და უფრო მეტი) და, იმავე დროს, საკმაო გენმედეგობით.

საერთო დანიშნულების შემზეთი მასალების გარდა არსებობს სპეციალური დანიშნულების ბეთები: საგლინავი დგანების, ტექსტილის მანქანების, რკინიგზის მანქანა-მოწყობილობების, დამცავი, დაბალი და მაღალტემპერატურული და სხვ.

საერთო დანიშნულების მანქანებში ძირითადად ნავთობისაგან მიღებული შემზეთი მასალები გამოიყენება. თუმცა ბოლო პერიოდში უფრო და უფრო მეტი გავრცელება მოიპოვა ხელოვნური გზით შექმნილმა თხევადმა სინთეტიკურმა ბეთებმა. არსებობს ახალი მყარი შემზეთი მასალების ფართოდ გავრცელების საკმაო პერსპექტივა.

შემზეთი მასალების სახეები და ძირითადი მაჩვენებლები სტანდარტიზებულია და მოცემულია ყოფილი სსრკ-ს სახელმწიფო სტანდარტში – ГОСТ 23.002-78.

4.3. შებთვის სახეები

გრიბოსისტემის შეუღლებული დეტალების მუშაობის რეჟიმი, შემზეთი მასალების თვისებები და საექსპლუატაციო პირობები განაპირობებენ მოხახუნე გედაპირების ურთიერთქმედების ხასიათს ხახუნის პროცესში. მოხახუნე გედაპირების განმხოლოების პარამეტრების მიხედვით განასხვავებენ შებთვის შემდეგ სახეებს: ჰიდროდინამიკურს, ჰიდროსტატიკურს, გაზურდინამიკურს, გაზურსტატიკურს, ელასტიკურ-ჰიდროდინამიკურს, სასაზღვროს და შერეულს, ხოლო შემზეთი მასალის ფიზიკური მდგომარეობის მიხედვით – გაზურს, თხევადს და მყარი მასალებით შემთვისას.

აირული შემთვისა ისეთი სახის შემთვისაა, როცა მოხახუნე გედაპირების განმხოლოება ხორციელდება ისეთი შემზეთი მასალით, რომელიც აირის მდგომარეობაშია. ასეთი სახის შემთვისა მექანიკურ მანქანებში იშვიათად გამოიყენება.

თხევადი შემთვისის დროს მოხახუნე გედაპირების განმხოლოება ხდება თხევადი შემზეთი მასალებით. ასეთი სახის შემთვისის განხორციელება ეკონომიკურად ფრიად გამართლებულია და პრაქტიკაში ცდილობენ მის ფართოდ გამოყენებას. თხევადი შემთვისა საკმაოდ ხშირად გამოიყენება მანქანათა უმრავლესობის გრიბოსისტემებში.

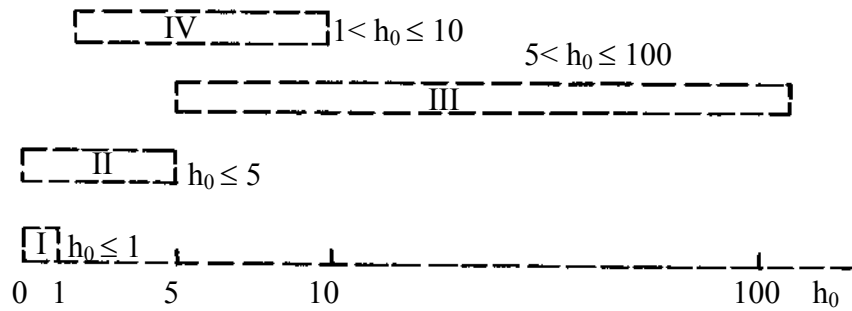
მყარი მასალებით შემთვისის დროს მოხახუნე გედაპირების განმხოლოება ხდება მყარი შემზეთი მასალების მეშვეობითაც. დღეს ასეთი სახის შემთვისა სამანქანათმშენებლო პრაქტიკაში საკმაოდ პერსპექტიულად არის მიჩნეული.

ჰიდროდინამიკური შემთვისა თხევადი შემთვისის ერთ-ერთი სახეა და იგი განპირობებულია თხევადი შემზეთი მასალის დაწნევით მდგომარეობაში ყოფნით, რომელიც წარმოიქმნება მოხახუნე გედაპირების ურთიერთგადაადგილების შედეგად. ამასთან, წარმოქმნილი ბეთის ფენის სისქე და პარამეტრები განსაზღვრავენ შემთვისისა და ხახუნის სახეს (თხევადი, ჰიდროდინამიკური შემთვისის შექმნისა და კონსტრუირების საფუძვლები განიხილება ქვემოთ). შემზეთი მასალის ფენის ფარლობითი სისქე (h_0) ხახუნის სახეთა კლასიფიცირების უმთავრესი კრიტერიუმი და მოგადად ასე გამოისახება:

$$h_0 = \frac{h}{R_{a_1} + R_{a_2}}, \quad (4.2)$$

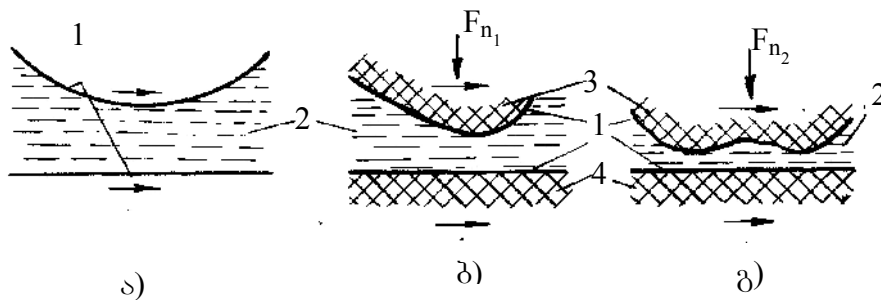
სადაც h_0 არის ბეთის ფენის სისქე; R_{a_1} , R_{a_2} – შესაბამისად, პირველი და მეორე მოხახუნე გედაპირების ცენტრალური დერძის მიმართ უსწორმასწორობათა საშუალო გადახრა.

თხევადი შეზღვევის განხორციელებას, რომელიც პრაქტიკაში თხევადი ხახუნის პროცესად იწოდება, შეესაბამება $5 \leq h_0 \leq 100$ პირობა (ხახუნისა და შეზღვევის სახეთა კლასიფიკაცია h_0 -ის მიხედვით მოცემულია 4.4 ნახაზზე, ხოლო 4.5-ზე მოცემულია მოხახუნე ზედაპირების კონტაქტების მოდელები).



ნახ. 4.4. შეზღვევის სახეთა კლასიფიკაცია h_0 კრიტერიუმის მიხედვით:

- I – სასაზღვრო; II – შერეული; III – თხევადი;
- IV – ელასტიკურ-ჰიდროდინამიკური თხევადი



ნახ. 4.5. შეზღვევის ფენის მოდელები თხევადი შეზღვევის დროს:

- ა – გამარტივებული; ბ – ზეთის ფენის თხევადი შეზღვევის დროს; გ – ზეთის ფენა ელასტიკურ-ჰიდროდინამიკური შეზღვევის დროს; 1 – დამცავი ანუ სასაზღვრო ფენა; 2 – შეზღვევის მასალა; 3 – ღრეკადი სხეული; 4 – მყარი სხეული; F_{n1} – მცირე სიდიდის ნორმალური დატვირთვა; F_{n2} – დიდი ნორმალური დატვირთვა

ჰიდროსტატიკური შეზღვევა ასევე თხევადი შეზღვევაა, რომლის დროსაც ჰიდროდინამიკურისგან განსხვავებით, სადაც ზეთის წნევის წარმოქმნის წყარო არ

არის მოხახუნე გელაპირების ურთიერთგადაადგილება. წნევა ბეთის ფენაში წარმოიქმნება გარეშე დანადგარის მეშვეობით.

აირღინამიკური და აირსტატიკური შებეთები ჩვენი ქვეყნის პირობებში მექანიკურ მანქანებში იშვიათად გამოიყენება. ამის გამო აღნიშნული შებეთვის სახეები მოცემულ ნაშრომში არ განიხილება.

პლასტიკურ-ჰიდროდინამიკური შებეთვის თეორიული საფუძვლები კლასიკური ჰიდროდინამიკური თეორიისაგან განსხვავებით ითვალისწინებს მოხახუნე გელაპირების ღრეკად დეფორმაციებს. იგი განსაკუთრებით ანგარიშგასაწევია, როცა თხევადი ხახუნი ხორციელდება დიდი დატვირთვებისა და მრუდე გელაპირების (მაგალითად, ცილინდრულების) შემთხვევაში.

თვით შემბეთი მასალის ფენა ასეთი შებეთვის დროს ელასტიკურ-ჰიდროდინამიკურია და იგი წარმოიქმნება საკონტაქტო ზონაში დიდი წნევების შედეგად, რაც, თავის მხრივ, იწვევს ბეთის სიბლანგის მნიშვნელოვნად გადიდებას.

ასეთი სახის შებეთვის დროს h_0 კრიტერიუმი იცვლება მღვრებში 1...10.

სასაზღვრო შიშაქმვა ისეთი სახის შებეთვაა, როცა კვანძში ხახუნის ძალა და, შესაბამისად, ცვეთა განპირობებულია მოხახუნე დეგალების და შემბეთი საშუალებების გელაპირული აქტივობის თვისებების ერთობლიობით. აღნიშნულის გამო ბეთის სიბლანგე, რომელიც სითხის მოცულობითი თვისებაა, პრაქტიკულად არ მოქმედებს სასაზღვრო ხახუნის წინააღმდეგობაზე. ერთ-ერთ ძირითადი გრიბოგექნიკური თვისებაა ბეთის ფენის სისქის მცირე სიდიდე სასაზღვრო ხახუნის შემთხვევაში მოხახუნე გელაპირების სიმქისის პარამეტრებთან შედარებით.

მის გამო კრიტერიუმი h_0 სასაზღვრო შებეთვის და, შესაბამისად, სასაზღვრო ხახუნის პირობებისათვის ერთზე ნაკლები უნდა იყოს.

შირეული შებეთვა დამახასიათებელია უმრავლესი გრიბოლოგიური სისტემებისათვის. ამ დროს გრიბოლოგიურ სისტემაში ერთდროულად არის განხორციელებული როგორც სასაზღვრო, ისე თხევადი შებეთვა ე. ი. კვანძში ნაწილობრივ საზღვრული ხახუნია, ნაწილობრივ თხევადი, ანუ მუშა პროცესში ვერ ხერხდება მოხახუნე გელაპირების მთლიანი განმხოლოება. ასეთ შემთხვევაში ცალკეული ბორცვების ურთიერთკონტაქტის გამო იმრდება ბეთის ფენის მიღვის უნარი. ამ კომპლექსურ თვისებათა გამო ასეთი შებეთვა და, შესაბამისად, ხახუნი იწოდება შერეულად. ამასთან, h_0 კრიტერიუმი შერეული შებეთვისათვის უნდა აკმაყოფილებდეს პირობას $h_0 \leq 5$.

რეალური გრიბოლოგიური სისტემებისათვის დამახასიათებელია, რომ მუშაობის რეჟიმის ძირითადი პარამეტრების (სიჩქარის, რადიალური წნევის, გემპერატურის) თანდათანობით შეცვლასთან დაკავშირებით ხდება ერთი სახის შემეტვის მეორეში ასევე თანდათანობით გადასვლა. ამასთან, კვანძის ოპტიმალური მუშაობის ერთ-ერთ ძირითად ფაქტორად რჩება შემშეთი მასალის უმთავრესი თვისება – სიბლანტე. მასალის ეს თვისება წარმოჩინდება მისი ფორმის ცვლილების დროს და იგი მოგადად ახასიათებს შემშეთი მასალის შიგა ხახუნს.

თხევადი შემეტვის პირობებში ხახუნის ძალის გამოთვლისათვის გამოიყენება გამოსახულება

$$F_f = \frac{\eta SV}{h}, \quad (4.3)$$

სადაც F_f არის ხახუნის ძალა, ნ; η – შემშეთი მასალის დინამიკური სიბლანტე, პა/წმ; S – მოხახუნე გედაპირების ნომინალური ფართობი, მ²; V – მოხახუნე გედაპირების ფარდობითი გადაადგილების სიჩქარე, მ/წმ; h – შემშეთი მასალის ფენის სისქე, მ.

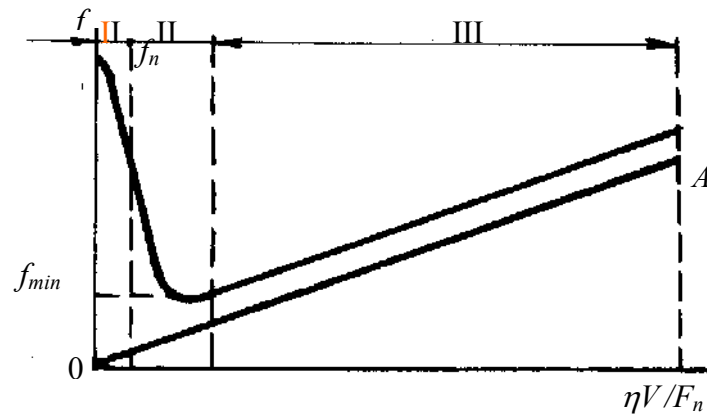
გრიბოლოგიური სისტემის შემეტვისას ხახუნის სახე განისაზღვრება როგორც შემშეთი საშუალებების რაოდენობითა და თვისებებით (სიბლანტით), ისე კვანძის მუშაობის რეჟიმით და კონსტრუქციული პარამეტრებით – მოხახუნე გედაპირების ფარდობითი სიჩქარით, დაგვირთვით, შეუღლებული დეგალების დრეჩოს სიდიდით, გეომეტრიული მომებით. ჩამოთვლილი პარამეტრების თანაფარდობა რეალურ პირობებში განაპირობებს ხახუნის სახეს - სასაზღვროს, თხევადს თუ შერეულს.

რიცხოვრივად კვანძის მუშაობის რეჟიმს კარგად ახასიათებს ფარდობა $\frac{\eta V}{F_n}$,

სადაც F_n არის ნორმალური დაგვირთვა ან წნევა საყრდენ ხახუნის კვანძში.

საინჟინრო პრაქტიკაში გრიბოლოგიური სისტემის ერთ-ერთ ძირითად მახასიათებლად მისი თხევადი შემეტვის დროს მიჩნეულია გერსი-შტრიბეკის დიაგრამა. უკანასკნელი წარმოადგენს ხახუნის კოეფიციენტის $\frac{\eta V}{F_n}$

პარამეტრებთან დამოკიდებულებას (ნახ. 4.6). დიაგრამიდან ჩანს, რომ ხახუნის კოეფიციენტის მაქსიმალური მნიშვნელობა შეესაბამება $\frac{\eta V}{F_n}$ პარამეტრის ნულოვან მნიშვნელობას, რაც, თავის მხრივ, შეესაბამება ნულოვან ფარდობით სრიალს ანუ უძრაობის ხახუნს.



ნახ. 4.6. ხახუნის კოეფიციენტისა და ხახუნის კვანძის მუშაობის რეჟიმისა და შემზეთი მასალის მახასიათებლის დამოკიდებულება

მცირე ფარდობითი სიჩქარის რეჟიმში, ე.ი. როდესაც ხახუნის კოეფიციენტის მნიშვნელობა მაქსიმალურია, მოხახუნე გელაპირზე აღსორბირდება საკმაოდ მღვრადი შემზეთი მასალის უმცირესი სისქის ფენა. ხახუნის კვანძის შეზეთვის ასეთ პირობებს შეესაბამება სასაზღვრო შემზეთვა (ნახ. 4.6.), როდესაც ხახუნის კოეფიციენტი ლითონური მასალებისათვის იცვლება ზღვრებში 0,1... 0,15. ხახუნის კოეფიციენტის შედარებით დიდი მნიშვნელობები სასაზღვრო ხახუნის პირობებში განპირობებულია მოხახუნე გელაპირების ბორცვების მექანიკური ურთიერთქმედებებით.

ასეთ რეჟიმებში მუშაობენ უმრავლესი მექანიკური მოწყობილობის სრიალის საკისრები და კბილანის კბილების ცალკეული ელემენტები.

ფარდობითი სრიალის სიჩქარის უფრო მაღალი მნიშვნელობისათვის ხდება შემზეთი მასალის ფენის სისქის გაზრდა, რის შედეგად მცირდება მოხახუნე გელაპირების ბორცვების მექანიკური ურთიერთქმედება. ამასთან, ვინაიდან შემცირებულია ხახუნის ძალის ადჰეზიური მდგენელი, ორივე ფაქტორის ერთობლივი მოქმედება იწვევს ხახუნის კოეფიციენტის მნიშვნელოვნად შემცირებას. შექმნილი პირობები შეესაბამება შერეული შემზეთვის (ხახუნის) სახეს და გერსი-შგრიბეკის დიაგრამაზე გამოსახება II ზონით (ნახ. 4.6). ამ სახის შერეული შემზეთვის სახე ასევე დამახასიათებელია მრავალი მანქანის სრიალის საყრდენისა და კბილანური გადაცემებისათვის.

იმავე რეჟიმებისა და პარამეტრების დროს, როცა შემდეგომ ვზრდით ფარდობითი სრიალის მნიშვნელობას, ხდება შემზეთი მასალის ფენით მოხახუნე გელაპირების ერთმანეთისაგან მთლიანი განმხოლოება. ბუნებრივია, ამ დროს ფენის სისქე უნდა აღემატებოდეს მოხახუნე გელაპირების ბორცვების სიმაღლეს. შემზეთის ასეთ პირობებში ხახუნის ხასიათი მთლიანად განპირობებულია თხევადი შემზეთი

მასალის მოცულობითი თვისებებით, რაც იმას ნიშნავს, რომ მოხახუნე გელაპირების ურთიერთგადაადგილების წინააღმდეგობა დამოკიდებულია შემზეთი მასალის ცალკეული ფენების ურთიერთგადაადგილების წინააღმდეგობაზე. გერსი-შგრიბეკის დიაგრამაზე ასეთი სახის შემეთვის შეესაბამება III ზონა (ნახ. 4.6). ასეთი შემეთვის პირობებში ხახუნის კოეფიციენტის უმცირესი მნიშვნელობა მიიღება შემზეთი მასალის უმცირესი სიბლანგის შემთხვევაში. ამასთან, უნდა გვახსოვდეს, რომ თხევადი შემეთვის (ხახუნის) უმრუნველყოფისათვის კონკრეტული პარამეტრების შემთხვევაში შემზეთ მასალას საჭიროა ჰქონდეს გარკვეული სიბლანგე. III ზონაში გემპერატურის მომატება იწვევს რა სიბლანგის შემცირებას, ამცირებს ხახუნის კოეფიციენტს. მაგრამ შემცირება გრძელდება გარკვეულ პერიოდამდე. გემპერატურის შემდგომმა გადიდებამ შესაძლებელია თხევადი ხახუნის სახე (III ზონა) გადაყვანოს შერეული შემეთვაზე (I ზონა), რაც იწვევს ხახუნის კოეფიციენტის არა შემცირებას, არამედ მის მნიშვნელოვნად გადიდებას.

ზოგადად, თხევადი შემეთვის სახე მიჩნეულია მდგრად რეჟიმად. გემპერატურის გაზრდა საკონტაქტო ზონის ფარგლებში იწვევს სიბლანგის შემცირებას, ხოლო იგი – ხახუნის კოეფიციენტის შემცირებას, რაც, თავის მხრივ, იწვევს გემპერატურის ისევ შემცირებას და, მაშასადამე, რეჟიმის ისევ აღდგენას.

რაც შეეხება შემეთვის შერეულ და სასაზღვრო სახეებს, ისინი არამდგრად რეჟიმებადაა მიჩნეული. ამ შემთხვევაში გემპერატურის გაზრდა ამცირებს რა სიბლანგეს, იწვევს $\frac{\eta}{F_n} V$ პარამეტრის შემცირებას. უკანასკნელის გამო კიდევ უფრო იზრდება ხახუნის კოეფიციენტი და, მაშასადამე, გემპერატურაც და იწყება ახალი აღმავალი ციკლი, რომელსაც მივყავართ მუშაობის არამდგრად რეჟიმებამდე.

ამრიგად, თხევადი შემეთვა განპირობებულია შემზეთი მასალის შიგა ხახუნით და ამით უმრუნველყოფილია ხახუნის კოეფიციენტის უმცირესი მნიშვნელობები - 0,005...0,05. ასეთი სახის შემეთვის განხორციელება შესაბამისი პარამეტრების დაცვის შემთხვევაში მრავალი სახის მანქანაშია შესაძლებელი. ბუნებრივია, მანქანა-მოწყობილობის საიმედოობისა და ხანგამძლეობის მაჩვენებელთა ამაღლების გზაზე გრიბოლოგიურ სისტემებში თხევადი შემეთვის განხორციელება უმნიშვნელოვანესი ამოცანაა. თხევადი შემეთვის – ჰიდროდინამიკურის, ჰიდროსტატიკურის თუ ელასტიკურ-ჰიდროდინამიკურის დანერგვა მანქანებში მნიშვნელოვნად ამცირებს ენერგეტიკულ დანაკარგებს ხახუნის ძალის დაძლევაზე და აუქობებს საპასუხისმგებლო დეგალების მუშაობის პირობებს.

თავი 5. თხევადი შებენი და მისი ჰიდროდინამიკური თეორია

5.1. ჰიდროდინამიკური შეზღუდვის (ხახუნის) საფუძვლები

გემოთ აღნიშნული იყო, რომ გრიბოლოგიური სისტემის ეფექტური მნიშვნელობა მნიშვნელოვანწილადაა დამოკიდებული თხევადი შემზეთი მასალის რაციონალურ გამოყენებაზე. საყრდენ კვანძებში ინტენსიური ცვეთის და ღიბი ენერგეტიკული დანაკარგების თავიდან აცილებისათვის საჭიროა საკისრის საგაცისა და საღების ზედაპირები განმხოლოებულნი იქნენ ერთმანეთისაგან შემზეთი მასალის გარკვეული სისქის ფენით. მაგრამ იმისათვის, რომ მოხახუნე ზედაპირებს შორის არსებობდეს ერთიანი ზეთის ფენა, იგი უნდა იმყოფებოდეს წნევის ქვეშ. მაშასადამე, იმისათვის, რომ დაგვირთული დეგალების ღრეჩოში წარმოიშვას და შენარჩუნდეს გარკვეული სიბლანგის მქონე თხევადი ზეთის ფენა, საჭიროა - ღრეჩოში მიწოდებულ იქნეს ზეთი ისეთი წნევით, რომელიც უზრუნველყოფს მოხახუნე ზედაპირების განმხოლოებას, ან შეიქმნას ისეთი კონსტრუქციულ-საექსპლუატაციო ვითარება, რომელიც თავად წარმოქმნის ზეთის ბიღვისუნარს ფენას, ე. ი. წნევას ზეთის ფენაში.

პირველი მიმართულება, რომელიც ითვალისწინებს მოხახუნე ზედაპირებს შორის არსებულ ღრეჩოში ზეთის წნევით მიწოდებას, საჭიროებს რთულ დანადგარებს – ტუმბოებსა და სათანადო მილსადენების გამოყენებას, რაც პრაქტიკაში ხშირად კონსტრუქციულად და ეკონომიკურად გაუმართლებელია.

მეორე მიმართულება, რომელიც უძრავლეს შემთხვევაში უფრო მისაღებია, ითვალისწინებს ზეთის წნევითი ჰიდროდინამიკური ფენის თავისთავად წარმოქმნას. უკანასკნელის განხორციელების მექანიზმი ასე შეიძლება იქნეს წარმოდგენილი:

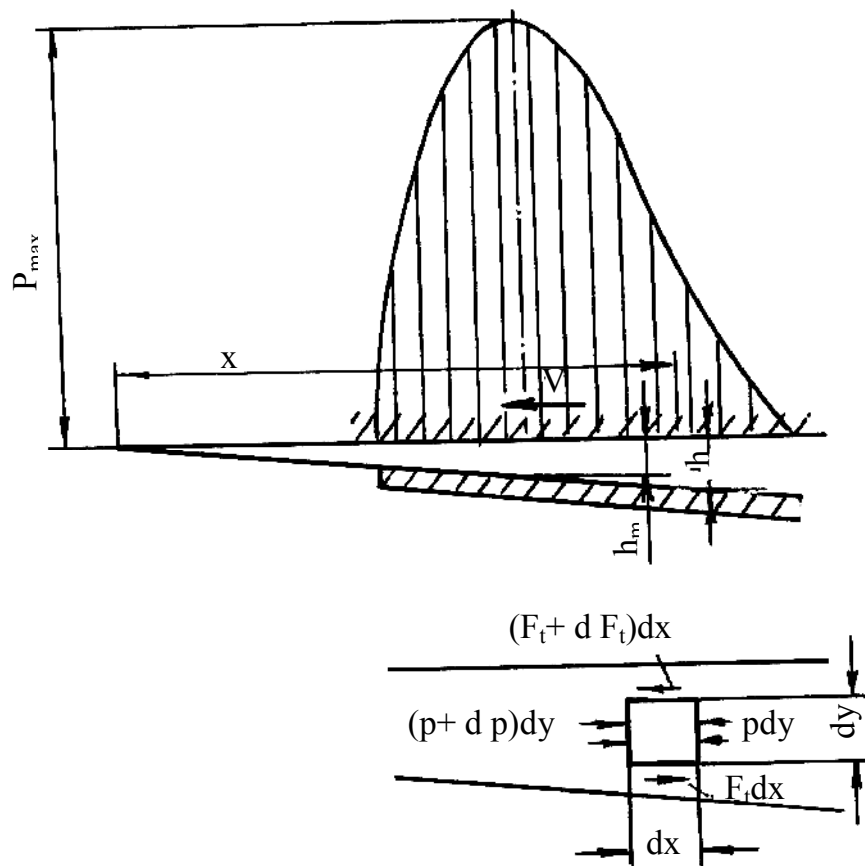
ერთ შემთხვევაში საყრდენი დეგალები წარმოდგენილია, როგორც ბრტყელი ზედაპირები (ნახ. 5.1). ამასთან, გაკეთებულია შემდეგი დაშვებები:

- ზედაპირების სიგრძე (ხაზოვანი ზომა ნახაზის პერპენდიკულარულ სიბრტყეში) უსასრულოდ ღიბია;
- ერთი ზედაპირი გადაადგილდება V სიჩქარით წრფივად, ხოლო მეორე რამდენადმე დახრილია პირველის მიმართ და უძრავია.

პირველი ზედაპირის ნახაზზე ნაჩვენებია მიმართულებით მოძრაობისას შემზეთი მასალის ნაკადი შედის სოლის ფორმის ღრეჩოში ფართო მხრიდან და გამოედინება ვიწრო მხრიდან. ვინაიდან თხევადი შემზეთი მასალა, ზეთი პრაქტიკულად უკუმშველია, ნაკადის უწყვეტობის პირობიდან აუცილებელია ასეთ ღრეჩოში წარმოიშვას შიგა წნევა,

რომელიც ჰიდროდინამიკური იქნება. იგი მყარი სხეულის მსგავსად ეცდება “გახლიჩოს”, გასწიოს ერთმანეთის მიმართ ზედაპირები. შედეგად ერთ-ერთი ზედაპირი, რომელიც კონსტრუქციულად ამის პოტენციურ შესაძლებლობას აგარებს, აცურდება ზეთის ფენაზე და მოხდება ზედაპირების სრული განმხლოება – შესრულდება პირობა თხევადი, ჰიდროდინამიკური შეზღვევისა და, შესაბამისად, ჰიდროდინამიკური ხახუნის განხორციელებისა.

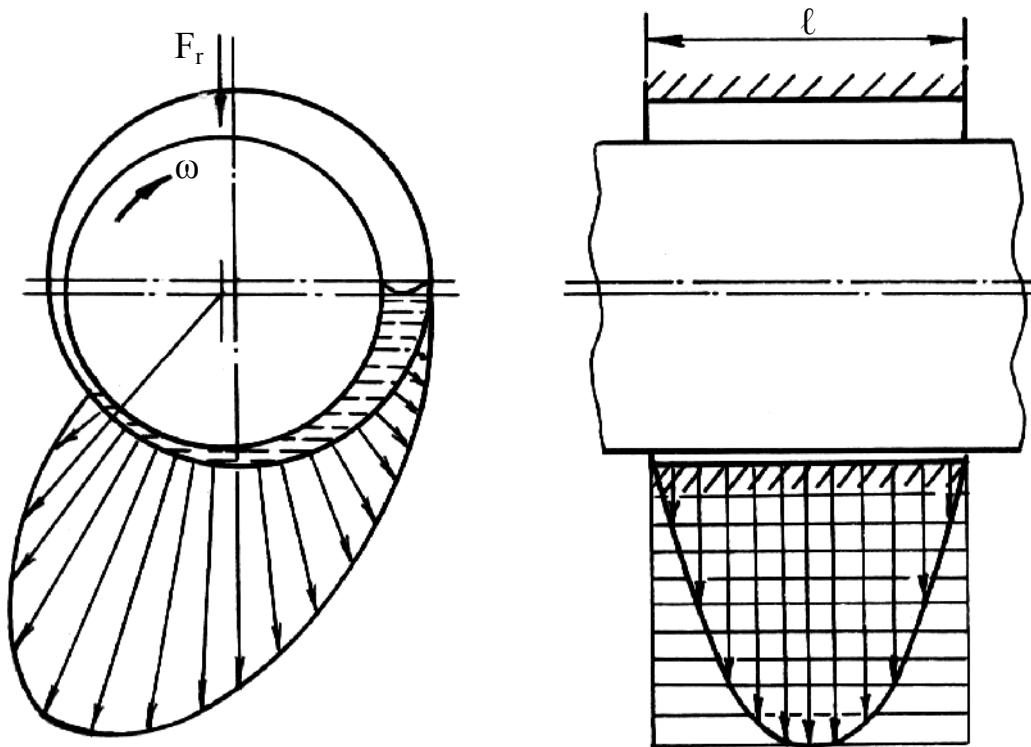
ამრიგად, განხილულ შემთხვევაში ზედაპირის ამომგდები ძალა ძირითადად განპირობებულია მისი ფარდობითი სიჩქარით.



ნახ. 5.1. ბრტყელ ზედაპირებს შორის არსებული ზეთის ფენაში წნევის განაწილება მათი ფარდობითი მოძრაობის დროს

მეორე შემთხვევაში საყრდენ დეტალეზად წარმოდგენილია ცილინდრული ზედაპირები (ნახ. 5.2). საკისარში რადიალური დატვირთვის გამო მბრუნავი ლილვი

საკისრის ღერძის მიმართ იკავებს ექსცენტრიულ მდგომარეობას. ლილვი ბრუნვის დროს თან წარიტაცებს გარკვეული რაოდენობის ბეთს და შეიგანს სოლის ფორმის ღრეჩოში, რომელიც იქმნება ლილვსა და სადებს შორის. ამ დროს საგაცი მოქმედებს, როგორც ტუმბო, რომელიც განუწყვეტლივ ტუმბავს ბეთს კვანძში არსებულ ღრეჩოში. ღრეჩო კი ლილვის მბრუნვის მიმართულებით თანდათან ვიწროვდება, რის გამოც ბეთის სოლში წარმოიქმნება მნიშვნელოვანი სიდიდის ჰიდროდინამიკური წნევა, რაც უბრუნველყოფს მიღვისუნარიანი ბეთის ფენის შექმნას, რომლის წნევის განაწილების ტიპური ეპიურები რადიალური და გრძივი მიმართულებით მოცემულია 5.2 ნახ-ზე. როგორც ნახაზიდან ჩანს, წნევის განაწილება არც ერთი მიმართულებით არ არის თანაბარი და მისი კანონების ცოდნა მნიშვნელოვანი საქმეა როგორც თეორიულ, ისე პრაქტიკულ საქმიანობაში. საკისრის გრძივი მიმართულებით წნევის ეპიურა იცვლება პარაბოლური ტიპის მრუდით, რომლის ნულოვანი წერტილები საკისრის გორსულ ზედაპირებზე მოდის, ხოლო მაქსიმალური – საკისრის შუა ადგილზე. მრუდის ასეთი ხასიათი განპირობებულია გორსული ზედაპირიდან ბეთის განდინებით.

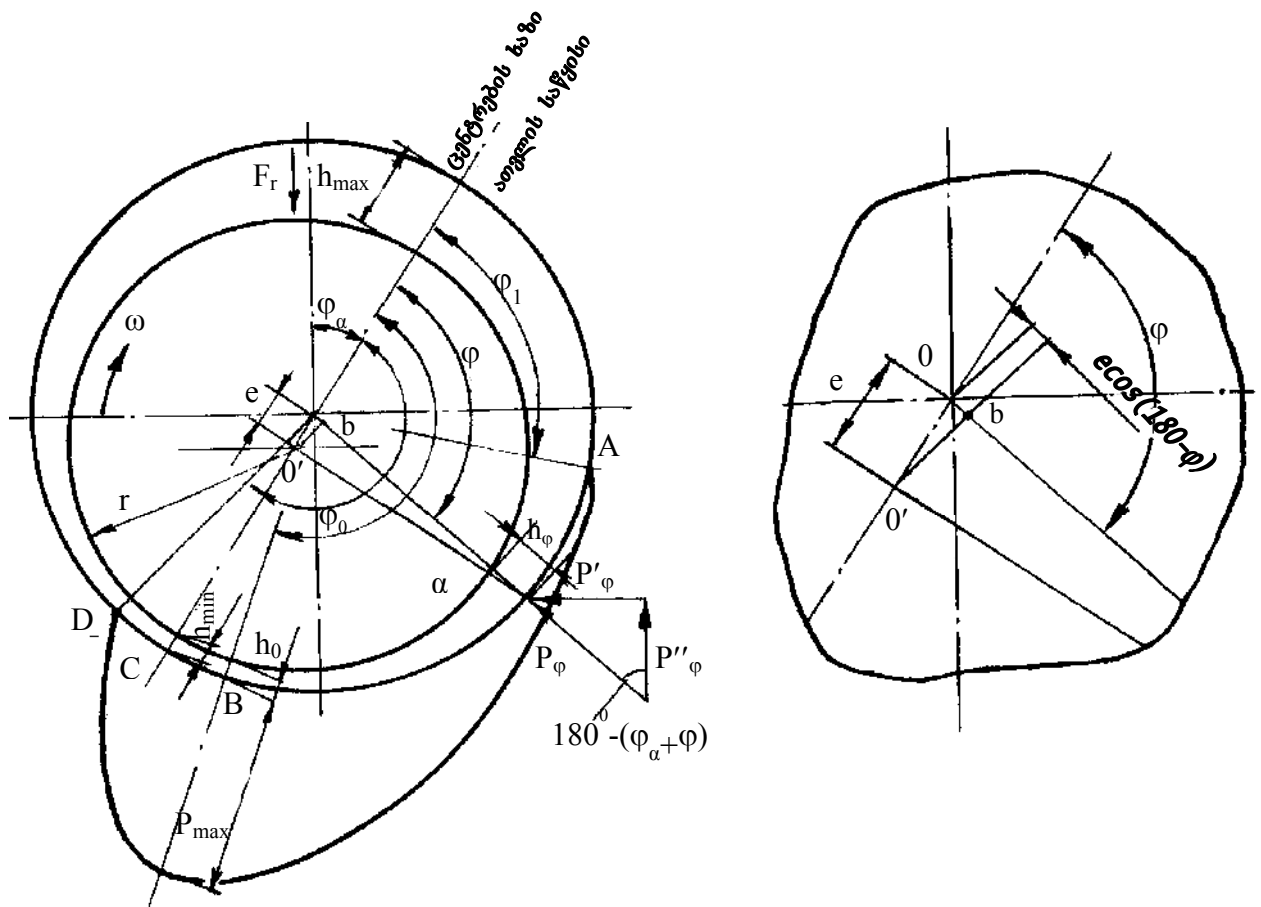


ნახ. 5.2. ჰიდროდინამიკური წნევის ეპიურები სრიალის საკისარში:

ა - რადიალური მიმართულებით; ბ - გრძივი მიმართულებით

5.2. გეომეტრიული პარამეტრები

საკისარში ლილვის უძრავი მდებარეობის დროს საგაცი დევს სადებზე. ლილვის ბრუნვის შემთხვევაში რადიალური დატვირთვის გარეშე იგი თითქმის ცენტრალურ მდებარეობას იჭერს, ხოლო დატვირთვის შემთხვევაში წნევითი ზეთის ფენის გავლენა, რომლის ჯამური მემოქმედება გარკვეულ კუთხეს შეადგენს ძალის მოქმედების მიმართულებასთან, იწვევს ლილვის საგაცის გვერდით გადაადგილებას. მცირე რადიალური დატვირთვის დროს გვერდითი გადაადგილება ძალის მოქმედების მიმართულებით გადაადგილებასთან შედარებით დიდი სიდიდეა და პირიქით, დიდი დატვირთვების შემთხვევაში – მცირე.



ნახ. 5.3. სრიალის საკისრის საანგარიშო სქემა:

ა - საერთო სქემა; ბ - საგაცის ექსცენტრისიგეტის კონსტრუქციული პარამეტრების საანგარიშო სქემა

თხევადი შებეთვის შემთხვევაში შემზეთი მასალის ფენის გავრცელების ზონები საყრდენ კვანძში, რომელიც ცილინდრული დეტალებისაგან შედგება, ასე წარმოიდგინება: ზეთის ჰიდროდინამიკური ფენის გავრცელების ზონები ბევრად არის დამოკიდებული კვანძში მიწოდებული ზეთის რაოდენობაზე, შემზეთი მასალის მიწოდების ადგილზე, შემზეთი არხების არსებობასა და მდებარეობაზე. ზოგად, გიჟურ შემთხვევაში ჰიდროდინამიკური ფენის საწყის წერტილად მიიჩნევენ ადგილს, სადაც რადიალური ღრეჩო დიდი სიდიდისაა და იგი ახლოა ჰორიზონტალურ ღერძთან (ნახ. 5.3, წერტილი A). თუ საყრდენი კვანძი შეიცავს შებეთვის არხს, ჰიდროდინამიკური შემზეთის ფენა სათავეს ამ არხიდან იღებს.

წნევის უდიდესი მნიშვნელობა ზეთის ფენაში მდებარეობს რომელიმე B წერტილში, რომელიც მოთავსებულია დაგვირთვისა და ცენტრების შემაერთებელ ხაზებს შორის.

ჰიდროდინამიკური ფენის საბოლოო წერტილად მიიჩნევა რომელიმე D წერტილი, რომელიც ლილვის ბრუნვის მიმართულებით C მინიმალური ღრეჩოს წერტილის შემდეგ მდებარეობს (ნახ. 5.3). მაგრამ, ამასთან, მრავალრიცხოვანი ექსპერიმენტებით დამტკიცებულია, რომ ზეთის ფენა, მინიმალური ღრეჩოს წერტილიდან დაწყებული, წყვეტას განიცდის. ეს კი რიგ ავგორებს აძლევს საფუძველს დაასკვნან, რომ ზეთის ფენა C წერტილში თავდება.

შებეთვის ჰიდროდინამიკურ თეორიაში უფრო ზუსტ მოსაზრებად მიჩნეულია, რომ $p = 0$ და $\frac{dp}{d\varphi} = 0$ D წერტილში. ამასთან, D და B წერტილები დაახლოებით სიმეტრიულად არიან განლაგებული C წერტილიდან (C წერტილში ზეთის ფენის სისქე მინიმალურია – $h = h_{\min}$) და ე. ი. $DC=CB$.

5.3. ზეთის ფენის ზიდვის უნარი

ზეთის ფენის ზიდვის უნარის განსაზღვრა ჰიდროდინამიკური თეორიის უმნიშვნელოვანესი ამოცანაა. პირველ რიგში განვიხილოთ ეს ამოცანა ზეთის ბრტყელი ნაკადის მაგალითზე, როცა ზეთის გორსული განდინება მხედველობაში არ მიიღება. აღნიშნული მაგალითი ბრტყელი ზედაპირების სახით, როცა ერთ-ერთი მათგანი დახრილია მეორის მიმართ, კარგად ეთანადება გიჟური კონსტრუქციის საკისარში წარმოშობილ შემზეთი მასალის „სოლს“. ამ შემთხვევაში ზეთის ფენის ეპიურის საწყისი და საბოლოო წერტილები, ბუნებრივია, ნულის გოლი იქნება, ხოლო წნევის ცვლილება

სოლის გასწვრივ - $\frac{dp}{dx}$ აღიწერება განტოლებით, რომელმაც რეინოლდსის სახელწოდება მიიღო.

რეინოლდსის განტოლების მისაღებად ზეთის ფენაში განვიხილოთ შემზეთი მასალის ელემენტარული ნაწილი ხაზობრივი ზომებით $dx \times dy \times 1$ (ნახ 5.1), სადაც x მოძრაობის მიმართულებად მიიჩნევა, ხოლო y – შემზეთი ფენის სისქის მიმართულებად.

იმის გამო, რომ ლილვის საკისარში ბრუნვის დროს ხდება ზეთის ფენების ურთიერთგადაადგილება საგაცის ბრუნვის მიმართულებით, საკისრის სოლის ფორმის ღრეჩოში ზეთის ბლანგი თვისებების გამო წარმოიშობიან ძვრის ძალები, რომლებიც ლამინარული დინების დროს განისაზღვრება ნიუტონის კანონით. ბლანგი ძვრის ძალა ერთეულ ფართობზე განისაზღვრება გამოსახულებით

$$F_t = \eta \frac{dV_x}{dy}, \quad (5.1)$$

სადაც F_t არის ბლანგი ძვრის ძალა; V_x - ფარდობითი სიჩქარე x მიმართულებით; η - ზეთის დინამიკური სიბლანგე.

ელემენტარული ნაწილის წონასწორობის პირობიდან (დაგვეგმილებით x ღერძზე) $dp \cdot dy = dF_t \cdot dx$, აქედან

$$\frac{dp}{dx} = \frac{dF_t}{dy}. \quad (5.2)$$

(5.1)-ისა და (5.2)-ის გათვალისწინებით

$$\frac{d^2V_x}{dy^2} = \frac{1}{\eta} \frac{dp}{dx}. \quad (5.3)$$

ზეთის გამდინარების სიჩქარე მიიღება (5.3) გამოსახულების ორმაგი ინტეგრირებით და შემდეგი სასაზღვრო პირობების ჩასმით. უძრავ ზედაპირზე $y=0, V_x=0$, ხოლო მოძრავ ზედაპირზე $y=h, V_x=V$ (სადაც h ღრეჩოს სიღიღეა x კოორდინატის შესაბამის ნებისმიერ კვეთაში). მაშინ

$$V_x = V \frac{y}{h} + \frac{y}{2\eta} (y-h) \frac{dp}{dx}. \quad (5.4)$$

ერთი ერთეულის სიგანის და h სიმაღლის ღრეჩოში 1 წმ-ში გაედინება ზეთი შემდეგი მოცულობით:

$$q_x = \int_0^h V_x dy = \frac{hV}{2} - \frac{h^3}{12\eta} \frac{dp}{dx}. \quad (5.5)$$

ზეთის ნაკადის უწყვეტობის პირობიდან შესაძლებელია ერთმანეთს გავუტოლოთ ზეთის q_x მოცულობები, რომლებიც გაედინებიან ერთ წამში h და h_m . აქ h_m ღრეჩოს სიდიდეა ისეთი კვეთისათვის, სადაც წნევის სიდიდე ფენაში მაქსიმალურია ე.ი. სადაც $p = p_{\max}$ და $\frac{dp}{dx} = 0$ სიდიდის ღრეჩოებში

$$q_x = \frac{hV}{2} - \frac{h^3}{12\eta} \cdot \frac{dp}{dx} = \frac{h_m V}{2}. \quad (5.6)$$

აქედან, ელემენტარული გარდაქმნებით,

$$\frac{dp}{dx} = 6\eta V \frac{h - h_m}{h^3}. \quad (5.7)$$

(5.7) განტოლება მიღებული იქნა რეინოლდსის მიერ და იგი მის სახელს აგარებს.

ზეთით მოყვანილი დამოკიდებულებების (5.1), (5.4) საფუძველზე, კერძოდ, როცა განსამზღვრულია ზეთის განდინების სიჩქარე რომელიმე x კოორდინატისათვის, ნიუტონის კანონით და ელემენტარული გარდაქმნებით შეგვიძლია განვსამზღვროთ ერთეულოვან ზედაპირზე ბლანგი ძვრის ძალა, ხოლო მისი მეშვეობით – ხახუნის პროცესის ძირითადი პარამეტრები:

$$F_t = \eta \left. \frac{dV_x}{dy} \right|_{y=h} = \eta \frac{V}{h} + \frac{h}{2} \frac{dp}{dx} \quad (5.8)$$

ახლა განვიხილოთ ძირითადი ვარიანტი, ე.ი. როცა კვანძი ცილინდრული დეტალებისაგან შედგება.

როგორც უკვე აღვნიშნეთ, წნევა ზეთის ფენაში უზრუნველყოფს ზეთის ნაკადის სიჩქარის გაზრდას და საგაცის აცურებას საკისრის სადებიდან, რითაც იზრდება ზეთის განდინების განივკვეთი. ამ ფაქტორებისა და რადიალური დაგვირთვების ერთობლივი ზემოქმედების შედეგად მყარდება სხეულის (საგაცის) წონასწორობის მდგომარეობა, როცა წნევის განაწილება ზეთის ფენაში უზრუნველყოფს ზეთის გადინებას ღრეჩოში იმავე მოცულობით დროის ერთეულში, როგორც შემოდინებას ლილვის მეშვეობით ღრეჩოს განიერ ნაწილში. ამასთან საგაცზე მოქმედი ნებისმიერი ჰიდროდინამიკური წნევის p_ϕ მიმართულება თანხვედრია ზედაპირის ნორმალის ანუ საგაცის რადიუსის.

თუ p_ϕ წნევას დავშლით p'_ϕ ჰორიზონტალურ და p''_ϕ ვერტიკალურ შემდგენებად, აღმოჩნდება, რომ უკანასკნელებს ძალუბთ გარეშე რადიალური F_z დაგვირთვის გაწონასწორება. ხოლო რაც შეეხება ჰორიზონტალურ შემდგენებს, ისინი იწვევენ საგაცის საკისარსში ჰორიზონტალურ გადაადგილებას (ნახ. 5.3).

საბოლოოდ შემზეთი მასალის წნევითი გემოქმედების შედეგად ლილვისა და საკისრის ღერების შემაერთებელი ხაზი გარეშე ძალის მოქმედების მიმართულებიდან გადაიხრება რაღაც φ_a კუთხით.

ბუნებრივია, შემზეთი მასალის წნევის განაწილების ეპიურების ხასიათი ცილინდრული და ბრტყელი გედაპირების შემთხვევაში ერთმანეთისაგან განსხვავებულია, რაც გედაპირების სხვადასხვაობით არის განპირობებული.

საკისრის თხევადი შეზეთვის პირობებში მიღვის უნარის, ანუ ზეთის ფენის მიღვის უნარის განსაზღვრისათვის შემოვიღოთ შემდეგი დაშვებები*:

- ა) ზეთის ნაკადი ჰიდროდინამიკური ძალების წარმოშობის მონებში მოძრაობს ლამინარულად;
- ბ) ზეთის ნაწილაკების შეჭიდების ძალები საგაცთან და საკისრის საღებთან ისეთი სიდიდისაა, რომ გედაპირის უშუალო მოსაზღვრე ზეთის ნაწილაკების სიჩქარე გედაპირების მიმართ ნულის ტოლია;
- გ) ზეთის მასისათვის, რომლითაც შევსებულია ღრეჩო, მხედველობაში არ მიიღება ზეთის ფენის ნაწილაკთა სიმძიმის, ინერციის და კაპილარული ძალები;
- დ) გარეშე დაგვირთვის ქვეშ მყოფი ზეთი არ იკუმშება.

განხილვის პროცესისათვის შემოვიღოთ შემდეგი სახის აღნიშვნები: დიამეტრული ღრეჩო – $\Delta = D - d$, სადაც D საკისრის საღების დიამეტრია; d – ლილვის საგაცის დიამეტრია; რადიალური ღრეჩო – $\delta = \frac{\Delta}{2}$, ფარდობითი ღრეჩო – $\psi = \frac{\Delta}{d} = \frac{\delta}{r}$, სადაც r საგაცის რადიუსია;

აბსოლუტური ექსცენტრისიტეტი – $e = \delta - h_{\min}$; სადაც h_{\min} ზეთის სისქის მინიმალური სისქეა; ფარდობითი ექსცენტრისიტეტი (ახასიათებს საგაცის მღებარეობას საკისარში) – $\chi = \frac{e}{\delta}$.

e და χ მნიშვნელობათა გათვალისწინებით ზეთის ფენის მინიმალური მნიშვნელობა

$$h_{\min} = \delta - e = \delta(1 - \chi) \quad (5.9)$$

* ქვემოთ მოყვანილი დაშვებები, ასევე, იგულისხმებოდა რეინოლდსის განტოლების გამოყვანისას შესაბამისი პირობების დაცვის შემთხვევაში.

ტიპური საკისრის გეომეტრიული გაანგარიშებანი თხევადი შეშეთვის პირობებში გარკვეულ სირთულესთანაა დაკავშირებული, მაგრამ ყოველივე საკმაოდ მარტივდება, თუ დაუშვებთ, რომ საგაცის ექსცენტრისიგეტი საკისრის მიმართ მცირე სიდიდეა შეუღლების ღრეხოსთან შედარებით. ასეთი დაშვება სავსებით მისაღებია საგაცის საშუალო და სწრაფი ბრუნთა სისშირის, საშუალო რადიალური დატვირთვებისა და გრიბოლოგიური სისგემის მეთით საკმაო რაოდენობით უბრუნველყოფის დროს.

ცენტრების შემაერთებელი ღერძიდან რაიმე φ კუთხეზე მეთის ფენის სისქის განსაზღვრისათვის განვიხილოთ ნახაზი 5.3.

იმის გათვალისწინებით, რომ $ob = e \cos(180^\circ - \varphi)$ და ექსცენტრისიგეტი e მცირე სიდიდეა,

$$\frac{D}{2} = ob + o'a + h_\varphi = e \cos(180^\circ - \varphi) + r + h_\varphi, \quad (5.10)$$

სადაც r საგაცის რადიუსია, φ - ცენტრალური კუთხე.

შესაბამისი ჩასმებითა და გარდაქმნების შემდეგ მივიღებთ, რომ

$$h_\varphi = \delta - e \cos \varphi = \delta(1 + \chi \cos \varphi) \quad (5.11)$$

ხოლო მეთის ფენის სისქე ღრეხოს იმ კვეთისათვის, როცა $p = p_{\max}$ და $\varphi = \varphi_0$

$$h_0 = \delta(1 + \chi \cos \varphi_0). \quad (5.12)$$

ცილინდრული ფორმის საკისრებისათვის რეინოლდსის განტოლება მიზანშეწონილია პოლარულ კოორდინატებში იქნეს განხილული. განტოლება (5.7) გადავწეროთ შემდეგი გამოსახულებების გათვალისწინებით: $dx = r d\varphi$; $h = h_\varphi$; $V = \omega \cdot r$.

აქ ω საგაცის კუთხური სიჩქარეა.

$$dp = 6\eta \frac{\omega}{\psi^2} \cdot \frac{(1 + \chi \cos \varphi) - (1 + \chi \cos \varphi_0)}{(1 + \chi \cos \varphi)^3} d\varphi = 6\eta \frac{\omega}{\psi^2} \cdot \frac{\chi(\cos \varphi - \cos \varphi_0)}{(1 + \chi \cos \varphi)^3} d\varphi. \quad (5.13)$$

წნევა რაიმე φ კუთხეზე განისაზღვრება (5.13) ინტეგრირებით φ_1 კუთხიდან φ კუთხემდე, ე.ი. სასაზღვრო პირობებისათვის (φ_1 , φ)

$$p_\varphi = \int_{\varphi_1}^{\varphi} dp = \frac{\sigma\eta\omega}{\psi^2} \int_{\varphi_1}^{\varphi} \frac{\chi(\cos \varphi - \cos \varphi_0)}{(1 + \chi \cos \varphi)^3} d\varphi. \quad (5.14)$$

p_φ წნევის ვერტიკალური შემდგენი იქნება (ნახ. 5.3)

$$p_\varphi'' = p_\varphi \cos[180^\circ - (\varphi_a + \varphi)] = p_\varphi [-\cos(\varphi_a + \varphi)]. \quad (5.15)$$

მაშინ ელემენტარული სიგანის ($\Delta\varphi$ ცენტრალური კუთხით) ფართობის მიღვისუნარი

$$\Delta F_r = p_\phi'' l r \Delta \varphi = p_\phi'' \frac{ld}{2} \Delta \varphi, \quad (5.16)$$

სადაც d და l საკისრის შესაბამისად დიამეტრი და სიგრძეა.

ვერტიკალური შემდგენების შეჯამება ჰიდროდინამიკური წნევის მოქმედების (φ_1 , φ_2) ბლვრებში და შესაბამისი მნიშვნელობების ჩასმა განტოლებებში (5. 15) და (5. 16) მოგვცემს ჰიდროდინამიკური გეთის მიღვის უნარს:

$$F_r = \frac{ld}{2} \int_{\varphi_1}^{\varphi_2} P_\phi [-\cos(\varphi_a + \varphi)] d\varphi = \frac{3\eta \cdot \omega \cdot \ell \cdot d}{\psi^2} \int_{\varphi_1}^{\varphi_2} \int_{\varphi_1}^{\varphi_2} \frac{\chi(\cos \varphi - \cos \varphi_0) d\varphi}{1 + \chi \cos y} [-\cos(\varphi_a + \varphi)] d\varphi =$$

$$= \frac{\eta \cdot \omega}{\psi^2} ld S_0, \quad (5.17)$$

სადაც

$$S_0 = 3 \int_{\varphi_1}^{\varphi_2} \int_{\varphi_1}^{\varphi_2} \frac{x(\cos \varphi - \cos \varphi_0) \cdot dy}{1 + \chi \cos \varphi} [-\cos(\varphi_a + \varphi)] \cdot d\varphi, \quad (5.18)$$

S_0 არის სატაცის საკისარში მდებარეობის უგანზომილებო ფუნქცია მოცემული სასაზღვრო პირობებისათვის და იწოდება საკისრის დატვირთვის კოეფიციენტად. S_0 -ს სამეცნიერო და საინჟინრო პრაქტიკაში მომერფელის რიცხვს უწოდებენ (ზოგ ქვეყანაში ჰუმბელის რიცხვსაც).

მეორეს მხრივ, მომერფელის რიცხვი (5.17)-ის გათვალისწინებით შეიძლება ასე იქნეს წარმოდგენილი:

$$S_0 = \frac{p\psi^2}{\eta\omega}, \quad (5.19)$$

სადაც p – წნევაა, რომელიც განისაზღვრება, როგორც ნორმალური F_r ძალასა და საკისრის დიამეტრალური კვეთის ფართობის – $d \times l$ ფარლობა. ამასთან, თუ მომერფელის რიცხვი – $S_0 \ll 1$ -მე, რიგი მკვლევრების რეკომენდაციით ხახუნის

კოეფიციენტი $f \approx \frac{\eta \cdot V l}{F_r}$, ხოლო თუ $S_0 \gg 1$, მაშინ $f \approx \left(\frac{\eta \cdot V \cdot l}{F_r} \right)^{\frac{1}{2}}$.

$\frac{\eta \cdot V \cdot l}{F_r}$ პარამეტრი წარმოადგენს თხევადი შებეთვის დროს ხახუნის

კომპლექსურ მახასიათებელს და, როგორც უკვე აღვნიშნეთ, გერსი-შტრიბეკის დიაგრამაზე გამოიყენება არგუმენტად.

ყველა ზემოთ მოყვანილ ფორმულაში და შემდგომ პარამეტრში იგულისხმება SI სისტემის ერთეულებში: η -პა.წმ; p -პა; F_r -ნ; d, l -მ; ω -წმ⁻¹.

რეალური საკისრებისათვის ზეთის ფენის მიღვის უნარი (რადიალური გვირგვინობა) განსაზღვრული უნდა იქნეს ტორსული მხრიდან ზეთის გადინების გათვალისწინებით, რაც ადრე ხორციელდებოდა ექსპერიმენტულად მიღებული წნევის საკისრის სიგრძეზე განაწილების კანონის საფუძველზე. ასეთი გზით მიღებული მრუდი კარგად ეთანადება პარაბოლას (ნახ. 5.2, ბ). დღეს ამ ამოცანის გაღწევისათვის განიხილება სივრცითი ამოცანა საბოლოო სხვაობათა მეთოდისა და ეგმ-ს გამოყენებით.

თხევადი შეზღვევის დროს საკისრის დაგვირთვის კოეფიციენტის (ზომერფელდის რიცხვის) მნიშვნელობა χ ექსცენტრისიტეტისა და $\frac{l}{d}$ ფარდობის შესაბამისად მოცემულია 5.1 ცხრილში.

დაგვირთვის კოეფიციენტის განსაზღვრა შედარებით ნაკლები სიმუსტით შესაძლებელია აგრეთვე გამარტივებული ემპირიული დამოკიდებულებით:

$$S_0 = \frac{m}{1-\chi} - m, \quad (5.20)$$

სადაც $m \approx 0,66$, როცა $\frac{l}{d} = 0,8$; $m \approx 0,75$, როცა $\frac{l}{d} = 0,9$; $m \approx 0,85$, როცა $\frac{l}{d} = 1,0$;

$m \approx 1,0$, როცა $\frac{l}{d} = 1,2$; $m \approx 1,1$, როცა $\frac{l}{d} = 1,5$.

შუალედური სიდიდეების პოვნა შესაძლებელია ინტერპოლაციით.

აღსანიშნავია ის გარემოება, რომ $\frac{l}{d}$ ფარდობის უფრო მცირე მნიშვნელობაზე ფორმულა ნაკლებად ზუსტ შედეგს იძლევა.

ჰიდროდინამიკური თეორიის დამოკიდებულებების ანალიზისა და ექსპერიმენტული კვლევების საფუძველზე შესაძლებელია ზოგიერთი საერთო დასკვნის გაკეთება.

ერთის მხრივ, რაც უფრო მცირეა h_{\min} , მით უფრო დიდია ზეთის ფენის მიღვის უნარი F_r . მეორის მხრივ, h_{\min} -ის მნიშვნელობა უნდა უზრუნველყოფდეს იმ გარემოებას, რომ შეუღლებული ზედაპირების ბორცვები არ ეხებოდნენ ერთმანეთს მათი ურთიერთგადაადგილების დროს. სხვა სიტყვებით, ზეთის ფენის სისქე მისი უმცირესი განივკვეთის ადგილზე უნდა იყოს საგაცისა და საკისრის საღების ზედაპირების სიმქისის უსწორმასწორობების (მიკრობორცვების) სიმაღლეთა ჯამზე

$(R_{z_1} + R_{z_2})$ მეტი. აღნიშნული გარემოება უზრუნველყოფს მოხახუნე ზედაპირების ექსპლუატაციას პრაქტიკული ცვეთის გარეშე. ამ პირობის შესრულებისათვის რეალურ პირობებში საჭირო ხდება დეტალების სიმუსგისა და კვანძში ღრეკადი დეფორმაციების (ლილვის ღუნვაზე) გათვალისწინება მარაგის კოეფიციენტის მეშვეობით. მაშინ

$$h_{\min} = S(R_{z_1} + R_{z_2}), \quad (5.21)$$

სადაც S მარაგის კოეფიციენტია და ≥ 2 . მცირე სიჩქარეების პირობებში, როცა ფარლობითი სიჩქარე $V \leq 0,5$ მ/წმ, იღებენ მარაგის კოეფიციენტის მცირე მნიშვნელობებს.

თუ მოხახუნე ზედაპირები მზადდება წმინდა ჩარხვით ან შიგნარხვით, სიმქისის პარამეტრი იღება $R_z 6,3 \dots R_z 1,6$ (სიმქისის 7...8 კლასი); ხეხვის დროს - $R_z 3,2 \dots R_z 0,4$ (სიმქისის 8...10 კლასი); გაკრიალების დროს - $R_z 0,8 \dots R_z 0,05$ (სიმქისის 10...13 კლასი).

ფარლობითი ღრეჩო საკისრის კვანძებში იღება მღვრებში

$$\psi = 0,0003 \dots 0,005. \quad (5.22)$$

ღრეჩოს დიდი მნიშვნელობები შეესაბამება დიდ ფარლობით სიჩქარეებს, მცირე რადიალურ დაგვირთვებს, გრძელ საკისრებს და დიდი ღრეკადობის მოდულის მქონე საკისრის სადებების გამოყენებას (პოლიმერული სადებების გამოყენების შემთხვევაში სარგებლობენ სპეციალური რეკომენდაციებით და გაჭეჭვის თავიდან აცილების მიზნით იღებენ ღრეჩოს უფრო დიდ მნიშვნელობებს).

ცნობილია აგრეთვე მუშა ტემპერატურული რეჟიმის პირობებში ფარლობითი ღრეჩოს განსაზღვრის სარეკომენდაციო გამოსახულება [19]:

$$\psi = 0,8 \cdot 10^{-3} \cdot V^{0,25}, \quad (5.23)$$

სადაც V საგაცის წრიული სიჩქარეა, მ/წმ.

რეგულირებად საკისრებში კონსტრუქციულად აღწევენ იმას, რომ ღრეჩოს სიდიდეები განსხვავდებიან ცივ და დამყარებულ რეჟიმებში.

საკისრის კვანძის ღრეჩოს ტემპერატურული ცვლილებები, რომლებიც გამოწვეულია როგორც ლილვისა და საკისრის სადების ხაზობრივი გაფართოების ტემპერატურულ კოეფიციენტებს შორის განსხვავებით, ისე კვანძის კონსტრუქციული თავისებურებებით (გარე და შიგა დეტალის აბსოლუტურ გაფართოებებს შორის სხვაობით. ღრეჩოს სიდიდის ცვლილება გამოწვეული პირველი მათგანით შეიძლება იქნას გამოსახული

$$\Delta' = 2at(\alpha_1 - \alpha_2). \quad (5.24)$$

სადაც Δ' ღრეჩოს მნიშვნელობის ცვლილებაა გემპერაგურული სხვაობით გამოწვეული; a – საკისრის საღების ან ანგიფრიქციული ფენის სისქე; α_1 – საღების ხამობრივი გაფართოების გემპერაგურული კოეფიციენტი; α_2 – ლიღვის ხამობრივი გაფართოების გემპერაგურული კოეფიციენტი.

ზემთ მოყვანილი გამოსახულებების ანალიზისა და საერთოდ საკისრების მუშაობის მეცნიერული კვლევის საფუძველზე დაღგენიღია, რომ ზეთის ფენის ზიღვის უნარი F_z იზრღება ზეთის სიბღანღისა და წრიული სიღქარის გაზრღასთან ერთად და მცირღება საკისრის ღრეჩოს გაზრღის ღროს. ე.ი. შეიღლება გაკეთღეს მნიშვნელოვანი დასკვნა - შეიღლება ისე გაღზარღოთ საკისრის რადიღლური დაღვირთვის უნარი, რომ არ გაღადიღოთ მისი კონსტრუქციული ზომები და არ გამოვიყენოთ უფრო ძვირფასი მასღლები მოხახუნე ღეღღღების დასამზღღებღად. კერძოდ, გამოვიყენოთ მეღი სიბღანღის მქონე თხეღადი ზეთები და შეღვარჩიოთ ნაკლები სიღიღის ღრეჩოები. მაღრამ მეორეს მხრივ, ეს ღონისძიებანი იწვევენ სხვა უარყოფით მოვღენებს. მაღღღღღად, მეღი სიბღანღის მქონე ზეთის გამოყენება ზრღის ხახუნის კოეფიციენტს ხახუნის კვანძში, ე.ი.- ხახუნის მომენტს და, მაშასღღამე, სხვა უარყოფით მოვღენებთან ერთად იწვევს გემპერაგურული რეჟიმის გაუარესებას და საჭირო რეჟიმის შენარჩუნებისათვის აუცილებელი ხღება ხეღოვნური გაცივების გამოყენება.

ამრიღად, ხეღოვნური გაცივების გარეშე სიბღანღის გაზრღა და ღრეჩოს შემცირება მისღღღღია მხოლოდ გარკვეულ ზღვრებში. ამ ზღვრის მიღმა გვაქვს უკუეფექტი, რაც განპირობებულია გემპერაგურული რეჟიმის გაუარესებით, რომელიც იწვევს საკისრის მუშა ზონებში ზეთის სიბღანღის და, შესაბამისად, ზეთის ფენის ზიღვის უნარის შემცირებას.

სრიღღის საკისრის გაანგარიშება თხეღადი შემეთვის პირობებში ზოგჯერ დაიყვანება მოცემულ ექსპღღღღაციურ პირობებში მაქსიღღღღური ღრეჩოს განსაზღვრღღღე. სხვა შემთხვევღღში საკისრის ღრეჩოსა და ზეთის სიბღანღის შერჩევის შემღღეგ გაანგარიშება შემოწმებით ხასიღღღ აგარებს. კერძოდ, საკისრის ღრეჩოსა და ზეთის სიბღანღის დაღგენის შემღღეგ განისაზღვრება N_0 კოეფიციენტი, ხოლო მისი მეშვეობით 5.1 ცხრიღღღღან ფარღღღღღი ექსცენტრისიღღღეტი χ . შემღღღღომ ანალიზურად აღვიღღად გამოითვღღება ზეთის მინიღღღღღური ფენის სისქე, რომელიც უნღღა აკმაყოფილებღღღეს პირობას – მოხახუნე ზეღღღღღღების მიკრობორცვები ხახუნის პროცესში ერთმანეთს არ უნღღა ეხებოღღღენ. ზემოხსენებული პარამეტრების განსაზღვრის შემღღეგ შესაღღღღღელი

ხდება ისეთი ძირითადი ექსპლუატაციური პარამეტრების განსაზღვრა, როგორცაა ხახუნის მომენტი, ტემპერატურა მუშა ბონაში და ა. შ.

5.4. ხახუნის პარამეტრები

როგორც უკვე აღნიშნული იყო, ხახუნის კოეფიციენტი, შესაბამისად, ხახუნის ძალა და მომენტი სრულყოფილი თხევადი შეზღვევის პროცესში მთლიანად განპირობებულია სითხის ბლანგი ხახუნით, ე.ი. ხახუნის ისეთი პროცესით, როცა იგი ზეთის ფენების ურთიერთგადაადგილების წინააღმდეგობაა.

განვსაზღვროთ გრიბოტექნიკის ეს ძირითადი პარამეტრები თხევადი შეზღვევის დროს. სიმარტივისათვის ჯერ განვიხილოთ ამოცანა, როცა საგანის ექსცენტრისიტი საკისარში მცირეა და, მაშასადამე, ღრეჩო საკისრის მთელ განივკვეთში შეიძლება მუდმივად ჩაითვალოს. ასეთი მდგომარეობა შეესაბამება საკისრის ექსპლუატაციის იმ პირობებს, როცა საკისარი მუშაობს მაღალი წრიული სიჩქარეებით და მცირე რადიალური დატვირთვებით. ამასთან, იგულისხმება, რომ საკისრის ღრეჩო მთლიანად სავსეა ზეთით.

A ფართობზე მოსული ზეთის ფენის ძვრის ძალა (ხახუნის ძალა) განისაზღვრება ნიუტონის კანონით

$$F_f = F_t = \eta A \frac{dV}{dy}, \quad (5.25)$$

სადაც F_t – ძვრის ძალაა; F_f – ხახუნის ძალა; A – ზეთის ფენის ფართობი საანგარიშო კვეთისათვის ($A = \pi dl$);

$\frac{dV}{dy}$ – სიჩქარის გრადიენტი ზეთის ფენის სისქის მიმართულებით:

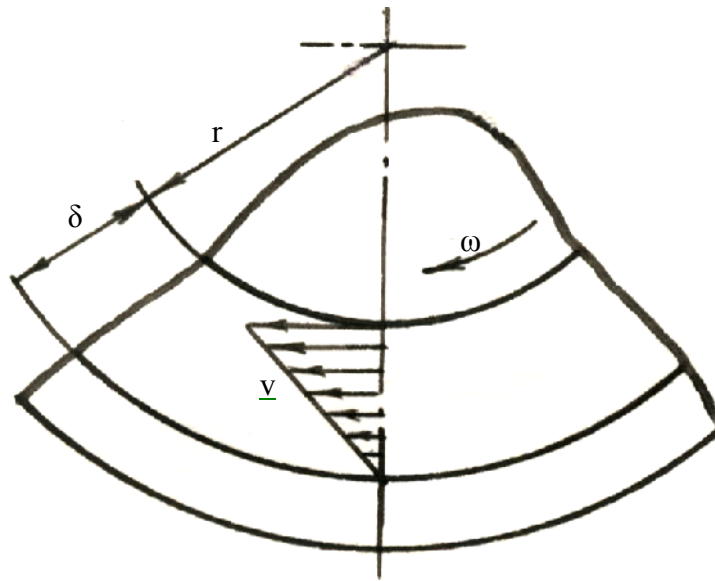
$$\frac{dV}{dy} = \frac{V}{\delta} = \frac{\omega r}{\psi V} = \frac{\omega}{\psi}. \quad (5.26)$$

მაშინ A და $\frac{dV}{dy}$ მნიშვნელობათა გათვალისწინებით ხახუნის ძალა

$$F_t = \pi dl \frac{\eta \omega}{\psi}. \quad (5.27)$$

შესაბამისად, ხახუნის კოეფიციენტი

$$f = \frac{F_t}{F_r} = \frac{\pi \eta \omega}{\psi p}. \quad (5.28)$$



ნახ. 5.4. ზეთის ფენების გადაადგილების სიჩქარეთა სქემა საკისარში

საშუალო სიდიდის დატვირთვის პირობებში მოყვანილი გამოსახულებით განსაზღვრული პარამეტრები – ხახუნის ძალა და კოეფიციენტი შემცირებული სიდიდისაა და ვერ აკმაყოფილებს სიმუსტის მოთხოვნებს. ეს აიხსნება იმით, რომ აღნიშნულ პირობებში სიჩქარის გრადიენტი დატვირთული და დაუტვირთავი მონებისათვის მნიშვნელოვნად განსხვავდება ერთმანეთისაგან. კერძოდ, რადიალური დატვირთვის ისეთ პირობებში, როცა ექსცენტრისიგეტი არ შეიძლება მიჩნეული იქნეს ნულის ტოლად, ე.ი. როცა ღრეხო მცირდება დატვირთულ მონაში და წარმოიშობა ჰიდროდინამიკური წნევა. უკანასკნელი მნიშვნელოვნად ცვლის სიჩქარის გრადიენტის სურათს. ამიგომ საჭირო ხდება ხახუნის კოეფიციენტის კორექტირება, რომელიც დაახლოებით მაინც გაითვალისწინებს რეალურ პირობებს. მაშინ ემპირიული ფორმულა განზომილებათა ტექნიკურ სისტემაში (კგმ, მ, წმ) იღებს სახეს [19]:

$$f = \frac{\pi}{\psi} \cdot \frac{\eta \omega}{p} + 0,55\psi\zeta, \quad (5.29)$$

სადაც $\zeta = \left(\frac{d}{2}\right)^{\frac{1}{5}}$ კოეფიციენტია, რომელიც შემოჰყავთ მოკლე საკისრების შემთხვევაში

ე.ი. როცა $\frac{l}{d} < 1$, ხოლო თუ $\frac{l}{d} \geq 1$, მაშინ $\zeta = 1$.

პრაქტიკული გაანგარიშებისთვის რეკომენდირებული ხახუნის კოეფიციენტის საანგარიშო ფორმულა შეიძლება ასეთი სახით იქნეს წარმოდგენილი [19]:

$$f = 3,36 \cdot 10^{-5} \frac{d}{\Delta} \cdot \frac{\eta n}{p} + 5,5 \cdot 10^{-5} \frac{\Delta}{d} \zeta, \quad (5.30)$$

სადაც d და l პარამეტრების განზომილება მოცემულია სმ-ში; Δ – მკმ-ში; η – სანტიპუაზებში.

როცა წინასწარ დადგენილია ჰიდროდინამიკური წნევის განაწილების კანონი, ხახუნის მომენტის განსაზღვრის დაზუსტებული ფორმულა მიიღება საგაცის გედაპირზე გეთის ძვრის ელემენტარული ძალების ინტეგრირებით:

$$T = F_f \cdot \frac{d}{2} = \frac{\eta \omega}{\psi} \cdot \frac{d^2 l}{2} C_T, \quad (5.31)$$

სადაც T ხახუნის ძალის მომენტია, ნ.მ; C_T – ბრუნვის წინააღმდეგობის კოეფიციენტი და გამოითვლება შემდეგი ემპირიული დამოკიდებულებით:

$$C_T = \frac{\pi}{\sqrt{1-\chi^2}} + 0,438 \chi S_0 \sqrt{1-\chi^2}. \quad (5.32)$$

C_T კოეფიციენტის მნიშვნელობები $\frac{l}{d}$ -სა და χ -ის მიხედვით მოცემულია ტექნიკურ ლიგერაგურაში ცხრილების სახითაც.

პრაქტიკული გაანგარიშებისათვის განზომილებათა ტექნიკურ სისტემაში (სადაც η სანტიპუაზებშია, d და l – სმ-შია) ხახუნის მომენტის ფორმულა ასე გამოიყურება:

$$T = 5,35 \cdot 10^{-10} \frac{\eta m d^2 l}{\Psi} C_T. \quad (5.33)$$

შესაბამისად დასაზუსტებულია ხახუნის კოეფიციენტი

$$f = \frac{2T}{d \cdot F_r} = \frac{\eta \omega C_T}{\psi p}. \quad (5.34)$$

იმის გათვალისწინებით, რომ $S_0 = \frac{p \psi^2}{\eta \omega}$,

$$f = \frac{\psi C_T}{S_0}. \quad (5.35)$$

5.5. თბური გაანგარიშების საფუძვლები წნევით შებეთვის დროს

გრიბოსისგემის წნევითი შებეთვის დროს თბური გაანგარიშების ამოცანა მუშა გემპერატურის განსაზღვრასთან ერთად გულისხმობს ზეთის იმ მოცულობის დადგენას, რომელიც გაედინება კვანძში, რათა შენარჩუნებულ იქნეს დასაშვები გემპერატურა ხახუნის ზონაში.

კლასიკური გემპერატურული გაანგარიშების მსგავსად, მეთოდი ეფუძნება თბური ბალანსის განგებვას, სადაც, ერთის მხრივ, გამოყოფილი სითბოს ნაკადი საკისარში

$$\Phi = F_f V = f F_r \omega r = T \omega , \quad (5.36)$$

ხოლო მეორეს მხრივ, ხახუნის ზონიდან არინებული (გაგანილი) სითბოს რაოდენობა ნაწილდება ორ შემდგენზე:

- სითბოს ნაკადი, რომელსაც გადასცემს საკისარი და ლილვი,
- სითბოს ნაკადი, რომელიც გადაიგანება შემზეთი მასალის მიერ.

წნევით შებეთვის პირობებში გრიბოლოგიური სისტემებისათვის პირველი შემდგენი უმნიშვნელოა და უმრავლეს შემთხვევაში მხედველობაში არ მიიღება, ამიტომ მოცემულ პარაგრაფში იგი არ განიხილება. შესაბამისად, სრიალის საკისრების წნევითი შებეთვისას თბური გაანგარიშების უმრავლეს შემთხვევებში საკმარისადაა მიჩნეული მხოლოდ მეორე შემდგენის გათვალისწინება (შემთხვევა, როცა გათვალისწინებულია სითბოს გადაცემა საკისრისა და ლილვის მეშვეობით განიხილება ქვემოთ სრიალის საკისრების სასაზღვრო და მშრალი ხახუნის პირობებში მუშაობის გაანგარიშების დროს). ე.ი. თბური წონასწორობის პირობა დამყარებული რეჟიმის დროს სრიალის საკისრებისათვის ასე გამოიყურება:

$$\Phi = \Phi_1, \quad (5.37)$$

სადაც Φ_1 შემზეთი მასალის მიერ ხახუნის ზონიდან არინებული სითბოს ნაკადია და იგი გოლია

$$\Phi_1 = c \cdot Q \rho (t_2 - t_1), \quad (5.38)$$

სადაც Q შემზეთი მასალის რაოდენობაა, რომელიც გაედინება საკისრის ღრეჩოში, $\text{მ}^3/\text{წმ}$; ρ – შემზეთი მასალის სიმკვრივე, იღება ზღვრებში $870...890 \text{კგ/მ}^3$; c – ზეთის

ხვედრითი სითბოტევადობა, იღება ზღვრებში – $(1,7...2,1) \cdot 10^3 \frac{\text{ჯოული}}{\text{კგ} \cdot \text{კელვინი}}$; t_2, t_1 – შემავალი და გამომავალი შემზეთი მასალის ტემპერატურები, °C.

t_2 -ს დადგენის დროს გათვალისწინებული უნდა იქნეს ის გარემოება, რომ იგი განსხვავდება ხახუნის ზონაში ზეთის ტემპერატურისაგან (t_2). ამასთან, უკანასკნელი არ უნდა აღემატებოდეს $60...75^\circ\text{C}$. წინააღმდეგ შემთხვევაში ხდება შემზეთი საშუალებების მაჩვენებლების მკვეთრი გაუარესება, რაც, თავის მხრივ, აუარესებს ხახუნის პარამეტრებს, ეს კი ბრდის ტემპერატურას და აღმავალი ციკლი კვლავ მეორდება კვანძის მწყობრიდან გამოსვლამდე.

სითბოს იმ რაოდენობის დადგენისათვის, რომელიც აირინება გრიბოლოგიური სისტემიდან, საჭიროა განისაზღვროს შემზეთი მასალის რაოდენობა, რომელიც გაედინება დაგვირთული, მოძრაობაში მყოფი სრიალის საკისრის გორსული ზედაპირიდან. ამ ამოცანის გადაწყვეტისათვის არსებობს არაერთი ემპირიული ფორმულა, მაგრამ ყველა მათგანი მოუხერხებელი და შედარებით რთულია, რის გამოც საინჟინრო გაანგარიშებისას ნაკლებად გამოიყენება.

ამ ამოცანის თეორიული გადაწყვეტა ემყარება ბლანტი სითხის სამგანზომოლებიანი ნაკადის გორსული გადინების ჰიდროდინამიკურ განტოლებებს. ამოცანის გამარტივება – სივრცულის დაყვანა ბრტყელ ამოცანამდე არ ხერხდება იმ მიზეზით, რომ საკისრის უსასრულო სიგრძის შემთხვევაში სითხის გადინება ღერძული მიმართულებით უნდა შეწყდეს, რაც მიუღებელია ჩვენთვის. აღნიშნულის გამო სამგანზომილებიანი ამოცანის გადაწყვეტისათვის სარგებლობენ მიახლოებითი მეთოდებით – შემზეთი მასალის ხარჯის უგანზომილებო, სრული კოეფიციენტი განისაზღვრება აპროქსიმირებული (მიახლოებული) ფორმულით

$$q = \frac{2Q}{\psi \omega l d^2}, \quad (5.39)$$

სადაც Q შემზეთი მასალის გადინების ხარჯია, ლ/წმ;

დანარჩენი წევრების განზომილება იგივეა, რაც ზემოთ იყო განმარტებული, ღმ-ში. მაშინ შემზეთი მასალის ხარჯი განისაზღვრება დამოკიდებულებით

$$Q = 0,5\psi \omega l d^2 q, \quad (5.40)$$

შემზეთი მასალის ხარჯის უგანზომილებო, სრული კოეფიციენტი შეიძლება წარმოდგენილ იქნეს, როგორც სამი განზომილების ჯამი

$$q = q_1 + q_2 + q_3, \quad (5.41)$$

სადაც q_1 შემზეთი მასალის დატვირთული ზონის გორსული ზედაპირებიდან განდინების კოეფიციენტი. q_1 -ის მნიშვნელობები კონსტრუქციული პარამეტრების მიხედვით დადგენილია მ. კოროფჩინსკის მიერ და მოცემულია 5.2 ცხრილში (პრაქტიკული გაანგარიშების დროს თუ აღმოჩნდა, რომ $q_1 > q$, ეს იმას ნიშნავს, რომ არახელსაყრელი პირობებია ჰიდროდინამიკური შეზეთვისათვის და მდგომარეობის გამოსასწორებლად საჭიროა ან χ -ის, ან $\frac{l}{d}$ ფარდობის, ანდა ორივე პარამეტრის შემცირება); q_2 – შემზეთი მასალის დაუტვირთავი ზონიდან განდინების კოეფიციენტი, იგი გამოითვლება ფორმულით:

$$q_2 = \beta S_0 \left(\frac{d}{l} \right)^2 \frac{p_e}{p}, \quad (5.42)$$

სადაც p_e შემზეთი მასალის წნევაა, რომელიც მიეწოდება შემზეთ არხს გუმბოლან, მპა; p – საშუალო ხვედრითი წნევა, მპა; β – უგანზომილებო კოეფიციენტი, რომლის მნიშვნელობები მოცემულია ცხრილებში (ცხრილი 5.3).

q_3 არის შემზეთი არხების ზომებისა და მათი განლაგების კოეფიციენტი. ორი დახურული არხის ჩვეულებრივი განლაგების დროს (ნახ. 5.5)

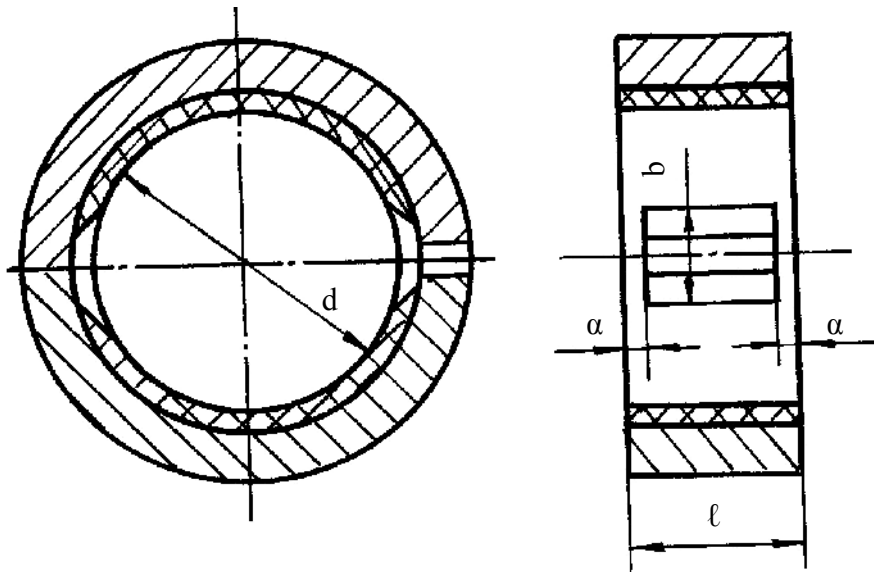
$$q_3 = \nu S_0 \left(\frac{d}{l} \right)^2 \frac{b}{d} \left(\frac{l}{a} - 2 \right) \frac{p_2}{p} \quad (5.43)$$

სადაც ν კოეფიციენტი და χ -ის მიხედვით აიღება ცხრილებიდან (ცხრილი 5.3).

a და b ზომები მოცემულია 8.5 ნახ-ზე და შეირჩევა სატაცის დიამეტრის მიხედვით, მ:

$$a \approx 0,1l, \quad (5.44)$$

$$b \approx (0,20 \dots 0,25) d. \quad (5.45)$$



ნახ. 5.5. შეშვითი არხების განლაგების სქემა

ცხრილი 5.1.

ლაგვირთვის კოეფიციენტი (ზომერფელდის რიცხვი) S_0

$\frac{l}{d}$	χ													
	0,3	0,4	0,5	0,6	0,65	0,7	0,75	0,8	0,85	0,9	0,925	0,95	0,975	0,99
	ლაგვირთვის კოეფიციენტი S_0													
0,3	0,05	0,08	0,13	0,20	0,26	0,38	0,48	0,70	1,22	2,07	3,35	5,73	15,15	50,52
0,4	0,09	0,41	0,22	0,34	0,43	0,57	0,78	1,08	1,78	3,20	5,06	8,39	21,00	65,26
0,5	0,13	0,21	0,32	0,49	0,62	0,82	1,10	1,57	2,43	4,26	6,62	10,7	25,62	75,86
0,6	0,18	0,28	0,43	0,66	0,82	1,07	1,42	2,00	3,04	5,21	7,96	12,6	29,17	83,21
0,7	0,23	0,36	0,54	0,82	1,01	1,31	1,72	2,40	3,58	6,03	9,07	14,1	31,88	88,90
0,8	0,29	0,44	0,65	0,97	1,20	1,54	1,95	2,75	4,05	6,72	9,99	15,4	33,99	92,89
0,9	0,34	0,52	0,75	1,12	1,37	1,74	2,26	3,07	4,46	7,29	10,8	16,4	35,66	96,35
1,0	0,39	0,59	0,85	1,25	1,53	1,93	2,47	3,37	4,81	7,77	11,4	17,2	37,00	98,95
1,1	0,44	0,66	0,95	1,38	1,67	2,10	2,66	3,58	5,11	8,19	11,9	17,9	38,12	101,90
1,2	0,49	0,72	1,03	1,49	1,80	2,25	2,84	3,79	5,36	8,53	12,4	18,4	39,04	102,90
1,3	0,53	0,78	1,11	1,59	1,91	2,38	2,99	3,97	5,59	8,83	12,7	18,9	39,81	104,42
1,5	0,61	0,89	1,25	1,76	2,10	2,60	3,24	4,27	5,95	9,30	13,34	19,7	41,07	106,84
2	0,76	1,09	1,48	2,07	2,45	2,98	3,67	4,78	6,55	10,09	14,34	20,97	43,11	110,79

შემზეთი მასალის და დაგვირთული ბონის გორსული ზედაპირიდან
გაღებების კოეფიციენტი

$\frac{l}{d}$	χ													
	0,3	0,4	0,5	0,6	0,65	0,70	0, 75	0,80	0, 85	0,90	0,925	0,95	0,975	0,99
კონცენტრული საკისარი														
0,4	0,115	0,162	0,209	0,258	0,282	0,306	0,334	0,348	0,366	0,378	0,380	0,376	0,365	0,314
0,5	0,113	0,158	0,203	0,249	0,271	0,292	0,318	0,330	0,343	0,351	0,348	0,340	0,317	0,268
0,6	0,110	0,152	0,196	0,238	0,259	0,278	0,302	0,310	0,320	0,323	0,318	0,306	0,280	0,230
0,7	0,107	0,148	0,189	0,228	0,247	0,264	0,283	0,291	0,297	0,297	0,289	0,275	0,248	0,200
0,8	0,104	0,144	0,181	0,217	0,234	0,249	0,267	0,272	0,275	0,273	0,263	0,248	0,222	0,177
0,9	0,100	0,138	0,174	0,206	0,222	0,235	0,250	0,254	0,255	0,250	0,240	0,225	0,199	0,158
1,0	0,097	0,133	0,166	0,196	0,209	0,221	0,235	0,236	0,237	0,230	0,220	0,205	0,181	0,142
1,1	0,094	0,128	0,158	0,186	0,198	0,208	0,220	0,221	0,220	0,212	0,203	0,188	0,165	0,129
1,2	0,090	0,122	0,150	0,176	0,181	0,196	0,207	0,206	0,205	0,197	0,187	0,174	0,151	0,119
1,3	0,087	0,117	0,143	0,167	0,176	0,185	0,194	0,193	0,191	0,183	0,174	0,160	0,140	0,110
1,5	0,080	0,108	0,130	0,150	0,158	0,164	0,172	0,171	0,168	0,160	0,152	0,140	0,122	0,095
ნახევარი საკისარი (180 ⁰ -იანი)														
0,4	0,114	0,141	0,174	0,206	0,220	0,232	0,240	0,247	0,242	0,235	0,223	0,207	0,174	0,135

ცხრილი 5.2. ვაგრძელება

$\frac{l}{d}$	χ													
	0,3	0,4	0,5	0,6	0,265	0,70	0,75	0,80	0,85	0,90	0,925	0,95	0,975	0,99
0,5	0,109	0,135	0,166	0,194	0,206	0,217	0,222	0,224	0,218	0,206	0,194	0,178	0,145	0,110
0,6	0,105	0,129	0,156	0,182	0,192	0,200	0,203	0,203	0,196	0,184	0,170	0,153	0,123	0,093
0,7	0,100	0,122	0,147	0,169	0,178	0,185	0,186	0,185	0,176	0,163	0,150	0,134	0,107	0,089
0,8	0,095	0,115	0,138	0,158	0,165	0,170	0,172	0,168	0,158	0,146	0,133	0,118	0,099	0,070
0,9	0,090	0,107	0,129	0,146	0,153	0,157	0,156	0,153	0,143	0,131	0,119	0,106	0,084	0,062
1,0	0,085	0,102	0,121	0,136	0,141	0,145	0,143	0,138	0,130	0,119	0,108	0,096	0,075	0,056
1,1	0,081	0,096	0,113	0,127	0,131	0,139	0,132	0,128	0,119	0,109	0,098	0,087	0,068	0,050
1,2	0,076	0,091	0,106	0,118	0,122	0,124	0,122	0,119	0,110	0,100	0,090	0,080	0,063	0,046
1,3	0,072	0,086	0,100	0,111	0,114	0,117	0,114	0,110	0,102	0,092	0,081	0,074	0,058	0,043
1,5	0,065	0,076	0,088	0,098	0,101	0,101	0,099	0,095	0,088	0,080	0,072	0,064	0,050	0,037
120 ⁰ -იანი საკისარი														
0,4	0,078	0,094	0,106	0,115	0,122	0,127	0,131	0,132	0,129	0,122	0,115	0,104	0,079	0,049
0,5	0,072	0,087	0,098	0,106	0,111	0,115	0,117	0,117	0,113	0,105	0,098	0,087	0,064	0,039
0,6	0,067	0,080	0,089	0,096	0,100	0,103	0,104	0,103	0,098	0,090	0,084	0,074	0,054	0,033
0,7	0,062	0,074	0,082	0,087	0,090	0,093	0,093	0,092	0,086	0,079	0,073	0,064	0,046	0,028
0,8	0,057	0,068	0,075	0,079	0,082	0,084	0,084	0,082	0,077	0,070	0,064	0,056	0,041	0,025
0,9	0,053	0,062	0,069	0,072	0,074	0,076	0,075	0,074	0,069	0,062	0,057	0,050	0,036	0,022
1,0	0,048	0,058	0,063	0,066	0,068	0,069	0,069	0,067	0,063	0,057	0,052	0,045	0,032	0,020
1,1	0,045	0,053	0,058	0,061	0,062	0,063	0,063	0,061	0,057	0,052	0,047	0,041	0,030	0,018
1,2	0,042	0,050	0,054	0,056	0,058	0,058	0,058	0,056	0,052	0,047	0,043	0,038	0,027	0,016
1,3	0,039	0,046	0,050	0,052	0,053	0,054	0,054	0,052	0,048	0,043	0,040	0,035	0,025	0,015
1,5	0,034	0,040	0,044	0,046	0,046	0,047	0,047	0,044	0,042	0,038	0,034	0,030	0,022	0,013

β და φ კოეფიციენტების მნიშვნელობები

χ	β კოეფიციენტი საკისრის შემოხვევის კუთხის მიხედვით			φ კოეფიციენტი საკისარში ორი გრძივი არხის შემოხვევაში
	360°	180°	120°	
0,3	0,132	0,194	0,246	0,097
0,4	0,153	0,227	0,285	0,107
0,5	0,175	0,273	0,329	0,116
0,6	0,200	0,323	0,380	0,125
0,65	0,213	0,352	0,408	0,129
0,70	0,226	0,384	0,437	0,131
0,75	0,240	0,417	0,468	0,132
0,80	0,256	0,454	0,501	0,132
0,85	0,273	0,489	0,536	0,128
0,90	0,289	0,535	0,573	0,121
0,925	0,299	0,563	0,592	0,113
0,95	0,308	0,582	0,612	0,108
0,975	0,318	0,609	0,632	0,097
0,99	0,323	0,625	0,645	0,090

საბოლოოდ (5.36), (5.37) და (5.38) ფორმულების გათვალისწინებით განისაზღვრება გამომავალი შემზეთი მასალის ტემპერატურა

$$t_2 = \frac{\Phi + cQ\rho t_1}{cQ\rho}, \quad (5.46)$$

ხოლო ტემპერატურა ხახუნის ზონაში დგინდება იმის გათვალისწინებით, რომ იგი $0...30^\circ C$ -ით აღემატება გამომავალი შემზეთი მასალის ტემპერატურას, როცა უკანასკნელი შესაბამისად იცვლება $20 \dots 45^\circ C$ -მდე ზღვრებში, ე.ი.

$$t_a = t_2 + (0...30)^\circ C. \quad (5.47)$$

იმ შემთხვევაში, როცა საკისრისათვის შერჩეულია t_2 , შემზეთი მასალის ხარჯი (5.37) და (5.38) ფორმულების გათვალისწინებით განისაზღვრება შემდეგი დამოკიდებულებიდან, მ³/წმ:

$$Q = \frac{\Phi}{c \rho (t_2 - t_1)} \cdot \quad (5.48)$$

მაბალონი [19]: შეფასდეს სრიალის საკისრის მუშაობის უნარი და ხახუნის პარამეტრები, როცა მოცემულია: $d = 0,15\text{მ}$, $l = 0,18\text{მ}$, $n = 600\text{წთ}^{-1}$, $F_r = 60\text{კნ}$, ლილვის საგაცს აქვს გედაპირული წრთობა, სადები ЦАМ 10-5 შენადნობია და საგაცს გედაპირული სიმქისის მახასიათებელს წარმოადგენს: $R_{z1} = 0,8...1,6\text{მკმ}$, ხოლო სადების - $R_{z2} = 1,6...3,2\text{მკმ}$.

ლილვის ბრუნვათა კუთხური სიჩქარე

$$\omega = \frac{\pi n}{30} = \frac{3,14 \cdot 600}{30} = 62,8\text{წმ}^{-1}.$$

ფარლობითი სრიალის წრიული სიჩქარე

$$V = \frac{\omega d}{2} = \frac{62,8 \cdot 0,15}{2} = 4,72\text{მ/წმ}.$$

საშუალო ხვედრითი წნევა

$$p = \frac{F_r}{dl} = \frac{60000}{0,15 \cdot 0,12} = 2,2 \cdot 10^6 \text{პა} = 2,2 \text{მპა}.$$

pV პარამეტრის მნიშვნელობა

$$pV = 2,2 \cdot 10^6 \cdot 4,72 = 10,3 \text{მპა} \cdot \text{მ/წმ}.$$

მიღებული p -სა და pV -ს მნიშვნელობები შევუფარლოთ დასაშვებ სიდიდეებს. აღებული მასალებისა და პირობებისათვის ისინი დასაშვებია.

შევარჩიოთ სრიალის საკისრის ფარლობითი ღრეჩო გემოთ მოყვანილი ერთ-ერთი დამოკიდებულებიდან. მაგალითად, (5.23) გამოსახულებით

$$\psi = 0,8 \cdot 10^3 \cdot V^{0,25} = 0,8 \cdot 10^3 \cdot 4,72^{0,25} \approx 0,0012.$$

შესაბამისად, დიამეტრული ღრეჩო

$$\Delta = \psi d = 0,0012 \cdot 0,15 = 1,8 \cdot 10^{-4} \text{ მ (180 მკმ)}.$$

წინასწარ დაეუშვათ საკისრის მუშა ტემპერატურა 50°C (ზუსტდება ტემპერატურული გაანგარიშების შემდეგ) და შევარჩიოთ ზეთი – ინდუსტრიული И-Г-А-32 კინემატიკური სიბლანგით $\nu = 20 \text{ მმ}^2/\text{წმ} = 20 \cdot 10^{-6} \text{ მ}^2/\text{წმ}$. შესაბამისად, დინამიკური სიბლანგე

$$\eta = \gamma \nu = 20 \cdot 10^{-6} \cdot 890 = 0,018 \text{ პა.წმ}.$$

მაშინ საკისრის დატვირთვის კოეფიციენტი (მომერფელის რიცხვი)

$$S_o = \frac{p \psi^2}{\eta \omega} = \frac{2,2 \cdot 10^6 \cdot 0,0012^2}{0,018 \cdot 62,8} = 2,83.$$

5.1 ცხრილიდან ვპოულობთ ფარდობით ექსცენტრისიტეტს, როცა $\frac{l}{d} = 1,2$ და

$$S_o = 2,83 - \chi \approx 0,75.$$

ზეთის ფენის მინიმალური სისქე

$$h_{\min} = \delta(1 - \chi) = \frac{0,18}{2}(1 - 0,75) = 0,0225 \text{ მმ} = 22,5 \text{ მკმ}.$$

უსაფრთხოების კოეფიციენტი ზეთის ფენის სისქის მიხედვით

$$S = \frac{h_{\min}}{R_{z_1} + R_{z_2}} = \frac{22,5}{1,6 + 3,2} = 4,7 > 2.$$

ხახუნის მომენტი სატაცზე (5.31) გამოსახულების მიხედვით

$$T = \frac{\eta \omega}{\psi} \cdot \frac{d^2 l}{2} C_T = \frac{0,018 \cdot 62,8}{0,0012} \cdot \frac{0,15^2 \cdot 0,18}{2} \cdot 5,36 \approx 10 \text{ ნ.მ},$$

სადაც

$$C_T = \frac{\pi}{\sqrt{1 - \chi^2}} + 0,438 \chi S_o \sqrt{1 - \chi^2} = \frac{3,14}{\sqrt{1 - 0,75^2}} + 0,438 \cdot 0,75 \cdot 2,83 \sqrt{1 - 0,75^2} = 5,36.$$

ხახუნის ძალა

$$F_f = \frac{2T}{d} = \frac{2 \cdot 10}{0,15} = 133 \text{ ნ},$$

ხახუნის კოეფიციენტი

$$f = \frac{F_f}{F_r} = \frac{133}{60000} = 0,0022.$$

ახლა განვსაზღვროთ შეშეთვის სისტემაში ზეთის ხარჯისა და წნევის სიდიდე. ამისათვის ვიპოვოთ სრიალის საკისარში გამოყოფილი სითბოს ნაკადი

$$\Phi = F_f V = 133 \cdot 4,72 = 628 \text{ ვტ}.$$

შეშეთი მასალის ხარჯი, (5.48) გამოსახულების შესაბამისად,

$$Q = \frac{\Phi}{c\rho(t_2 - t_1)} = \frac{628}{1,9 \cdot 10^3 \cdot 880 \cdot 10} = 0,376 \cdot 10^{-4} \text{ მ}^3/\text{წმ} = 0,0376 \text{ ლ/წმ},$$

სადაც c არის ზეთის ხვედრითი სითბოტევადობა, ავიღოთ $1,9 \cdot 10^3 \frac{\text{ჯოული}}{\text{კგ კელვინი}}$; ρ – ზეთის

სიმკვრივე, ავიღოთ 880 კგ/მ^3 ; $t_2 - t_1$ – ტემპერატურათა სხვაობა, დაეუშვათ, რომ 10°C -ის ტოლია.

მაშინ (5.39) დამოკიდებულებიდან საკისრის ზეთის ხარჯის სრული კოეფიციენტი

$$q = \frac{2Q}{\psi \omega d^2} = \frac{2 \cdot 37,6 \cdot 10^{-6}}{0,0012 \cdot 62,8 \cdot 0,18 \cdot 0,15^2} = 0,246.$$

5.2 ცხრილიდან, როცა $\chi = 0,75$, $\frac{l}{d} = 1,2$, გვაქვს $q = 0,207$.

q_2 და q_3 კოეფიციენტებისათვის 5.3 ცხრილიდან ამოვიწეროთ $\beta = 0,240$ და $\vartheta = 0,132$, მაშინ

$$q_2 = \beta S_o \left(\frac{d}{l} \right)^2 \frac{p_e}{p} = 0,24 \cdot 2,83 \cdot \left(\frac{0,15}{0,18} \right)^2 \cdot \frac{p_e}{p} = 0,47 \frac{p_e}{p},$$

ხოლო

$$q_3 = \vartheta S_o \left(\frac{d}{l} \right)^2 \frac{b}{d} \left(\frac{l}{a} - 2 \right) \frac{p_e}{p} = 0,24 \cdot 2,83 \cdot \left(\frac{0,15}{0,18} \right)^2 \frac{0,03}{0,15} \left(\frac{0,18}{0,018} - 2 \right) \frac{p_e}{p} = 0,415 \frac{p_e}{p},$$

სადაც შეშეთი არხის ზომები

$$b = 0,2d = 0,2 \cdot 0,15 = 0,03 \text{ მ},$$

$$a = 0,1l = 0,1 \cdot 0,18 = 0,018 \text{ მ}.$$

(5.41)-ის საფუძველზე

$$0,246 = 0,207 + \frac{p_e}{p} (0,471 + 0,415) ,$$

$$\frac{p_e}{p} = 0,044 .$$

შემდეგ სისტემაში საჭირო წნევა იქნება

$$p_e = 0,044p = 0,044 \cdot 2,2 = 0,097 \text{ მპა}.$$

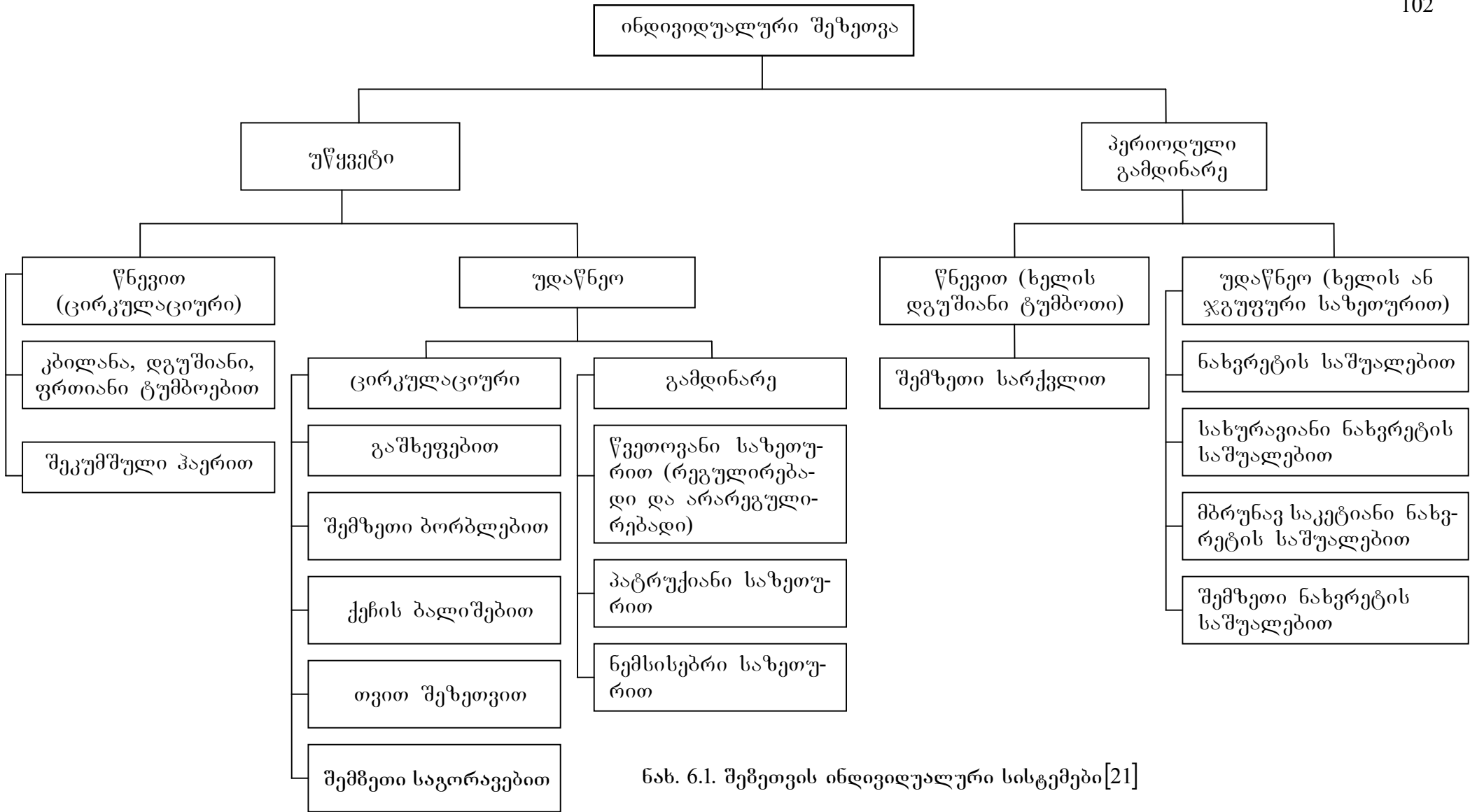
თავი 6. შეშეთვის სისტემები და მეთოდები

შეშეთვის სისტემის ფუნქციაა შესაბამისი გექნიკურ-მაგერიალური საშუალებების მეშვეობით შეშეთი მასალის მიწოდების უზრუნველყოფა უშუალოდ ხახუნის ზონაში. ამასთან, იგი შედგება: შეშეთი მასალის დანიშნულების ადგილზე მიმწოდებელი მოწყობილობისაგან, შეშეთი მასალის რეზერვუარისაგან, შეშეთი მასალის ხახუნის მოლიდან გამომყვანი მოწყობილობისაგან, სამაცივრო სისტემებისაგან, შეშეთი მასალის გამწმენდი დანადგარისაგან, შეშეთი მასალების საწნევის ნაკადის რეგულირებისა და სისტემების სხვა საზომ-საკონტროლო და მართვის ხელსაწყოთა საშუალებებისაგან.

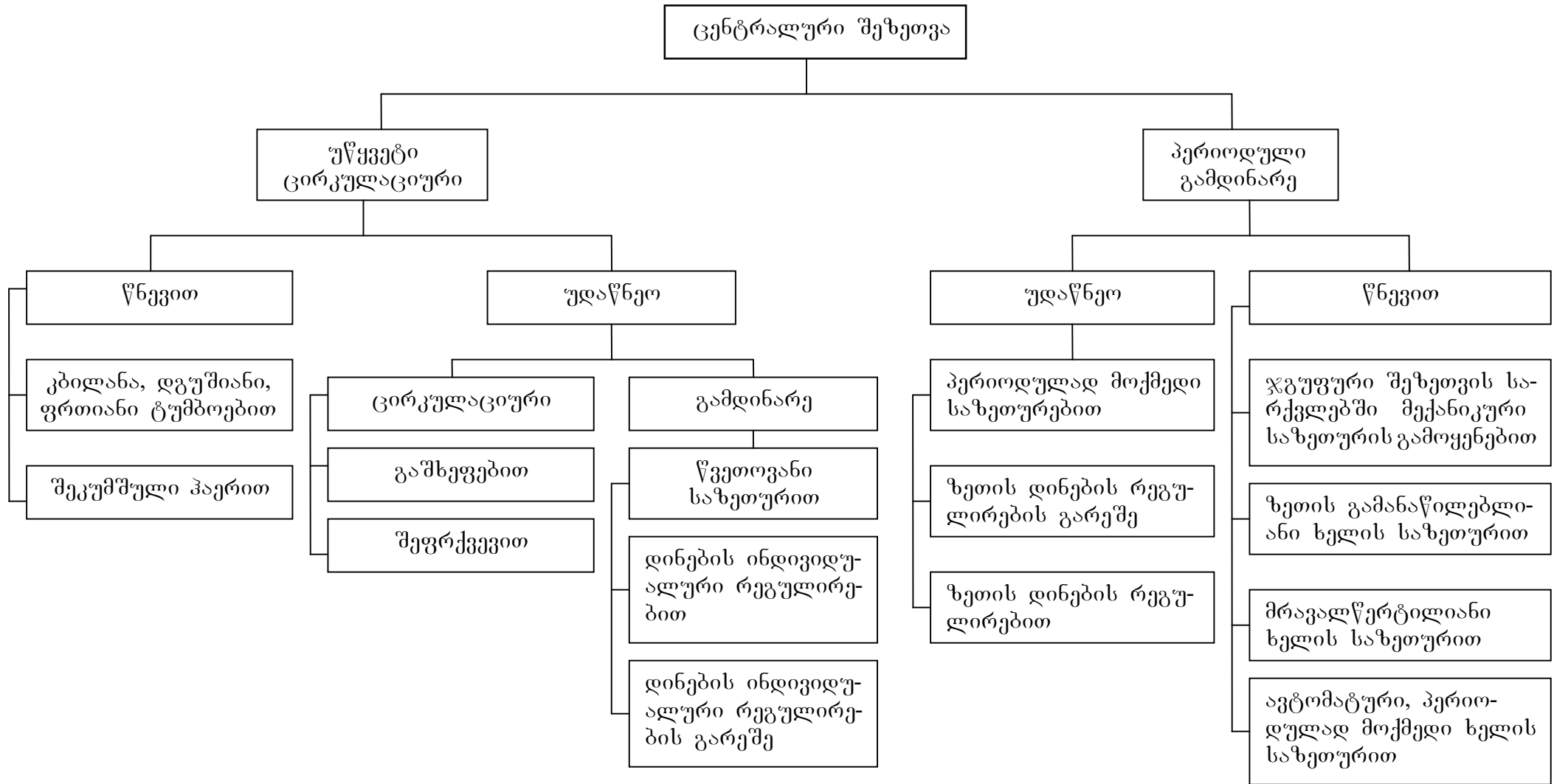
კონკრეტული პირობების გათვალისწინებით: იმის მიხედვით, თუ როგორ გრიბოლოგიურ სისტემასთან გვაქვს საქმე, შეშეთის რა მეთოდები, რა შეშეთი მასალები და რა რაოდენობით გამოიყენება, შესაძლებელია შეშეთი სისტემის რიგ ელემენტებზე უარის თქმა. შესაბამისად, შეშეთი სისტემები შეიძლება განხორციელდეს როგორც უმარტივესი მაგერიალური შესაძლებლობით, ისე რთული ცენტრალური სისტემებით, რომლებიც უზრუნველყოფენ ასეულობით ხახუნის კვანძების ერთდროულ შეშეთას და შეშეთი მასალის გონობით გამოყენებას.

თანამედროვე მანქანათმშენებლობაში, როგორც უკვე აღნიშნული იყო, შეშეთ მასალად ძირითადად იყენებენ მინერალურ და ნავთობის გადამუშავების შედეგად მიღებულ მეთებს. გამოიყენება აგრეთვე ხელოვნური, სინთეტიკური მეთები. არის შემთხვევები, როცა შეშეთ მასალად იყენებენ სხვადასხვა მუშა სითხეებს და წყალს.

განასხვავებენ შეშეთის ინდივიდუალურ და ცენტრალურ სისტემებს (ნახ. 6.1, 6.2). სისტემა ინდივიდუალურია, თუ იგი ემსახურება ერთ გრიბოლოგიურ სისტემას და ცენტრალურია, თუ ემსახურება ერთდროულად რამდენიმე გრიბოლოგიურ სისტემას.



ნახ. 6.1. შეხეთვის ინდივიდუალური სისტემები[21]



ნახ. 6.2. შეხეთვის ცენტრალური სისტემები [21]

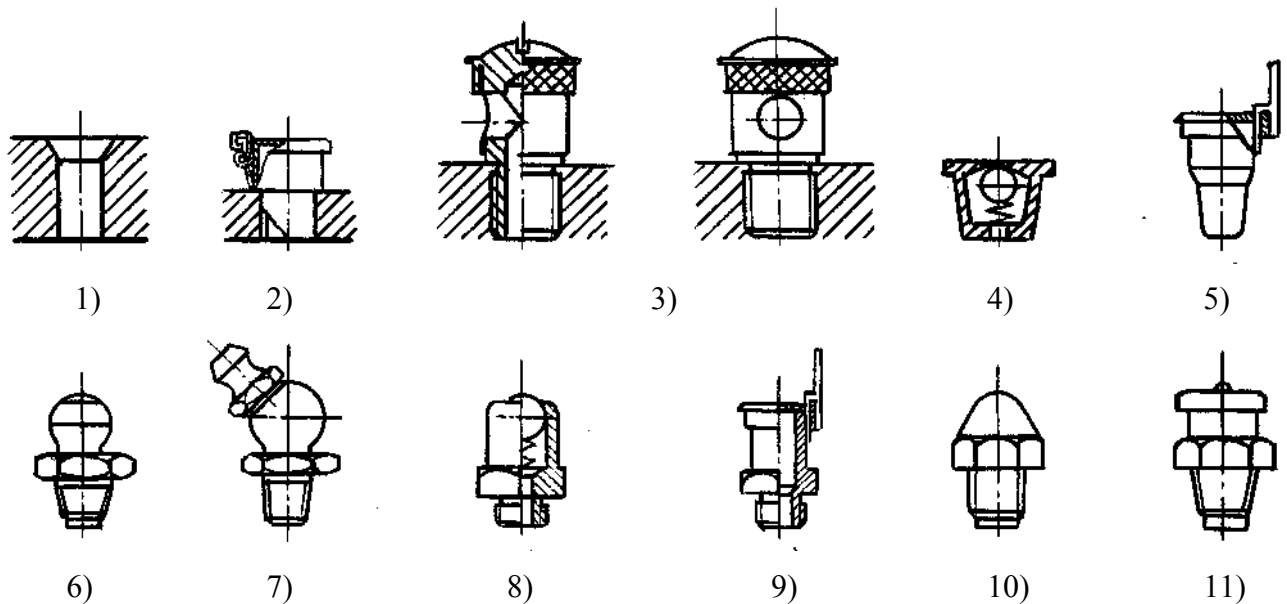
შებენის პერიოდულობის მიხედვით განასხვავებენ განუწყვეტელი (ცირკულარული მოქმედების, წნევით და უდაწნოდ) და პერიოდული (ასევე წნევით და უდაწნოდ) მოქმედების გრიბოლოგიურ სისტემებს. არსებობს და საინჟინრო პრაქტიკაში საკმაოდ ფართოდაა გამოყენებული აგრეთვე ერთჯერადი შებენის მეთოდი (კვანძი იბეთება მხოლოდ ერთხელ ექსპლუატაციის დასაწყისში. არ შეიძლება ამ მეთოდის გაიგივება შეუბეთავ ხახუნთან, რომელიც შეიძლება იყოს მშრალი).

შემბენი მასალა ხახუნის ზონაში შეიძლება მიწოდებულ იქნეს უდაწნოდ და წნევითი შემბენი სისტემების საშუალებით.

განვიხილოთ შებენის ძირითადი მეთოდები.

6.1. ინდივიდუალური შებენა

პერიოდული უდაწნოდ შებენა შებენის უმარტივესი მეთოდია. ყველაზე ხშირად იგი ხორციელდება ხელით და ჯერ კიდევ საკმაოდ ფართოდ არის გამოყენებული მანქანებში. მეთოდის ძირითადი არსი ასეთია: ხახუნის კვანძის სპეციალურ ნახვრეტებში ხელით ან ღგუშიანი, ანდა მემბრანული საბეთურით შეჰყავთ შემბენი მასალა (ნახვრეტებისა და მათი სარქველების კონსტრუქციული სახეები მოცემულია 6.3 ნახ-ზე).

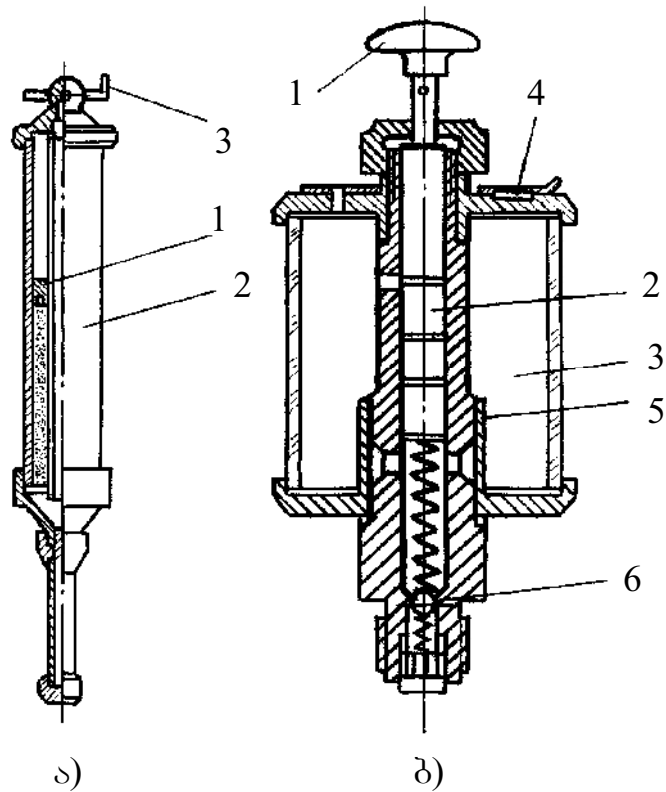


ნახ. 6.3. საბეთი ნახვრეტები და სარქვლები

1,2,3 – საბეთი ნახვრეტები, (2 – ჩამოსაცმელი სახურავით, 3 – ჩახრახნილი ბუნიკით);
 4,5 – ჩასაწნეხი სარქვლები; 6-11 – ჩასახრახნი სარქვლები და საბეთურები

პერიოდული წნევით შებეთვა. ამ სახის შებეთვა ხორციელდება ხელის საბეთურების მეშვეობით სპეციალურ ნახვრეგებში ბეთის წნევით შეყვანით. ეს მეთოდი ბემოთ აღნიშნულისაგან განსხვავებით უზრუნველყოფს ხახუნის ზონების უფრო მეტი ფართობის დაფარვას ბეთით, შესაბამისად, ხახუნის პროცესის უფრო ხელსაყრელ პირობებში წარმართვას.

ხელის საბეთურების კონსტრუქციები მოცემულია 6.4 ნახ-ზე.



ნახ. 6.4. ხელის საბეთურები

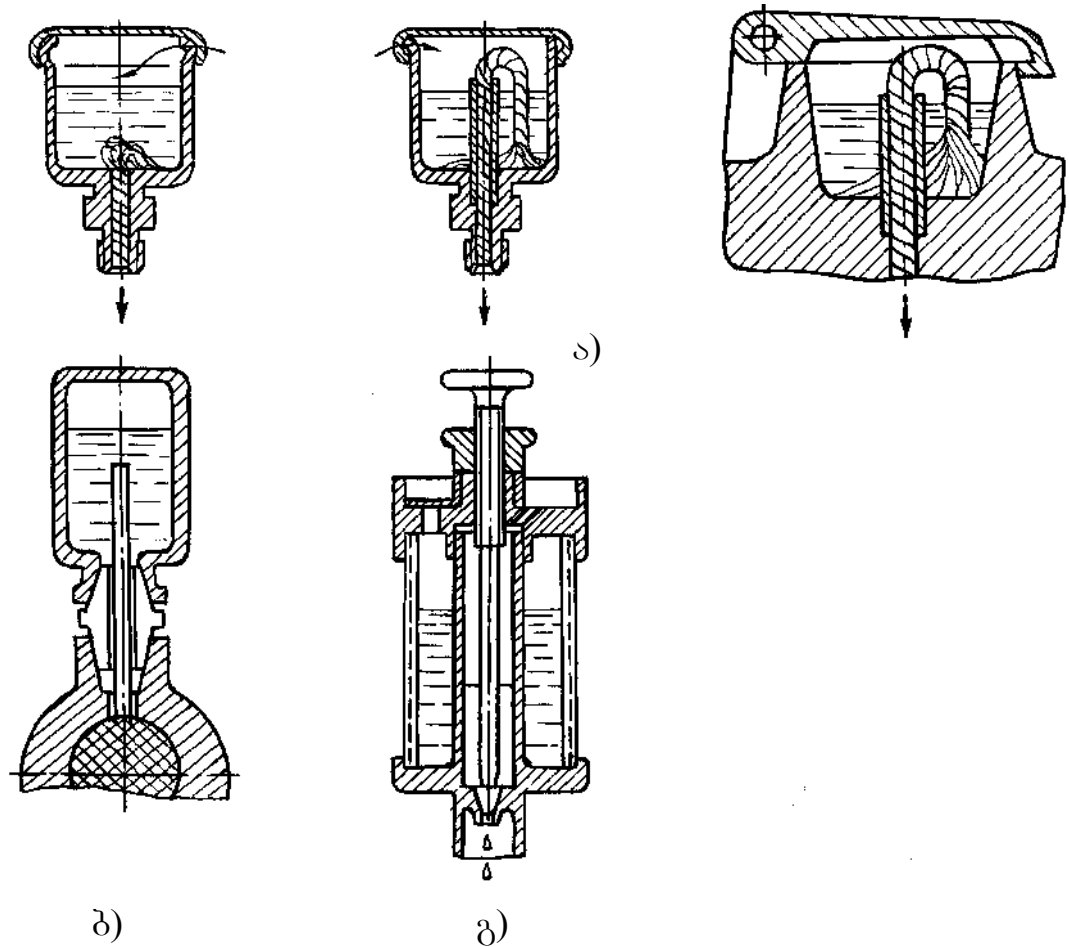
წნეხ-საბეთური: 1 – ღგუში; 2 – კორპუსი; 3 – სახელური;

წნევით პერიოდულად მომუშავე: 1 – კნოპი; 2 – პლუნქერი; 3 – ავზი;

4 – ნახვრეტი ბეთის ჩასასხმელად; 5 – ბადისებრი ფილტრი;

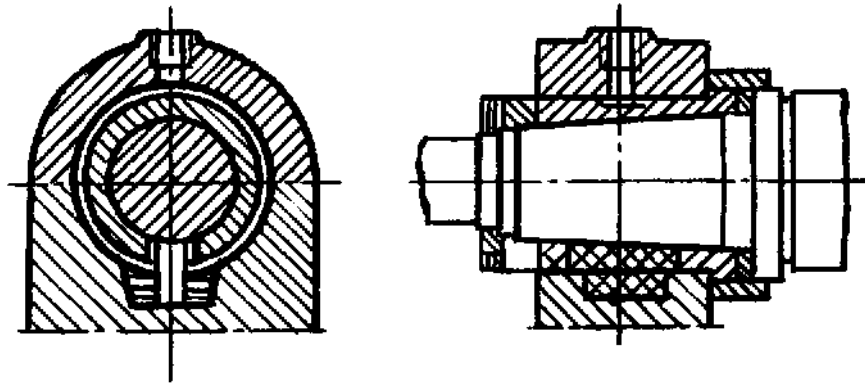
6 – ბურთულიანი სარქველი

გამდინარე უდაწნეო შებეთვა. ასეთი მეთოდით სარგებლობის დროს იყენებენ შესაბამეო კვანძის და ბეთის რემერვუარის დონეთა სხვაობას. აღნიშნული მეთოდის განსხვავებულ ჯგუფს შეადგენს ისეთი კონსტრუქციული გადაწყვეტილებები, რომლებშიც გამოყენებულია პაგრუქიანი წვეთოვანი და ნემსისებრი საბეთურები (ნახ. 6.5), სადაც ერთ შემთხვევაში გამოყენებულია პაგრუქის კაპილარული თვისებები, ხოლო მეორე შემთხვევაში გრიბოლოგიური სისტემის შემზღუდული შებეთვა მიღწეულია



ნახ. 6.5. საბეთურები: პაგრუქიანი (ა), ნემსისებრი (ბ), წვეთოვანი (გ)

საბეთურის მცირე განივკვეთით, რომლის სიდიდე შესაძლებელია რეგულირებადი იყოს. შებეთვის ასეთ სისტემებში ბეთის მიწოდებას ზოგჯერ ტივტივებით არეგულირებენ, და ბოლოს, ამ სახის შებეთვის სისტემის ცალკე ჯგუფია ე.წ. „ბალიშები“ – ქეჩის, მაულის, შალის მასალებისაგან, რომლებიც იკვებება მანქანაში სპეციალურად მოწყობილი ნაკვეთურებიდან და რომლებიც მუდმივ კონტაქტშია მბრუნავ მოხახუნე ზედაპირთან (ნახ. 6.6). ამასთან, კონტაქტი უმეტესად ხორციელდება მასალათა საკუთარი დრეკალობის ხარჯზე.



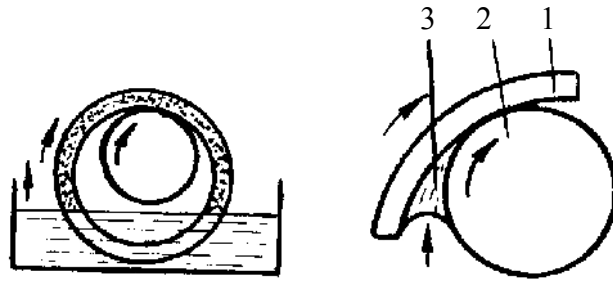
ნახ. 6.6. სპეციალური „ბალიშით“ აღჭურვილი სრიალის საკისარი

უწყვეტი ცირკულაციური უდაწნო შებეთვა. განასხვავებენ ამ მეთოდით შებეთვის ორ სახეს. პირველი ხორციელდება შუალედური სხეულის მეშვეობით, მეორე – უშუალოდ მოხახუნე, დასაბეითი დეგალის მეშვეობით. შებეთვის პირველი სახე შეიძლება განხორციელდეს მხოლოდ ჰორიზონტალური სრიალის საკისრებისათვის ლილვზე ნებისმიერი განივკვეთის რგოლის ჩამოცმით ან დამაგრებით (ნახ. 6.7). მცირე სიხშირით მბრუნავი ლილვების შემთხვევაში რგოლის მაგივრად იყენებენ მცირეზიან ჯაჭვებს. ყველა შემთხვევაში მბრუნავი რგოლის ქვედა ნაწილი ჩაძირულია ბეთში. ბრუნვის შედეგად თხევადი ბეთი განედინება ლილვზე და ბოლოს უბრუნდება ბეთის რემერვუარს. ასეთი მეთოდით, როცა გამოყენებულია ლილვზე თავისუფლად ჩამოცმული რგოლი, შესაძლებელია ლილვის ეფექტური შებეთვა ლილვის წრიული სიჩქარის ფართო დიაპაზონისათვის 0,5...32 მ/წმ.

ასეთი მეთოდით შებეთვის ერთი სახე, როგორც აღვნიშნეთ, ხორციელდება ლილვთან ერთად მბრუნავი დეგალის მეშვეობით და ის უმრავლეს შემთხვევაში გამოიყენება რედუქტორებში კბილანების და შიგაწვის ძრავებში მუხლა ლილვის კვანძის შესაბეითად (ნახ.6.8). კბილანური გადაცემის შებეთვის პროცესის განსახორციელებლად კბილანური წყვილიდან ერთ-ერთი მათგანი, უფრო ხშირად კბილათვალი, ნაწილობრივ (მცირე ნაწილით) ჩაძირულია ბეთში. კბილანის ბრუნვის შედეგად ბეთი გადადის მეორე კბილანაზე და ბეთავს მას. იმავე დანიშნულებით ზოგჯერ იყენებენ უქმი სვლის, პარამიგულ კბილანებსაც. ასეთი წესით შებეთვის განხორციელება რეკომენდებულია კბილანების 15 მ/წმ წრიულ სიჩქარემდე. უფრო მაღალი სიჩქარეების დროს მისი გამოყენება არ არის მიზანშეწონილი დიდი ენერგეტიკული დანაკარგების გამო.

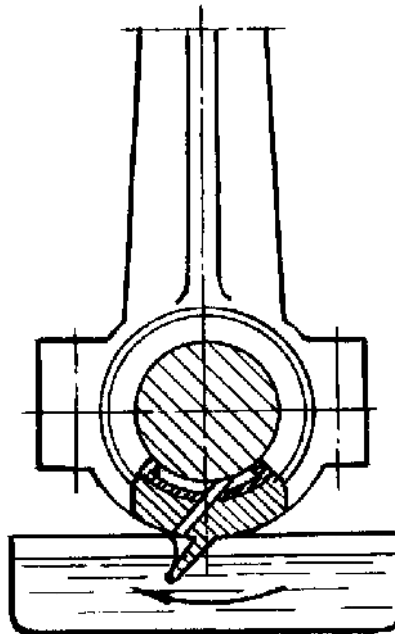
ბემოთ აღწერილ ყველა შემთხვევაში დახმულ ჭურჭელში (რედუქტორში, კარგერში) მოძრავი დეგალის მეშვეობით ხდება ბეთის ინგენსიური გამხეფება და

შიგა სივრცე ივსება ბეთის ღრუბლით. შედეგად უზრუნველყოფილია მთელი კვანძის ერთგვაროვანი შეზეთვა.



ნახ. 6.7. შემბეთი რგოლის მოქმედების სქემა [21]:

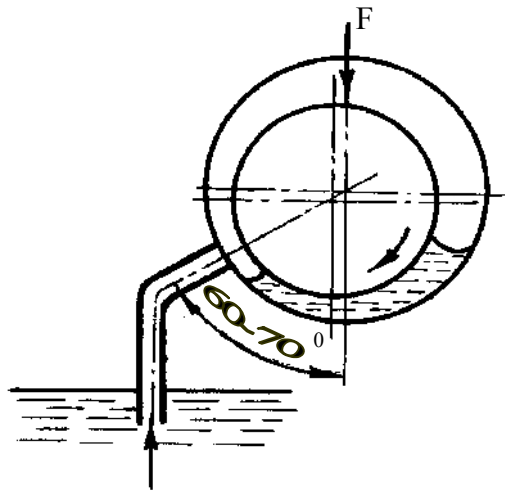
1 – რგოლი; 2 – ლილვი; 3 – ბეთი



ნახ. 6.8. ცენტრალური შეზეთვა ბეთის გაშვებით

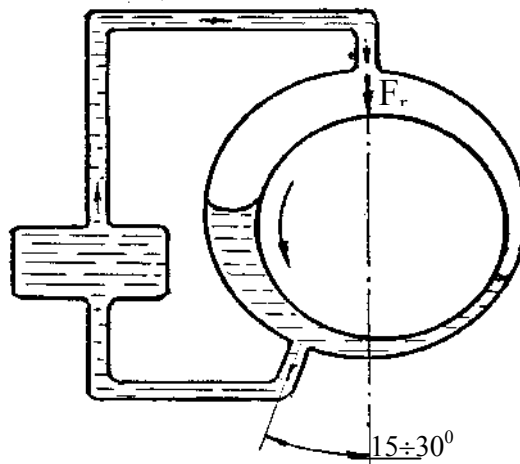
(მუხლა ლილვის ნიჩბის მეშვეობით)

თვითშეზეთვა. მოცემული კონსტრუქცია (ნახ. 6.9) გამოიყენება სრიალის საკისრების საგაცების შესაზეთად, როდესაც ღრეჩოს სიდიდე არ აღემატება 10 მკმ-ს, ხოლო წრიული სიჩქარე არანაკლებ 3 მ/წმ-ია. აღნიშნულ პირობებში შესაბამის ზონებში წარმოიქმნება გაუხშობება, რის შედეგადაც რემერვუარიდან შეიწოვება ბეთი. პრინციპული გადაწყვეტა ასეთი მეთოდით საკისრების შეზეთვისას მოცემულია ნახაზზე. ამასთან, აღწერილი კონსტრუქციული გადაწყვეტა გამოსადეგია მხოლოდ განსაზღვრული სიბლანგის ბეთების გამოყენების დროს – დიდი სიბლანგის მქონე ბეთების შემთხვევაში იგი არ ფუნქციონირებს.



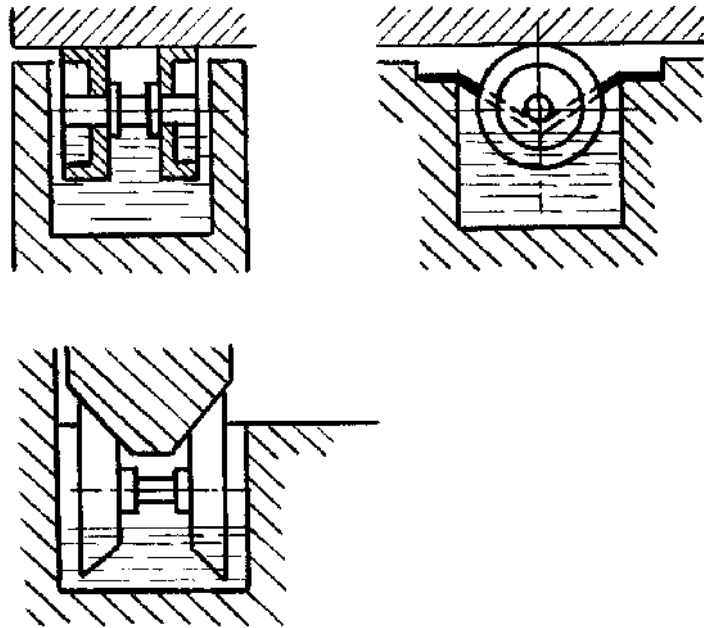
ნახ. 6.9. თვითშეგვთვის სქემა [37]

სტუ-ს სამშენებლო მანქანებისა და მექანიკური მოწყობილობის კათედრაზე შემუშავებულია გრიბოლოგიური სისტემების ინდივიდუალური თვითშეგვთვის ახალი მეთოდი ჰიდროდინამიკური შეგვთვის პირობებში. უკანასკნელის არსი ასეთია: ჰიდროდინამიკური წნევების მონაში (დაბალი წნევების ადგილებში) საკისარს უკეთდება ერთი ან რამდენიმე მცირე დიამეტრის ნახვრეტი, რომლებიც პრაქტიკულად არ მოქმედებენ ბეთის ფენის ბიძვის უნარზე. ამ გზით ბეთის განსაზღვრული რაოდენობა მიეწოდება შემგვთ სისტემას, რომელიც შეიცავს რეზერვუარს – გამაცივებელს – სალექს. შემდეგ სისტემაში არსებული წნევის ხარჯზე ბეთი ისევ უბრუნდება ხახუნის კვანძს არასაკონტაქტო მონაში (ნახ. 6.10). აღწერილი კონსტრუქცია შეიძლება გამოყენებულ იქნეს ცენტრალური შეგვთვის პირობებშიც.



ნახ. 6.10. საკისრის თვითშეგვთვის სქემა ჰიდროდინამიკური შეგვთვის პირობებში
შეგვთვა საგორავით ხშირად გამოიყენება საფრეზავი და სარანდავი მაგილების მიმმართველების დასაბეთად (ნახ.6.11). საგორავი ერთი მხრივ ჩაძირულია

ზეთში, ხოლო მეორე მხრივ კონტაქტშია მოხასუნე ბელაპირთან, რის შედეგადაც საგორავს ბეთი გადააქვს ამ უკანასკნელზე.



ნახ. 6.11. სარანდავი ჩარხების მიმართველების შებეთვის
სქემა საგორავების მეშვეობით [35]

უწყვეტი წნევით შებეთვა. მოცემული მეთოდის შემთხვევაში ბეთი ხახუნის ზონას მიეწოდება წნევით მცირე სიმძლავრისა და მწარმოებლურობის კბილანური, ღვუშიანი ან ფრთიანი ტუმბოს მეშვეობით. ამასთან, შესაბამისი ზონების რაოდენობა შეზღუდულია – მცირეა. შესაბამისი ობიექტის ლოკალურობის გამო შებეთვის სისტემას არ აკომპლექტებენ გამაცივებელი და გამწმენდი საშუალებებით.

6.2. ცენტრალური შებეთვა

შებეთვის ცენტრალური მეთოდისათვის დამახასიათებელია ის გარემოება, რომ ბეთი ერთი ადგილიდან მიეწოდება ხახუნის კვანძების მნიშვნელოვან რაოდენობას. შესაბამისად, ცენტრალიზებულია ბეთის გაწმენდის, გაცივების, კონტროლის, შეცვლის და სხვა პროცესები.

შებეთვის ცენტრალური მეთოდის გამოყენების დროს ძირითადად მეორდება შებეთვის ინდივიდუალური კონსტრუქციული გადაწყვეტილებები. ცენტრალური

მეთოდი გამოირჩევა და, ამასთან, განსხვავდება ინდივიდუალურისაგან მხოლოდ შესაბამისი ობიექტების სიმრავლით.

უდაწნეო შებეთვის დროს, ისევე როგორც ინდივიდუალური უდაწნეო შებეთვისას, ბეთის მიწოდება ხდება გრავიტაციული ძალების მეშვეობით და, ბუნებრივია, შებეთვის სისტემის ყველა მოწყობილობა ხახუნის კვანძის (შებეთვის ბონის) ბემოთ უნდა მდებარეობდეს. ყველა ცენტრალიზებული შებეთვის სისტემის აუცილებელი დეტალია ბეთის საერთო რემერვუარი – ავზი, რომელიც დაკავშირებულია თითოეულ გრიბოლოგიურ სისტემასთან. სისტემის ავზი ხელით ივსება.

თუ უდაწნეო ცენტრალიზებული შებეთვა პერიოდულია, შეიძლება გამოყენებულ იქნეს პნევმატური პრინციპი. პნევმატური საბეთურის ამძრავად იყენებენ პნევმოცილინდრს.

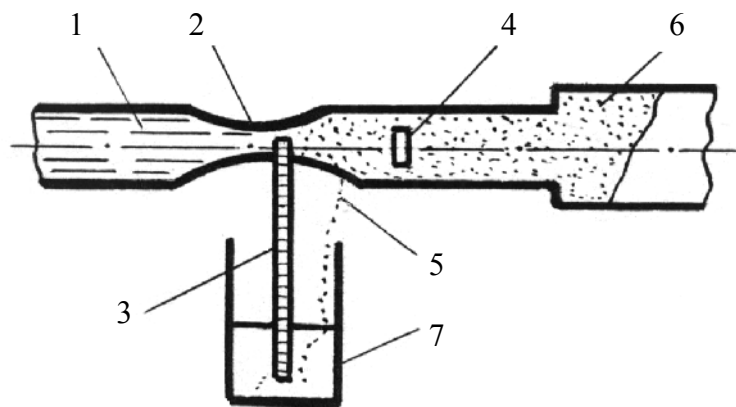
პერიოდული წნევით შებეთვის დროს იყენებენ როგორც მანქანურ, ისე ხელის გუმბოებს. ამასთან, მანქანური გუმბოების ამძრავების ჩართვა პერიოდული ჩართვის საჭიროების შემთხვევაში ხდება ელექტრომაგნიტური და პროგრამული მართვის საშუალებებით. ჩვეულებრივად, ასეთი შებეთვათა სისტემების აუცილებელი და საპასუხისმგებლო დეტალია ბეთის გამანაწილებლები.

უწყვეტი წნევით შებეთვა მანქანა-მოწყობილობის საპასუხისმგებლო კვანძების შებეთვის ერთ-ერთი ყველაზე მასშტაბური, ფართოდ გამოყენებადი და სერიოზული მეთოდია. ასეთი მეთოდი შეიძლება გამოყენებული იყოს შესაბამისი წერტილების ნებისმიერი რაოდენობისათვის. დიდი რაოდენობის შესაბამისი წერტილების შემთხვევაში იყენებენ შემბეთ წნეხებს – ლუბრიკატორებს. იგი შედგება შემწოვი, დამწნეხი, მანაწილებელი და საკომუნიკაციო დეტალებისაგან. ამ მოწყობილობის მეშვეობით შესაძლებელია ბეთის მიწოდება დიდ მანძილზე მაღალი წნევით ათეულ წერტილებში. ამძრავის როლი თვით ძირითად შესაბამის მანქანას ეკისრება. ლუბრიკატორის მოძრაობა სათავეს იღებს ძირითადი მანქანის ლილვიდან სპეციალური გადაცემის მეშვეობით, რომელიც შეიძლება იყოს დვედური, ჯაჭვური ან კბილანური (ლუბრიკატორი შეიძლება აღჭურვილი იყოს საკუთარი ამძრავითაც). ამასთან, ლუბრიკატორები ზოგჯერ ხელის ამძრავითაც არის აღჭურვილი. ამ უკანასკნელთ სარგებლობენ ძირითადი მანქანის გაშვების პროცესში.

ცენტრალიზებული შებეთვის დიდი სისტემებისათვის, როგორც წესი, იყენებენ სპეციალურ ბაკს, საიდანაც ბეთი მიეწოდება გრიბოლოგიურ სისტემებს და შემკრებ ჭურჭელს, სადაც ჩამოედინება ნამუშევარი ბეთი. ამასთან, სისტემას აკომპლექტებენ

ზეთის გამწმენდი ცენტრიფუგებით, მაცივრებით, საზომ-საკონტროლო ხელსაწყოებით (მანომეტრებით, ხარჯმომებიტ, თერმომეტრებით და ა. შ.), მართვის საშუალებებით.

ცენტრალური შეგეთვა შეიძლება განხორციელდეს ზეთის ღრუბლის შემქმნელი სპეციალური მოწყობილობით. ტექნიკაში ღრუბლის შექმნის კლასიკური მეთოდია გარკვეულ წნევას (0,2...0,6 მპა-მდე) მიღწეული ჰაერის ნაკადის გამოყენება. მოწყობილობა, რომელიც შეასრულებს მემოსხენებულ ფუნქციას, ხშირად გამფრქვევად იწოდება და მისი უმარტივესი კონსტრუქცია მოცემულია 6.12 ნახ-ზე. მისი მოქმედების არსი მდგომარეობს შემდეგში: ჰაერის გარკვეული სიჩქარის მქონე ნაკადი მილში წარმოშობს გაიშვიათებას. შედეგად ხდება ზეთის ამოწოვა ბაკიდან, რომელსაც ჰაერის ნაკადი თან წარიგაცებს. იგი დაეჯახება ამრეკლ ფარს. უკანასკნელიდან მსხვილი წვეთები უკან ბრუნდება ბაკში, ხოლო მცირე ნაწილაკები ჰაერთან ერთად გარს შემოუვლიან ფარს, ქმნიან ზეთის ღრუბელს და მილგაყვანილობით მიეწოდებიან შესაბამეთ წერტილებს. ასეთი მეთოდით შექმნილი ზეთის ნაწილაკების ზომებია რამდენიმე მიკრომეტრი, ხოლო მიწოდების სიჩქარე – 2 მ/წმ. მიზნის მიღწევის შემდეგ ჰაერის აგმოსფეროში გაშვებამდე ხდება ჰაერის გაწმენდა ზეთის დარჩენილი წვეთებისაგან.



ნახ. 6.12. შეგეთვა ზეთის ღრუბლით:

1 – შეკუმშული ჰაერი; 2 – საქმენი; 3 – ზეთის შემწოვი მილი; 4 – ამრეკლი ფარი; 5 – ზეთის წვეთები, რომლებიც ჩაედინება ამრეკლიდან ავზში; 6 – დისპერსირებული ზეთი (ზეთის ღრუბელი); 7 – ზეთის ავზი

ზეთის ღრუბლის მიღების ერთ-ერთი მეთოდია აგრეთვე მაღალი წნევის ქვეშ (≈ 10 მპა) მყოფი ზეთის მასის აგმოსფეროში გაფრქვევა ჰაერის ნაკადის გარეშე, რომელიც ასევე უბრუნველყოფს ზეთის უმცირეს ნაწილაკებად დაშლას, დისპერსიას (ლათინური სიტყვიდან *dispersio* – გაფანტული), ე. ი. ღრუბლის შექმნას.

6.3. სპეციფიკური მანქანა-მოწყობილობის შებეთვის სისტემები

შიგაწვის ძრავების შებეთვის სისტემები. შიგაწვის ძრავების შესაბამისად შეიძლება გამოყენებულ იქნეს შებეთვის შემდეგი სისტემები: გაშხეფით შებეთვა, ცირკულაციურ-იძულებითი, შებეთვა ე. წ. ბეთის „მშრალი კარტერით“ და შებეთვა სათბობთან ერთად ნარევით.

შებეთვის გაშხეფის სისტემა ეფუძნება ბემთო უკვე მოხსენებულს და აღარ გავიმეორებთ შებეთვის აღწერის პროცესს. აღვნიშნავთ მხოლოდ, რომ ასეთი სისტემა უზრუნველყოფს საკისრების, მრუდმხარა-ბარბაცა მექანიზმის, მცოცის, ცილინდრის შებეთვას და ნამუშევარი ბეთის ისევ კარტერში დაბრუნებას.

ცირკულაციურ-იძულებითი სისტემის გამოყენების დროს ბეთი შეიწოვება მრუდმხარას სივრციდან და მიიყვანება ძრავას ყველა საჭირო წერტილში (ამასთან, ბეთის წნევა აიღება 0,4 მპა). შემდეგ ბეთი ჩამოედინება კარტერში, საიდანაც ისევ მიეწოდება სისტემას. ასეთი სისტემით შებეთვის დროს ბეთი მიეწოდება მთავარ და მცოცის საკისრებს, დგუშის კვანძს, დგუშის ტაბიკს და განაწილების სისტემას.

შებეთვის სისტემა „მშრალი კარტერით“ თავისი მოქმედების პრინციპით ფრიალ ახლოს დგას ცირკულაციურ-იძულებითთან. განსხვავება მდგომარეობს მხოლოდ იმაში, რომ ბეთის მიწოდება შესაბამის წერტილებზე არ ხდება უშუალოდ კარტერიდან, იგი ტუმბოთი მიეწოდება კვანძებს აგრეგატის გარეთ მოწყობილი სპეციალური ბაკიდან. თუმცა ნამუშევარი ბეთი აქაც კარტერში ჩაედინება და აქედან სხვა ტუმბოთი მიეწოდება სპეციალურ ბაკს.

შებეთვა სათბობთან ერთად ითვალისწინებს კვანძის ისეთ კონსტრუქციულ გადაწყვეტას, როცა მანქანა-აგრეგატი არ აღიჭურვება შებეთვის სპეციალური სისტემით. ასეთ შემთხვევაში ბეთს უმატებენ სათბობს, მაგ., ბენზინს, პროპორციით 1:25 ან 1:50 და იგი კარბიურატორის მეშვეობით შეჰყავთ ორგაქტიან ძრავაში. ასეთი შებეთვის სისტემის საეთო პრინციპი შემდეგში მდგომარეობს: წვის არის გაფართოების დროს ბენზინი ნაწილობრივ ორთქლდება. შედეგად ცილინდრის კედლებზე და მასთან შეუღლებულ დეტალებზე ხდება ბეთის უმცირესი ნაწილაკების კონდენსირება და ამით ხახუნის ბონების შებეთვა.

ჰაერის კომპრესორების შებეთვა. ჰაგარა ჰაერის კომპრესორები შეიბეთება წვეთოვანი საბეთურებით, უფრო ხშირად კი გაშხეფით, რომელიც, თავის მხრივ, წარმოშობს ბეთის დრუბელს. დიდი კომპრესორების შესაბამისად თითქმის

ყოველთვის გამოიყენება შებეთვის ცენტრალიზებული სისგემა მრავალდგუშიანი ლუბრიკატორებით. ამასთან, ცილინდრები შეიბეთება გაფრქვევით შემწოვი სარქველის გზით. ხახუნის კვანძის „ცილინდრი-დგუშის“ შებეთვის პირობების გასაუმჯობესებლად მოგჯერ გამოიყენება დგუშის სპეციალური რგოლები, რომლებიც დამზადებულია თვითშემზეთი მასალის – ელექტროგრაფისაგან და უმრუნველყოფს ხახუნის კვანძის ნორმალურ მუშაობას საკმაოდ მაღალი ტემპერატურის (250°S) პირობებში და გამორიცხავს ამ ტემპერატურაზე წარმოქმნილი ნარეგების თვითაფეთქების საშიშროებას.

სამაცივრო კომპრესორების შებეთვა. სამაცივრო კომპრესორების შებეთვის მეთოდები არ ხასიათდება რაიმე პრინციპული ორიგინალობით. გამოიყენება შებეთვის როგორც ცენტრალიზებული, ისე ინდივიდუალური მეთოდები: ბეთის გაფრქვევა, თვითშემზეთი რგოლები. სპეციფიკურია მხოლოდ საპრობლემო საკითხები: ა) არსებობს ბეთის გამაცივებელ აგენტში გახსნის პოტენციური შესაძლებლობა; ბ) შემზეთი მასალა დაბალ ტემპერატურაზე იცვლის თავის ერთ-ერთ ძირითად მაჩვენებელს (სიბლანტეს).

სხვადასხვა დანიშნულების მანქანა-მოწყობილობის გრიბოსისგემების შესაბამეთად გამოყენებული მეთოდები არ გამოირჩევა პრინციპული სიახლეებით. ყველა სხვადასხვა მოქმედების პრინციპისა და დანიშნულების ჯგუფის მანქანებში ფართოდ გამოიყენება ინდივიდუალური და ცენტრალური შებეთვის სქემები, რომლებიც ხორციელდება როგორც უწყვეტი, პერიოდული, ცირკულაციური, უდაწნო, წნევით, თხევადი, კონსისგენციური და მყარი შებეთვით.

ამასთან, ერთი მოცემული ჯგუფის მანქანა-მოწყობილობის ხახუნის კვანძების შებეთვის სისგემები შეიძლება ხასიათდებოდნენ რიგი თავისებურებებით.

მაგალითად: სამშენებლო, საგზაო და ამწე-საგრანაპორტო მანქანა-მოწყობილობების გრიბოსისგემებისათვის დამახასიათებელია:

1. საზეთი მასალების ფიზიკურ-ქიმიური მახასიათებლები უნდა პასუხობდნენ საჭირო მოთხოვნებს ფართო ტემპერატურულ დიაპაზონში – ($40\text{...}120^{\circ}\text{C}$).
2. შემზეთი სისგემა და საზეთი მასალები უნდა უმრუნველყოფდნენ ნორმალურ ფუნქციონირებას ინგენსიურ აბრაზიულ გარემოში მუშაობის დროს.
3. შემზეთი სისგემის ნორმალური ფუნქციონირება უმრუნველყოფილი უნდა იყოს საველე მუშაობის პირობებში.

თავი 7. სრიალის საკისრების ბაზანბარიშების მეთოდობა სასაზღვრო და მშრალი ხახუნის დროს

7.1. სრიალის საკისრების მუშაობის უნარის კრიტერიუმები

სრიალის საკისრების მუშაობის უნარი მნიშვნელოვანწილად არის განპირობებული ხვედრითი წნევით p , სრიალის სიჩქარით V და ე. წ. ხახუნის პირობითი სიმძლავრით pV . მაგრამ, როგორც უკვე აღნიშნული იყო, სრიალის საკისრების მუშაობის უნარის განსაზღვრა მოხსენიებული პარამეტრების მიხედვით მხოლოდ ზოგადად აფასებს საკისრების მუშაობის რეჟიმს. ამ მეთოდით საკისრების გაანგარიშებას მოგჯერ მიყვავართ მნიშვნელოვანი მასშტაბის შეცდომებთან. ამასთან, არ მოგვეპოვება საიმედო რეკომენდაციები p , V და pV სიდიდეებზე.

სრიალის საკისრების სადებები უმრავლეს შემთხვევაში ლილვის მასალასთან შედარებით დაბალი მექანიკური მახასიათებლებით ხასიათდებიან, ამიტომ საკისრის საიმედოობის უზრუნველყოფისათვის კონსტრუქცია გაანგარიშებული უნდა იქნეს კონტაქტურ სიმტკიცეზე. პრაქტიკამ დაადასტურა სრიალის საკისრების მუშაობის უნარის ამგვარი შეფასების მართებულობა. სრიალის საკისრების სადებების მწყობრიდან გამოსვლის მიზეზი (განსაკუთრებით დაბალი სრიალის სიჩქარისა და პერიოდული მუშაობის პირობებში) ხშირად აღმოჩნდა ხოლმე სადებებში დაღლილობის შედეგად გაჩენილი ბზარები, მასალის მოთელვის კერები და შესაბამისი ბუნების მასალებისათვის ცივდენალობის მოვლენები.

სრიალის საკისრების სადებების სიმტკიცის შეფასების დროს ამოცანა დაიყვანება სიმტკიცის ძირითად განტოლებაზე:

$$\sigma_{H \max} \leq \sigma_p, \quad (7.1)$$

სადაც $\sigma_{H \max}$ მაქსიმალური კონტაქტური ძაბვაა შეუღლების მუშა მონაში მოცემული დატვირთვის პირობებში; σ_p – სადების მასალისათვის დასაშვები კონტაქტური ძაბვა დატვირთვის მოცემული პირობებისათვის.

სრიალის საკისრების სადებების სიმტკიცეზე გაანგარიშების დროს იგულისხმება, რომ სადებების მასალები, მათ შორის ანტიფრიქციული პოლიმერებიც, განსახილველ დატვირთვათა დიაპაზონში ემორჩილებიან დრეკადობის თეორიის კანონებს. კვლევით დადასტურებულია, რომ როდესაც ფარდობითი დეფორმაციები არ აღემატება 1,5-2,0%-ს (პრაქტიკაში ასეთი დაშვება მისაღებია), იგი არ იწვევს მნიშვნელოვანი სიდიდის

შეცდომებს. მაგრამ პოლიმერული სადებების გამოყენების შემთხვევაში დრეკალობის მოდულის განსაზღვრის დროს გათვალისწინებული უნდა იქნეს მისი ცვლილებები გრიბოლოგიურ პროცესში დროისა და გემპერაგურის მიხედვით. საანგარიშო დრეკალობის მოდულზე მოქმედი მნიშვნელოვანი ფაქტორია აგრეთვე კონსტრუქციული გადაწყვეტილება. დასაშვები კონტაქტური ძაბვების განსაზღვრის დროს გათვალისწინებული უნდა იყოს კონსტრუქციული, გექნოლოგიური და საექსპლუატაციო ხასიათის მრავალი ფაქტორი.

სრიალის საკისრების კონტაქტურ სიმკვიცეზე გაანგარიშების მეთოდი მდგომარეობს ასეთია: წინასწარ, კონსტრუქციული პარამეტრების – ღრეჩო, საკისრის სიგრძე, ძალის მოქმედების დრო და გემპერაგურის ფაქტორი – გათვალისწინებით მუშა მონაში განისაზღვრება მაქსიმალური კონტაქტური ძაბვა. შემდეგ კონკრეტული პირობებისათვის ღვინდება დასაშვები კონტაქტური ძაბვა და ხდება საკისრის მუშაობის უნარის შეფასება.

იმ შემთხვევაში, როცა კვანძის ფუნქციონირება ლიმიტირებულია საგაცისა და საკისრის ღერძების ურთიერთგადაადგილების ფარდობითი ან აბსოლუტური დეფორმაციებით, კვანძის მუშაობის განმსაზღვრელია კონტაქტური ძაბვის ის მნიშვნელობა, რომელიც განაპირობებს დასაშვებ დეფორმაციას.

მრავალ შემთხვევაში სრიალის საკისრების მუშაობის უნარის ძირითად მაჩვენებლად გვევლინება მისი თბური რეჟიმი. მუშაობის არახელსაყრელი გემპერაგურული რეჟიმი პრაქტიკაში შეიძლება გახდეს მიზეზი ისეთი არასასურველი მოვლენებისა, როგორცაა სადების პლასტიკური დეფორმირება, ინტენსიური ცვეთა, შეჭიდებისა და ჩაჭედვის ფაქტები, რაც დამახასიათებელია სრიალის საკისრებისათვის და რომელსაც ძალუძს კვანძის წყობილებიდან გამოყვანა მისი ხანმოკლე გადახურების დროსაც კი.

აღნიშნულის გამო საკისრის გაანგარიშება კონტაქტურ სიმკვიცეზე და ამით მისი მიღვის უნარის განსაზღვრა სრულად ვერ ახასიათებს სრიალის საკისრის მუშაობის უნარს. გემპერაგურული რეჟიმის შეფასების გარეშე უზუსტოა თვით კონტაქტურ სიმკვიცეზე გაანგარიშებაც.

სრიალის საკისრის მუშაობის უნარის სრული შეფასებისათვის საჭიროა განისაზღვროს საკისრის გემპერაგურული დაძაბულობაც, რომელიც დამოკიდებულია საკისრის მუშა მონაში მაქსიმალური მუშა გემპერაგურის მნიშვნელობაზე.

საკისრის მუშაობის უნარი უნდა აკმაყოფილებდეს პირობას

$$t_g \leq t_p, \quad (7.2)$$

სადაც t_a ტემპერატურაა მუშა ზონაში; t_p – სადების მასალისათვის ან ხახუნის კვანძისათვის დასაშვები ტემპერატურა, რომელიც არ უნდა აღემატებოდეს 80...85 °C-ს.

რიგ შემთხვევებში გრიბოსისტემის მუშაობის უნარის მნიშვნელოვან მახასიათებლად მიიჩნევა მისი ცვეთამედეგობა. ეს მახასიათებელი განსაკუთრებულ მნიშვნელობას იძენს მშრალი ხახუნის დროს, როცა კონსტრუქციული მოსაზრებებით დასაშვები ღრეჩოს სიდიდე მცირეა. მაგრამ ცვეთამედეგობის რაოდენობრივი შეფასება გრიბოსისტემებში დიდ სირთულეებთანაა დაკავშირებული ამოცანაში მრავალი პარამეტრის არსებობის გამო, ამიტომ უმრავლეს შემთხვევაში კმაყოფილდებიან გრიბოსისტემის ცვეთამედეგობის ზოგადი შეფასებით.

ამრიგად, სრიალის საკისრების მუშაობის უნარის ძირითად კრიტერიუმებად მიზანშეწონილია მიჩნეულ იქნეს:

- საკისრის ზიდვის უნარი, რომელიც ლიმიტირებულია დასაშვები კონტაქტური ძაბვებით;
- საკისრის ტემპერატურული დაძაბულობა, რომელიც არ უნდა აღემატებოდეს სადების მასალის ან გრიბოლოგიური სისტემისათვის დასაშვებ მუშა ტემპერატურას.

7.2. საკისრების ზიდვის უნარი

სრიალის საკისრების ზიდვის უნარში იგულისხმება საკისრის მედეგობა, თავის თავზე მიიღოს რადიალური მიმართულების დატვირთვა ისე, რომ სადებმა მოცემული დროის პეროდში არ განიცადოს პლასტიკური დეფორმაცია, ან საგაცის საკისრის ღერძების ურთიერთგადაადგილების სიდიდემ, რომელიც გამოწვეულია ღრეკადი დეფორმაციითა და ცვეთის ფაქტორით, არ გადააჭარბოს კონსტრუქციული მოსაზრებებით განსაზღვრულ ზღვარს.

კონტაქტურ სიმკაცრეზე საკისრის ზიდვის უნარის განსაზღვრა საჭიროა ვაწარმოთ საკისრის კონსტრუქციული გადაწყვეტილების შესაბამისი დამოკიდებულებებით. კერძოდ, როცა მოხახუნე წყვილის – ლილვი-საკისრის მასალების ღრეკადობის მოდულების მნიშვნელობები ერთი რიგისაა (ზოგი ლითონურსადებებიანი საკისარი), გაანგარიშებები წარმოებს ერთი სახის გრაფო-ანალიზური დამოკიდებულებებით, ხოლო როცა გრიბოლოგიურ სისტემაში გამოყენებულია დიდად განსხვავებული ღრეკადობის მოდულის მქონე მასალები (მაგ., პლასტმასოვანი საკისრები) – მეორე სახის დამოკიდებულებებით.

ორივე შემთხვევაში გაანგარიშებების შედეგად განისაზღვრება საკისრებისათვის ისეთი მნიშვნელოვანი პარამეტრები, როგორცაა საკონტაქტო კუთხე და მაქსიმალური კონტაქტური ძაბვა კვანძში.

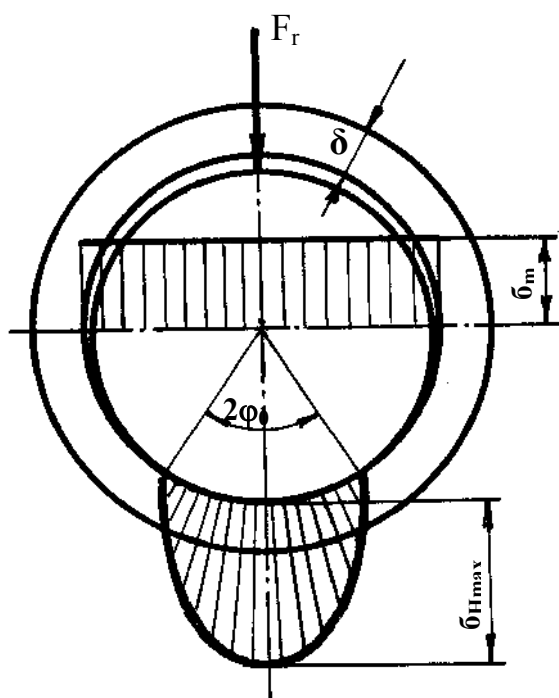
საკისრის პირველი შემთხვევის შესაბამისი კონსტრუქციული გადაწყვეტისათვის კვანძში აღბრული კონტაქტური ძაბვა უმეტესად არ არის სრიალის მუშაობის მაღლიმიტირებელი პარამეტრი. თუმცა საერთო შეფასების დროს იგი მაინც იწვევს გარკვეულ ინტერესს. მაგალითად, ზოგჯერ მიღვის უნარის გაანგარიშების პროცესში კონსტრუქციული თვალსაზრისით საჭირო ხდება საკონტაქტო კუთხის განსაზღვრა.

მეორე შემთხვევისათვის, როცა მოხახუნე წყვილის ღრეკალობის მოღულები ძლიერ განსხვავდებიან ერთმანეთისაგან, მაგალითად, ისეთი საკისრებისათვის, სადაც გამოყენებულია ანტიფრიქციული პლასტმასოვანი სადეები, მიღვის უნარის გაანგარიშება კონტაქტურ სიმტკიცეზე აუცილებელია.

7.3. სრიალის საკისრის მიღვის უნარის განსაზღვრის განგოლებები*

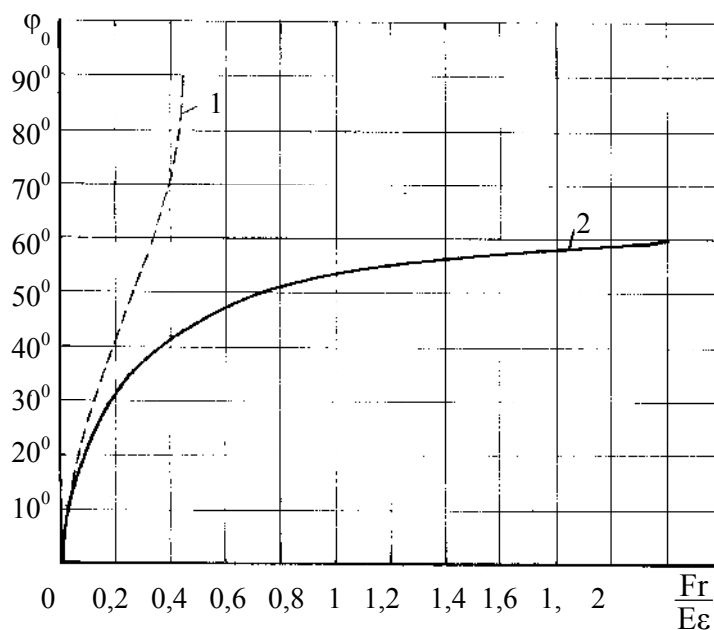
თვალსაზრისით გეომეტრიული ანალიზის საფუძველზე ცხადია, რომ საკისარზე მოქმედი დაგვირთვა ვრცელდება არა საკისრის დიამეტრულ კვეთაზე, როგორც ეს იგულისხმება საშუალო ხვედრითი წნევის განსაზღვრის დროს, და რომელსაც უმეტესად იყენებენ კონსტრუქტორები სრიალის საკისრების გაანგარიშების დროს, არამედ მხოლოდ იმ ზედაპირზე, რომელიც შემოსაზღვრულია შეუღლების საკონტაქტო კუთხით – $2\varphi_0$ (ნახ.7.1). ამასთან, კონტაქტური ძაბვები საკონტაქტო ზონაში არ არის თანაბრად განაწილებული – მაქსიმალური $\sigma_{H\max}$ მნიშვნელოვანწილად აღემატება საშუალოს – σ_m .

* ქვემოთ მოყვანილი მიღვის უნარის განსაზღვრის მეთოდისა პლასტმასოვანი საკისრებისათვის შემუშავებულია ავტორების მიერ საქართველოს ტექნიკურ უნივერსიტეტში [29], [31], [32], [33], [36].



ნახ. 7.1. სრიალის საკისრის საანგარიშო სქემა

მაქსიმალური კონტაქტური ძაბვების განსაზღვრა ჰერცის თეორიით ლითონურ საკისრებშიც კი დიდ ცდომილებებს იძლევა საკონტაქტო ფართობის დიდი მნიშვნელობის გამო, რაც, თავის მხრივ, განპირობებულია სრიალის საკისრების შეუღლებული დეგალების რადიუსებს შორის მცირე სხვაობით (ნახ. 7.2)[30].



ნახ.7.2. φ_0 კუთხისა და $\frac{F_r}{E \cdot \varepsilon}$ პარამეტრის ურთიერთდამოკიდებულება ერთნაირმოდულიანი შეუღლებული დეგალებისათვის (ლითონური საკისრებისათვის):
1 – მრუდი ჰერცის თეორიით; 2 – მრუდი ქვემოთ მოყვანილი თეორიით

ერთნაირი დრეკალობის მოდულის მქონე დეგალების შეუღლების შემთხვევაში (ლითონური საკისრები) კონტაქტური ძაბვების განსაზღვრისათვის გამოიყენება დრეკალობის თეორიის შესაბამისი კონტაქტური ამოცანების ამოხსნის შედეგები [30] (კონტაქტური ძაბვების განსაზღვრის მეთოდოლოგია იხ. ქვემოთ).

პლასტმასოვან სრიალის საკისრებში მაქსიმალური კონტაქტური ძაბვების განსაზღვრის მიზნით განიხილება კონტაქტური ამოცანა იმ ორი სხეულის კუმშვის შესახებ, როცა ერთს აქვს წრიული ცილინდრის, ხოლო მეორეს – წრიული ცილინდრის ჭრილის ფორმა. ამასთან, ერთ-ერთი მეორის მიმართ აბსოლუტურად ხისგად არის მიჩნეული [29],[31]. აქ ხსენებულ ნაშრომებში დრეკალობის თეორიის კონტაქტური ამოცანა ეფუძნება შემდეგ დაშვებებს:

1. საკისრის ანტიფრიქციული პოლიმერული მასალის სადები წარმოადგენს იდეალურ დრეკად სხეულს.

2. ხახუნის კვანძის შეუღლებაში „პოლიმერი-ფოლადი“, ფოლადის დეგალი მიჩნეულია აბსოლუტურად ხისგ სხეულად.

3. ხახუნის კვანძი განიხილება სტატიკურ მდგომარეობაში.

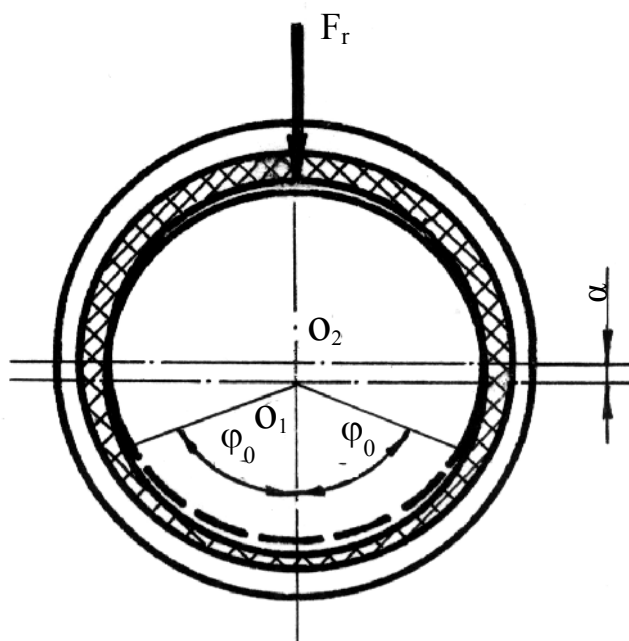
4. შეუღლებული დეგალების რადიუსები მცირედ განსხვავებული სიდიდეებია.

თითოეული დაშვების მიზანშეწონილობა და მართებულობა პრაქტიკული გაანგარიშებებისათვის ადვილად შეიძლება დასაბუთდეს.

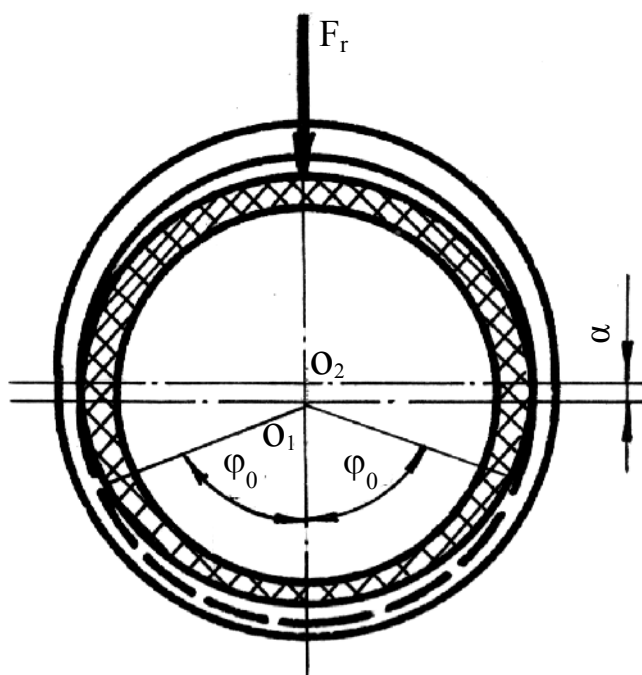
გარდა ამისა, აუცილებელია აღინიშნოს, რომ პლასტმასოვანი სრიალის საკისრები საინჟინრო პრაქტიკაში რეალიზდება ორი გზით:

– „პირდაპირი წყვილის“ სახით, როცა პლასტმასების სადები ჩაწნეხილია საკისრის ლითონურ კორპუსში და შეუღლებულია ფოლადის ლილვთან (ნახ.7.3);

– „შექცეული წყვილის“ სახით, როცა პლასტმასის სადები დაწნეხილია ლილვზე და შეუღლებულია ლითონური კორპუსის ნახვრეტთან (ნახ. 7.4).



ნახ. 7.3. სრიალის საკისარი „პირდაპირი წყვილის” სახით



ნახ. 7.4. სრიალის საკისარი „შეცეული წყვილის” სახით

შესაბამისად, საინჟინრო პრაქტიკაში გამოყენებული პლასტმასოვანი საკისრებისათვის მაქსიმალური კონტაქტური ძაბვების განსაზღვრის მიზნით განხილული იქნა დრეკადობის თეორიის შემდეგი კონტაქტური ამოცანები:

1. ორი სხეულის კუმშვა, რომელთაგანაც ერთი, მაგ., ცილინდრული ფორმის სხეული, მიჩნეულია აბსოლუტურად ხისტად, ხოლო მეორე – ცილინდრის ჭრილის ფორმის მქონე სხეული – დრეკადად („პირდაპირი წყვილი“).

2. ორი სხეულის კუმშვა, რომელთაგან ერთი ცილინდრული ჭრილის ფორმის სხეული მიჩნეულია აბსოლუტურად ხისტად, ხოლო მეორე ცილინდრული ფორმის მქონე სხეული – დრეკადად („შექცეული წყვილი“).

იმ განტოლების გამოსაყვანად, რომელიც გამოსახავს ლილვისა და საკისრის კონტაქტის მონაში ძაბვების განაწილების კანონს, სარგებლობენ შეყურსული რადიალური წნევის მოქმედების შედეგად აღძრული რადიალური ძაბვებისა და მისი მოქმედების შედეგად გამოწვეული რადიალური დეფორმაციების დამოკიდებულებებით. კერძოდ, საკონტაქტო მონაში მდებარე ნებისმიერი წერტილის გადაადგილება, რომელიც გამოწვეულია ცენტრისკენ მიმართულების (ცილინდრული ფორმის სხეულისათვის) ნორმალური ძალებით, გამოითვლება გამოსახულებით [25]

$$U_r = F_r \left[-2\nu \left(1 + \cos \varphi \ln tg \frac{|\varphi|}{2} \right) + \aleph \sin |\varphi| \right], \quad (7.3)$$

სადაც F_r არის რადიალური ძალა სიგრძის ერთეულზე,

$$\nu = \frac{1 - \mu^2}{\pi E}; \quad \aleph = \frac{(1 + \mu)(1 - 2\mu)}{2E};$$

E – მასალის დრეკადობის მოდული; μ – სხეულის პუასონის კოეფიციენტი; φ – მიმდინარე საკონტაქტო კუთხე სხეულების კუმშვის დროს.

ხოლო საკონტაქტო მონაში მდებარე ნებისმიერი წერტილის გადაადგილება მიმართულებით „ცენტრიდან“ (ცილინდრული ჭრილის ფორმის სხეულისათვის) გამოითვლება [25] გამოსახულებით:

$$U_r = F_r \left(-2\nu \cos \varphi \ln tg \frac{|\varphi|}{2} + \aleph \sin |\varphi| \right). \quad (7.4)$$

აღნიშნული დამოკიდებულებების გამოყენებით გამოიყვანება კონტაქტური ძაბვების საკონტაქტო მონაში განაწილების ორი ინტეგრალური განტოლება [29], [31]. ამასთან, განტოლების საბოლოო სახე „პირდაპირი წყვილისათვის“

$$\begin{aligned} & 2\nu \cdot r_1 \int_{-\varphi_0}^{\varphi_0} p(\varphi') \cos(\varphi - \varphi') \ln tg \frac{|\varphi - \varphi'|}{2} d\varphi' - \aleph \cdot r_1 \int_{-\varphi_0}^{\varphi_0} P(\varphi') \sin |\varphi - \varphi'| d\varphi = \\ & = (r_2 - r_1)(1 - \cos \varphi) - a \cos \varphi, \end{aligned} \quad (7.5)$$

სადაც $-\varphi_0 < \varphi < \varphi_0$; ხოლო „შექცეული წყვილისათვის“

$$\begin{aligned}
& 2\nu \cdot r_2 \int_{-\varphi_0}^{\varphi} p(\varphi') \cos(\varphi - \varphi') \ln \operatorname{tg} \frac{|\varphi - \varphi'|}{2} d\varphi' - \mathfrak{N} \cdot r_2 \int_{-\varphi_0}^{\varphi_0} P(\varphi') \sin |\varphi - \varphi'| d\varphi + \\
& + 2\nu \cdot r_2 \int_{-\varphi_0}^{\varphi} P(\varphi') d\varphi' = (r_2 - r_1)(1 - \cos \varphi) - a \cos \varphi, \quad (7.6)
\end{aligned}$$

სადაც $-\varphi_0 < \varphi < \varphi_0$; r_1, r_2 შესაბამისად, ლილვისა და საკისრის რადიუსებია; $p(\varphi')$ – ნორმალური წნევა; φ – მიმდინარე საკონტაქტო კუთხე კუმშვის დროს; φ' – ინტეგრაციის მიმდინარე კუთხე; φ_0 – საკონტაქტო კუთხის ნახევარი; a – სხეულების ურთიერთდაახლოების სიდიდე მათი კუმშვის დროს.

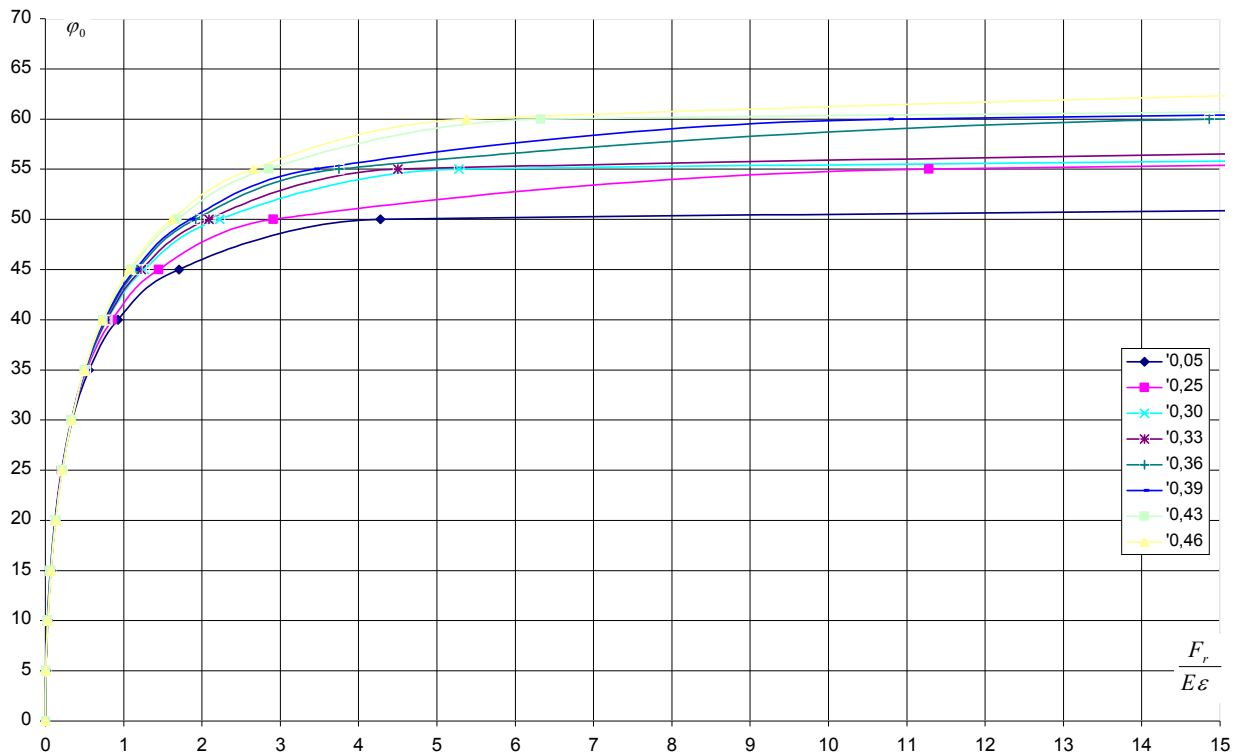
7.4. კონტაქტური ამოცანების ინტეგრალური განტოლების ამოხსნის მეთოდი

(7.5) და (7.6) ტიპის ინტეგრალური განტოლების ამოხსნა ანალიზური გზით განახორციელა ცნობილმა ქართველმა მათემატიკოსმა ი. ვეკუამ. მაგრამ იმის გამო, რომ ამოხსნის პროცესში საჭიროა ისეთი განსაზღვრული ინტეგრალების ამოხსნა, რომლებიც არ გამოსახებიან ელემენტარული ფუნქციებით, პრაქტიკული გაანგარიშებებისათვის უფრო მოხერხებული აღმოჩნდა ინტეგრალური განტოლების ამოხსნის მიახლოებითი მეთოდები.

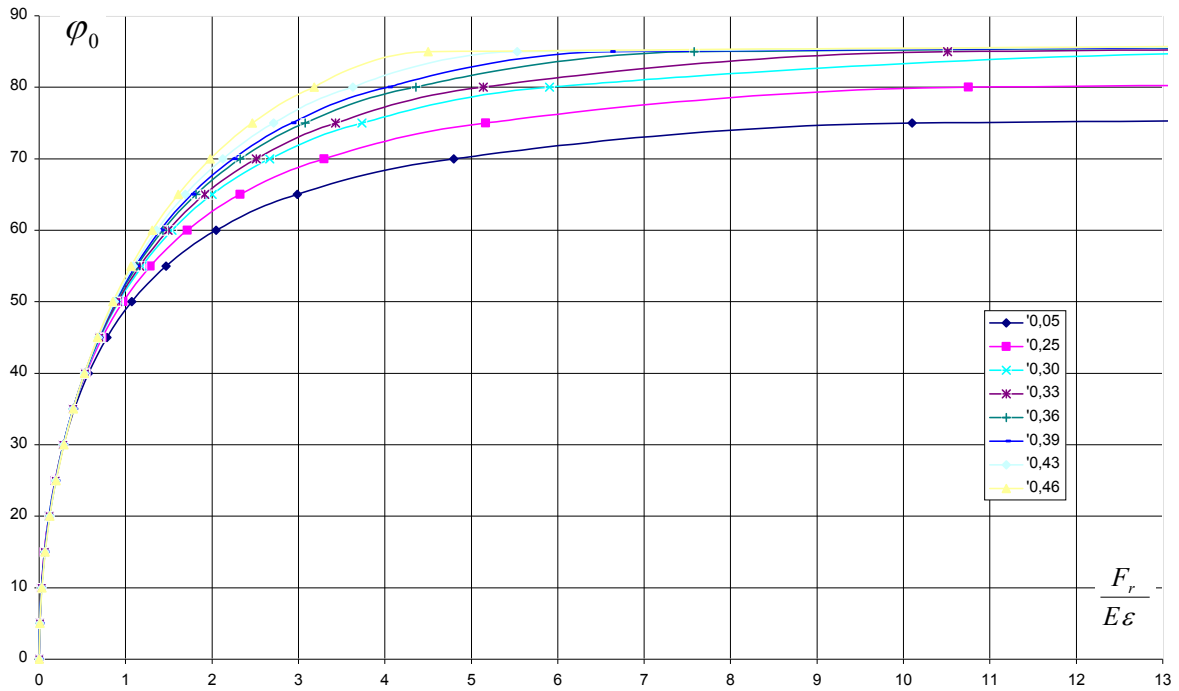
მოყვანილი (7.5), (7.6) განტოლებების ამოხსნისათვის, ი. შტაერმანის მსგავსად, გამოყენებული იქნა სასრულ სხვაობათა მეთოდი. ამ მეთოდის არსი ისაა, რომ საძებნი ფუნქცია წარმოიღგინება არა როგორც უწყვეტი, არამედ წყვეტილი, საფეხურებრივი ცვლადი. ამისათვის საძებნი ფუნქციის ინტერვალი იყოფა n ნაწილად და იგულისხმება, რომ თითოეულ ქვეინტერვალში ფუნქცია ინარჩუნებს მუდმივ მნიშვნელობას. საბოლოოდ ინტეგრალური განტოლების ამოხსნა დაყვანილია საძებნი ფუნქციის n მნიშვნელობის გაგებაზე, ე.ი. ფუნქციის იმ მნიშვნელობების გაგებაზე, როცა ისინი აკმაყოფილებენ ინტეგრალურ განტოლებას.

ამრიგად, მოყვანილი მეთოდის თანახმად ამოცანა დაიყვანება n უცნობიან n ხამობრივ განტოლებათა სისტემის ამოხსნამდე. სისტემის ამოხსნით საძებნი ფუნქცია მიიღება საფეხურების სახით, როცა ფუნქციის ცვლილება ხდება ნახტომებით. ასეთი ფუნქციის გრაფიკის აგებით და შემდგომ ნახტომების მომრგვალებით მიიღება მრუდი, რომელიც მიახლოებით გამოსახავს ზემოთ მოყვანილი ინტეგრალური განტოლების ამოხსნას.

ნახაზებზე (7.5 – 7.8) მოყვანილია ამ გზით ამოხსნილი (7.5) და (7.6) ინტეგრალური განტოლებების ამოხსნის შედეგები. კერძოდ, 7.5 და 7.6 ნახაზებზე მოცემულია მრუდები, რომლებიც გამოსახავენ კომპლექსური პარამეტრის $-\frac{F_r}{E \cdot \varepsilon}$ დამოკიდებულებას საკონტაქტო კუთხესთან პუასონის კოეფიციენტების სხვადასხვა მნიშვნელობების და პლასტმასოვანი საკისრის ორი შესაძლო კონსტრუქციული ვარიანტიდან „პირდაპირი წყვილისათვის“. ხოლო 7.6 და 7.8 ნახაზებზე მოცემულია მრუდები, რომლებიც გამოსახავენ b უგანზომილებო კოეფიციენტისა და φ_0 კუთხის ურთიერთდამოკიდებულებას „შექცეული წყვილისათვის“.

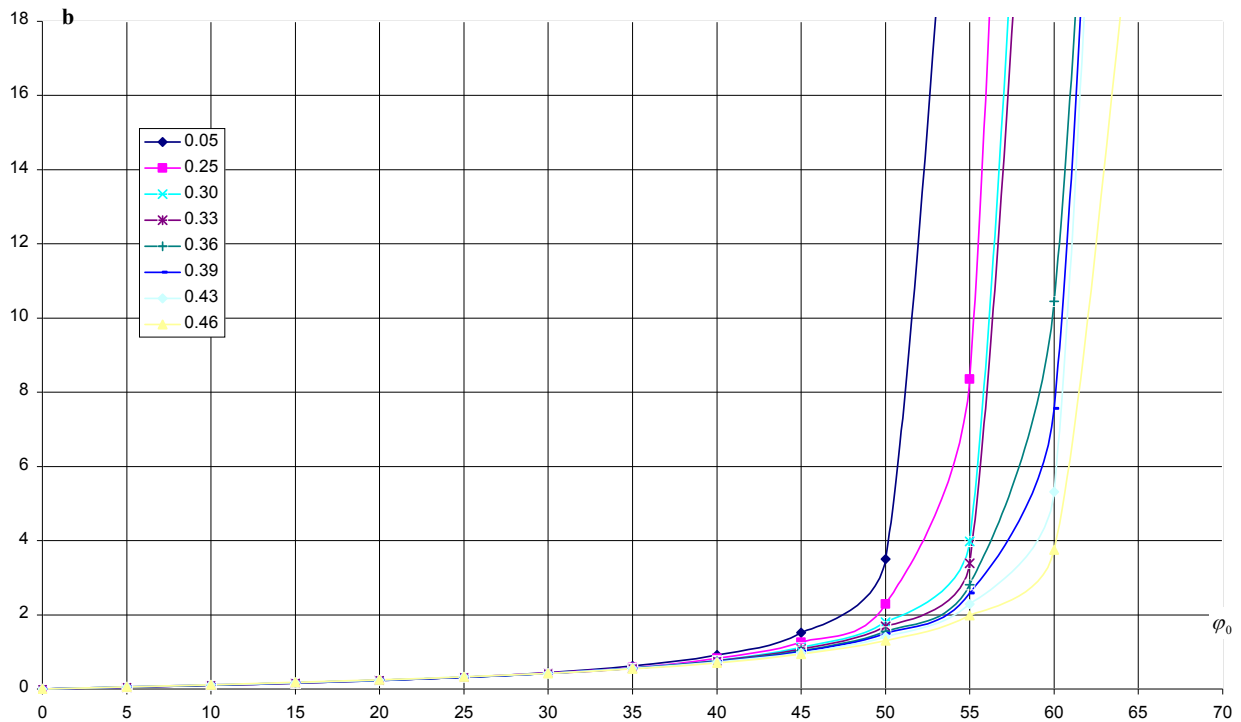


ნახ. 7.5. φ_0 – კუთხისა და $\frac{F_r}{E \cdot \varepsilon}$ პარამეტრის ურთიერთდამოკიდებულება სხვადასხვა მოდულიანი შეუღლებული დეტალების „პირდაპირი წყვილისათვის“ სხვადასხვა პუასონის კოეფიციენტებისათვის

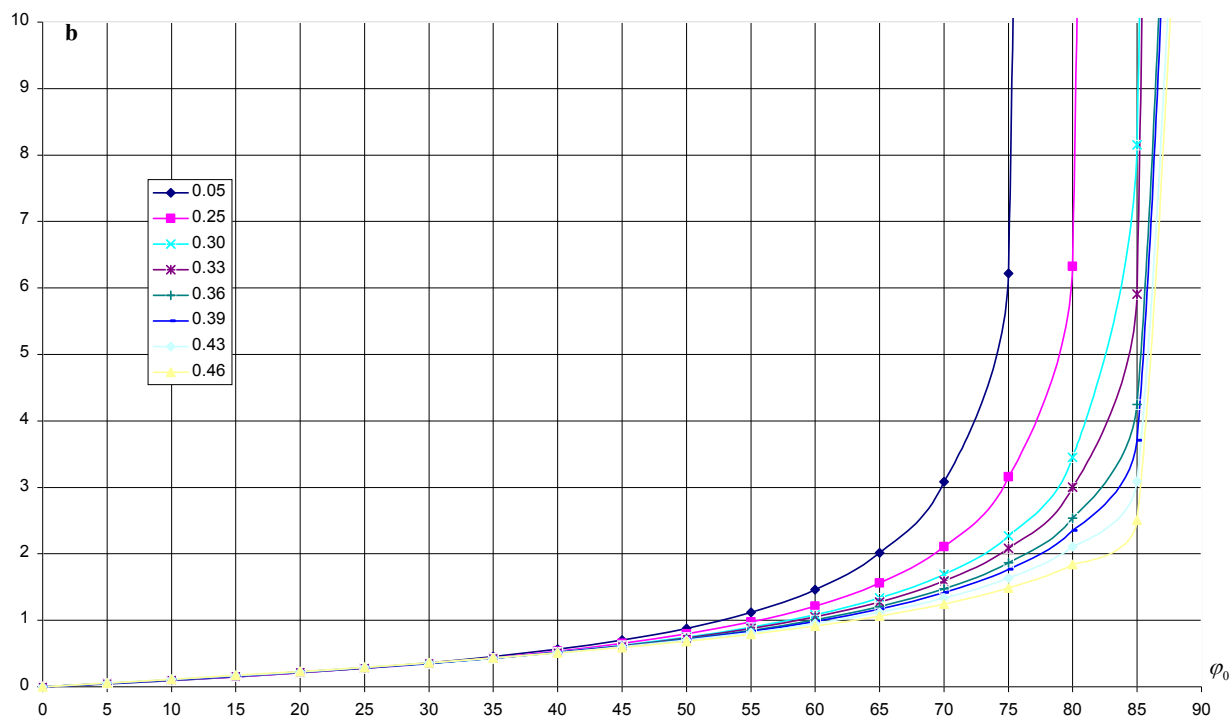


ნახ. 7.6. φ_0 – კუთხისა და $\frac{F_r}{E \cdot \varepsilon}$ პარამეტრის ურთიერთდამოკიდებულება

სხვადასხვამოდულიანი შეუღლებული დეგალების „შექცეული წყვილისათვის“ სხვადასხვა პუასონის კოეფიციენტებისათვის



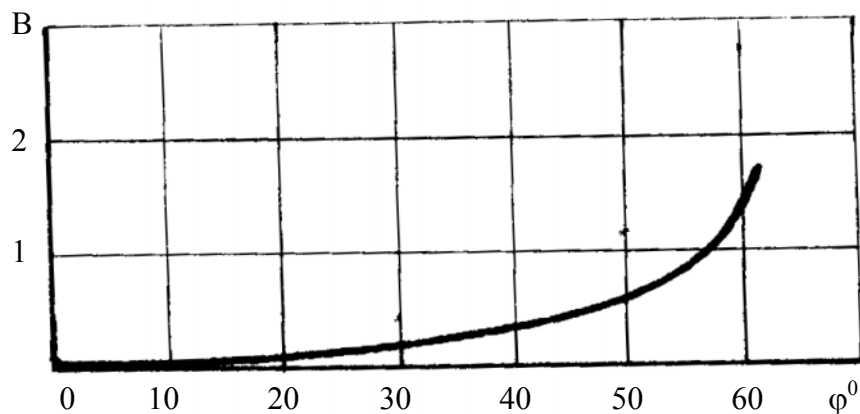
ნახ. 7.7. b – უგანზომილებო კოეფიციენტის და φ_0 კუთხის ურთიერთდამოკიდებულება სხვადასხვამოდულიანი შეუღლებული „პირდაპირი წყვილისათვის“ სხვადასხვა პუასონის კოეფიციენტებისათვის



ნახ. 7.8. b – უგანზომილებო კოეფიციენტის და ϕ_0 კუთხის ურთიერთდამოკიდებულება სხვადასხვა მოდულიანი შეუღლებული „შექცეული წყვილისათვის“ სხვადასხვა პუასონის კოეფიციენტებისათვის

მოცემული გრაფიკების მეშვეობით მარტივად, რაიმე ტექნიკური სიძნელის გარეშე განისაზღვრება მაქსიმალური კონტაქტური ძაბვა შეუღლებაში საკისარი - ლილვი, სადაც გამოყენებულია პოლიმერული მასალის სადები ან სადები ისეთი მასალებისაგან, რომლის დრეკადობის მოდულის მნიშვნელობა ბევრად მცირეა ფოლადის დრეკადობის მოდულთან შედარებით.

სრიალის საკისრებში, სადაც შეუღლებული ზედაპირები დამზადებულია დაახლოებით ერთნაირი მოდულის მქონე მასალებისაგან, საკონტაქტო კუთხისა და მაქსიმალური კონტაქტური ძაბვის განსაზღვრა პლაგმასოვანი საკისრის ანალოგიურად შესაძლებელია ვაწარმოთ 7.2 და 7.9 ნახაზებზე გამოსახული გრაფიკების მეშვეობით.



ნახ. 7.9. b – უგანზომილებო კოეფიციენტის და φ_0 კუთხის ურთიერთდამოკიდებულება ერთნაირმოდულიანი შეუღლებული დეტალებისათვის

7.5. სრიალის საკისარში მაქსიმალური კონტაქტური ძაბვების განსაზღვრის მეთოდიკა

ზემოთ ნახსენები გრაფიკების მეშვეობით თითოეულ კონკრეტულ შემთხვევაში შესაძლებელია მარტივად და ოპერატიულად ვიპოვოთ მაქსიმალური კონტაქტური ძაბვა სრიალის საკისარში მისი ნებისმიერი კონსტრუქციული გადაწყვეტის დროს.

ამისათვის კონკრეტული ამოცანის შემთხვევაში უნდა განისაზღვროს პარამეტრი $\frac{F_r}{E \cdot \varepsilon}$,

სადაც F_r არის საკისრის რადიალური დატვირთვა სიგრძის ერთეულზე და განისაზღვრება საკისარზე მოსული რადიალური ძალის შეფარდებით საკისრის სიგრძესთან, ნ/მ; ε – რადიალური ღრეჩო საკისრის კვანძში; $\varepsilon = r_2 - r_1$; r_2 – საკისრის რადიუსი, მ; r_1 – ლილვის რადიუსი, მ; E – ღრეკალობის საანგარიშო ნამდვილი მოდული, რომელიც პოლიმერული მასალის შემთხვევაში განისაზღვრება გემპერაგურის, დროის და კონსტრუქციული გადაწყვეტილების ფაქტორების გათვალისწინებით. შესაბამისად, საანგარიშო ე. წ. „პირობითი“ ღრეკალობის მოდულის განსაზღვრისათვის ვსარგებლობთ გამოსახულებით:

$$E = E_0 \cdot K_\delta \cdot K_{\text{ღრ}} \cdot K_\gamma, \quad (7.7)$$

სადაც E_0 არის პოლიმერული მასალის მყისიერი ღრეკალობის მოდული ნორმალური გემპერაგურის (20°C) დროს და მოცემულია საცნობარო ლიგერაგურაში, პა (ნ/მ²), ან

მპა; K_{δ} – ტემპერატურული კოეფიციენტი, რომელიც ითვალისწინებს პოლიმერული მასალის დრეკადობის მოდულის დამოკიდებულებას ტემპერატურაზე და თერმოპლასტიკური მასალებისათვის

$$K_{\delta} = \frac{t_{\text{ღნ}} - t_{\text{ა}}}{t_{\text{ღნ}} - 20}, \quad (7.8)$$

სადაც $t_{\text{ღნ}}$ პოლიმერული მასალის ღნობის ტემპერატურაა, °C; $t_{\text{ა}}$ – საკისრის საანგარიშო მუშა ტემპერატურა, °C; $K_{\text{ღნ}}$ – ღნობის კოეფიციენტი, რომელიც ითვალისწინებს დრეკადობის მოდულის დამოკიდებულებას დატვირთვის მოქმედების ხანგრძლივობაზე, ე. ი. ითვალისწინებს ცივი ღენადობის მოვლენას და გამოითვლება ფორმულით

$$K_{\text{ღნ}} = \left(\frac{t}{B} \right)^{-m}, \quad (7.9)$$

სადაც t – დატვირთვის მოქმედების ხანგრძლივობაა, სთ; B, m – მუდმივები და მოცემულია როგორც გრაფიკების, ისე ცხრილების სახით. თერმოპლასტიკური პოლიამიდებისათვის შესაბამისად იღება $4 \cdot 10^{-4}$, 0,047; პოლიეთილენისათვის – 0,04, $1 \cdot 10^{-4}$; ფთოროპლასტ-4-ისათვის – 0,062, $3,3 \cdot 10^{-4}$; ვინიპლასტისათვის – 0,07, $2 \cdot 10^{-4}$.

K_3 „პირობითი“ დრეკადობის მოდულის მაკორექტირებელი კოეფიციენტი. იგი ჩვეულებრივი, ტიპური კონსტრუქციის პოლიმერული სადებიანი სრიალის საკისრებისათვის განისაზღვრება თეორიული დებულებიდან ერთ-ერთით (ნახ.7.10). ამასთან, უპირატესობა მინიჭებული აქვს მოცულობითი პრინციპის საფუძველზე მიღებულ გამოსახულებას*:

$$K_3 = \frac{1}{1 - 2\mu}, \quad (7.10)$$

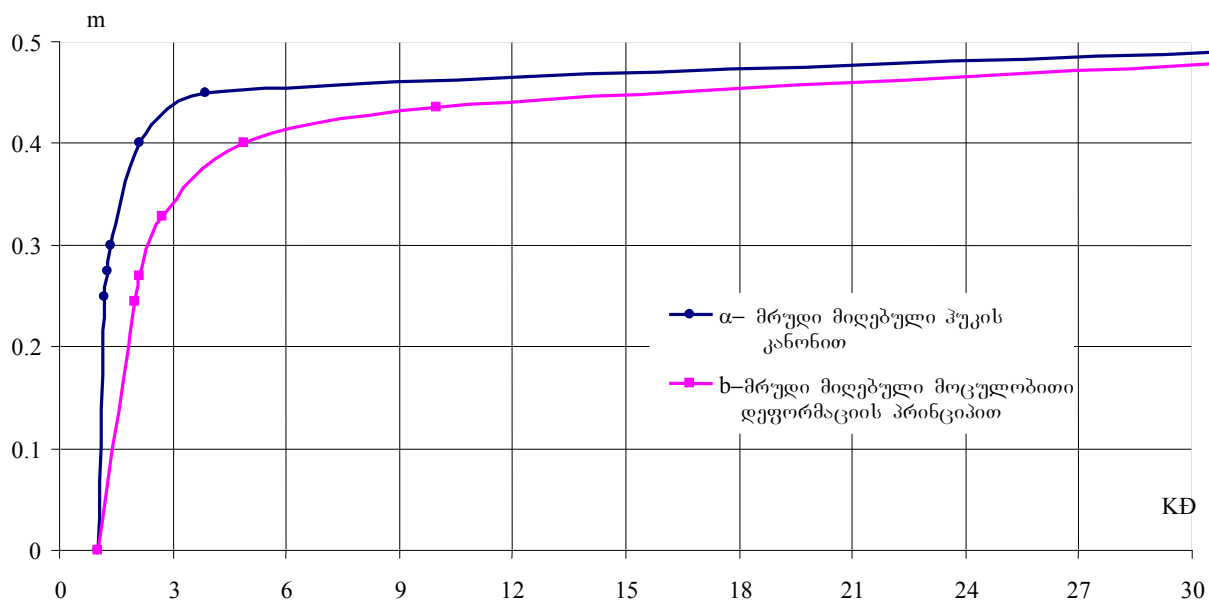
სადაც μ სადების პუასონის კოეფიციენტი.

ძალიან მოკლე $\left(\frac{l}{d} \langle 0,2 \dots 0,3 \rangle \right)$ და სქელკედლიანი სადებების მქონე საკისრებისათვის

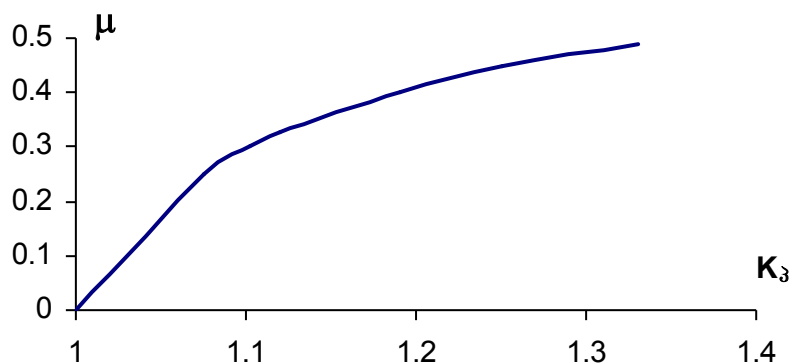
$\left(\frac{\delta}{d} \langle 0,4 \dots 0,5 \rangle \right) E_3$ სადების განსასაზღვრად რეკომენდებულია გამოსახულება*

$$K_3 = \frac{1}{1 - \mu^2}. \quad (7.11)$$

K_3 -ს განსაზღვრა შესაძლებელია აგრეთვე ქვემოთ მოყვანილ ნახაზებზე ნაჩვენები შესაბამისი გრაფიკების მეშვეობით (ნახ. 7.10, 7.11).



ნახ. 7.10 „პირობითი“ დრეკადობის მოდულის მაკორექტირებელი K_3 კოეფიციენტის დამოკიდებულება პუასონის μ კოეფიციენტზე (დეფორმაცია შეზღუდულია ორ სიბრტყეში)



ნახ. 7.11 „პირობითი“ დრეკადობის მოდულის მაკორექტირებელი K_3 – კოეფიციენტის დამოკიდებულება პუასონის μ კოეფიციენტზე (დეფორმაცია შეზღუდულია ერთ სიბრტყეში)

*დადგენილი სპეციალური კვლევის საფუძველზე სგუ-ს სამშენებლო მანქანებისა და მექანიკური მოწყობილობის კათედრაზე ავტორების მიერ ზ. ქაშიაშვილთან ერთად [36].

$\frac{F_r}{E \cdot \varepsilon}$ პარამეტრის მიხედვით განისაზღვრება φ_0 საკონტაქტო კუთხის ნახევარი (ნახ.7.2, 7.5, 7.6), ხოლო φ_0 კუთხე სიდიდის მიხედვით – მაქსიმალური კონტაქტური ძაბვის უგანზომილებო b კოეფიციენტი (ნახ. 7.7, 7.8, 7.9).

დაბოლოს, მაქსიმალური კონტაქტური ძაბვა (მპა) შეუღლებაში განისაზღვრება გამოსახულებით

$$\sigma_{H \max} = b \frac{E \cdot \varepsilon}{r}. \quad (7.12)$$

თეორიული, კერძოდ, ბემოხსენებული გრაფიკულ-ანალიზური მასალის და მრავალრიცხოვანი ექსპერიმენტული გამოკვლევის საფუძველზე დადგენილ იქნა, რომ „შექცეული წყვილების“ გამოყენების დროს სხვადასხვა რადიალურ დატვირთვებზე საკონტაქტო კუთხე 20...30%-ით მეტია „პირდაპირი წყვილის“ გამოყენებასთან შედარებით, რაც ცალკეულ შემთხვევაში იწვევს კონტაქტური ძაბვის 20%-მდე შემცირებას და, შესაბამისად, ხახუნის კვანძების ხანგამძლეობისა და ცვეთამედეგობის მნიშვნელოვნად გაზრდას.

მაქსიმალური კონტაქტური ძაბვების გასაზღვრის ანალიზი აღნიშნული მეთოდის საფუძველზე თვალსაჩინოდ ადასტურებს სრიალის საკისრებში „შექცეული წყვილის“ გამოყენების უპირატესობებს.

7.6. დასაშვები ძაბვების შერჩევის მეთოდის (პლასტმასოვანი საღებებისათვის)

როგორც უკვე აღვნიშნეთ, სრიალის საკისრების გაანგარიშება დასაშვებ კონტაქტურ ძაბვებზე ლითონური საღებების გამოყენების დროს ნაკლებად აქტუალური საკითხია და უმრავლეს შემთხვევაში იგი არ არის საკისრის მუშაობის უნარის მალიმიტირებელი. ამასთან, დასაშვები ძაბვების შერჩევის მეთოდის ლითონებისათვის შედარებით კარგად არის დამუშავებული და წარმოდგენილი ტექნიკურ ლიტერატურაში. შესაბამისად, მათი შერჩევა არ არის დაკავშირებული რაიმე სირთულესთან. აღნიშნული მიზეზების გამო დასაშვები ძაბვების შერჩევა ლითონური საღებებისათვის მოცემულ ნაშრომში არ განიხილება.

განსხვავებულ ყურადღებას ითხოვს პლასტმასოვანი სრიალის საკისრების გაანგარიშების დროს დასაშვები ძაბვების შერჩევის საკითხი.

პლასტმასოვანი სრიალის საკისრების საპროექტო გაანგარიშების დროს დასაშვები ძაბვების შერჩევის შედარებითი სირთულე განპირობებულია პლასტმასების, როგორც კონსტრუქციული მასალების სპეციფიკურობით, მათი დაძაბულ მდგომარეობაში მოქცევის ხასიათით, მიღვის უნარის ტემპერატურაზე აშკარად გამოხატული დამოკიდებულებით, დატვირთვის შედეგად ძალოვანი დეგალების ფორმისა და ზომების ცვლილებებით, დატვირთვის მოქმედების დროის მნიშვნელოვანი გავლენით საკისრის მუშაობის უნარზე და ა.შ.

პლასტმასოვანი სრიალის საკისრებისათვის დამახასიათებელია ის, რომ პლასტმასის საღების გეომეტრიული ფორმის შეცვლამ დატვირთვის შედეგად შეიძლება მიგვიყვანოს ისეთ ცვლილებებთან, რომლებიც გადააჭარბებენ დეგალის ზღვრულ დასაშვებ მდგომარეობას, რომელიც, თავის მხრივ, განსაზღვრულია კვანძის ფუნქციურ-კონსტრუქციული მოთხოვნებით.

ამის გამო პლასტმასის საღებები (ხშირად სხვა დატვირთული პლასტმასის დეგალებიც) მიზანშეწონილია გაანგარიშებულ იქნეს კონსტრუქციულ-გეომეტრიულ განსაზღვრულობაზე, რომელიც განაპირობებს მის ეფექტურ ფუნქციონირებას.

სხვა სიტყეებით, სრიალის საკისრების პლასტმასის საღებების გაანგარიშება კონტაქტურ ძაბვებზე მიზანშეწონილია გულისხმობდეს არა ცალკე აღებული მაქსიმალური მრღვევი კონტაქტური ძაბვის განსაზღვრას, არამედ იმ კონტაქტური ძაბვის განსაზღვრას, რომელიც იწვევს მაქსიმალურ დასაშვებ დეფორმაციას.

მაგალითად, თანამედროვე მექანიკური სისტემების სრიალის საკისრების ნორმალური ფუნქციონირება მნიშვნელოვანწილად არის დამოკიდებული ლილვისა და საკისრის ღერძების ურთიერთგადანაცვლებასა და საკისრის საღების გეომეტრიულ უცვლელობაზე ექსპლუატაციის პროცესში.

ამგვარად, დასაშვები ძაბვების შერჩევის მეთოდიკა პლასტმასოვანი სრიალის საკისრებისათვის ეფუძნება იმ გარემოებას, რომ ღვინდება პლასტმასის საღების ის მდგომარეობა, რომელიც მიიჩნევა ზღვრულად. შემდგომ განისაზღვრება ძაბვა, რომელიც შეესაბამება ამ მდგომარეობას და იგი იწოდება საწყის დასაშვებ ძაბვად. დაბოლოს, საწყისი დასაშვები ძაბვა დაზუსტებული უნდა იქნეს მაკორექტირებელი კოეფიციენტებით, რომლებიც ითვალისწინებენ კონსტრუქციულ, ტექნოლოგიურ, საექსპლუატაციო და სხვა ფაქტორების გავლენას პოლიმერული მასალების მექანიკურ მახასიათებლებზე.

პლასტმასის საღების ზღვრული მდგომარეობა განისაზღვრება კონსტრუქტორის მიერ საერთო კონსტრუქციული მოსაზრებების საფუძველზე დეფორმაციათა ზღვრების

მონიშნით, რომელიც ამასთანავე ძირითადად უნდა შეესაბამებოდეს დეტალის ღრეკად დეფორმაციას დიაპაზონს.

მაგალითად, კბილანური გადაცემების შემთხვევაში სრიალის საკისრის ღრეკოსა და შეუღლებული დეტალების ჯამური დეფორმაცია უნდა თავსდებოდეს იმ დაშვებათა ველში, რომელიც უზრუნველყოფს ნორმალურ კბილანურ მოდებას ექსპლუატაციის პროცესში.

თეორიული და ექსპერიმენტული კვლევები ადასტურებენ, რომ ანტიფრიქციული თერმოპლასტების სიმტკიცის მღვარს შეესაბამება დეტალის მომების 6...8%-ით დეფორმირება. მეორეს მხრივ, ცნობილია, რომ იმავე მასალებისაგან დამზადებული სრიალის საკისრების სადებები დამაკმაყოფილებლად ფუნქციონირებენ იმ შემთხვევაში, როცა დაგვირთვის შედეგად ფარდობითი დეფორმაცია არ აღემატება 2%-ს (რაც შეესაბამება ნარჩენი დეფორმაციის არა უმტეს 0,3%-ს), მხოლოდ იშვიათ შემთხვევაში შეიძლება ფარდობითი დეფორმაცია გაიზარდოს 3%-მდე.

აღნიშნული შუალედი მექანიკური სისტემების პლასტმასოვანი სრიალის საკისრებისათვის მიიჩნევა ე. წ. მღვრულ მდგომარეობად, ხოლო მეორეს მხრივ, საკმაო სიმუსტის დაშვებით განიხილება, როგორც სუფთა ღრეკადი დეფორმაციების დიაპაზონი.

უკანასკნელი დაშვების საფუძველზე დეფორმაციისა და ძაბვის დამოკიდებულების ინტეგრალური განტოლება ბლანგ-ღრეკადი მასალებისათვის (ვოლტერის I გვარის განტოლება) გადაიქცევა ჩვეულებრივ ჰუკის კანონად, რომელიც სამართლიანია მხოლოდ იდეალურად ღრეკადი სხეულებისათვის.

გემოაღნიშნულის საფუძველზე პლასტმასოვანი სრიალის საკისრებისათვის დასაშვები ფარდობითი დეფორმაციის ε_p საშუალებით ჰუკის კანონის საფუძველზე შესაძლებელია ვიპოვოთ საწყისი დასაშვები ძაბვა

$$\sigma_{p_0} = E \cdot \varepsilon_p, \quad (7.13)$$

სადაც E არის ნამდვილი ღრეკადობის მოდული (7.7), მპა; σ_{p_0} – საწყისი დასაშვები ძაბვა ღრეკადი მასალებისათვის, მპა; ε_p – დასაშვები ფარდობითი დეფორმაცია.

მოგ შემთხვევაში σ_{p_0} -ის განსაზღვრისათვის მოსახერხებელია ვისარგებლოთ თეორიული და ექსპერიმენტული კვლევების საფუძველზე მიღებული ციფრობრივი მონაცემებით. ქვემოთ მოყვანილია საორიენტაციო მონაცემები პრაქტიკაში ყველაზე ხშირად გამოყენებული ზოგიერთი მასალისათვის:

$\sigma_{p_0} = 24$ მპა – პოლიამიდ 6-ისთვის, როცა ფარდობითი დეფორმაცია 2%-ის გოლია;

$\sigma_{p_0} = 36$ მპა – პოლიამიდ 6-ისთვის, როცა ფარდობითი დეფორმაცია 3%-ის ტოლია;

$\sigma_{p_0} = 40$ მპა – პოლიამიდ 66-ისთვის, როცა ფარდობითი დეფორმაცია 2%-ის ტოლია;

$\sigma_{p_0} = 60$ მპა – პოლიამიდ 66-ისთვის, როცა ფარდობითი დეფორმაცია 3%-ის ტოლია;

$\sigma_{p_0} = 56$ მპა – პოლიაცეტალებისათვის, როცა ფარდობითი დეფორმაცია 2%-ის ტოლია;

$\sigma_{p_0} = 80$ მპა – პოლიაცეტალებისათვის, როცა ფარდობითი დეფორმაცია 3%-ის ტოლია.

პოლიმერული მასალების მექანიკური მაჩვენებლების საბოლოო შეფასებისათვის, როგორც უკვე აღვნიშნეთ, აუცილებელია კონსტრუქტორული, ტექნოლოგიური, საექსპლუატაციო და სხვა ფაქტორების გათვალისწინება. შესაბამისად, დასაშვები კონტაქტური ძაბვა პლასტმასის სადებებისათვის იქნება:

$$\sigma_p = \sigma_{p_0} \cdot K_1 \cdot K_2 \cdot K_3 \cdot K_4 \cdot K_5 \cdot K_6, \quad (7.14)$$

სადაც K_1 ტექნოლოგიური კოეფიციენტი, რომელიც ითვალისწინებს სადების დამზადების ტექნოლოგიურ მეთოდს და იღება ზღვრებში:

0,95...1,0 – დეტალებისათვის, რომლებიც დამზადებულია ავტომატურ-საჩამოსხმო მანქანების გამოყენებით;

0,80...0,9 – დეტალებისათვის, რომლებიც დამზადებულია შპრიც-წნეხების გამოყენებით;

0,70...0,80 – დეტალებისათვის, რომლებიც დამზადებულია ავტოკლავების გამოყენებით.

K_2 არის გენშემცველობის კოეფიციენტი, რომელიც ითვალისწინებს ანტიფრიქციული პოლიმერული მასალების მექანიკური მაჩვენებლების შემცირებას გენის შემცველობის გამო და იღება ზღვრებში:

0,95...0,98 – პოლიამიდ 6-ის სადებებისათვის;

0,98...1,0 – პოლიამიდ 66-ის სადებებისათვის;

1,0 – პოლიაცეტალის სადებებისათვის.

K_3 არის კონცენტრაციის კოეფიციენტი, რომელიც ითვალისწინებს ჩამოსხმულ დეტალში კონცენტრაციის კერებს და იღება ზღვრებში:

0,45...0,8 – რთული კონფიგურაციის სადებებისათვის (იგულისხმება დეტალში არაერთნაირი განივკვეთები, არხები, ჭრილები, ნახვრეტები და სხვ.);

0,85...0,95 – მილისას ფორმის მარტივი ფორმის სადებებისათვის.

K_4 არის დაღლილობითი სიმტკიცის კოეფიციენტი, რომელიც ითვალისწინებს ცვლადი (ციკლური) დატვირთვების მრავალჯერად მოქმედებას და იღება ზღვრებში – 0,5...0,7. არაციკლიური დატვირთვების შემთხვევაში – 0,9...1,0.

K_5 არის ჭეჭის კოეფიციენტი, რომელიც ითვალისწინებს ჭეჭის გავლენას საღების დაძაბულ მდგომარეობაზე და იღება ზღვრებში 0,6...1,0.

K_6 არის გაანგარიშების სიმუსისა და მარაგის კოეფიციენტი და იღება ზღვრებში 0,5...1,0.

ზოგიერთი ანტიფრიქციული პოლიმერული მასალის ცალკეული მექანიკური მახასიათებლები

ცხრილი 7.1

№	მასალის დასახელება	სიმტკიცის ზღვარი კუმშვაზე, მპა	ღრეკალობის მოდული, E_0 , მპა	პუასონის კოეფიციენტი	ღნობის ტემპერატურა	ხაზობრვი გაფართოების ტემპ. კოეფ., 10^{-5} ერთ კელვინზე	თბოგამტარობის კოეფ. ვტ/მ.კელვინი
1	პოლიამიდ 6	90	1100	0,4	215	8...11	0,29
2	პოლიამიდ 66	90	1200	0,4	219...220	8...11	0,29
3	ფთოროპლასტ 4	12	470...850	0,45	327	8...25	0,25
4	პოლიაცეტალი (პოლიფორმალდეჰიდი)	130	3600	0,35...0,4	170...180	8	0,29

ზიდვის უნარის დამოკიდებულება ტემპერატურაზე და დატვირთვის ხანგრძლივობაზე არ გაითვალისწინება მაკორექტირებელი კოეფიციენტებით. აღნიშნული ფაქტორები გათვალისწინებულია ღრეკალობის მოდულის ნამდვილი მნიშვნელობის განსაზღვრის დროს, რომელიც, თავის მხრივ, განაპირობებს საწყისი დასაშვები ძაბვის სიდიდეს.

ზოგიერთი ანტიფრიქციული მასალის ფოლადთან ხახუნის საორიენტაციო კოეფიციენტები

ცხრილი 7.2

№	მასალის დასახელება	შეზეთვის გარეშე	კონსისტენციური შეზეთვა	შემღულული შეზეთვა (წვეთოვანი)	წყლით შეზეთვა
1	პოლიამიდ 6	0,06–0,2	0,03–0,13	0,03–0,05	0,04–0,1
2	პოლიამიდ 66	0,06–0,2	0,03–0,13	0,03–0,05	0,04–0,1
3	ფთოროპლასტ 4	0,04–0,06	0,04–0,09	0,02	0,02
4	პოლიაცეტალი (პოლიფორმალდეჰიდი)	0,09–0,12	0,03–0,1	0,01–0,04	0,09

შენიშვნა: 1. კოეფიციენტების შეფასება შესრულებულია სხვადასხვა ლიგერატურული და ექსპერიმენტული მონაცემებისა და ავტორის ექსპერიმენტული კვლევების საფუძველზე.

2. მონაცემები საჭიროებს შემდგომ დიფერენციაციას და დამუსტებებს.

7.7. გრიბოსისგემების თბური გაანგარიშების საფუძვლები

სითბოს ინგენსიური გამოყოფა გრიბოლოგიური პროცესისათვის ერთ-ერთი მთავარი დამახასიათებელი და უეჭველი თანმხლები მოვლენაა. ამასთან, წარმოქმნილი სითბოს წყაროდ მიჩნეულია მოხახუნე ზედაპირების მიკრობორცვების მოჭრისა და პლასტიკური დეფორმაციების (მოთელვის) მოვლენები, რაც, თავის მხრივ, იწვევს დეგალის მასალის კრისტალური მესრის შეცვლას და რომელიც ლოკალურად გემპერატურის მომაგებაში ვლინდება. რიგი ექსპერიმენტული გამოკვლევების საფუძველზე მიჩნეულია, რომ მოხახუნე ზედაპირების ფაქტიური საკონტაქტო წერტილებში ჩნდება გემპერატურული პიკები, რომელთა აბსოლუტური მნიშვნელობა $900-1000^{\circ}C$ -ს აღწევს.

გრიბოლოგიური პროცესის დროს წარმოქმნილი სითბოს ნაკადი მოემართება სხეულის სიღრმეში და გადაეცემა გარემოს. ამასთან, გამოყოფილი სითბო განშტოვდება რამდენიმე ნაკადად – თვით მოხახუნე სხეულებში, ჰაერში და შემზეთ მასალაში.

ზოგადად მოხახუნე სხეულების საშუალო გემპერატურას განსაზღვრავს მათი თბოფიზიკური თვისებები, ზედაპირების პროფილის პარამეტრები (ისინი მნიშვნელოვან როლს ასრულებს თბოგაცვლის პროცესში), გრიბოსისგემის მუშაობის რეჟიმი და სხეულების გარემოსთან თბოგაცვლის საერთო პირობები. მოხახუნე სხეულის საშუალო გემპერატურა კი დიდად მოქმედებს ხახუნის კოეფიციენტზე, ცვეთის ხასიათსა და, შესაბამისად, გრიბოლოგიური სისგემის ხანგამძლეობაზე. ამ ფაქტორის მიმართ განსაკუთრებით მგრძობიარეა გრიბოსისგემები, სადაც გამოყენებულია პლასტმასოვანი სადებები. აღნიშნულის გამო გრიბოსისგემის მუშაობის უნარის ძირითად კრიტერიუმად ხშირად მიიჩნევენ მის თბურ რეჟიმს.

გრიბოსისგემების გემპერატურულ გაანგარიშებას საფუძვლად ედება ენერჯის შენარჩუნების კანონი, რომლის არსი განხილული პირობებისათვის ასეთია: ხახუნის შედეგად გამოყოფილი სითბო ხმარდება მანქანის შესაბამისი დეგალებისა და გარემო სფეროს გათბობას.

თბურ პროცესებში, რაც მიმდინარეობს გრიბოსისგემებში, არჩევენ ორ ძირითად სკადიას:

1. არადაამყარებულ რეჟიმს, რომელიც ხასიათდება გრიბოსისგემის გემპერატურის ცვლილებით დროში. ასეთი რეჟიმია კვანძის გაშვებისა და გაჩერების ან მანქანის ხანმოკლე მუშაობის დროს.

2. დამყარებული რეჟიმი, რომელიც ხასიათდება ტემპერატურის მუდმივობით დროში.

ტემპერატურული რეჟიმის რეგულირება კონსტრუქციულად შესაძლებელია გრიბოსისტემებში საშუალო წნევისა და ლილვის ბრუნთა სიხშირის შეცვლით, გარდა ამისა, გრიბოსისტემების თბური პირობების ცვლილებით.

განვიხილოთ მოგადად გრიბოსისტემების თბური პროცესები სრიალის საკისრის მაგალითზე.

არადაამყარებული რეჟიმის დროს სითბოს ნაწილი იხარჯება მანქანის დეტალების (საკისარი, ლილვი, კორპუსი) გახურებაზე, ნაწილი კი იმავე დეტალების მეშვეობით გადაეცემა გარემოს.

საინჟინრო პრაქტიკაში ტემპერატურული გაანგარიშების ამოცანას წარმოადგენს გახურების ტემპერატურის განსაზღვრა საკისრის მუშა მონაში.

დამყარებული რეჟიმის დროს საკისრის კვანძის თბური წონასწორობის პირობას აქვს შემდეგი სახე [1]:

$$\Phi = \Phi_{\kappa} + \Phi_{\lambda}, \quad (7.15)$$

სადაც Φ საკისარში დროის ერთეულში გამოყოფილი სითბოს რაოდენობაა (ანუ სითბოს ნაკადი, თბური სიმძლავრე); Φ_{κ} – საკისრის მიერ დროის ერთეულში მუშა მონიდან არინებული სითბოს რაოდენობა; Φ_{λ} – ლილვის მიერ დროის ერთეულში მუშა მონიდან არინებული სითბოს რაოდენობა.

საკისარში გამოყოფილი სითბო დროის ერთეულში შეიძლება განისაზღვროს შემდეგი დამოკიდებულებით, ვგ (1,163 ვგ = 1 კკალ/სთ):

$$\Phi = f \cdot F_r \cdot \omega \cdot r, \quad (7.16)$$

სადაც f ხახუნის კოეფიციენტია; F_r – რადიალური დატვირთვა საკისარზე, ნ; ω – ლილვის კუთხური სიჩქარე, რად/წმ; r – საკისრის რადიუსი, მ.

საკისრისა და ლილვის მიერ მუშა მონიდან არინებული სითბოს რაოდენობის განსზღვრისათვის გამოყვანილი ფორმულები ეფუძნებიან ფურიეს კანონს და საჭირო სიმუსგის შედეგებს იძლევიან, თუ სრულდება შემდეგი პირობები:

- სხეულები იზოტროპულია;
- სხეულის გასწვრივ ტემპერატურა უმნიშვნელოდ იცვლება.

აღნიშნული პირობების შესაბამისად საანგარიშო ფორმულების გამარტივებისათვის შემოღებულია შემდეგი დაშვებები:

1. ლილვის ღერძიდან თანაბრად დაშორებულ საკისრის ყველა წერტილში გემპერატურა ერთნაირია;

2. გემპერატურა სადების მუშა ზონაში მუდმივია და სითბო საკისარში ვრცელდება მხოლოდ რადიალური მიმართულებით.

უკანასკნელი დაშვება სავსებით მისაღებია პლასტმასოვანი თხელსადებებიანი საკისრებისათვის (თბოგამგარობის კოეფიციენტი პლასტმასებისათვის 400-600-ჯერ ნაკლებია ბრინჯაომე), მაგრამ დიდ მარაგს იძლევა ლითონურსადებებიანი საკისრებისათვის.

საკისრის მიერ მუშა ზონიდან არინებული სითბოს რაოდენობა ერთეულ დროში შეიძლება განისაზღვროს დამოკიდებულებით (ვგ)

$$\Phi_{\nu} = K_{\nu} \cdot l(t_{\theta} - t_0), \quad (7.17)$$

სადაც t_{θ} გემპერატურაა საკისრის მუშა ზონაში, კელვინი (K); t_0 – გარემოს გემპერატურა, კელვინი (K); l – საკისრის სიგრძე, მ; K_{ν} – საკისრის თბოგადაცემის ჯამური კოეფიციენტი, რომელიც დამოკიდებულია საკისრის კონსტრუქციულ გადაწყვეტაზე, გეომეტრიულ პარამეტრებზე, მასალების თბოგამგარობისა და თბოგადაცემის კოეფიციენტებზე (არ უნდა აგვერიოს ერთმანეთში თბოგადაცემისა და თბოგაცემის კოეფიციენტები, რომლებსაც განსხვავებული ფიზიკური შინაარსი და განზომილებები აქვთ).

K_{ν} კოეფიციენტი ახასიათებს საკისრის უნარს, გააგაროს და გადასცეს სითბო. მისი შებრუნებული სიდიდე 3 ფენიანი ტიპური საკისრის შემთხვევაში, როცა ანტიფრიქციული სადები ჩაწნეხილია ფოლადის ჭიქაში, ხოლო იგი – თავის მხრივ, მანქანის კორპუსში, იქნება $\frac{\text{მ} \cdot \text{კელვინი}}{\text{ვტ}}$ [1]:

$$\frac{1}{K_{\nu}} = \frac{1}{2 \cdot \varphi_0} \left(\frac{1}{\lambda_1} \ln \frac{d+2\delta}{d} + \frac{1}{\lambda} \ln \frac{D}{d+2\delta} \right) + \frac{1}{\pi} \left(\frac{1}{2\pi} \ln \frac{D_3}{D} + \frac{1}{\alpha \cdot D_3} \right), \quad (7.18)$$

სადაც φ_0 – საკონტაქტო კუთხეა, გრად.; λ_1 – სადების თბოგამგარობის კოეფიციენტი (ცხრ. 7.1, 7.4), $\frac{\text{ვტ}}{\text{მ} \cdot \text{კელვინი}}$; d – ლილვის დიამეტრი, მ.; δ – პლასტმასის სადების სისქე, მ.;

λ – ჭიქის და კორპუსის თბოგამგარობის კოეფიციენტი (ცხრილი 7.4) – $\frac{\text{ვტ}}{\text{მ} \cdot \text{კელვინი}}$;

D – ლითონის ჭიქის გარე დიამეტრი, მ.; D_3 – საკისრის კორპუსის დიამეტრი, მ.;

α – საკისრის ზედაპირის თბოგაცემის კოეფიციენტი (შემოქრევის გარეშე $\alpha=12...14$)

$$\frac{\text{მბ}}{\text{მ}^2 \cdot \text{კელვინი}};$$

შემოქრევის შემთხვევაში α შეიძლება განისაზღვროს დამოკიდებულებით

$$\alpha = 17\sqrt{V}, \tag{7.19}$$

სადაც V შემოქრევის სიჩქარეა, რომელიც დამოკიდებულია ლილვისა და მასზე დასმული დეტალების ბრუნვათა სიხშირეზე (გამოსახულებაში V -ს მინიმალური სიდიდეა 1მ/წმ), მ/წმ .

ლილვის მიერ მუშა ბონიდან არინებული სითბოს რაოდენობა ერთეულ დროში შეიძლება ასე განისაზღვროს, ვგ:

$$\Phi_c = c(t_{\text{ლ}} - t_0), \tag{7.20}$$

სადაც $c = c_1 + c_2$ ლილვის თითოეული მხარის თბოგადაცემის ჯამური კოეფიციენტია და დამოკიდებულია ლილვის გეომეტრიულ პარამეტრებზე, $\frac{\text{მბ}}{\text{კელვინი}}$; c_1 და c_2 კოეფიციენტების მნიშვნელობები მოცემულია 7.3 ცხრილში;

ცხრილი 7.3

ლილვის თბოგადაცემის კოეფიციენტები

ლილვის ტიპი	ლილვის კონსტრუქცია, თბოგაცემის პირობები	თბოგადაცემის ჯამური კოეფიციენტის განსაზღვრისათვის საჭირო გამოსახულებანი, $\frac{\text{მბ}}{\text{კელვინი}}$	თბოგადაცემის ჯამური კოეფიციენტის განსაზღვრისათვის საჭირო სიდიდეები
I	უსასრულო სიგრძის ლილვი. თბოგაცემა გვერდითი ზედაპირიდან	$c_I = \frac{\pi}{2} \sqrt{\alpha_1 \cdot \lambda \cdot d^3}$	α_1 – მოძრავი ან უძრავი ლილვის გვერდითი ზედაპირის თბოგაცემის კოეფიციენტი; λ – ლილვის თბოგამტარობის კოეფიციენტი; d – ლილვის დიამეტრი;
II	სასრული L სიგრძის ლილვი. თბოგაცემა გვერდითი ტორსული ზედაპირიდან	$c_{II} = \lambda \cdot f \cdot m \cdot \times \frac{sh(mL) + Bch(mL)}{ch(mL) + Bch(mL)}$	$m = 2\sqrt{\frac{\alpha_1}{\lambda \cdot d}}$; $B = \frac{\alpha_2}{\lambda \cdot m}$
III	ძალიან მცირე სიგრძის ლილვი ($L = 0$). თბოგაცემა მხოლოდ ტორსული ზედაპირიდან	$c_{III} = \alpha^2 \frac{\pi \cdot d^2}{4}$	$f = \frac{\pi \cdot d^2}{4}$ α_2 – ლილვის ტორსული ზედაპირის თბოგაცემის კოეფიციენტი

t_0 – გარემოს ტემპერატურა, კელვინი (K); t_{∞} – ლილვის ზედაპირის ტემპერატურა, კელვინი (K), და როცა საკისარი უძრავია და ლილვი ბრუნავს, შეიძლება დავუშვათ, რომ

$$t_{\infty} = t_b,$$

(7.21) (7.15) გამოსახულებაში (7.16), (7.17), (7.20) და (7.21) გამოსახულებების ჩასმით და შესაბამისი ელემენტარული მათემატიკური გარდაქმნების შემდეგ მუშა მონაში ტემპერატურა

$$t_{\theta} = \frac{f \cdot F_r \cdot \omega \cdot r + t_0 (K_b \cdot l + C)}{K_b \cdot l + C}. \quad (7.22)$$

(7.20) გამოსახულებაში შესაბამისი წევრები დასაშვებია $^{\circ}C$ -ში.

საკისრის კვანძის პერიოდული მუშაობის შემთხვევაში საჭირო ხდება განისაზღვროს დროის ის T მონაკვეთი, როცა ტემპერატურა აღწევს t_p დასაშვებ მღვარს.

ამ შემთხვევისათვის თბური ბალანსის განგოლებას ექნება ასეთი სახე:

$$\Phi \cdot T - T(c + K_b \cdot l)(t_p - t_0) = mC(t_p - t_0), \quad (7.23)$$

სადაც $\Phi \cdot T$ არის T დროში გამოყოფილ სითბოს რაოდენობა, ჯოული; $T(c + K_b \cdot l)(t_p - t_0)$ – T დროში გარემოზე გადაცემული სითბო, ჯოული; $mC(t_p - t_0)$ – კვანძის დეგალეების გათბობაზე დახარჯული სითბო, ჯოული; C – მასალის ხვედრითი თბოტევადობა, $\frac{\text{ჯოული}}{\text{კგ} \cdot \text{კელვინი}}$ (სპილენძი, თითბერი – $C = 0,4$; რკინა – $C = 0,46$; ალუმინი

– $C = 0,88$), სადაც განზომილებაა

$$\left(\frac{\text{კკალ}}{\text{კგ} \cdot \text{გრად}} = 4,1868 \frac{\text{კჯოული}}{\text{კგ} \cdot \text{კელვინი}} \right);$$

m – გაცხელებული დეგალეების მასა, განისაზღვრება ფორმულით, კგ,

$$m = m_1 + \beta \cdot m_2 + \beta \cdot m_3, \quad (7.24)$$

სადაც m_1 3-4 დიამეტრის სიგრძის ლილვის მასაა, კგ; m_2 – საკისრის მასა, კგ; m_3 – საკისართან უშუალო სიახლოვეს მყოფი და მასთან ერთად გაცხელებული დეგალეების მასა, კგ; β – კოეფიციენტი, რომელიც ითვალისწინებს ტემპერატურათა სხვაობას ხახუნის მონაში და დეგალის პერიფერიაზე:

$$\beta = \frac{0,5 - 2\rho}{0,5 + 2\rho}, \quad (7.25)$$

სადაც ρ მანძილია ხახუნის ზონიდან ღებალის ყველაზე უფრო დამორებულ წერტილამდე, მ.

(7.23)-დან საკისრის კვანძის t_p გემპერატურამდე გაცხელების დრო განისაზღვრება გამოსახულებით

$$T = \frac{mC(t_p - t_0)}{\Phi - (c + K_b \cdot l)(t_p - t_0)}, \quad (7.26)$$

ხოლო თუ აუცილებელია განისაზღვროს საკისრის მუშა გემპერატურა რაღაც T დროში, მაშინ ბალანსის განტოლებაში მიიღება, რომ $t_p = t_a$ და

$$t_a = \frac{\Phi T}{T(c + K_b l) + mC} + t_0. \quad (7.27)$$

მიახლოებითი საორიენტაციო გაანგარიშებისათვის შეიძლება ვისარგებლოთ გამარტივებული დამოკიდებულებებით, როცა იგულისხმება, რომ საკისრის კორპუსისა და ლილვის მეშვეობით ხახუნის ზონიდან არინებული სითბო პროპორციულია რაღაც პირობითი A ფართობის, გემპერატურათა სხვაობის $-(t_a - t_0)$ და თბოდაცემის α კოეფიციენტისა, ე.ი.

$$\Phi = \alpha(t_a - t_0)A, \quad (7.28)$$

სადაც Φ გამოყოფილი ან ხახუნის კვანძიდან გაგანილი სითბოა, ვტ; $A = A_1 + A_2$ – ხახუნის კვანძის თბოდაცემის პირობითი ფართობი, მ²; A_1 – საკისრის კორპუსის თბოდაცემის პირობითი ფართობი (მ²) დამოკიდებულია საკისრის კონსტრუქციაზე და მომებზე. საშუალოდ იღება $A_1 = 25d^2$ ან $A_1 = 20 dl$, სადაც d და l , შესაბამისად, არის საკისრის დიამეტრი (მ) და სიგრძე (მ).

ზოგჯერ A_1 -ს ირჩევენ ზღვრებში (12...40) dl .

ტიპური სრიალის საკისრებისათვის კორპუსის თბოდაცემის ფართობი შეიძლება განისაზღვროს საკისრის მთლიანი H სიმაღლისა და ღერძის მიმართულებით l სიგრძის მიხედვით

$$A_1 = \pi \cdot H(l + 0,5H), \quad (7.29)$$

A_2 ლილვის თბოდაცემის პირობითი ფართობია (მ²) და ლილვის თითოეული მხარისათვის იღება (5...8) d^2 . მნიშვნელობები მცირე აიღება, როცა ლილვის დიამეტრი $< \Phi 100$ -ზე, ხოლო დიდი – როცა დიამეტრი $> \Phi 100$ -ზე.

თბოგამტარობის მნიშვნელობები 20 და 100°C ტემპერატურის დროს

№ პოზ.	მასალა	თბოგამტარობა λ, ვტ/მ. კელვინი	
		როცა t=20°C	როცა t=100°C
1	ტექნიკური ალუმინი	202	206
2	ალუმინის შენადნობები:		
	8%-იანი მაგნიუმით	105	123
	20%-იანი სილიციუმით	160	169
3	დურალუმინი	165	181
4	კალიანი ბაბიგი (დიდი მნიშვნელობა შეესაბამება კალის მცირე შემცველობას)	58...70	47...58
5	ბაბიგი (ტყვიის)	35...47	29...41
6	კალიანი ბრინჯაო	58...81	52...76
7	ალუმინიანი ბრინჯაო	81...94	70...81
8	თითბერი 60	108	120
9	საშუალო ნახშირბადიანი ფოლადი	52...58	47...52
10	რუხი თუჯი	56...64	50...58
11	დაწნეხილი გრაფიტი	105...116	99...110
12	ტექსტოლიტი	0,23...0,35	
13	პოლიამიდი	0,25	

(7.28) გამოსახულებაში დანარჩენი პარამეტრები იგივეა, რაც ზემოთ მოყვანილ გამოსახულებაში იყო გამოყენებული.

მიახლოებითი ანგარიშებისათვის საშუალოდ მიიჩნევენ, რომ თბოგადაცემა ლილვის მეშვეობით, საკისრის თბოგადაცემის 50%-ს შეადგენს.

(7.28) გამოსახულებიდან განისაზღვრება ტემპერატურა ხახუნის ზონაში

$$t_s = \frac{\Phi}{\alpha \cdot A} + t_o \quad (7.30)$$

ბუნებრივია, ყველა შემთხვევაში უნდა შესრულდეს პირობა

$$t_a \leq t_p.$$

ამასთან, ყველა მიღებულ ანალიზურ გამოსახულებაში მიჩნეულია, რომ თბოგევალობა, თბოგადაცემა და თბოგამტარობა არ არის დამოკიდებული ტემპერატურაზე.

მექანიკური სისტემების მექანიკურ მაჩვენებლებზე და საერთო მდგომარეობაზე მნიშვნელოვანწილად მოქმედებს ის გარემოება, რომ მოხახუნე ზედაპირზე ტემპერატურის გაზრდა იწვევს ხახუნის ძალის მოლეკულური (აღჭიმური) და მექანიკური (კოჭიმური) შემდგენების შეცვლას. ცვლილებების მასშტაბები დიდად არის დამოკიდებული მოხახუნე დეგალეების მასალების გვარობაზე.

ლითონური ზედაპირებისათვის ხახუნის ძალის მექანიკური შემდგენები ტემპერატურის მომატებით მასალის სისალის შესაბამისი შეცვლის შედეგად იცვლება (არალითონური, მაგალითად, პოლიმერული მასალებისათვის ეს მომენტი კიდევ უფრო გამოკვეთილია). ლითონური მასალების სისალის დამოკიდებულება ტემპერატურაზე განისაზღვრება ექსპონენციალური დამოკიდებულებით [23]:

$$H = H_0 \cdot e^{-\beta \cdot \Delta t},$$

სადაც H_0 მასალის სისალეა საწყის ტემპერატურაზე; β – მაჩვენებლიანი დამოკიდებულების ტემპერატურული კოეფიციენტი; Δt – ზედაპირების ტემპერატურული ნაზრდი.

შემოთ მოყვანილი დამოკიდებულება გვიჩვენებს, თუ როგორი ხარისხით ხდება ტემპერატურის მომატების შედეგად მოხახუნე ზედაპირების სისალის შემცირება. ამასთან, უფრო რბილი მასალებისათვის იგი კიდევ უფრო ინტენსიურია.

აღნიშნულის გამო გრიბოლოგიურ პროცესში ტემპერატურის ზრდა იწვევს ერთი სხეულის მეორეში მეტ ჩაღრმავებას, რაც, თავის მხრივ, განაპირობებს ხახუნის ძალის მექანიკური შემდგენების გაზრდას. რაც შეეხება ხახუნის ძალის მოლეკულურ შემდგენს, იგი ტემპერატურის შეცვლის შედეგად სხვადასხვაგვარად იცვლება გრიბოლოგიური სისტემის კონსტრუქციის და მასალის გვარობის მიხედვით.

ლითონური მასალებისაგან დამზადებული ხახუნის კვანძის დეგალეებისათვის გრიბოლოგიური პროცესის ნორმალურ პირობებზე ითვლება ტემპერატურული მღვარი $t_g < (0,2 \dots 0,3) t_{\text{ღ}}$, სადაც $t_{\text{ღ}}$ მასალის ღნობის ტემპერატურაა. ამასთან, ტემპერატურულ დიაპაზონში $(0 \dots 0,2) t_{\text{ღ}}$ ხდება ხახუნის ძალის მოლეკულური შემდგენის შესაბამისად შემცირება, რაც განპირობებულია ზედაპირზე სწრაფი დაქანგვის გამო თხელი აფსკების წარმოშობით. ხოლო ტემპერატურის შემდგომი გადიდება იწვევს კონტაქტში მყოფი ბორცვების ერთმანეთთან ინტენსიურ შეჭიდულებას (მაღალი

გემპერატურის გამო ჟანგის თხელი აფსკი ამ მოვლენას ხელს ვეღარ უშლის და იზრდება ხახუნის ძალის მოლეკულური შემდგენი).

განსხვავებული სურათია, როდესაც მოხახუნე ბელაპირთაგან ერთ-ერთი მაინც პოლიმერული მასალისგანაა დამზადებული. ასეთი კონსტრუქციული გადაწყვეტილებისათვის ხახუნის ძალის მექანიკური და მოლეკულური შემდგენების გემპერატურაზე დამოკიდებულების მექანიზმისა და ხვედრითი წილის ოდენობის განსაზღვრის საკითხი თანამედროვე მეცნიერებისათვის ჯერჯერობით დამაჯერებლად არ არის შემუშავებული, მაგრამ უდავოა ის ფაქტი, რომ კვანძის მუშა მონაში გემპერატურის გაზრდით (განსაკუთრებით, თერმოპლასტიკური მასალებისათვის) მნიშვნელოვნად იზრდება ხახუნის ძალები. ამასთან, კვანძის მუშა გემპერატურულ დიაპაზონში არ გვხვდება კრიტიკული წერტილები.

ზოგადად ყველა შემთხვევისათვის ხახუნის ძალის გემპერატურაზე დამოკიდებულების მრუდზე შეიძლება გამოიყოს ხელსაყრელი გემპერატურული რეჟიმების მონები. ამ მონების განსაზღვრა და კვანძის კონსტრუქციული გადაწყვეტა გემპერატურული რეჟიმის თვალსაზრისით არის გრიბოლოგიური სისტემის კვლევის უმნიშვნელოვანესი ეტაპი ახალი მანქანა-მოწყობილობის კონსტრუირების პროცესში.

7.8. სრიალის საკისრების კონსტრუქციული პარამეტრები

კონსტრუქციული პარამეტრების დადგენა სრიალის საკისრების გაანგარიშების განუყოფელი ნაწილია. ლითონური სადებების გამოყენების შემთხვევაში აღნიშნული საკითხი შედარებით მარტივად წყდება და იგი კარგად არის გაშუქებული ტექნიკურ ლიტერატურასა და შესაბამის დისციპლინებში. ბევრად მეტ ყურადღებას მოითხოვს კონსტრუქციული პარამეტრების დადგენა პლასტმასოვანი სადებების გამოყენების შემთხვევაში.

პლასტმასოვანი სრიალის საკისრების საიმედოობა და ხანგამძლეობა მნიშვნელოვანწილად არის დამოკიდებული მათ რაციონალურ კონსტრუირებაზე. ოპტიმალური კონსტრუქციული პარამეტრების შერჩევა მნიშვნელოვნად აუმჯობესებს გრიბოლოგიური სისტემის საექსპლუატაციო პარამეტრებსა და საიმედოობის მაჩვენებლებს.

ქვემოთ მოყვანილი კონსტრუქტორული პარამეტრების შერჩევისათვის რეკომენდებული თანაფარდობები სპეციალური გამოკვლევების საფუძველზე განზოგადებულია ლიგერატურულ წყაროებში [1], [28].

როგორც ცნობილია, პლასტმასოვანი სრიალის საკისარი უმრავლეს შემთხვევაში არის პლასტმასის სადები, რომელიც ჩაწნეხილია ფოლადის ჭიქაში, ხოლო თავის მხრივ, იგი ჩადგმულია სპეციალურ ან მანქანის კორპუსში (“პირდაპირი წყვილი”), ანდა ფოლადის ლილვზე დაწნეხილი პლასტმასის მილისა, რომელიც შეუღლებულია რომელიმე კორპუსთან (“შექცეული წყვილი”).

საანგარიშო ჩაწნეხის (დაწნეხის) ჭეჭის სიდიდემ უნდა უზრუნველყოს სადებების უმოძრაო ჩასმა საკისრის მთელი სამსახურის ვადის განმავლობაში.

ამოცანის არსი ისაა, რომ საკისრის ხანგრძლივი ექპლუატაციისა და პერიოდული გაცხელების დროს ცივი დენადობისა და ძაბვების რელაქსაციის მოვლენების გამო ჭეჭი კვანძში სუსტდება ან ქრება. შედეგად მილისა ბრუნდება შესაბამისი დეგალის მიმართ და წყდება საკისრის ფუნქციონირება. მაგრამ თუ წინასწარი ჭეჭის ხარისხი აღემატება რაღაც მნიშვნელობას, ჭეჭი ე. ი. მილისას დაძაბული მდგომარეობა პრაქტიკულად შეიძლება მუდმივად იქნას შენარჩუნებული. ამასთან, სადების დაძაბული მდგომარეობა დადებითად მოქმედებს ცვეთამედეგობაზე და ამცირებს ცივი დენადობის მოვლენებს.

ზემოთ აღნიშნულიდან გამომდინარე, მიზანშეწონილია შეუღლებაში გათვალისწინებულ იქნეს ჭეჭის მაქსიმალური მნიშვნელობა ისე, რომ აღძრული ძაბვა არ აჭარბებდეს დენადობის მღვრის ღონეს.

ექსპერიმენტული გამოკვლევების საფუძველზე პოლიამიდური სადებებისათვის ჭეჭის მნიშვნელობა რეკომენდებულია მღვრებში

$$\delta_d = (0,035 \dots 0,045) D, \quad (7.32)$$

ხოლო პოლიაცეტალის (პოლიფორმალდეჰიდის) სადებებისათვის

$$\delta_d = (0,03 \dots 0,04) D, \quad (7.33)$$

სადაც δ_d ჭეჭის აბსოლუტური სიდიდეა, მმ; D – ლითონური ჭიქის ან ლილვის დიამეტრი, მმ.

ჭეჭის ოპტიმალური მნიშვნელობების შერჩევა ზემოთ მოყვანილი დამოკიდებულებების საფუძველზე დაკავშირებულია გარკვეულ სირთულეებთან და, როგორც გამოცდილება გვიჩვენებს, ყოველ ცალკეულ შემთხვევაში კონსტრუქტორისაგან კონკრეტულ გადაწყვეტილებას მოითხოვს. საქმე ისაა, რომ შესაძლებელია ისეთი არახელსაყრელი ვითარებების დამთხვევა, როცა უმოძრაო ჩასმა ან ვერ მიიღწევა (ჭეჭის მცირე მნიშვნელობები) ან პლასტმასოვანი სადებები ვერ

უძლებენ ჩაწნების ან დაწნების შედეგად აღძრულ კონტაქტურ ძაბვებს (ჭეჯის დიდი მნიშვნელობები).

აღნიშნულის გამო ჭეჯის სიდიდის შერჩევის დროს უნდა ვიხელმძღვანელოთ შემდეგი მოსაზრებით:

- კვანძის საიმელოობის და ხანგამძლეობის გადიდების მიზნით ჭეჯის სიდიდის მნიშვნელობა შესაძლებლობის ზღვრებში უნდა იყოს მაქსიმალური;
- გრძელი და სქელკედლიანი სადებებისათვის აიღება ჭეჯის მცირე მნიშვნელობები, ხოლო მოკლე და თხელკედლიანი სადებებისათვის – ჭეჯის დიდი მნიშვნელობები;
- შემვსებიანი (გრაფიტი, ტალკი, მოლიბდენის დისულფიდი) პლასტმასისაგან დამზადებული სადებებისათვის საჭიროა ჭეჯის სიდიდე შემცირდეს;
- დაბალ მუშა ტემპერატურაზე იღებენ ჭეჯის ხარისხის მცირე მნიშვნელობებს, ხოლო მაღალზე – დიდს;
- “შექცეული წყვილისათვის” იღებენ ჭეჯის შემცირებულ მნიშვნელობებს.

რეკომენდაციებით დადგენილი ჭეჯის მნიშვნელობები ძნელად უთავსდება სახალხო მეურნეობაში მიღებულ სტანდარტულ ჩასმებს. ამიტომ ხახუნის კვანძის კონსტრუქტორულ დოკუმენტაციაში არაა რეკომენდებული მონიშნოს შეუღლების ნომინალური ზომა.

პლასტმასოვანი სრიალის საკისრის მუშაობის უნარზე მნიშვნელოვან გავლენას ახდენს ხახუნის კვანძის ღრეჩოს სიდიდე.

პოლიმერული მასალები, ხასიათდებიან რა დიდი ხაზობრივი გაფართოების ტემპერატურული და ნესტემცველობის კოეფიციენტებით, მუშაობის პროცესში ფართოვდებიან. შესაბამისად, ხახუნის კვანძში არსებული ღრეჩო შეიძლება გაქრეს და საკისარი “გაიჭედოს”. აღნიშნულის თავიდან აცილებისათვის კვანძში საჭიროა გათვალისწინებულ იქნეს გაფართოების საკომპენსაციო სიდიდე (ლითონურსადებებიან საკისრებში შესაძლებელია ამ სიდიდის უგულებელყოფა).

ღრეჩოს სიდიდის შერჩევის დროს უნდა ვხელმძღვანელობდეთ საერთო ტექნიკური მოსაზრებებით. ამასთან, მხედველობაში უნდა იქნეს მიღებული მუშაობის კონსტრუქციული და ექსპლუატაციური პირობები – შებეთვის სახე, გაცივების საშუალებები, დაგვირთვის რეჟიმი, მოხახუნე გედაპირების მდგომარეობა და ა. შ.

ღრეჩოს გადიდებული მნიშვნელობები უარყოფითად მოქმედებს მანქანის საერთო კონსტრუქციულ შეთანწყობაზე. ამას გარდა, ღრეჩოს გადიდება იწვევს მოხახუნე გედაპირებზე კონტაქტური ძაბვების გაზრდას, რაც თავის მხრივ, განაპირობებს ხახუნის კვანძის ინტენსიურ ცვეთას.

აღნიშნულის გამო ღრეჩოს ოპტიმალური სიდიდის შერჩევა გრიბოლოგიური სისტემის დაპროექტების დროს მეტად საპასუხისმგებლო საქმეა.

მრავალი ექსპერიმენტისა და თეორიული კვლევის საფუძველზე პლასტმასოვანი სრიალის საკისრების დიამეტრული ღრეჩოს შერჩევისათვის რეკომენდებულია შემდეგი თანაფარდობა:

$$\Delta=(0,004 \dots 0,015)d.$$

სადაც d ლილვის დიამეტრია, მმ.

იმის გამო, ღრეჩოს სიდიდე უდიდეს გავლენას ახდენს ხახუნის კვანძის მუშაობის უნარზე, საჭიროა დიდი სიფრთხილით იქნეს შერჩეული ღრეჩოს ოპტიმალური მნიშვნელობა. ამასთან, გათვალისწინებული უნდა იქნეს სრიალის საკისრის მუშაობის კონკრეტული პირობები და კონსტრუქციული გადაწყვეტილება. მაგალითად, თხელკედლიანი სადებებისათვის რეკომენდებულია შეირჩეს ღრეჩოს მცირე მნიშვნელობები, ხოლო სქელკედლიანებისათვის – დიდი. მოსალოდნელი მძიმე გემპერაგურულრეჟიმიანი საკისრებისათვის საჭიროა შეირჩეს ღრეჩოს დიდი მნიშვნელობები, მსუბუქისათვის – მცირე.

იმასთან დაკავშირებით, რომ ღრეჩოს გამრღა იწვევს კონტაქტური ძაბვების გამრღას კვანძში, ღრეჩოს შერჩევის შემდეგ აუცილებელია შემოწმებითი გაანგარიშება მაქსიმალურ კონტაქტურ ძაბვებზე ზემოთ მოყვანილი მეთოდით და საჭიროების შემთხვევაში ხდება მისი კორექტირება.

ამას გარდა, სპეციალურ ლიგერატურაში მოცემულია რეკომენდაციები ანალიზური გამოსახულებების სახით, რომელთა მეშვეობითაც შესაძლებელია სადების თავისუფალი ზედაპირის (შიგა ან გარე დიამეტრის) ზომათა ცვლილებების განსაზღვრა სადების ჩაწნევის (დაწნევის) შედეგად.

პოლიმერული მასალების მცირე თბოგამტარობისა და დიდი ხაზობრივი გაფართოების გემპერაგურული კოეფიციენტის გამო პლასტმასის სადებები მიმანშეწონილია დამზადდეს თხელკედლიანი. განსაკუთრებული აღნიშვნის ღირსია ის გარემოება, რომ სქელკედლიანი პლასტმასის სადებები თხელკედლიანთან შედარებით ხასიათდებიან მასალის დაქვეითებული ფიზიკურ-მექანიკური მაჩვენებლებით (ეს უკანასკნელი პოლიმერული მასალების გადამუშავების სპეციფიკით არის განპირობებული). გარდა ამისა, სქელკედლიანი პლასტმასის სადებებისათვის დამახასიათებელია ხაზობრივი ზომების ნაკლები სტაბილურობა ჩამოსხმის პროცესისათვის დამახასიათებელი “ჩაჯდომის” დიდი ხარისხის გამო.

მოყვანილი ტექნოლოგიური და კონსტრუქტორული მოსაზრებიდან გამომდინარე, პლასტმასის სადების კელის სისქის საორიენტაციო განსაზღვრისათვის შეიძლება ვისარგებლოთ შემდეგი გამოსახულებით:

$$\delta=0,2+\sqrt{0,1d} , \quad (7.35)$$

სადაც d არის მოხახუნე გედაპირის ნომინალური დიამეტრი, მმ;

მიღებული სიდიდე საკისრის დაპროექტების დროს შეიძლება კორექტირებული იქნეს $\pm 15\%$ -ით.

საკისრის სიგრძე, როგორც ეს ჩვეულებრივ არის მიღებული, იმდღება ნომინალური დიამეტრის მიხედვით და ოპტიმალურად მიჩნეულია $\frac{l}{d}=1$, აქ l საკისრის სიგრძეა, ხოლო d - ნომინალური დიამეტრი.

დრეკადსაფუძვლიანი სრიალის საკისრებისათვის აღნიშნული ფარდობა შეიძლება გაზრდილი იქნეს 1,5...1,8 ზღვრებამდე, ხოლო არაზუსტი აწყობისას და ლილვის დიდი დეფორმაციის პირობებში არ უნდა აღემატებოდეს 0,8-ს.

ზემოთ მოყვანილ კონსტრუქტორულ პარამეტრებთან ერთად პლასტმასოვანი სრიალის საკისრების დაპროექტების დროს საჭიროა გათვალისწინებულ იქნეს:

- შეუღლებაში გამოყენებული ლითონური დეტალების გედაპირის სიმქისის რაციონალურ მნიშვნელობად სიმქისის მე-7. . . მე-8 კლასები, ხოლო პლასტმასის დეტალისათვის (თუ იგი მექანიკურად მუშავდება) – მე-6 კლასი.
- ლითონური დეტალისათვის გედაპირული სისხლის რაციონალურ სიდიდედ არაუმეტეს HRC 50. . . 55;
- პლასტმასის სადების შეძლებისდაგვარი თანაბარკედლიანობა (აღვილობრივი შესუსტებები ან შესქელებები მნიშვნელოვნად აქვეითებენ მის შრომის უნარს);
- დეტალების ჭეჭით ჩასმის დროს ლითონური დეტალის გედაპირის სიმქისის ოპტიმალურ მნიშვნელობად სიმქისის მე-6 კლასი (მეტი სიმქისის გედაპირები იწვევენ ჩაწნების ძალის გაზრდას და მასთან დაკავშირებულ უარყოფით მოვლენებს, ხოლო ნაკლები – უძრავი ჩასმის საიმედოობის შემცირებას);
- მექანიკური ჩაწნების წინ ერთ-ერთ შეუღლებულ გედაპირზე 30⁰-იანი ნაზოლი;
- ჩაწნებილი (დაწნებილი) სადების მექანიკური დამუშავება მოხდეს არა უადრეს 6. . . 8 სთ-ისა წნების პროცესიდან (ზომების სტაბილიზაციის მიზნით);
- პლასტმასის სადებიანი გრიბოლოგიური სისტემების კონსტრუირების დროს პლასტმასის სადების გაფართოების შესაძლებლობა გრძივი მიმართულებით (განივი

მიმართულებით გაფართოების შესაძლებლობას ითვალისწინებს დიამეტრული ღრეჩო).

7.9. სრიალის საკისრების პირობითი გაანგარიშების მეთოდოლოგია

პირობითი გაანგარიშების მეთოდოლოგია მიზანშეწონილია გამოვიყენოთ სრიალის საკისრების წინასწარი, საორიენტაციო გაანგარიშების დროს. იგი ეფუძნება მანქანათა გრიბოტექნიკური სისტემების ექსპლუატაციის გამოცდილებას, ექსპერიმენტულ შედეგებს. კერძოდ, სარგებლობენ ანალოგიური კონსტრუქციული გადაწყვეტილებისა და დაგვირთვის პარამეტრების შემთხვევაში მიღებული ექსპლუატაციური მონაცემებით. აღნიშნული მეთოდისათვის დამახასიათებელია საანგარიშო მეთოდის მარტივი სიმარტივე.

განასხვავებენ სრიალის საკისრების პირობითი გაანგარიშების ორ ძირითად სახეს:

- ანგარიში დასაშვებ წნევაზე;
- ანგარიში დასაშვები წნევისა და სრიალის სიჩქარის ნამრავლზე.

სრიალის საკისრების გაანგარიშება დასაშვებ წნევაზე გამოსახება იმ წნევის ლიმიტებით, როლითაც საგაცი მემოქმედებს რადიალური მიმართულებით საკისრის საღებზე და რომლის მუშა ფართობი პირობითად საკისრის დიამეტრული კვეთაა, ე. ი.

$$p = \frac{F_r}{dl} \leq p_p, \quad (7.36)$$

სადაც p რადიალური წნევის სიდიდეა საკისარში; F_r – რადიალური დაგვირთვა საგაცზე; d, l – შესაბამისად, საკისრის დიამეტრი და სიგრძე; p_p – დასაშვები წნევა სრიალის საკისრისათვის.

სტაციონარული მანქანების უმრავლესობისათვის კონკრეტული პირობების – ძირითადი და შემხეთი მასალების და კონსტრუქციული პარამეტრების მიხედვით გაბარიტებისადმი განსაკუთრებული მოთხოვნების არ არსებობის შემთხვევაში p_p იღება 1... 4 მპა-ის ზღვრებში.

შიგაწვის ძრავების ძირითადი და ბარბაცას საკისრებისათვის $p_p = 4...20$ მპა. ხოლო, საგლინავი დგანების, წნეხებისა და სამჭედლო მანქანებისათვის – $p_p=10...30$ მპა.

ასეთი მეთოდოლოგია ძირითადად შემოწმებითი ხასიათისაა, ვინაიდან საგაცის დიამეტრი განისაზღვრება ლილვის კონსტრუქციული გაანგარიშების დროს. თუმცა

ლავირების საშუალებას იძლევა საკისრის სიგრძე, რომელიც უზრუნველყოფს წნევის ცვლილებას.

წნევის რეალური მნიშვნელობის განსაზღვრა შესაძლებელია მხოლოდ დრეკადობის თეორიის შესაბამისი კონტაქტური ამოცანის (დაახლოებით ერთნაირი რადიუსის მქონე ცილინდრების შიგა კონტაქტური კუმშვა) ამოხსნის გზით [29], [30], [31], [31], [36].

სრიალის საკისრის პირობითი გაანგარიშება დასაშვებ წნევასა და სრიალის სიჩქარის ნამრავლზე შეიძლება შემდეგნაირად იქნას გამოსახული

$$pV \leq (pV)_p, \quad (7.38)$$

სადაც V სრიალის სიჩქარეა; $(pV)_p$ – წნევისა და სრიალის სიჩქარის ნამრავლის დასაშვები სიდიდე.

სრიალის საკისარის pV პარამეტრი მნიშვნელოვანწილად ახასიათებს კვანძის რადიალურ დატვირთვის უნარს, თბურ რეჟიმს და ცვეთას. ამიტომ ხშირად გამოიყენება წინასწარი, საორიენტაციო გაანგარიშების დროს.

სტაციონარული მანქანების უმრავლესობისათვის კონკრეტული პირობების მიხედვით პარამეტრი $(pV)_p$ აიღება ზღვრებში 2...10 მპა მ/წმ; გრიბოლოგიური სისტემების ინტენსიური გაცივების პირობებში pV პარამეტრის მნიშვნელობა შეიძლება გაცილებით მეტი იყოს:

ავტომობილის ძრავების საკისრებში $(pV)_p = 25...35$ მპა მ/წმ. პრაქტიკაში პარამეტრი $(pV)_p$ ზოგჯერ მოცემულია გრაფიკულად, მრუდის სახით, რომელიც შეიძლება განხილულ იქნეს როგორც ჰიპერბოლა.

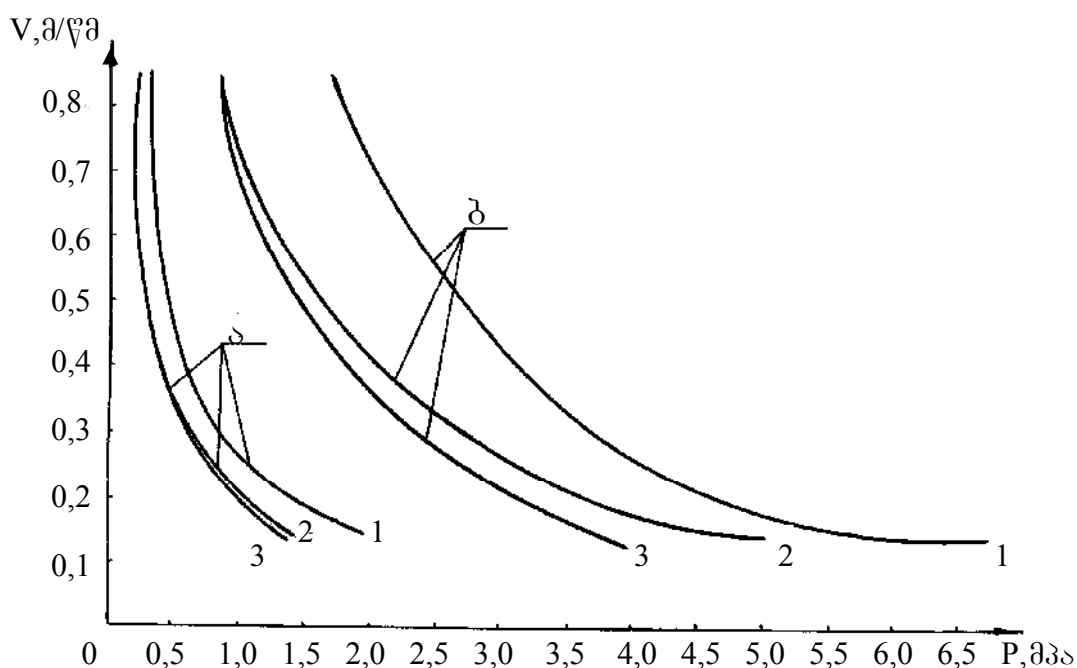
როგორც უკვე აღვნიშნეთ, p და $(pV)_p$ სიდიდეები იცვლებიან ფართო ზღვრებში და მნიშვნელოვანწილად არიან დამოკიდებულნი რიგ კონსტრუქციულ და ექსპლუატაციურ ფაქტორებზე: დატვირთვის ხარისხზე, შებეთვის და გაცივების პირობებზე და საშუალებებზე, მასალებზე, დეტალების დამზადების ტექნოლოგიაზე, მუშაობის ხანგრძლივობაზე, ჩართვების რაოდენობაზე, გარემო პირობებზე და ა. შ.

შემოთ ჩამოთვლილის გამო მოყვანილ მეთოდს არ გააჩნია პრეცენზია სიმუსტებზე და თხევადი შებეთვის შემთხვევაში მხოლოდ საორიენტაციო ხასიათს ატარებს.

განსხვავებულ ღირებულებას იძენს აღნიშნული მეთოდიკა იმ გრიბოლოგიური სისტემებისათვის, რომლის ექსპლუატაცია ხდება ან შებეთვის გარეშე, ანდა არარეგულარული, ან შემზღუდული შებეთვის პირობებში. ასეთ პირობებში კი, როგორც ცნობილია, მეტად ეფექტურია დიდი ცვეთამედეგობის მქონე პლასტმასოვანი სრიალის

საკისრების გამოყენება. მაგრამ ამ ტიპის საკისრებისათვის სარწმუნო რეკომენდაციები p_p და $(pV)_p$ პარამეტრების შესახებ ნაკლებად მოგვეპოვება ტექნიკურ ლიტერატურაში. ამიგომ აქაც უნდა ჩაგარდეს საკისრის დაზუსტებული გაანგარიშება კონტაქტური ძაბვისა და მუშა ტემპერატურის განსაზღვრის გემოთ აღწერილი წესით.

ნახ. 7.12-ზე გრაფიკული სახით არის წარმოდგენილი საქართველოს ტექნიკურ უნივერსიტეტში შესრულებული გამოკვლევების შედეგად მიღებული pV ნამრავლის მღვრული მნიშვნელობები სხვადასხვა პოლიმერული მასალებისათვის.



ნახ. 7.12. კუთრი წნევის და ფარდობითი სრიალის სიჩქარის მღვრული მნიშვნელობების ურთიერთდამოკიდებულების გრაფიკი პლასტმასოვანი სრიალის საკისრებისათვის:

1 – პოლიაცეტალის (პოლიფორმალდეჰიდის) სადებით; 2 – პოლიამიდი ნ-ის სადებით; 3 – პოლიამიდი ნ-ის სადებით;

ა – არარეგულარული შეშეთვის პირობები; ბ – წვეთოვანი შეშეთვის პირობები

მაგალითი: შევაფასოთ პოლიმერულსადებიანი სრიალის საკისრის მუშაობის უნარი “პირობითი” ღრეკადობის მოდულის გამოყენებით ექსპლუატაციის შემდეგ პირობებში:

რადიალური დაგვირთვა საკისარზე $F_{r0}=5000$ ნ;

ლილვის ბრუნვათა სიხშირე $n=100$ წმ⁻¹;

ლილვის დიამეტრი $d=55$ მმ;

სადების მასალა	– პოლიამიდ 66;
პუასონის კოეფიციენტი	$\mu=0,37$;
შემტოვა	– შეზღუდული, მინერალური ზეთით;
მუშაობის რეჟიმი	– უწყვეტი;
კორპუსის გარე დიამეტრი	$D_კ=150$ მმ.

საკისრის კონსტრუქციული გადაწყვეტილება – “ პირდაპირი წყვილი”.

პირველ რიგში ვაღვანთ საკისრის კონსტრუქციულ პარამეტრებს. (7.35)
გამოსახულების შესაბამისად, სადების კედლის სისქე

$$d=0,2+\sqrt{0,1d} = 0,2+\sqrt{0,1\cdot 55} = 2,55 \text{ მმ.}$$

იმის გამო, რომ სავარაუდოა საკისრის მძიმე ტემპერატურული რეჟიმი, შევარჩიოთ სადების კედლის სისქის შემცირებული მნიშვნელობა $d=2,5$ მმ.

შევარჩიოთ საკისრის დიამეტრული ღრეხოს საორიენტაციო მნიშვნელობა (7.34)
გამოსახულებიდან

$$\Delta=0,01d=0,1\cdot 55 = 0,55 \text{ მმ.}$$

კონსტრუქციული მოსაზრებების გათვალისწინებით მივიღოთ რადიალური ღრეხოს მნიშვნელობა $\varepsilon=0,25$ მმ. შევარჩიოთ საკისრის სიგრძის მნიშვნელობა $l = 55$ მმ.

ვიპოვოთ საანგარიშო, „პირობითი” ღრეკალობის მოდული $t_გ = 85^\circ C$ ტემპერატურისა (შერჩეულია საორიენტაციოდ და საჭიროების შემთხვევაში სრულდება გადაანგარიშება) და 4 სთ (შეესაბამება ერთი ცვლის ხანგრძლივობის ნახევარს) დაგვირთვის ხანგრძლივობისათვის (7.7) გამოსახულებით

$$E=E_0\cdot K_გ\cdot K_{ღრ}\cdot K_კ = 1200\cdot 0,67\cdot 0,65\cdot 3,85 = 2012 \text{ მპა,}$$

სადაც $K_გ$ ტემპერატურული კოეფიციენტი და, (7.8) გამოსახულების თანახმად,

$$K_გ = \frac{t_{ღნ} - t_გ}{t_{ღნ} - 20} = \frac{219 - 85}{219 - 20} = 0,67;$$

$t_{ღნ}$ – პოლიამიდ 66-ის დნობის ტემპერატურა (ცხრილი 7.1) – $219^\circ C$;

$K_{ღრ}$ – დროის კოეფიციენტი და, (7.9) გამოსახულების თანახმად,

$$K_{ღრ} = \left(\frac{t}{B}\right)^{-m} = \left(\frac{4}{4\cdot 10^{-4}}\right)^{-0,047} = 0,65;$$

$K_კ$ – საანგარიშო, ე.წ. „პირობითი” ღრეკალობის მოდულის მაკორექტირებელი კოეფიციენტი, (7.10) გამოსახულების თანახმად

$$K_კ = \frac{1}{1-2\mu} = \frac{1}{1-2\cdot 0,37} = 3,85.$$

E_0 მყისიერი დრეკადობის მოდულია 20°C ტემპერატურაზე, პოლიამიდი 66-ისათვის $E_0=1200$ მპა (ცხრილი 7.1).

რადიალური დატვირთვა საკისრის ერთ მეტრ სიგრძეზე

$$F_r = \frac{F_{r0}}{l} = \frac{5000}{0,055} 909009 \text{ ნ/მ} = 0,091 \text{ მნ/მ};$$

პარამეტრი

$$\frac{F_r}{E\varepsilon} = \frac{0,091}{2012 \cdot 0,00025} = 0,181.$$

საკონტაქტო კუთხის ნახევარი - $\varphi = 23^\circ$ (ნახ. 7.5), ხოლო უგანზომილებო კოეფიციენტი - $b = 0,6$ (ნახ.7.7)

მაქსიმალური კონტაქტური ძაბვა

$$\sigma_{H\max} = b \frac{E\varepsilon}{r} = 0,6 \frac{2012 \cdot 0,00025}{0,0275} = 10,98 \text{ მპა}.$$

დასაშვები კონტაქტური ძაბვა

$$\sigma_p = \sigma_{p0} \cdot K_1 \cdot K_2 \cdot K_3 \cdot K_4 \cdot K_5 \cdot K_6 = 40,2 \cdot 0,98 \cdot 0,95 \cdot 0,9 \cdot 0,6 \cdot 0,8 \cdot 0,8 = 12,93 \text{ მპა},$$

სადაც $\sigma_{p0} = E \cdot \varepsilon_p = 2012 \cdot 0,02 = 40,2$ მპა, აქ ε_p დასაშვები ფარლობითი დეფორმაცია და კონსტრუქციული მოსაზრებებით მივიღეთ $\varepsilon_p = 0,02$ (2,0%);

K_1 არის ტექნოლოგიური კოეფიციენტი - 0,98;

K_2 - ტენზომეტრის კოეფიციენტი - 0,95;

K_3 - კონცენტრაციის კოეფიციენტი - 0,9;

K_4 - დაღლილობითი სიმტკიცის კოეფიციენტი - 0,6;

K_5 - ჭექის კოეფიციენტი - 0,8;

K_6 - ანგარიშის სიზუსტისა და მარაგის კოეფიციენტი - 0,8.

შესრულებულია პირობა

$$\sigma_{H\max} < \sigma_p = 12,93 \text{ მპა}.$$

ვაწარმოთ მიახლოებითი ტემპერატურული გაანგარიშება (7.30) გამარტივებული დამოკიდებულებით

$$t_a = \frac{\Phi}{\alpha A} + t_0 = \frac{57,6}{13 \cdot 0,075} + 20 \approx 80 \text{ }^\circ\text{C},$$

სადაც Φ საკისარში გამოყოფილი სითბოა,

$$\Phi = f F_r \omega r = 0,04 \cdot 5000 \frac{3,14}{30} 100 \cdot 0,0275 = 57,6 \text{ ვტ},$$

სადაც f ხახუნის კოეფიციენტი წყვილისათვის ფოლადი-პოლიამიდი 66-ია. შეზღუდული თხევადი მეთით შეზღუდვის პირობებში ავიღოთ $f = 0,04$ (ცხრ. 7.2).

თბოგადაცემის პირობითი ჯამური კოეფიციენტი α საშუალო პირობებში ავიღოთ $\alpha = 13$ ვტ/მ² კელვინი;

t° – გარემოს ტემპერატურა – 20 °C;

$$A = A_1 + A_2,$$

სადაც A_1 საკისრის კორპუსის თბოგადაცემის ფართობი ავიღოთ

$A_1 = 20 \cdot 0,055 \cdot 0,055 = 0,06$ მ²; A_2 ლილვის თბოგადაცემის პირობითი ფართობი

$A_2 = 5d^2 = 5 \cdot 0,055^2 = 0,015$ მ²; $A = 0,06 + 0,015 = 0,075$.

ე.ი. დაცულია პირობა

$$t_g \langle t_p = 85^\circ C.$$

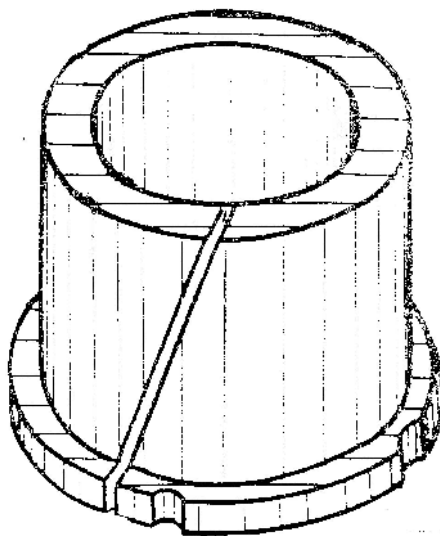
ამრიგად, საკისრის მუშაობის უნარის ორივე კრიტერიუმი შესრულებულია, რაც განსაზღვრავს საკისრის ექსპლუატაციის შესაძლებლობას.

თავი 8. სრიალის საკისრების კონსტრუქციები

8.1. სრიალის საკისრების ტრადიციული კონსტრუქციები პოლიმერული სადებით

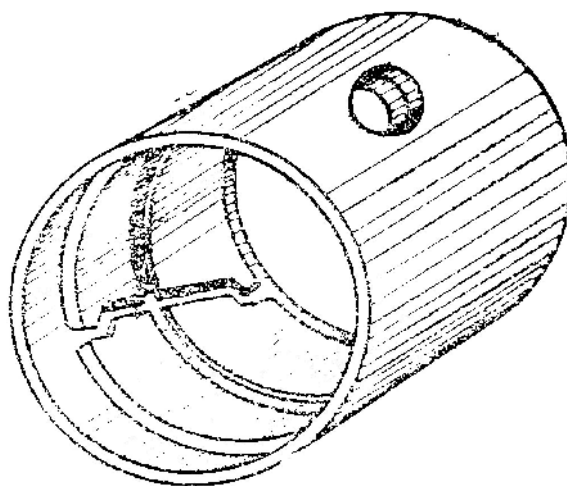
სრიალის საკისრების ტიპური კონსტრუქციები ლითონური ანტიფრიქციული სადებებით ნორმალიზებული და უმრავლეს შემთხვევაში სტანდარტიზებული იყო ყოფილი საბჭოთა კავშირის ეკონომიკურ სივრცეში. შესაბამისად, მათი კონსტრუქციების და კონსტრუქციული პარამეტრების შერჩევა კონკრეტული პირობებისათვის არ ხდებოდა. მაგრამ, განსხვავებული სიგუაცია ისახება პლასტმასოვანი სრიალის საკისრების გამოყენების რიგ შემთხვევებში, სადაც ტრიბოლოგიური სისტემების საიმედო და ეფექტური ფუნქციონირება ღიდად არის დამოკიდებული პლასტმასოვანი სრიალის საკისრის კონსტრუქციის და კონსტრუქციული პარამეტრების ოპტიმალურ შერჩევაზე. ამიტომ, როცა ყველა ჩვეულებრივი, ტიპური კონსტრუქციული გადაწყვეტილება რომელიმე კონკრეტული შემთხვევისათვის მიუღებელია, საჭირო ხდება შევირჩიოთ ისეთი კონსტრუქცია, რომელიც ხელსაყრელია და აკმაყოფილებს მოცემულ საექსპლუატაციო პირობებს.

მაგალითად, რიგ შემთხვევებში სქელკედლა სადების ზიდვის უნარის გაზრდის მიზნით საკისრის სადებს აქვს გრძივი ჭრილი (ნახ. 8.1). ამგვარ საკისარს კვანძში ტემპერატურის მომატების დროს აქვს გაფართოების შესაძლებლობა, რითაც გამოირიცხება ლილვის გაჭეჭვა, მაგრამ ასეთმა საკისრებმა მაინც ვერ პოვა გამოყენების ფართო არე, ვინაიდან ზიდვის უნარის ზრდა მცირეა, ხოლო კვანძი მთლიანობაში ნაკლებად კონსტრუქციულია.



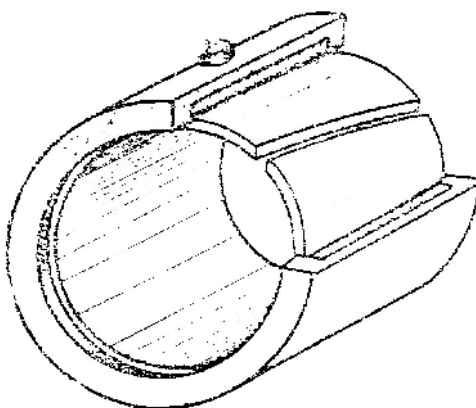
ნახ. 8.1. გრძივჭრილიანი სრიალის საკისრის პოლიმერული სადები

ცნობილია თხელკელა საკისრის კონსტრუქცია (ნახ.8.2), რომელიც შედგება გარსაკრისაგან, რომელშიც ჩადგმულია თხელკელა სადები საკომპლესაციო ჭრილებით. მომათა ცვლილების შემთხვევაში (გახურების ან სხვა ფაქტორების გემოქმედების შედეგად) სადები იწყებს გადაადგილებას, სრიალს გარსაკრის შიგა ზედაპირზე, რის შედეგადაც უცვლელი რჩება მისი შიგა დიამეტრი. აღნიშნული ტიპის საკისარს აქვს ნახვრეტი და რგოლისებრი ღარები შემზეთი მასალის მისაწოდებლად. ლითონური გარსაკრის სისქეა 1,6 მმ, ხოლო პოლიმერული სადების სისქე - 0,8 მმ. ასეთი საკისრის უარყოფითი მხარეა სადების არასაიმედო ჩაჭიდება გარსაკრავთან. შესაბამისად, დინამიკური დატვირთვებისას იქმნება სადების გარსაკრავიდან აგლეჯის საშიშროება.



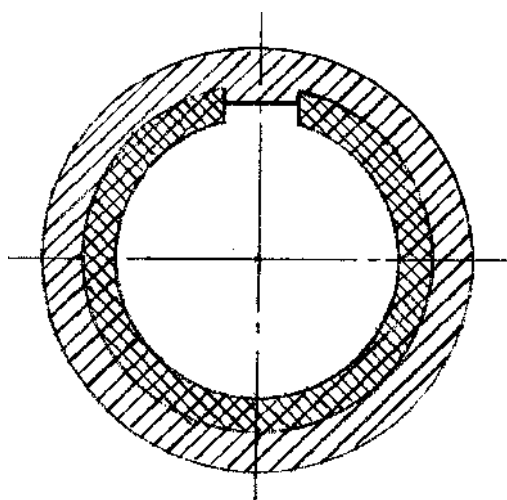
ნახ. 8.2. თხელკელა სრიალის საკისარი

ასეთივე ნაირსახეობას მიეკუთვნება ღრეკადი საკისარი „კლეიფლექსი“, რომელიც კარგად „არბილებს“ ლილვის გადახრებს, რაც განპირობებულია იმით, რომ პოლიმერული სადები ჩასმულია რეზინის გარსაკრში (ნახ.8.3.), ამასთან, სადების ჩამაგრება გარსაკრში ხდება სხვადასხვა ხეხრხებით. თუ სადები ჩამოიხსმება უშუალოდ გარსაკრში, პოლიმერის ლითონთან ჩამაგრება ხორციელდება ადჰეზიის მეთოდით. მაგრამ კვანძის გახურებისას ხდება ძაბვების შესუსტება და სადები კარგავს ჩაჭიდულობის ძალას. შედარებით საიმედო ჩამაგრებად არის მიჩნეული გარსაკრის შიგა გელაპირზე ხრახნის მოჭრა ან ღარების ამოღება.



ნახ. 8.3. ღრეკადი საკისარი „კლეიფლექსი“

კონსტრუქცია (ნახ.8.4.) გამოირჩევა სიმარტივით. მასში სადების ფიქსაცია ხორციელდება გაჭრილი მილის გორსული გელაპირის მიბრჯენით კორპუსის სასოგმანე შვერზე. ამასთან, სადების პირვანდელი ჭრილის (l_0) სიგანე ნაკლები უნდა იყოს სასოგმანე შვერის (l) სიგანეზე. ამიტომ სადები კორპუსის კედლებს მიეხრება ჭეჭით. ჭეჭის სიდიდე განისაზღვრება $l-l_0$ სხვაობით.



ნახ. 8.4. სრიალის საკისარი სასოგმანე შვერით

ასეთი კონსტრუქციის უპირატესობაა დინამიკური დატვირთვების შემთხვევაში მაღალი მიღვის უნარი და სადების დამზადების შესაძლებლობა ბრტყელი პლასტმასოვანი მოლურებისაგან. უარყოფითი მხარეა საკისრის შიგა დიამეტრის არასწორი გეომეტრია, ლითონის გარსაკრის დამზადების სირთულე სასოგმანე ღარის გამო. ყველა შემთხვევაში ნახსენები სრიალის საკისრების კონსტრუქციისათვის დამახასიათებელია ნაკლები საინჟინრო პრაგმატიზმი, რის გამოც მნიშვნელოვნად არის შეზღუდული მათი საინჟინრო გამოყენების არე.

მანქანათმშენებლობაში ხშირად იყენებენ ლითონის საკისრებს, რომელთა შიგა ზედაპირები მოპირკეთებულია პოლიმერის თხელი (0,05...0,5)მმ ფენით ამასთან, შესრულების ტექნოლოგიურ პროცესად გამოიყენება ფხვნილოვანი გაფრქვევა. პოლიმერული ფენის პატარა სისქის გამო ასეთი საკისრები კარგად ატარებენ სითბოს, რაც მნიშვნელოვნად ამცირებს პოლიმერული მასალის დენადობასა და მისი ზომების არასტაბილურობას, მრდის მათ მიღვის უნარს. მაგრამ, დინამიკური დატვირთვებისას და შეზღუდული შეზღვევის პირობებში საკისრის პოლიმერული ფენა ვერ უზრუნველყოფს საჭირო ჩაჭიდულობის ძალებს მასთან შეუღლებულ დატვირთვას.

პოლიმერული ფენის სისქე ასეთი შემთხვევისათვის განისაზღვრება ემპირიული ფორმულით

$$\delta = 0.0025 \cdot p \cdot d \cdot f ,$$

სადაც δ პოლიმერის ფენის სისქეა, რომლის დასაშვები მინიმალური მნიშვნელობა $\delta_{\min} = 0,2$ მმ.; f – ხახუნის კოეფიციენტი; p – კუთრი დაწნევა; d – ლილვის დიამეტრი.

როგორც ცნობილია, პოლიმერული მასალებს ახასიათებთ თბოგაფართოების მაღალი კოეფიციენტი. მუშაობის პროცესში პოლიმერული სადები გახურების გამო მნიშვნელოვნად ფართოვდება, ვინაიდან იგი ჩაწნეხილია ლითონურ კორპუსში და, მაშასადამე, გარე დიამეტრი ნაკლებად იზრდება. შესაბამისად, პოლიმერის გაფართოება იწვევს საკისრის შიგა დიამეტრის შემცირებას, რის შედეგადაც საკისარსა და ლილვს შორის ღრეჩო შეიძლება მთლიანად გაქრეს და საკისარი გაიჭეფოს. ამიგომ პოლიმერულ საკისრებში ღრეჩოს სიდიდე მნიშვნელოვნად მეტი უნდა იყოს ლითონურთან შედარებით. მაგრამ გასათვალისწინებელია, რომ დიდი ღრეჩოს შერჩევას ხდება ლილვსა და საკისარს შორის საკონტაქტო ფართობის შემცირება, რაც, თავის მხრივ, ფრიალ არასასურველი მოვლენაა. იგი მრდის კუთრ დაწნევას, ეს უკანასკნელი კი იწვევს საკისრის ინტენსიურ ცვეთასა და გადახურებას.

დღევანდელ პირობებში აქტუალურ საკითხად არის მიჩნეული საკისრებში ფერადი და ძვირად ღირებული ლითონების გამორიცხვა და მათი შეცვლა პოლიმერული

მასალებით. აღნიშნული განსაკუთრებით დიდ ეკონომიკურ ეფექტს იძლევა დიდგაბარიტიანი სრიალის საკისრებში.

ასეთ საკისრებში მინიმალური ღრეჩოს მიღწევა, რაც განსაკუთრებული მნიშვნელობის ამოცანაა მსხვილ ენერგეტიკულ დანადგარებში, კერძოდ, ჰიდრო- და თბოგურბინებში, შეუძლებელი ხდება ტრადიციული და ზემოთ მოყვანილი კონსტრუქციული გადაწყვეტილებების გამოყენების დროს. როცა ასეთი საკისრებისათვის დიამეტრული ღრეჩოს მინიმალურ მნიშვნელობად მიიღწევა დიამეტრის მხოლოდ 0,3...0,5%.

8.2. დიდგაბარიტიანი სრიალის საკისრები მოდულური ელემენტებით

მსხვილი ენერგეტიკული დანადგარების, მათ შორის, ჰიდროგურბინების, საყრდენი კვანძების მნიშვნელოვანი დამახასიათებელი ნიშან-თვისებაა მისი დიდი გაბარიტები. ამ ტიპის საყრდენი კვანძების, ისევე როგორც ბევრი სხვა ტრადიციული გრიბოლოგიური სისტემების, ნორმალური ფუნქციონირება დიდად არის განპირობებული ანტიფორიციული სადებების ხანგამძლეობით, ცვეთამდეგობით და დეფორმაციის მაქსიმალური დასაშვები სიდიდით.

გრიბოლოგიური სისტემების, განსაკუთრებით, დიდგაბარიტიანი, მაგ., ჰიდროგურბინების სრიალის საკისრების წარმატებით გამოყენების მნიშვნელოვანი ფაქტორია სადებების მასალის თვითღირებულება და ტექნოლოგიურ დამუშავებაზე გაწეული დანახარჯების მოცულობა. აღნიშნულ კვანძებში საკისრის სადებებს ტრადიციულად ამზადებენ ბაბიგისაგან, რომელიც ამჟამად ძვირად ღირებულ და დეფიციტურ მასალად ითვლება. გარდა ამისა, ტრადიციული ბაბიგური საკისრის დამუშავება, კერძოდ, შიგნარხვა დიდგაბარიტიანი სრიალის საკისრის დამზადებისას გარკვეულ სირთულეებთან არის დაკავშირებული. ამასთან, აღნიშნული შენადნობის სადებები საკმაოდ მგრძობიარეა აწყობის უზუსტობებზე, განსაკუთრებით, თხელი ანტიფორიციული ფენის შემთხვევაში, რის შედეგადაც მუშაობის დროს ხდება კონტაქტური დაგვირთვების მკვეთრი ზრდა, რაც, თავის მხრივ, მუშაობის პროცესში იწვევს ცვეთის ინტენსიურობას.

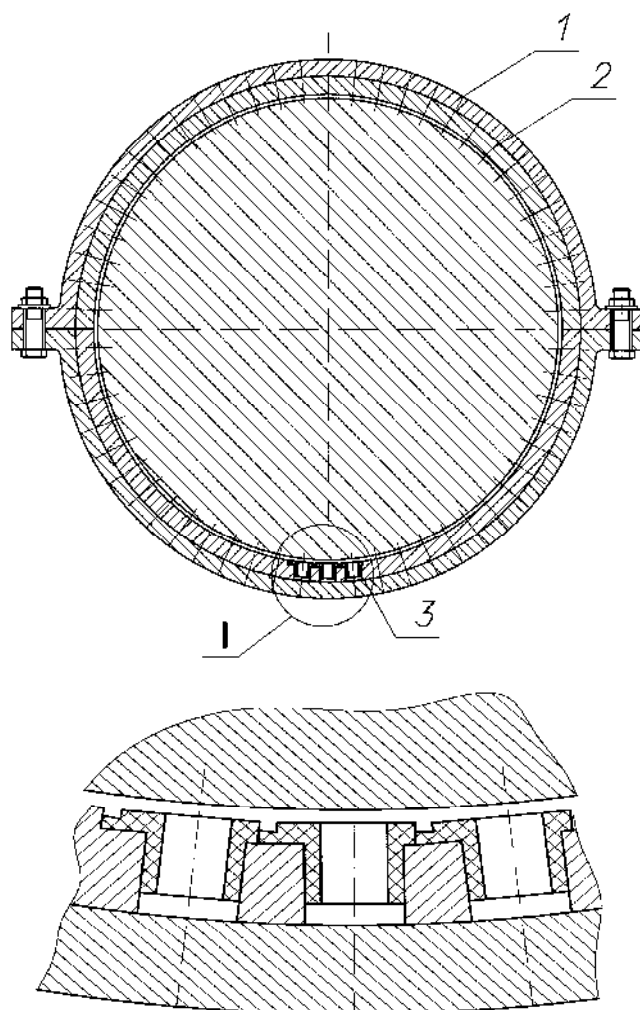
ჰიდროენერგეტიკული დანადგარების მშენებლობის პრაქტიკაში ხშირად იყენებენ რემინის რგოლისებრ საკისარს, რომლის ძირითადი დადებითი თვისებებია: შემზღეთ მასალად შეიძლება და მიზანშეწონილია გამოყენებულ იქნეს წყალი,

აქვს მცირე თვითღირებულება. უარყოფითი მხარეა მცირე სიდიდის ცვეთამდეგობა, რადიალური მიმართულებით დაფორმირების მნიშვნელოვანი სიდიდე და სირთულეები დიდი გაბარიტის რეზინის რგოლისებრი სადების დამზადების პროცესში. კერძოდ, ვულკანიზაციის დროს აუცილებელია გათვალისწინებულ იქნეს ნამატი, რომელიც უნდა დამუშავდეს შიგნარხვით კარუსელურ ჩარხზე საჭირო ზომის მისაღებად შეუღლებული ლილვის ზომის შესაბამისად. სწორედ ეს ფენა, რომელიც ხასიათდება საკისრის ექსპლუატაციის პირობებისათვის რიგი საუკეთესო თვისებებით - სიმტკიცითა და ცვეთამდეგობით და იგი შექმნილია ანტიფრიქციული სადების მიერ ვულკანიზაციის პროცესში. ამასთან, ექსპლუატაციის პროცესში რეზინის დიდი დრეკადობის გამო დიდია სადების დეფორმაცია, რაც იწვევს ლილვის ცემის მნიშვნელობის მაგებას, ხოლო უკანასკნელი, ბუნებრივია, უარყოფითად მოქმედებს ხახუნის კვანძისა და მთელი მოწყობილობის სხვა ელემენტების ხანგამძლეობაზე.

სტუ-ში შემუშავებული იქნა დიდგაბარიტიანი ახალი საყრდენი კვანძის ახალი კონსტრუქციული გადაწყვეტა*, სადაც სრიალის საკისრის მზიდი ლითონური ნახევარრგოლი ხისტი დეგალია, ხოლო მუშა ზედაპირი – ანტიფრიქციული მასალისაგან დამზადებულ მოდულურ ელემენტთა სიმრავლე. ამასთან, მათი გორსული ნაწილი წარმოადგენს ხახუნის მუშა ზედაპირს და, შესაბამისად, ლილვთან კონტაქტში იმყოფება მხოლოდ მოდულური ელემენტები. შემოთავაზებული გრიბოლოგიური სიგემის ხახუნის კვანძი შედგება საკისრის ლითონის კორპუსისაგან - 1 (ნახ.8.5.), რომელშიც ჩასმულია ორი ლითონის ნახევარრგოლი - 2. თავის მხრივ, ნახევარრგოლები დახვრეტილია რადიალურად, რომლებშიც ჩაწნეხილია ანტიფრიქციული მასალისაგან დამზადებული ელემენტები - 3.

მუშა ელემენტის გორსული ზედაპირი ლითონური ნახევარრგოლის შიგა ცილინდრული ზედაპირის მიმართ ამოწეულია 0,15...0,3 მმ-ით, ხოლო ელემენტის ორთოგონალური გადაწყვეტის დროს ელემენტის მუშა ზედაპირის ცენტრის აწევის დონე ნახევარრგოლის შიგა ცილინდრული ზედაპირიდან განისაზღვრება კონსტრუქციულად გეომეტრიული პარამეტრების, კერძოდ, შიგა დიამეტრისა და ანტიფრიქციული ელემენტის დიამეტრის ზომის მიხედვით.

* ნაციონალური ცენტრის „საქპაგენტის“ მიერ მ. შილაკაძის და გ. ქაშიაშვილის სახელზე გაცემულია პატენტი GE P2001 №2502B.



ნახ. 8.5. დიდგაბარიტიანი სარიალის საკისარი

1 – საკისრის კორპუსი; 2 – ლითონის ნახევარგოლი; 3 – მოდულური ელემენტი

შემოთავაზებული კონსტრუქცია შეიძლება ორ ვარიანტად იქნეს შესრულებული:

ა) საკისრის მუშა ზედაპირი გაჩარხულია და აქვს ცილინდრული პროფილის სახე;

ბ) საკისრის მუშა ზედაპირი არ იჩარხება, იგი არის მოდულური ელემენტების გორსულ ზედაპირთა სიმრავლე.

აღწერილი ტიპის საკისრების გამოყენების შემთხვევაში მასში საკომპლესაციო არეთა გათვალისწინებით შესაძლებელია დიამეტრული ღრეჩოს უმცირესი მნიშვნელობის მიღწევა-0,02...0,03%-ის ფარგლებში.

თავი 9. მასალები ტრიბოლოგიური სისტემებისათვის

უმრავლეს შემთხვევაში ტრიბოსისტემებში მოხახუნე ზედაპირთაგან ერთ-ერთი დეგალი ლილვის ან ღერძის სახელწოდებით, მზადდება ნახშირბადიანი ფოლადისაგან (იშვიათად – თუჯისაგან). ვინაიდან ტრიბოლოგიური სისტემების კონსტრუირების პროცესში ლილვის (ღერძის) მასალის ფიზიკურ-მექანიკური თვისებები უკვე განსაზღვრულია მისი სიმტკიცისა და დეფორმირების პირობიდან, კონსტრუქტორის შესაძლებლობები ძირითადად საკისრის სადების შერჩევით შემოიფარგლება. მიუხედავად ჩვენს ხელს არსებული ექსპერიმენტული მონაცემების სიმრავლისა, აღნიშნული საკითხის ოპტიმალური გადაწყვეტა საჭიროებს ამ სფეროში კონსტრუქტორის გარკვეულ, სპეციალურ საინჟინრო და მეცნიერულ მომზადებას. ამასთან, ბუნებრივია, კონსტრუქციული გაანგარიშებანი მჭიდროდ არის დაკავშირებული სადების მასალის ფიზიკურ-მექანიკურ მაჩვენებლებთან. ძირითადი მოთხოვნები, რომელებსაც უნდა აკმაყოფილებდეს სასაკისრე, მოყვანილია ქვემოთ.

უპირველესი მოთხოვნა, რასაც უნდა აკმაყოფილებდეს სასაკისრე მასალა და რაც უზრუნველყოფს საიმედოობის მაღალ მაჩვენებელს, მისი ანტიფრიქციული თვისებებია. თავის მხრივ, მასალის ანტიფრიქციული თვისებები გულისხმობს:

- უმცირეს ხახუნის კოეფიციენტს კონტრსხეულთან;
- მაღალ ცვეთამედეგობას;
- კონტრსხეულის მინიმალური ცვეთის უზრუნველყოფას.

ამას გარდა, სასაკისრე მასალები უნდა აკმაყოფილებდეს შემდეგ მოთხოვნებს:

სასაკისრე მასალების მექანიკურმა მაჩვენებელმა (დასაშვები კონტაქტური ძაბვა, ფარდობითი დეფორმაცია) უნდა უზრუნველყოს დეგალის ფუნქციონირება დატვირთვის მოქმედების პროცესში;

- დასაშვები ტემპერატურა უნდა იყოს არანაკლებ $80...85^{\circ}C$ -ისა;
- სადების მოხახუნე ზედაპირის მუშა დიამეტრის შემცირებამ ტემპერატურისა და გარემოს სინესტის ზემოქმედების შედეგად ვერ უნდა იმოქმედოს საკისრების მუშაობის უნარზე მაშინაც კი, როცა ხახუნის კვანძის ასაწყობი დიამეტრული ღრეჩო არ აღემატება 0,1...0,2 მმ-ს;
- ჰქონდეს შემზეთი მასალებით კარგად დასველების უნარი;
- ხასიათდებოდეს კოროზიამედეგობით;
- ჰქონდეს დაბალი დრეკადობის მოდული;

- მასალის გედაპირული სტრუქტურა უნდა უზრუნველყოფდეს „დადებით გრადიენტს“,
- უნდა ჰქონდეს კარგი მიმუშავების და „ხაზოვანი“ წნევების გადანაწილების უნარი, რომელიც პრაქტიკაში წარმოიქმნება გადაცერების შედეგად დეფორმაციებისა და უზუსტობის მიზეზით;
- გრიბილოგიურ სისტემაში შემთხვევითი და ცვეთის პროდუქტების მოხვედრა მკვეთრად არ უნდა ცვლიდეს მუშაობის უნარის მაჩვენებლებს;
- ჰქონდეს კარგი ტექნოლოგიური თვისებები – უნდა მუშავდებოდეს პროგრესული მეთოდებით – წნევითი ჩამოსხმით, დაწნევით, დაყალიბებით, კარგად მუშავდებოდეს მექანიკურად და ა. შ.
- არ იყოს დეფიციტური და მაღალი ღირებულების.

ზემოთ მოყვანილი მოთხოვნების შესრულება უზრუნველყოფს, უპირველესად, გრიბოლოგიური სისტემის და შემდეგ მთელი მანქანის თვითღირებულების შემცირებას. გარდა ამისა, ისინი განაპირობებენ მანქანის საიმედოობის, კერძოდ, ხანგამძლეობის, უმცყუნობის, სარემონტოდ ვარგისობის და შენახვის უნარს მაჩვენებლების ამაღლებას.

სასაკისრე ანტიფრიქციული მასალები, ანუ მასალები, რომელებიც აკმაყოფილებენ ზემოთ მოყვანილ მოთხოვნებს, შეიძლება დაიყოს შემდეგ ჯგუფებად:

1. ფერადი ანტიფრიქციული შენადნობები – ბრინჯაო, ბაბიგი, თუთიანი და ალუმინიანი შენადნობები.
2. ანტიფრიქციული თუჯი.
3. ლითონკერამიკული (ფხვნილოვანი) მასალები.
4. სინთეტიკური პლასტმასები (პოლიმერები) – პოლიამიდები, პოლიაცეტალები, პოლი-ტეტრაფთორეთილენი, პოლიკარბონატი.
5. სხვა არალითონური მასალები – ხე, მერქანშრეული პლასტიკები, რეზინი, გრაფიტი.
6. ახალი თვითბეთვადი, ანტიფრიქციული, თბომედგი, პოლიმერული კომპოზიციები.

სასაკისრე მასალების ნომენკლატურა ყოველწლიურად მდიდრდება ახალ-ახალი მასალებით.

9.1 ფერადი ანგიფრიქციული შენადნობები

ბრინჯაო. არსებობს ბრინჯაოს სასაკისრე მთელი გამა. მათგან ყველაზე გავრცელებული სახეა უნივერსალური თვისებების მქონე კალიანი ბრინჯაო. კერძოდ, ფართოდ არის ცნობილი კალაფოსფორიანი ბრინჯაო $\text{Br0101}\Phi 1$ (გამოიყენება, როცა $(p \cdot V)_p$ (15 მპა.მ/წმ). კალიანი ბრინჯაოს ნაკლად ჩაითვლება ის, რომ შეიცავს კალას მნიშვნელოვანი რაოდენობით, რაც ზრდის მის თვითღირებულებას. ამასთან, კალიანი ბრინჯაო მექანიკური მაჩვენებლებით ჩამოუვარდება ბრინჯაოს მოგიერთ სახეს, მაგალითად, ტყვიანსა და ალუმინიანს.

დიდი ნიშანცვლადი და დინამიკური დატვირთვების შემთხვევაში, კერძოდ, შიგაწვის ძრავის, ღვეშიანი კომპრესორების, ტუმბოების სრიალის საკისრებისათვის იყენებენ ტყვიან ბრინჯაოს - BrC30 (გამოიყენება, როცა $(p \cdot V)$ (30 მპა. მ/წმ) . ამ სახის ბრინჯაოს უპირატესობაა დარტყმითი სიბლანტის მაღალი მაჩვენებელი. ნაკლად ითვლება ის, რომ მოგიერთი დაქანგული მეთი იწვევს მის კოროზიას. აგრეთვე ტყვიანი ბრინჯაოს საღებო მეტ მოთხოვნებს უყენებს საგაცის ზედაპირულ სისაღეს – აუცილებელს ხდის საგაცის წრობას. წინააღმდეგ შემთხვევაში ინტენსიურად ცვდება ლილვის საგაცი. ტყვიის შემცველობის გამრდა (შესაძლებელია 35 %-მდე) ამცირებს ცვეთას.

ფართოდაა ცნობილი და აგრეთვე გამოიყენება კალათუთიატყვიანი ბრინჯაოები - Br04C4C17 და Br04C7C5 (გამოიყენება, როცა $(p \cdot V)_p$ (15 მპა.მ/წმ).

ბაბიტი შეიქმნა გასული საუკუნის 40-იან წლებში ამერიკელი გამომგონებლის ი. ბაბიტის მიერ. ბაბიტები მაღალხარისხოვანი შენადნობებია, რომლებიც შეიძლება ძლიერ განსხვავდებოდნენ ერთმანეთისაგან თავისი ფიზიკურ-მექანიკური თვისებებით და ქიმიური შემადგენლობით. მაგრამ ყველა მათგანს აერთებს ის თვისება, რომ მათი საფუძველი, შემვსებია რბილი მასალები – ტყვია ან კალა. ხოლო მკვრივ, ჩანართ მარცვლებად იყენებენ სტიბიუმს, ტუტე ლითონებს, სპილენძს და სხვა მასალებს. შედეგად რბილი საფუძველი უზრუნველყოფს კარგ მიმუშავების უნარს, ხოლო მკვრივი - ცვეთამედეგობას.

ბაბიტები ხასიათდებიან უფრო მაღალი ანგიფრიქციული თვისებებით, ვიდრე სხვა ანგიფრიქციული შენადნობები, მაგრამ აქვთ დაბალი მექანიკური სიმტკიცე, ვიდრე თუჯს, სპილენძს. ბაბიტები გამოიყენა საღებების მუშა ზედაპირების თხელი ფენით

დაფარვისათვის, რათა თავიდან იქნეს აცილებული განსაკუთრებით მანქანის გაშვების და გაჩერებების დროს კვანძის, კონგრესხეულის ინტენსიური ცვეთა და ამოგლეჯვები.

ბაბიგოვანი ზედაპირები, განსაკუთრებით, კალის დიდი შემცველობით იწვევენ საგაცის მხოლოდ მცირე ცვეთას და ნაკლებად მგრძობიარენი არიან უკანასკნელის ზედაპირული სისალის და სიმქისის მიმართ.

აღნიშნული თვისებების გამო ბაბიგების გამოყენების სფეროებია:

დიდი ნორმალური დატვირთვისა და მაღალი სიჩქარის სრიალის საკისრები შიგაწვის და დიდი სიმძლავრის (750 კვტ) ელექტროძრავებისათვის, ორთქლის ტურბინებისათვის, როცა $(p \cdot V)_p \langle 25...35$ მპა. მ/წმ (ბაბიგები კალის დიდი შემცველობით - Б83, Б89, БН).

ასევე დიდი დატვირთვის კომპრესორების, ცენტრიდანული ტუმბოების, ელექტროძრავების, რელექტორების, ჯალამბრების, ბურთულებიანი წისქვილების და მღოვრე დატვირთვების მქონე მანქანების სრიალის საკისრები, როცა $(p \cdot V)_p \langle 5...10$ მპა. მ/წმ (ბაბიგები კალისა და გყვის შემცველობით – Б16, Б6).

ვაგონების ბუქსები, საგლინი დგანები და ლითონმჭრელი ჩარხების სრიალის საკისრები, როცა $(p \cdot V)_p \langle 6$ მპა. მ/წმ-ზე (უკალო ბაბიგები – БК2, БК).

თუთიანი შენადნობები. საკმაოდ ხშირად გამოიყენება სახალხო მეურნეობაში თუთია- ალუმინ-სპილენძის შენადნობები ЦАМ10-5 (10% ალუმინი, 5% სპილენძი, დანარჩენი თუთია) და ЦАМ10-1,5, რომლებიც ხასიათდებიან საკმაოდ მაღალი ანტიფრიქციული თვისებებით. თავისი ეკონომიკურ-ტექნოლოგიური თვისებების გამო მათ Б 16 ტიპის ბაბიგებისა და ბრინჯაოს მაგივრად იყენებენ.

უარყოფითი მხარეა – ცუდი მიმუშავების უნარი, დაბალი დასაშვები მუშა ტემპერატურა (80°C), შედარებით მაღალი ხაზობრივი გაფართოების ტემპერატურული კოეფიციენტი.

ალუმინიანი შენადნობები. ცნობილია შენადნობი АСМ (3,5...4,5% სკიბიუმი, 0,3...0,7% სპილენძი, დანარჩენი ალუმინი). გამოიყენება Б_pС30 შემცველად გრაქტორის ძრავებში. მგრძობიარეა ზეთის გაჭუჭყიანებისადმი, აქვს მაღალი ხაზობრივი გაფართოების ტემპერატურული კოეფიციენტი.

სხვებთან ერთად პერსპექტიულ ანტიფრიქციულ მასალადაა მიჩნეული ალუმინიან-კალიანი შენადნობები, რომლებიც ხასიათდებიან კარგი ანტიფრიქციული თვისებებით. ცნობილია ამ ჯგუფის შენადნობების ტიპები: А09-1 (9%-კალა, 1%- სპილენძი, დანარჩენი ალუმინი), А09-2, А020-1. მათ წარმატებით იყენებენ მძიმე გრაქტორების, თბომავლების

და გემების შიგაწვის ძრავების სრიალის საკისრებში, ამასთან, აქვთ უნარი შეზღუდული შეზღუდვის პირობებში კონტრსხეულზე წარმოქმნან დამცავი, სერვოვიტული აფსკი კალისაგან, რაც, თავის მხრივ, დადებითი გრადიენტის წინაპირობაა.

თითბარი წარმოადგენს სპილენძისა და თუთიის ბაზაზე სხვა მალეგირებელი ელემენტების დამატებით შექმნილ შენადნობს. თითბერს ზოგჯერ იყენებენ ბრინჯაოს შემცველად, მაგრამ ანტიფრიქციული თვისებებით და სიმკვრივით მნიშვნელოვნად ჩამოუვარდება მას. ამიტომ იგი კალიანი ბრინჯაოს მაგივრად შეიძლება გამოვიყენოთ მცირე და საშუალო სრიალის სიჩქარეების დროს, როცა $(p \cdot V)_p < 10$ მპა. მ/წმ, მაგალითად, გრანსპორტიორებზე, როლგანგებზე, კონვეიერებზე, მსხვრევეარებზე, ამწეებზე.

9.2. ანტიფრიქციული თუჯი

ანტიფრიქციული თუჯი გამოიყენება საშუალოდ დატვირთული (დარტყმების გარეშე) ნელა მავალი სრიალის საკისრებისათვის. ანტიფრიქციული თუჯის სადებიანი სრიალის საკისრების ხანგამძლეობის უზრუნველყოფისათვის აუცილებელია ზოგიერთი სპეციალური ტექნიკური ღონისძიების გატარება, რომელთა შორის შეიძლება გამოიყოს:

- ტექნიკურ-კონსტრუქციული ღონისძიებანი, რომლებიც თითქმის მთლიანად გამორიცხავენ გადაცერებას;
- ღრეზოს გადიდება ბრინჯაოს სადებების გამოყენებასთან შედარებით 15...30%-ით საშუალო ტემპერატურული რეჟიმის დროს;
- თანმიმდევრული მიმუშავება ხანგრძლივი პერიოდის მანძილზე;
- ხარისხოვანი შემზეთი მასალის განუწყვეტელი მიწოდება;
- მოხახუნე წყვილი უნდა შეირჩეს იმგვარად, რომ ლილვის საგაცის სისალის მაჩვენებელი მეტი უნდა იყოს საკისრის სადებზე 20...40 HB-თი.

ანტიფრიქციული თუჯის უმთავრესი დადებითი თვისებაა მისი მცირე თვითღირებულება.

სრიალის საკისრებში გამოიყენება შემდეგი მარკის ანტიფრიქციული თუჯები: A4C1, A4C2, A4C3, A4C4, A4C5, A4C5, A4C6.

9.3. ლითონკერამიკული (ფხენილოვანი) მასალები

ლითონკერამიკული მასალების საფუძველი უმრავლეს შემთხვევაში არის რკინის ან სპილენძის ფხენილი. სრიალის საკისრების სადებებს და მილისებს ამზადებენ ან სუფთა ლითონის ფხენილისაგან, ან ფხენილისა და მისართისაგან (კალა, გრაფიტი და სხვ.). ამასთან, ტექნოლოგია ხორციელდება შემდეგი პარამეტრებით: დაწნევის ხვედრითი წნევა $p=700$ მპა, შეცხოვის ტემპერატურა $850-1100^{\circ}C$. ასეთი ტექნოლოგიით დამზადებული დეტალების ფორიანობა საწყისი ფხენილის დანამცეცების და ტექნოლოგიური პარამეტრების მიხედვით იცვლება ზღვრებში 15...35%. ბუნებრივია, დეტალის ფორიანობის მომატებით მცირდება მექანიკური სიმტკიცე. შესაბამისად გათვალისწინებული უნდა იქნეს ის, რომ იქ, სადაც არის დარცმითი დატვირთვები, ფორიანობა არ უნდა აღემატებოდეს 20%. ამასთან, არაა მიზანშეწონილი ასეთი დეტალების მექანიკური გზით გაჩარხვა ფორების ამოქოლვის საშიშროების გამო, დასაშვებია მხოლოდ დაკალიბრება. შემდგომ ეტაპზე ხდება მზა დეტალების კონსისტენცური თუ თხევადი შემზეთი მასალებით გაჟღინთვა (ხშირად სრიალის საკისარს აკომპლექტებენ საზეთი პაგრუქით). მილისას კორპუსში ჭექით ათავსებენ, რაც იწვევს შიგა დიამეტრის ჭექის 0,6...0,9 ნაწილით შემცირებას.

ლითონკერამიკული მილისებრი ან სადებები გამოიყენება გრანსპორტიორების, გუმბოების, როლგანგების, სოფლის მეურნეობის და სხვა მანქანების ისეთ სრიალის საკისრებში, სადაც შემზეთი მასალის მიწოდება გაძნელებულია.

ბრინჯაოგრაფიგოვანი საკისრებისათვის (9...10% - კალა, 1...4% - გრაფიტი, დანარჩენი სპილენძი), როცა ფორიანობა 20...25%-ია, დასაშვებია წნევა სხვადასხვა სრიალის სიჩქარეებისათვის შემდეგია:

$$V, \text{ მ/წმ } \dots 0,1 \quad 0,5 \quad 1,0 \quad 2 \quad 3 \quad 4,$$

$$p, \text{ მპა } \dots 15 \quad 6 \quad 5 \quad 4 \quad 3 \quad 1,$$

ხოლო იმავე ფორიანობის რკინაგრაფიგოვანი (1...3% გრაფიტი, დანარჩენი რკინა) საკისრებისათვის:

$$V, \text{ მ/წმ } \dots 0,1 \quad 0,5 \quad 1,0 \quad 2 \quad 3 \quad 4,$$

$$p, \text{ მპა } \dots 20 \quad 7 \quad 6,5 \quad 5,5 \quad 3,5 \quad 0,8.$$

9.4. სინთეტიკური პლასტმასები (პოლიმერები)

სინთეტიკური პლასტმასებიდან გრიბოლოგიურ სისტემებში ყველაზე ფართოდაა გავრცელებული თერმოპლასტები, მათ შორის, სხვადასხვა მარკის პოლიამიდები, პოლიაცეტალები, პოლიკარბონატები და სხვა მასალები. მათთვის ზოგადად დამახასიათებელია ისეთ თვისებათა ერთობლიობა, როგორიცაა:

- მცირე სიმკვრივესთან ერთად მაღალი მექანიკური სიმტკიცე;
- კარგი ანტიფრიქციული თვისებები;
- შეზღუდული შეშეთვის პირობებში მედეგობა ამოგლეჯვებისათვის;
- გამხსნელებისადმი და აგრესიული აგენტებისათვის მაღალი ქიმიური მედეგობა;
- წყლის შემზეთ მასალად გამოყენების შესაძლებლობა;
- კარგი დემპფირების უნარი და მაღალი სიმტკიცე დატვირთვებისადმი;
- მაღალი ელასტიურობის მაჩვენებელი;
- აბრაზიულ გარემოში მუშაობის კარგი უნარი.

მნიშვნელოვან უპირატესობად ითვლება ის გარემოებაც, რომ დიდი უმრავლესობა ანტიფრიქციული სინთეტიკური პლასტმასებისა, მათ შორის, ძირითადი ჯგუფი - თერმოპლასტები გადამუშავების ნაკეთობად კონსტრუქციული მასალებისათვის ყველაზე პროგრესული ტექნოლოგიური მეთოდებით: წნევითი ჩამოსხმით, ექსტრუზიით, ცენტრიდანული ჩამოსხმით. გარდა ამისა, ისინი კარგად მუშავდებიან მექანიკურად, უმრავლესობა კარგად დუღდება და წებდება.

სრიალის საკისრები ან ზოგადად გრიბოლოგიური სისტემები ანტიფრიქციული პოლიმერული საღებებით განსაკუთრებით ეფექტურად გამოიყენებიან შეშეთვის გარეშე და შეზღუდული შეშეთვის პირობებში. ამიგომ მოხახუნე გადაპირების დამზადება ზემოთ აღნიშნული მასალებისაგან განსაკუთრებით მიზანშეწონილია იქ, სადაც შეშეთვა დაუშვებელია ამა თუ იმ ნორმებით (კვებისა და მსუბუქი მრეწველობის დანადგარების გრიბოსისტემები) და როცა შეშეთვა გაძნელებულია ან გარემო აბრაზიულია (სამშენებლო და საგზაო მანქანები).

ლითონებისა და მისი შენადნობებისაგან განსხვავებით, ანტიფრიქციული თერმოპლასტები და სხვა პოლიმერული მასალები ხასიათდებიან სპეციფიკური მაჩვენებლებით, რომლებიც რიგ შემთხვევაში ფასდება როგორც უარყოფითი თვისებები:

- დაბალი ღრეკადობის მოდულით;

- მაღალი ხაზობრივი გაფართოების ტემპერატურული კოეფიციენტით;
- ლითონებთან შედარებით მეტად დაბალი თბოგამტარობის კოეფიციენტით;
- ჰიგროსკოპულობით;
- დეგალის დამზადების პროცესში ჩაჯდომის ხარისხის არასტაბილურობით;
- ნაკლები დატვირთვის უნარით.

საერთო, ყოველმხრივი ანალიზის საფუძველზე ანტიფრიქციული სინთეტიკური პლასტმასები ხასიათდებიან როგორც სრულფასოვანი და პერსპექტიული სასაკისრე მასალები. შესაბამისად, პლასტმასები სულ ახალ-ახალ პოზიციებს იკავებენ მანქანათმშენებლობაში - მათი ფართო გამოყენება სახალხო მეურნეობაში ხელს უწყობს მანქანა-დანადგარების ტექნიკური სრულყოფისა და ეკონომიურობის ამაღლებას, როგორც დამზადების, ისე ექსპლუატაციის პროცესში.

პლასტმასის სასაკისრე მასალების საბაზო პოლიმერებია: პოლიამიდები, პოლიაცეტალები, პოლიგეტრაფთორეთილენი, პოლიკარბონატები. შესაბამისად, მათ ბაზაზე შექმნილი მრავალი სასაკისრე მასალა, კომპოზიცია ფართოდ გამოიყენება მანქანათმშენებლობაში.

პოლიამიდები გამოშვებული ნომენკლატურისა და მოცულობის მიხედვით დღეისათვის ყველაზე გავრცელებული ანტიფრიქციული თერმოპლასტიკური მასალებია.

პოლიამიდების უმნიშვნელოვანესი დადებითი თვისებებია მცირე ხახუნის კოეფიციენტი და მაღალი ცვეთამდეგობა. განსაკუთრებით ხელშესახებია ეს უპირატესობა ლითონურ შენადნობებთან შედარებით მშრალი ხახუნის დროს, როცა ისინი ზოგჯერ 10-ჯერ აჭარბებენ ბრინჯაოს ცვეთამდეგობას. გრიბოლოგიურ სისტემაში შემშეთი მასალის შეგანით ეს უპირატესობა მცირდება, თუმცა პოლიამიდები შემეთვის პირობებშიც ინარჩუნებენ უპირატესობას ამ მაჩვენებლის მიხედვით.

ყოფილი საბჭოთა კავშირის ეკონომიურ სივრცეში ყველაზე გავრცელებული პოლიამიდებია: პოლიამიდ 6 (სამომხმარებლო მარკები – ПА6-210; ПА6-211) და პოლიამიდ 66 (ПA66).

განსხვავებული გავრცელების სფეროები აქვთ ბლოკურ პოლიამიდ 6-ს (კაპროლონ V) და ბლოკურ პოლიამიდ 12-ს (დეკლონი). ისინი ნაკეთობად გადაშუშავდებიან მხოლოდ მექანიკური დაშუშავების გზით, რაც დეგალის მცირე რაოდენობით საჭიროების დროს და მსხვილგაბარტიანი ნაკეთობის დამზადებისათვის ფრიად მოხერხებული მეთოდია (ნაკეთობის დამზადება ტექნოლოგიური მოწყობილობის გარეშე);

პოლიამიდების გემოაღნიშნული ტიპებისათვის დამახასიათებელია ტენის შთანთქმის მაღალი მაჩვენებელი, რასაც, როგორც ცნობილია, თან სდევს ხაზობრივი მომების შეცვლა. უკანასკნელი განსაკუთრებით საშიში მოვლენაა მოხახუნე შეუღლებული გელაპირებისათვის, როცა შესაძლებელია საგარანტიო ღრეხოს გაქრობა. უკანასკნელი კვანძის მუშაობის უნარის დაკარგვას იწვევს.

რაც შეეხება პოლიამიდებს 11, 12, 6.10, ისინი ნაკლებად მგრძობიარენი არიან ნესტისადმი, რაც მათ დიდ უპირატესობას აძლევს გემოსხენებული ჯგუფის მიმართ. მაგრამ პოლიამიდების ეს ჯგუფი რამდენიმეჯერ უფრო ძვირია, ვიდრე პოლიამიდ 6, ამასთან, დამზადებისათვის საჭიროებს დეფიციტურ ნედლეულს.

პოლიამიდები, ისევე როგორც სხვა ანტიფრიქციული თერმოპლასტები, ადვილად ეგუებიან აბრაზიულ გარემოს. ამასთან, საჭიროა აღინიშნოს, რომ მათ შორის საუკეთესო მაჩვენებლით ამ საკითხში ხასიათდება პოლიამიდ 6.

პოლიამიდები ბევრად ნაკლებად ცვეთავენ ლილვის საგაცს, ვიდრე ფერადი შენადნობები. გამონაკლისი მხოლოდ ის პოლიამიდებია, რომელთაც მისართად მინის ბოჭკოები აქვთ გამოყენებული.

პლასტმასოვანი სრიალის საკისრების ნაადრევად მწყობრიდან გამოსვლის მიზეზი უმრავლეს შემთხვევაში ხახუნის ზონაში გემპერაგურის გადაჭარბებაა. შედეგად მოხახუნე გელაპირი ერთ შემთხვევაში ნახშირდება (თერმორეაქტიული მასალა), ხოლო მეორე შემთხვევაში ღნება (თემოპლასტიკური მასალა). ორივე შემთხვევაში მუშა მდგომარეობას ინარჩუნებს მეორე მოხახუნე გელაპირი – კონგრესული (ლილვის საგაცი), რაც, ბუნებრივია, ამარტივებს კვანძის გარემონტების საკითხს. ეს მომენტი პლასტმასოვანი საკისრების მნიშვნელოვანი უპირატესობაა ლითონურთან შედარებით.

პოლიმერული მასალების სპეციფიკური მხარე და მასთან ერთად ნაკლია ის, რომ გემპერაგურის მომაგება აუარესებს როგორც მექანიკურ მაჩვენებლებს, ისე ხახუნის კოეფიციენტსა და ხვედრით ცვეთამედეგობას.

ამ მიზეზის გამო სასაკისრე პოლიმერული მასალების მაჩვენებლების გაუმჯობესების გზაზე მონიშნულია სამი მთავარი მიმართულება:

პირველი – ხახუნის კოეფიციენტის შემცირება;

მეორე – თბოგამტარობის კოეფიციენტის გადიდება;

მესამე – სიმტკიცის მექანიკური მაჩვენებლების გადიდება.

სრიალის საკისრების პლასტმასოვანი სადებების ამა თუ იმ საექსპლუატაციო თვისებების გაუმჯობესებისათვის საბაზო ნედლეულს უმაგებენ სხვადასხვა სახის

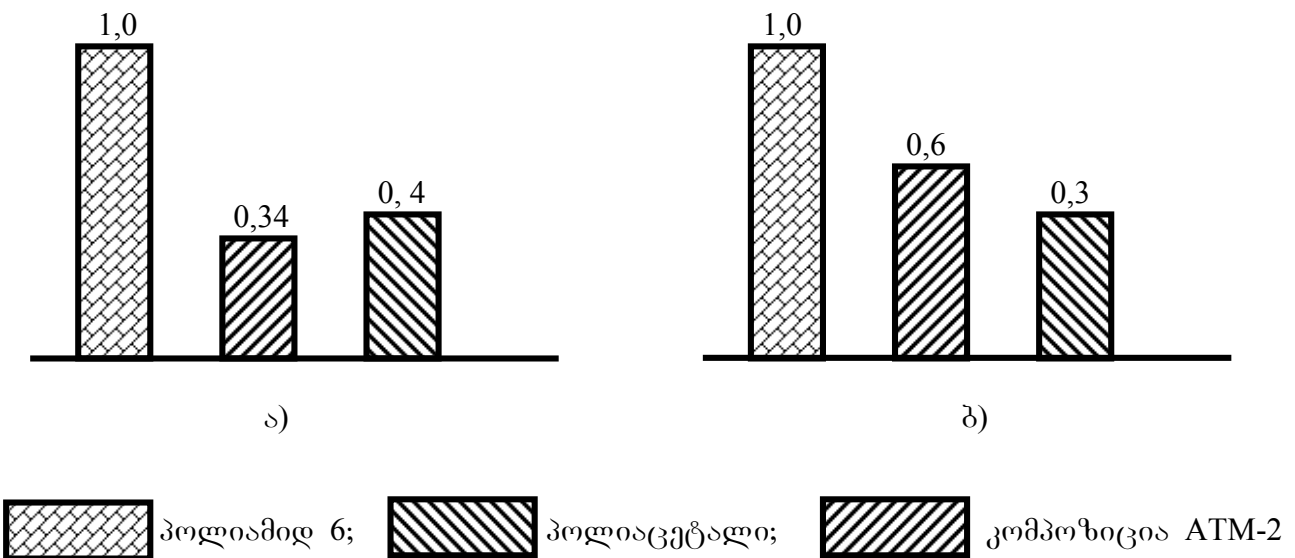
მისართებს. მაგალითად, ძირითადი ანტიფრიქციული მაჩვენებლების (ცვეთამდეგობის, ხახუნის კოეფიციენტის) ამაღლებისათვის გამოიყენება გრაფიტი, მოლიბდენის დისულფიდი, გალკი; სიმკეცის მაჩვენებლებისათვის - მინის ბოჭკო; ხოლო თბოგამტარობის გადიდებისათვის - ლითონური ფხვნილები, მინის და ნახშირის ბოჭკოები.

პოლიამიდების გადამუშავება ნაკეთობად ხდება ყველაზე პროგრესული მეთოდებით: წნევითი ჩამოსხმით, ექსტრუზიით, გაფრქვევით და ცენტრიდანული ჩამოსხმით.

პოლიამიდურ საღებებიანი საკისრებისათვის შეზღუდული შემეთვის პირობებში $(p \cdot V)$ პარამეტრის ზღვრული მნიშვნელობაა $(p \cdot V)_p = 0,08$ მპა.მ/წმ.

პოლიაცეტალები (პოლივინილპირიდინი) მოთეთრო-მოყვითალო ფერის თერმოპლასტიკური ანტიფრიქციული პოლიმერებია. საბჭოთა კავშირის ეკონომიკურ სივრცეში ძირითადად ცნობილი იყო პოლიაცეტალის ორი მარკა: *CΦD* და *CTD*, რომლებიც საექსპლუატაციო თვისებებით ცოტა განსხვავდებიან ერთმანეთისაგან.

პოლიაცეტალები ითვლებიან ერთ-ერთ საუკეთესო ანტიფრიქციულ მასალებად. გამოირჩევიან ზომების სტაბილურობით, ნაკლებად აქვთ გამოხატული ცივდენადობის მოვლენა, აქვთ მაღალი სიმკეცის მაჩვენებლები, მათ შორის, კონტაქტურ დაბეჭდვებზე. და ბოლოს, გამოირჩევიან შედარებით მაღალი ცვეთამდეგობით და დაბალი ხახუნის კოეფიციენტით (ნახ. 9.1).



ნახ. 9.1. ფარდობითი ცვეთის დიაგრამა თერმოპლასტებისათვის ($V = 0,9$ მ/წმ):

ა) ხახუნი შემეთვის გარეშე; ბ) პერიოდული შემეთვის დროს ($t_3 = 40^\circ C$)

ნაკლოვანი მხარეა პოლიაცეგალების ცუდად მუშაობა აბრაზიულ გარემოში პოლიამიდებთან შედარებით.

პოლიაცეგალები ღეგალებად გადაამუშავებიან წნევით ჩამოსხმით და ექსტრუზიით (გადაამუშავების პროცესი პოლიამიდებთან შედარებით გარკვეული სირთულით ხასიათდება).

პოლიაცეგალების სადებებისათვის შემზღული შემეტვის პირობებში პარამეტრი $(p \cdot V)_p = 0,1$ მპა·მ/წმ.

პოლიტიტრაფთორეთილენი (ფთოროპლასტი 4). ამ სახელის მაგარებელი სინთეტიკური პოლიმერი სუფთა სახით ხასიათდება ყველაზე დაბალი ხახუნის კოეფიციენტი (0,04...0,06) და უაღრესად მაღალი ქიმიური მედეგობით გამხსნელებისადმი, რის გამოც მას „პლასტმასების ოქროსაც“ უწოდებენ. გარდა ამისა, ფთოროპლასტი 4 (პოლიტეტრაფთორეთილენის ყველაზე გავრცელებული მარკაა) გამოირჩევა დიდი მუშა ტემპერატურული დიაპაზონით $-200...+300^{\circ}C$.

ფთოროპლასტებისათვის დამახასიათებელია ცივდენადობის მავნე მოვლენა, ამასთან, ყველაზე გამოკვეთილად. ამ ნაკლის აღმოფხვრა პრაქტიკაში წარმატებით წყდება საბაზო მასალაზე მისართების დამატებით. საინჟინრო პრაქტიკით დამტკიცებულია, რომ ფთოროპლასტებზე სხვადასხვა მისართების დამატებით სადების ხანგამძლეობა შეიძლება 3-4-ჯერ გაიზარდოს. მისართების გვარობის და ხვედრითი წილის მიხედვით იცვლება ფთოროპლასტების როგორც ფიზიკურ-მექანიკური, თერმოდეფორმაციული, თბოფიზიკური, ისე ტექნოლოგიური თვისებებიც. ლითონური მისართებიდან პრაქტიკაში იყენებენ სპილენძის, ბრინჯაოს, რკინის, კალის, ტყვიის ფხვნილებს, აგრეთვე ისეთ არაორგანულ ნაერთებს, როგორცაა მინა, ლითონების მარილები და ოქსიდები, კოქსი და სხვ. ფთოროპლასტების მისართებად ფართოდ იყენებენ ანტიფრიქციულ მისართებს – გრაფიტს, ტალკს, მოლიბდენის დისულფიდს. იყენებენ აგრეთვე სხვადასხვა სახის ბოჭკოებს, ანტიფრიქციულ (პოლიამიდებს) და ჩვეულებრივ პოლიმერებს (პოლოლეფინებს – პოლიეთილენებს).

ფთოროპლასტი 4-ის გადაამუშავება წარმოებს შეცხობის მეთოდით. უკანასკნელი გამოირიცხავს რთული კონფიგურაციის ღეგალების დამზადებას აღნიშნული მეთოდით და რთული კონფიგურაციის ღეგალების დამზადება შესაძლებელია მხოლოდ მექანიკური დამუშავების გზით (მექანიკურად იგი კარგად მუშავდება).

სუფთა ფთოროპლასტი 4-ისათვის $(p \cdot V)$ პარამეტრი არ აღემატება 0,03 მპა·მ/წმ-ს. მისართების დამატებით $(p \cdot V)_p$ პარამეტრი შეიძლება 10-ჯერ გაიზარდოს.

ფთოროპლასტ 4-ის სადებების დაგვირთვის უნარის მკვეთრი გაზრდა შესაძლებელია აგრეთვე ისეთი კონსტრუქციული გადაწყვეტილების გამოყენებით, რომელიც გამორიცხავს მასის ცივად გადინების შესაძლებლობას ე.ი. ე.წ. „საკეტიანი“ კონსტრუქციის გამოყენებით.

ცნობილია, აგრეთვე ფთოროპლასტ 4-ის გამოყენება ისეთი სახით, როცა დაწნეხილი და შემდეგ შეცხობილი ფხვნილოვანი ბრინჯაოს სადები „იქლინდება“ ფთოროპლასტ 4-ით. შედეგად აღმოიფხვრება ფთოროპლასტ 4-ის ნაკლოვანი მხარე (ცივი დენადობა) და გამოიყენება საუკეთესო თვისებები (დაბალი ხახუნის კოეფიციენტი, ქიმიური მედეგობა). მაგრამ ასეთი ტექნოლოგიით სადების დამზადება დაკავშირებულია გარკვეულ ტექნოლოგიურ სირთულეებთან და ამიტომ პრაქტიკაში ფართოდ არ გამოიყენება.

პოლიკარბონატი (დიფლონი) გამჭვირვალე მოყავისფრო ფერის კონსტრუქციული, ანტიფრიქციული თერმოპლასტია. ახასიათებს მაღალი მექანიკური მაჩვენებლები, პოლიამიდებთან შედარებით აქვთ ნაკლები ტენის შთანთქმის უნარი, ხასიათდება ქიმიური მედეგობით ზეთების, ბენზინის სუსტი მჟავების მიმართ, მაგრამ იხსნება ტუტეებში.

პოლიკარბონატი გადამუშავდება წნევითი ჩამოსხმით, ექსტრუზიით და დაწნეხით.

პოლიკარბონატის სადებისათვის პარამეტრი $(p \cdot V)_p = 0,08 \text{ მპა} \cdot \text{მ}^3/\text{წმ}$

9.5. სხვა არალითონური მასალები

ხმ. სრიალის საკისრების სადებების ხის მასალისაგან დამზადებისათვის შეიძლება გამოყენებულ იქნეს ისეთი ჯიშები, როგორცაა: ბზა, რცხილა, წიფელი და სხვ. ბოლო პერიოდში მეტი გავრცელება პოვა პლასტიფიცირებულმა ხის მასალებმა (ლიგნოფოლი). პლასტიფიცირების არსი მდგომარეობს ხის ძელაკების პოლიმერული ფისებით გაჟღენთვაში.

გრიბოლოგიურ სისგემებში ხის მასალების გამოყენების ძირითადი სფეროა მცირე სიჩქარეების საკისრები. განსაკუთრებით ეფექტურია მათი გამოყენება რევერსული მოძრაობის დროს, როცა არ არის ჰიდროდინამიკური შეზღვევის განხორციელების პირობები. ხის სადებებიანი საკისრების სპეციფიკურობა გამოიხატება წყლის შემგვით საშუალებად ეფექტურად გამოყენების შესაძლებლობაში. დასაშვები

ხვედრითი წნევა ხის მასალებისათვის $p_p = 10$ მპა, ხოლო დასაშვები სრიალის სიჩქარე $V = 1$ მ/წმ.

მმრქანშმრქული პლასტიკატები გამოიყენება ჰიდროგურბინების, წყლის ცენტრალური მოქმედების ტუმბოების, მგლინავი დგანები სრიალის საკისრების სადებებად. ამზადებენ სხვადასხვა ტიპის მერქანშერეულ პლასტიკებს, რომელთა შორის განსხვავება ბოჭკოების ერთმანეთის მიმართ ორიენტირებაშია.

$p \cdot V$ პარამეტრის მაქსიმალური მნიშვნელობა წყლით შებეთვის პირობებში $(p \cdot V)_p = 35$ მპა · მ/წმ. მინერალური ბეთებით შებეთვის დროს დატვირთვის უნარი რამდენიმეჯერ უფრო ნაკლებია ვიდრე წყლით შებეთვის დროს.

რქინი გამოიყენება ჰიდროგურბინების, წყლის ტუმბოების, გურბობურლების იმ სრიალის საკისრების სადებების პირნაკეთობად, რომელთა შებეთვა ხორციელდება წყლის მეშვეობით. ასეთი სადებების ძირითადი სპეციფიკური ნიშანია მათი ნაკლებად მგრძნობიარობა ლილვის რხევებისადმი (ასრულებენ მადემპფერებელ ფუნქციებს) და გადაცერებისადმი. კარგად ეგუებიან გაჭუჭყიანებულ წყალს.

მორემინებული სადებები სწრაფად კარგავენ მუშაობის უნარს შემბეთ-გამაცივებელი საშუალების (წყლის) მიწოდების ხანმოკლე შეწყვეტის დროსაც. ექსპლუატაციის აღნიშნულ პირობებში ხდება რემინის ლილვზე შეწებება. მორემინებული სადებები ფრიად მგრძნობიარენი არიან ტემპერატურის მიმართაც - $65-70^{\circ}C$ ტემპერატურაზე მკვეთრად ეცემა საკისრის დატვირთვის უნარიანობა. მაქსიმალური ხვედრითი დატვირთვის უნარია 2...6 მპა.

საინჟინრო პრაქტიკაში ცნობილია რემინის შემცვლელი პოლიმერული მასალა - ვულკოლანი, რომელსაც დაახლოებით ისეთივე ფიზიკურ-მექანიკური თვისებები აქვს, როგორც მკვერთ რემინს.

ბრაზიტი ყველაზე ეფექტიანად გამოიყენება ქიმიური მრეწველობის საწარმოებში, იქ, სადაც დიდ მოთხოვნილებებია თბომდეგობის და ქიმიური მდეგობისადმი.

გრაფიტის სადებები ფიზიკურ-მექანიკური თვისებების შეუცვლელად მუშაობენ ფართო ტემპერატურულ დიაპაზონში ($100...600^{\circ}C$). ისინი ინერტულნი არიან მჟავა და ტუტე გარემოში, აქვთ დაბალი ხახუნის კოეფიციენტი (0,15).

გრაფიტის სადების ძირითადი ნაკლი მის სიმყიფესა და მცირე მექანიკურ სიმტკიცეშია. დასაშვები ხვედრითი დაწნევა გრაფიტის სადებიან საკისრებისათვის $p_p = 1,5$ მპა. გრაფიტოვანი საკისრების მიღვის უნარის გამრდისათვის საინჟინრო

პრაქტიკაში მიღებულია სადების ფორების ანტიფრიქციული ლითონებითა და შენადნობებით (ტყვია, ბაბიგი და სხვ.) გაქლენთვა. ასეთი კომპოზიციებით დამზადებული სადებები გამოიყენება მცირე რადიალური დაგვირთვის, მაგრამ სწრაფმავალ გრიბოლოგიურ სისტემებში. მაგ., სახეხი დანადგარების შპინდლებში, სადაც უმცირესი ღრეხოს შემთხვევაში ჰაერით შეზღუდვაა გათვალისწინებული.

გრაფიტისა და პლასტმასების სხვადასხვა კომპოზიციებით მიიღება რიგი შესანიშნავი ანტიფრიქციული თვისებების მქონე სასაკისრე მასალები. მაგ., გრაფიტისა და ფენოლ-ფორმალდეჰიდური ფისის შერწყმით მიღებულია თერმორეაქტიული მასალა – გრაფიტირებული ტექსტოლიტი – ATM-1. იგი გამოიყენება შენაკრები სრიალის საკისრების სადებების და ზოგიერთი სახის მუშგა და კბილანური შეზღუდვის შემთხვევაში.

ისევე, როგორც ყველა თერმორეაქტიული მასალისათვის, ATM-1-ის ნაკლია დეგალების დამზადების ნაკლები ტექნოლოგიურობა. სწორედ ამ მიზეზის გამოა თერმორეაქტიული მასალების გამოყენება პრაქტიკაში შეზღუდული. თუმცა იქ, სადაც არსებობს გაზრდილი მოთხოვნები თერმული მედეგობის, ზომების სტაბილურობისა და სისისტისადმი, გრაფიტირებული ტექსტოლიტები წამყვან პოზიციებსაც კი ინარჩუნებენ. ისინი გამოიყენება ქიმიურ და მეგალურგიულ მანქანათმშენებლობაში, აგრეთვე, რკინიგზისა და წყლის გრანსპორტზე.

ქ. გომელის ლითონპოლიმერული სისტემების ინსტიტუტში შექმნილია თვითმეთვადი მაღალტემპერატურული თბომედეგი ტექსტოლიტი, რომელიც მზადდება გრაფიტირებული, მოსპილენძებული ქსოვილისა და თბომედეგი ფურანის ფისისაგან მედაპირულად აქტიურ ნივთიერებათა დამატებით. ამ მასალისაგან დამზადებული სრიალის საკისრების სადებების ექსპლუატაციის პროცესში შეინიშნება ლილვის საგაცმე სპილენძის ნაწილაკების შერჩევითი გადაგანის ეფექტის ფრიად კეთილი გავლენა.

გრაფიტი ერთ-ერთი ძირითადი კომპონენტია ისეთი საკმაოდ ფართოდ ცნობილი თერმოპლასტიკური მასალებისათვის, როგორცაა ATM-2 (მეორადი პოლიამიდი 6 + გრაფიტი + თერმოანტრაციტი) და ATM-2A (მეორადი პოლიამიდი 66 + გრაფიტი + თერმოანტრაციტი).

გრაფიტის მეოხებით ამ მასალების თბოგამგარობა (0,80 ვგ/მ.კ) დაახლოებით 2,7-ჯერ მეტია საბაზო პოლიმერის შესაბამის მაჩვენებელთან შედარებით (0,29 ვგ/მ.კ).

ATM-2 და ATM-2A წარმატებით გამოიყენება საფეიქრო და ლითონსაჭრელი ჩარხების გრიბოლოგიურ სისტემებში.

გრაფიტი ერთ-ერთი საუკეთესო მისართია ყველა სასაკისრე მასალისათვის. გრაფიტის დამატებით პლასტმასების თბოგამტარობა შეიძლება გაიზარდოს 1,0 ვგ/მ.კ-მდე.

სუფთა გრაფიტოვანი სრიალის საკისრების საღებები მზადდება გრაფიტის ფხვნილისაგან დაწნეხის მეთოდით.

9.6. თვითმზეთავალი ანტიფრიქციული თბომედეგი პოლიმერული კომპოზიციები

ზემოთ განხილული ძირითადი ანტიფრიქციული პოლიმერული მასალები ხასიათდებიან დაბალი დასაშვები მუშა ტემპერატურით (გამონაკლისია მხოლოდ პოლიტეტრაფთორეთილენი – ფთოროპლასტ 4). ამასთან, ხანმოკლე ტემპერატურული გადატვირთვა პლასტმასოვანი სრიალის საკისრებისათვის კატასტროფულია. განსახილველი ტიპის ანტიფრიქციული მასალების ჯგუფს ეს ნაკლი არ ახასიათებს. უკანასკნელ ათწლეულებში შექმნილი ეს ანტიფრიქციული პოლიმერული კომპოზიციები პოლიაკრილატების საფუძველზე ხასიათდებიან მაღალი თბომედეგობით (200...300°C) და დაბალი ხახუნის კოეფიციენტით (0,05...0,12). შექმნილია ახალი ტიპის მასალების მთელი გაბა, რომელთა შორის ცნობილია: ესტერან-1, ესტერან-2, ესტერან-21, ესტერან-29, ესტერან-33, ესტერან-35, ესტერან-51, ტესან-2, ტესან-6, ტესან-30, ვილან-9, ვილან-20, პოლიარ-2 და ა. შ.

მოვიყვანოთ ამ ჯგუფის მასალების ზოგიერთი მონაცემი:

ცხრილი 9.1

მახასიათებლები	ესტერან-21	ვილან-9	ტესან-2
სიმკვრივე, ρ , კგ/მ ³	3100	2800	3000
მაქსიმალური მუშა ტემპერატურა, °C	200	300	250
ზღვრული ძაბვა კუმშვაზე, σ_b , მპა	80	175	80
სისაღე (HB)	230	250	210
ხახუნის კოეფიციენტი	0,08	0,08	–
დარტყმითი სიბლანტე, კ/ჯოული/მ ²	3,0	1,5	7,0

გემოთ მოყვანილი მასალების გამოყენების სფეროა მშრალი ხახუნის კვანძები და ტრიბოლოგიური სისტემები მაღალი ვაკუუმის პირობებში. ისინი გადამუშვდებიან წნევითი ჩამოსხმით და დაწნხვით.

ტიპური სასაკისრე მასალების ზოგიერთი მაჩვენებელი

ცხრილი 9.2

№	პარამეტრების დასახელება	პოლიმერული მასალა					ბრინჯაო Bp05116C5	ბაბიტი B83
		პოლიამიდ 6 PA6-210	პოლიაცეტალი CФД	პოლიაცეტალი CФД-AD	ფთორო- პლასტი 4	პოლიამიდ 6, გრაფიტი ATM-2		
1	სიმკვრივე, კგ/მ ³	1140	1410	1500	2100	1390	8500	–
2	ხაზობრივი გაფართოების ტემპერატურული კოეფიციენტი, $\alpha \times 10^{-5}$ ერთ კელვინზე	11,0	11,0	12,0	17,0	5,0	1,8	2,3
3	დრეკადობის მოდული კუმშვაზე $E \times 10^6$, მპა	0,0011	0,0036	0,0032	0,0004	0,007	0,09	0,048
4	თბოგამტარობა, ვტ/ მ · K	0,29	0,29	0,29	0,25	0,80	105	44
5	სიმტკიცის ზღვარი კუმშვაზე, მპა	90	135	70	20-30	110	–	–
6	სისალე HB	100-120	180-250	110	20	210-230	500	–
7	დარტყმითი სიბლანტე, კჯოული/მ ³	160	75-130	–	–	14-16	–	–
8	პუასონის კოეფიციენტი	0,4	0,35	0,4	0,45	0,4	–	–
9	ხაზობრივი ზომების max-ური შეცვლა ნესტის შთანთქმით, მკმ/მმ	25	0	0	0	12	0	0

ლიტერატურა

1. : , 1967.-138 .
2. : , 1972.-472 .
3. : , 1968. -495 .
4. : , 1985.-424 .
5. : , 1965.-524 .
6. : , 1974. -200 .
7. : 1974.
8. : , 1983.-296 .
9. : , 1986.-245 .
10. : , 1968.-480 .
11. : 1973.
12. : , 1978.-164 .
13. 1985. .6 5 . . 807-811.
14. : , 1978. 487 ..
15. : , 1975.-392 .
16. - 21354-74. ., 1978.
17. : , 1971.-399 .
18. : , 1989.-496 .
19. : , 1964.-723 .

